

Annex al projecte de millora del pont de vianants sobre la via del tren entre els carrers Caterina Albert i carrer Rocacorba de Fornells de la Selva

Maig 2025



Ajuntament de Fornells de la Selva

ANNEX AL PROJECTE DE MILLORA DEL PONT DE VIANANTS SOBRE LA VIA DEL TRENT ENTRE ELS CARRERS CATERINA ALBERT I CARRER ROCACORBA DE FORNELLS DE LA SELVA

ÍNDEX GENERAL

DOCUMENT NÚM. 1: MEMÒRIA I APÈNDIX

MEMÒRIA JUSTIFICATIVA

APÈNDIX

Apèndix núm 1-. Càlcul estructural

DOCUMENT NÚM.2: PLÀNOLS

Plànol núm. 1. Situació i índex general

Plànol núm. 2. Emplaçament

Plànol núm. 3. Planta topogràfica

Plànol núm. 4. Planta general

Plànol núm. 5. Planta enderrocs

Plànol núm. 6. Seccions tipus i detalls

Plànol núm. 7. Presa de terra

Plànol núm. 8. Il·luminació

Plànol núm. 9. Serveis

DOCUMENT NÚM. 4: PRESSUPOST

Amidaments

Quadre de preus núm. 1

Quadre de preus núm. 2

Pressupost

Resum de pressupost

Últim full

DOCUMENT NÚM. 1: MEMÒRIA I APÈNDIX

MEMÒRIA JUSTIFICATIVA

ANNEX AL PROJECTE DE MILLORA DEL PONT DE VIANANTS SOBRE LA VIA DEL TRENT ENTRE ELS CARRERS CATERINA ALBERT I CARRER ROCACORBA DE FORNELLS DE LA SELVA

MEMÒRIA JUSTIFICATIVA

ÍNDEX

1. ANTECEDENTS	3
2. OBJECTIU DEL DOCUMENT	5
3. JUSTIFICACIÓ DE LES MODIFICACIONS INTRODUIDES AL PROJECTE	5
4. DOCUMENTS QUE CONTÉ L'ANNEX AL PROJECTE	10
5. CONCLUSIÓ	10
APÈNDIX NÚM. 1. CÀLCULS ESTRUCTURALS	11

1. ANTECEDENTS

En data de gener de 2021, ABM Serveis d'Enginyeria i Consulting SL redacta el projecte de "Millora del pont de vianants sobre la via del tren entre els carrers Caterina Albert i carrer Rocacorba de Fornells de la Selva".

Les obres previstes estan compreses dins la zona de domini públic i protecció del ferrocarril i per aquest motiu cal obtenir l'autorització pertinent d'ADIF.

En data de juliol de 2021, ADIF emet un informe sobre el projecte on demana varíes consideracions a tenir en compte pel desenvolupament de les obres. Per aquest motiu, en data de setembre de 2021 es redacta una nova edició del document on s'incorporen aquestes consideracions. El projecte s'apropa definitivament per la Junta de Govern Local en data 23/09/2021.

Al novembre de 2021, des de la Jefatura del Àrea de Mantenimiento de Barcelona d'ADIF, es detecta que l'estructura del nou tancament del pas superior interafeix amb les viseres existents de les catenàries. Per solucionar-ho es replanteja la distribució dels muntants verticals de la nova estructura i es comprova de nou l'estabilitat d'aquesta.

En data de desembre de 2021 s'entrega a ADIF una addenda del projecte, amb una nova edició de plànols amb la nova distribució de muntants per tal d'obtenir la corresponent autorització de les obres.

Amb data 28 de març de 2022, ADIF emet resolució estimatòria relativa a l'autorització per realitzar la millora del pas superior, a favor de l'Ajuntament de Fornells de la Selva, d'acord amb el projecte aportat en data desembre de 2021 (N/REF. 21-1047).

Atès que en el termini de 6 mesos des de la notificació de l'autorització no es pot signar l'acta de replanteig amb ADIF, l'Ajuntament de Fornells de la Selva sol·licita un pròrroga del termini, i en data 11 de novembre de 2022 ADIF emet resolució concedint una pròrroga de 12 mesos.

Amb data 9 de gener de 2023, el Consell Comarcal del Gironès, publica al perfil del contractant el contracte "Obres del projecte Millora del pont de vianants sobre la via del tren entre els carrers Caterina Albert i carrer Rocacorba de Fornells de la Selva". Amb data 20 de juliol de 2023, el Consell Comarcal emet acta de desistiment del contracte, atès que ADIF no ha acceptat la pòlissa d'assegurança presentada per l'empresa adjudicatària.

Amb data 16 d'abril de 2024, l'Ajuntament de Fornells de la Selva, sol·licita renúncia a l'autorització concedida, atès que encara no s'ha establert nova data d'inici de les obres. Amb data 3 de maig de 2024, ADIF emet resolució d'acceptació de la renúncia sol·licitada per l'Ajuntament.

Posteriorment, amb data 17 abril de 2024, ADIF remet un escrit a l'Ajuntament de Fornells de la Selva, sobre l'estat de la passarel·la de vianants, en el qual s'insta a actuar per rehabilitar l'estructura.

Amb data abril de 2024, ABM redacta una nova edició del projecte per encàrrec de l'Ajuntament de Fornells de la Selva, per tal d'actualitzar el pressupost de l'obra segons els preus actuals de mercat, sense modificar la solució projectada i autoritzada prèviament per ADIF, per tal de poder licitar de nou les obres.

Posteriorment, durant la tramitació de la nova autorització a ADIF, amb data juliol de 2024, la Jefatura de Àrea de Puentes y Pasos Superiores, emet l'"*Informe técnico sobre de rehabilitación de paso superior entre la c/ Caterina Albert y la c/ Rocacorba, sobre la línea de ferrocarril 270 BIF. Sagrera – Cerbere, en P.K. 200/156, en el término municipal de Fornells de la Selva (Girona). Exp: 2024-0617-RC*"¹, on es consideren viables les actuacions proposades en el projecte sempre i quan es doni compliment als requisits establets en el punt 4 de l'informe.

Amb data agost de 2024, ABM redacta un informe tècnic de resposta a ADIF sobre la rehabilitació del pas superior entre el c/ Caterina Albert i el c/ Rocacorba, TM Fornells de la Selva, per tal de donar resposta als requeriments fets al juliol i obtenir autorització d'ADIF.

Posteriorment, amb data 23 d'abril de 2025, ADIF emet resolució estimatòria relativa a l'autorització per realitzar la millora del pas superior, a favor de l'Ajuntament de Fornells de la Selva (N/REF. 2024-0617-RC), establint una sèrie de prescripcions econòmiques i tècniques a les quals s'haurà de donar compliment per a l'obtenció de la resolució d'autorització definitiva. A continuació, es detallen les prescripcions tècniques requerides:

II. PRESCRIPCIONES TÉCNICAS

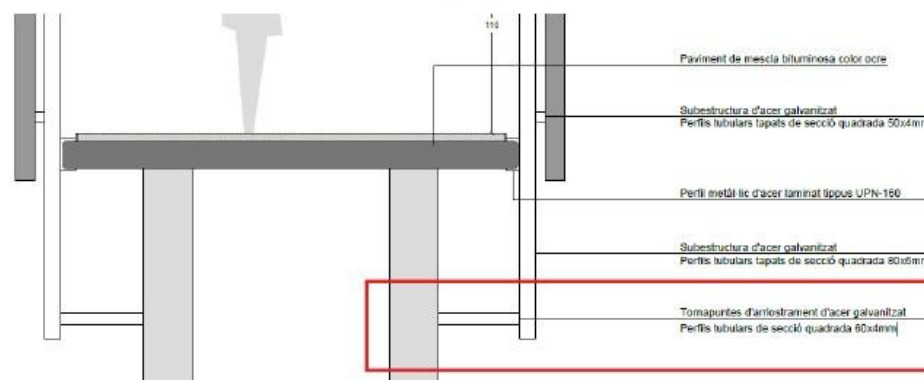
- 1^a.- No se podrá acceder ni invadir la zona de riesgo para las circulaciones ferroviarias (franja de 3m desde el carril exterior) ni las zonas de riesgo eléctrico de los elementos en tensión de la catenaria sin corte de vía y tensión. En los trabajos con maquinaria, grúas, etc.., se tendrá muy en cuenta de trabajar según el RD 614/2001 en relación con los elementos en tensión de la catenaria.
- 2^a.- En las obras se va a reparar a nivel estructural la pasarela existente y se va a construir un nuevo cerramiento antivandálico para los usuarios.
- 3^a.- La mayoría de los trabajos de reparación estructurales se van a tener que realizar desde debajo de la estructura, por lo que van a afectar a la vía/catenaia y las circulaciones ferroviarias. Buena parte de los trabajos se deberán realizar con corte de vía y tensión. Se trata de una línea ferroviaria en la que entre semana únicamente se corta una de las vías.
- 4^a.- Para los trabajos a realizar sobre la pasarela, se ha de tener en cuenta que durante los trabajos no pueden caer material/objetos de ningún tipo a la vía ni se puede entrar en riesgo eléctrico con los elementos en tensión (catenaria). Los trabajos se deberán realizar al amparo de medios auxiliares, por ejemplo, cerramientos provisionales con malla tupida, etc.., para evitar la caída de objetos. Adif solicitará, si lo estima necesario, la entrega de un documento explicativo, a aprobar por Adif antes de la actuación, con los procedimientos de trabajo, medios auxiliares, etc.

5^a.- Para todos los trabajos a realizar, se deberán establecer los horarios de trabajos, necesidades de cortes de vía/tensión, personal habilitado, LTV, etc. Adif podrá solicitar la entrega de un documento explicativo con los procedimientos de trabajo, medios auxiliares, cortes necesarios, etc., a validar por Adif antes de la actuación.

6^a.- Los usuarios de la pasarela no podrán utilizar la pasarela mientras su seguridad y la del ferrocarril no esté asegurada, al menos al nivel de seguridad actual.

7^a.- Reparación de daños en la estructura. Se realizará una reparación completa de la obra, de acuerdo con los defectos que se señalan en el informe de la última inspección principal realizada por Adif. Se trata de reparar los daños que conllevan desprendimientos del recubrimiento de hormigón y las posibles pérdidas de sección de las armaduras (vigas longitudinales, armadura longitudinal inferior y transversal en laterales de la sección de la viga). Los trabajos de saneo y reparación estructural garantizarán su durabilidad.

8^a.- Con el fin de garantizar una mejor conservación y una mayor durabilidad de las vigas, se debe evitar anclar la subestructura metálica a las vigas principales.



Detalle anclaje subestructura metálica a vigas principales

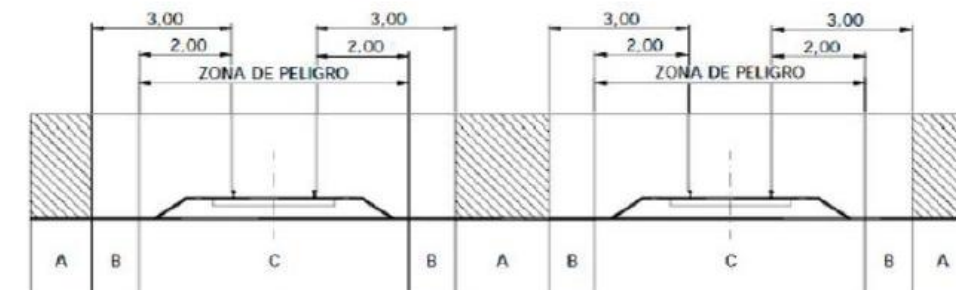
9^a.- De forma general, para la sustitución de cerramientos de protección se debería de utilizar un cerramiento de protección homologado de acuerdo con la NAP 2-0-0.4 de Pasos Superiores. Sin embargo, en este caso, si se pretende conservar el cerramiento existente, se debería de sustituir el cerramiento de protección al menos por un cerramiento de iguales o mejores características que el existente. Además, según la NAP 2-0-0.4 de Pasos Superiores, se deben evitar las piezas de borde (tanto hormigón como metálicas) con carácter ornamental, puesto que estos elementos suelen desarrollar problemas de durabilidad, que como consecuencia pueden generar riesgo de caída de elementos a las vías inferiores.

10^a.- En el proyecto se indica la aplicación de una capa impermeabilizante. Se debe definir tanto en el cuerpo del proyecto, como en los planos, la aplicación de esta capa impermeabilizante. Sería conveniente la aplicación de esta impermeabilización a lo largo de todo el tablero para evitar futuras filtraciones y problemas de humedad.

11^a.- En los trabajos relacionados con la reposición de pavimento y otras actividades que puedan sufrir riesgos de caída a distinto nivel sobre la plataforma, se deben acometer durante la banda de mantenimiento establecida, o bien de acuerdo con lo indicado por el Ámbito Territorial.

12^a.- Se deben definir claramente las actividades de reparación que se desarrollarán en la vía acotando las distintas Zonas de Peligro según indica el punto 3.4 b de la norma NAR 6/16 ADIF.

VÍA DOBLE/MÚLTIPLE^(*)



^(*) Para trabajos en líneas de vía doble o múltiple será de aplicación lo recogido en el artículo 3.3.1.1, punto 3 del RCF.

- A : ZONA DE SEGURIDAD
- B : ZONA DE RIESGO
- C : ZONA DE PELIGRO

Zonas de Peligro, Riesgo y Seguridad en vía múltiple

13^a.- Se propone valorar la ejecución de una losa de compresión sobre la que se sitúe la nueva subestructura metálica. De esta forma, se evitaría el anclaje en las vigas principales de la estructura, que presenta una armadura inferior y con un posicionamiento distinto a la que se utilizaría en los diseños actuales. Se evitaría, así, la posibilidad de dañar su capacidad estructural.

Esta propuesta consiste en la ejecución de una losa de hormigón ligero cuyo fin es dotar a la estructura de un mayor canto, permitiendo resistir cargas superiores y colocar la nueva estructura metálica de protección propuesta en el proyecto.

Se presenta un ejemplo de sección en la que ya se ha implementado esta solución. En este caso, se trataba de una estructura de hormigón armado con cuatro vigas de sección rectangular, en la que se proyectó un recificado estructural, junto con la colocación de barreras de protección.

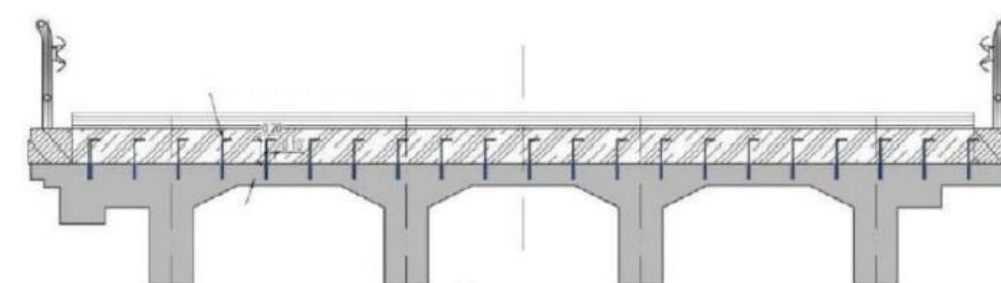


Imagen 11.- Ejemplo de sección con ejecución de una losa de hormigón

Para el diseño de esta losa de compresión, es primordial prestar especial atención al cálculo de conexión de la estructura existente con la nueva losa de compresión, ya que, para que se trate de una losa de carácter estructural, deberá estar conectado correctamente mediante armadura, permitiendo la transmisión del rasante.

- 14^a.**- Se ha entregado proyecto justificativo del nuevo cerramiento antivandálico y de su fijación a la pasarela existente. El promotor va a modificar la fijación del cerramiento para que éste no se realice sobre las dos vigas de la pasarela, si no sobre la losa transitante. Se entregará propuesta que ADIF tendrá que aprobar.
- 15^a.**- Definir e instalar la toma a tierra de la estructura y de todos los nuevos elementos metálicos a colocar, incluyendo la armadura del paso superior. Se consultará con el técnico de electrificación de Adif correspondiente la necesidad de montar un Dispositivo Limitador de Tensión tipo VLD-F que cumpla la ET 03.364.204.2+M1 "Dispositivos limitadores de tensión para electrificaciones en corriente continua" y la forma de su conexión.
- 16^a.**- Se mantendrán en todo momento las viseras contra contactos directos existentes en la pasarela.
- 17^a.**- Las estructuras se degradan mucho por el contacto con el agua de escorrentía. Se va a montar un perfil lateral a cada lado de la zona transitante para que agua de escorrentía no fluya por los laterales de la estructura. A ser posible en la reparación del perfil de la losa se montará perfil goterón, de material que no transmite la electricidad, en el borde de la losa. Se encauzará debidamente el agua y se desaguará fuera de la zona de circulación ferroviaria. Tener especial precaución en la zona de los estribos para no afectar al talud.
- 18^a.**- Adif estimará si es necesario realizar el replanteo de instalaciones existentes del servicio ferroviario.
- 19^a.**- El mantenimiento del Paso Superior recae sobre el promotor de la obra. El Promotor tendrá que velar por su correcto mantenimiento en todo momento. Hay que destacar que en el cerramiento antivandálico se va a ejecutar un acabado estético con perfiles metálicos ligeros. Por parte de Adif se ha aprobado dicha solución a cambio de que si se llegase a detectar que la solución ejecutada pone en peligro la explotación ferroviaria será necesario que se tomen las medidas necesarias para subsanar ese riesgo. La caída de perfiles metálicos sobre la catenaria en tensión implicaría un accidente eléctrico importante en el que se podría producir una electrocución y el corte de los conductores eléctricos.

2. OBJECTIU DEL DOCUMENT

Per tal de donar compliment a les prescripcions tècniques requerides per ADIF, detallades al punt anterior, ABM redacta el present "Annex al projecte de millora del pont de vianants sobre la via del tren entre els carrers Caterina Albert i carrer Rocacorba de Fornells de la Selva", on s'incorporen les modificacions sol·licitades, les quals no suposen canvis substancials respecte el projecte amb data abril de 2024, aprovat per l'Ajuntament de Fornells de la Selva.

3. JUSTIFICACIÓ DE LES MODIFICACIONS INTRODUÏDES AL PROJECTE

A continuació es detallen les solucions proposades per donar compliment als diferents punts indicats en la resolució estimatòria relativa a l'autorització de les obres per part d'ADIF:

- 1^a.**- No se podrá acceder ni invadir la zona de riesgo para las circulaciones ferroviarias (franja de 3m desde el carril exterior) ni las zonas de riesgo eléctrico de los elementos en tensión de la catenaria sin corte de vía y tensión. En los trabajos con maquinaria, grúas, etc., se tendrá muy en cuenta de trabajar según el RD 614/2001 en relación con los elementos en tensión de la catenaria.

Durant l'execució de les obres i en la planificació de les mateixes, es prendran en consideració les zones de risc tant elèctric com ferroviari i no es treballarà en aquests espais a no ser que hi hagi un tall de via i de tensió; es treballarà segons el RD 614/2001.

- 2^a.**- En las obras se va a reparar a nivel estructural la pasarela existente y se va a construir un nuevo cerramiento antivandálico para los usuarios.

L'objectiu del projecte és la reparació estructural de l'estructura existent i l'execució d'un nou tancament antivandàlic.

- 3^a.**- La mayoría de los trabajos de reparación estructurales se van a tener que realizar desde debajo de la estructura, por lo que van a afectar a la vía/catenaia y las circulaciones ferroviarias. Buena parte de los trabajos se deberán realizar con corte de vía y tensión. Se trata de una línea ferroviaria en la que entre semana únicamente se corta una de las vías.

Els treballs que s'hagin de realitzar des de sota l'estructura, requeriran de tall de via i de tensió. Es considerarà que entre setmana només és talla una de les vies.

- 4^a.**- Para los trabajos a realizar sobre la pasarela, se ha de tener en cuenta que durante los trabajos no pueden caer material/objetos de ningún tipo a la vía ni se puede entrar en riesgo eléctrico con los elementos en tensión (catenaria). Los trabajos se deberán realizar al amparo de medios auxiliares, por ejemplo, cerramientos provisionales con malla tupida, etc., para evitar la caída de objetos. Adif solicitará, si lo estima necesario, la entrega de un documento explicativo, a aprobar por Adif antes de la actuación, con los procedimientos de trabajo, medios auxiliares, etc.

Durant l'execució de les obres s'evitarà la caiguda de material i objectes a la via, emprant tots els mitjans necessaris per evitar-ho. Les operacions que puguin generar risc elèctric es faran de manera segura amb talls de tensió si és necessari. Si ADIF ho sol·licita, abans de l'inici de les obres se li entregará un document amb les especificacions necessàries per la seva aprovació.

- 5^a.**- Para todos los trabajos a realizar, se deberán establecer los horarios de trabajos, necesidades de cortes de vía/tensión, personal habilitado, LTV, etc. Adif podrá solicitar la entrega de un documento explicativo con los procedimientos de trabajo, medios auxiliares, cortes necesarios, etc., a validar por Adif antes de la actuación.

Si ADIF ho sol·licita, abans de l'inici de les obres el contractista aportarà un document explicatiu d'acord amb les necessitats de l'actuació, per la seva aprovació per part d'ADIF.

- 6^a.**- Los usuarios de la pasarela no podrán utilizar la pasarela mientras su seguridad y la del ferrocarril no esté asegurada, al menos al nivel de seguridad actual.

Tot l'àmbit d'actuació, restarà tancat al públic durant l'execució de les obres, i no es permetrà el pas de vianants fins que no s'hagin acabat les obres.

- 7^a.**- Reparación de daños en la estructura. Se realizará una reparación completa de la obra, de acuerdo con los defectos que se señalan en el informe de la última inspección principal realizada por Adif. Se trata de reparar los daños que conllevan desprendimientos del recubrimiento de hormigón y las posibles pérdidas de sección de las armaduras (vigas longitudinales, armadura longitudinal inferior y transversal en laterales de la sección de la viga). Los trabajos de saneo y reparación estructural garantizarán su durabilidad.

A partir de la inspección visual realizada, es pot determinar que la patología que afecta al pont consisteix en desprendiments del recobriment de formigó i possible pèrdua de secció de les armadures. Aquests desprendiments afecten principalment a les bigues longitudinals, deixant al descobert l'armadura longitudinal inferior i algun cas, també l'armadura transversal en els laterals de la secció de la biga.

La causa d'aquests desprendiments és la corrosió que s'inicia en fissures o micro-fissures, existents en el formigó, a través de les quals s'infiltra l'aigua que regalima pels paraments verticals en episodis de pluja o en situacions d'humitat ambiental alta. El contacte de les armadures amb l'aigua propicia la carbonatació i expansió de l'acer que provoca el trencament del formigó per les fissures existents amb el consegüent desprendiment amb forma d'escames.

Els desprendiments identificats, si bé no es considera que a dia d'avui afectin substancialment la resistència estructural, si que poden provocar problemes si els desprendiments tenen lloc quan circulen trens per sota el pont. Tanmateix, si aquestes patologies no es tracten a temps i empitjoren, sí que acabarien suposant una reducció important sobre la resistència estructural del conjunt. En la fotografia següent es mostren els trossos despresos que han caigut sobre el balast de la via.

Exposats els danys en l'estructura, a continuació es detallen les actuacions proposades per reparar els desperfectes identificats, ja incloses en el projecte aprovat.

Es procedirà a efectuar un sanejat de totes les parts afectades amb l'objectiu d'eliminar el formigó en mal estat que, tot i no haver-se després, es troba al llindar del desprendiment. Mitjançant aquesta operació

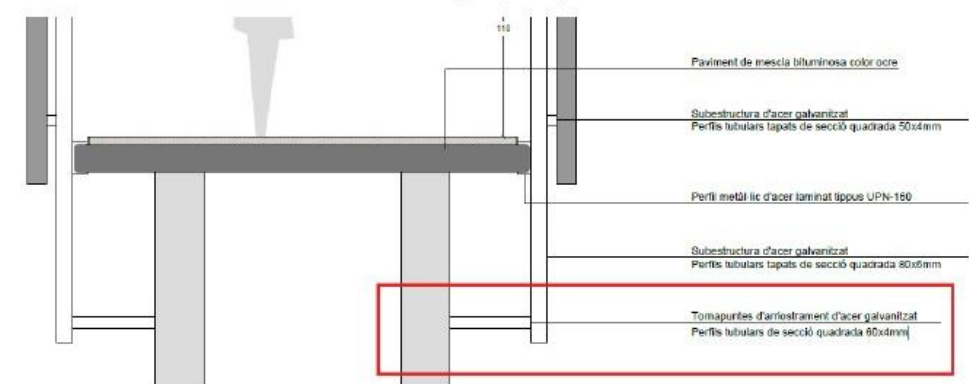
també es retirarà el material solt, la brutícia, les eflorescències i incrustacions de precipitats carbònics típics de les estructures afectades per humitats. Seguidament es repicarà la superfície de formigó descoberta per donar-li un acabat superficial rugós que millori l'adherència del morter de reparació.

Del sanejament en resultaran les armadures descobertes, les quals es sotmetran a un tractament de sorrejat (tractament mecànic) i/o raspallat (tractament manual) amb l'objectiu d'eliminar-ne l'òxid. Aquesta operació permetrà determinar el grau de pèrdua d'armadura i es reposaran aquelles que hagin perdut més d'un 20% de la seva secció.

Seguidament es passivaràn les armadures per protegir-les del medi àcid que ha generat la carbonatació. S'aplicarà una capa d'imprimació anticorrosiva i un pont d'unió amb morter polimèric de resines epoxi que garantirà la unió entre el formigó existent i el nou morter. També se segellaran les fissures existents mitjançant resines epoxi en els paraments de formigó.

S'aplicarà un revestiment superficial amb morter de base de ciment i alta resistència mecànica amb inhibidors de corrosió per restituir el volum inicial i augmentar el recobriment, sobre el qual s'aplicaran tres capes de pintura anticarbonatació sobre tota l'estructura que la protegirà contra els clorurs, sense formar barrera de vapor. Finalment s'aplicarà una capa impermeabilitzant mitjançant el sistema Mapelastic o equivalent.

- 8^a.**- Con el fin de garantizar una mejor conservación y una mayor durabilidad de las vigas, se debe evitar andar la subestructura metálica a las vigas principales.



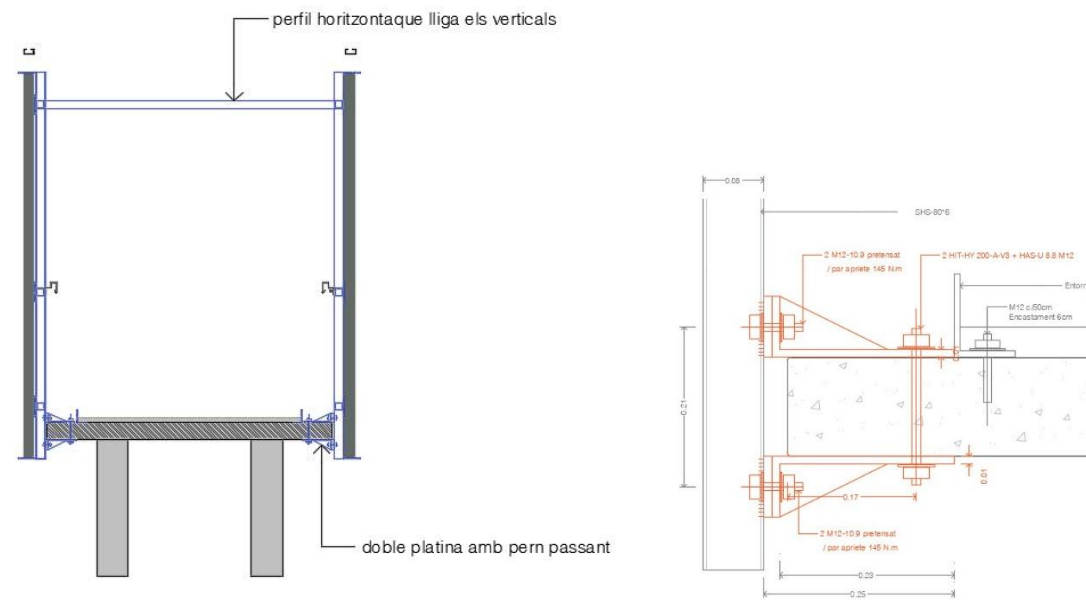
Detalle anclaje subestructura metálica a vigas principales

Per evitar ancorar la subestructura metàl·lica a les bigues principals de la passera, s'ha redissenyat el sistema estructural de la nova barana de protecció.

Atès que el taulell del pont fa 13,5cm de cantell, no es pot donar compliment a les recomanacions d'ADIF en relació als ancoratges dels sistemes de protecció, de tenir 20cm de longitud mínima d'ancoratge.

Per aquests motius, la nova proposta estructural planteja un doble ancoratge de la subestructura al taulell del pont, posant una platina a la part superior i una a la cara inferior amb uns perns passants.

Additionalment, per restar esforços sobre aquests ancoratges, els muntants verticals es lliguen en la part superior, fent solidaris els dos costats de la nova barana del pont.



Els muntants verticals porten també tres perfils horitzontals que els relliguen entre ells i que permetran a posteriori muntar-hi els plafons de la barana, que es cargolaran als muntants horitzontals a través d'unes platines.

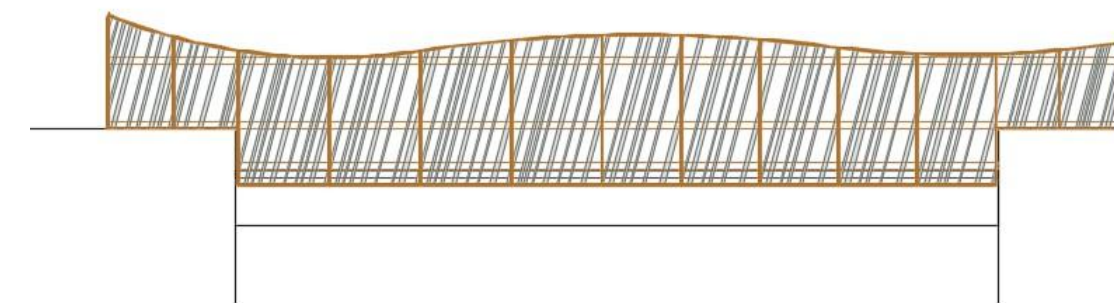
9a.- De forma general, para la sustitución de cerramientos de protección se debería de utilizar un cerramiento de protección homologado de acuerdo con la NAP 2-0-0.4 de Pasos Superiores. Sin embargo, en este caso, si se pretende conservar el cerramiento existente, se debería de sustituir el cerramiento de protección al menos por un cerramiento de iguales o mejores características que el existente. Además, según la NAP 2-0-0.4 de Pasos Superiores, se deben evitar las piezas de borde (tanto hormigón como metálicas) con carácter ornamental, puestos que estos elementos suelen desarrollar problemas de durabilidad, que como consecuencia pueden generar riesgo de caída de elementos a las vías inferiores.

Tal i com s'ha comentat en l'apartat anterior, els ancoratges previstos per als tancaments homologats inclosos en la NAP 2-0-0.4 no es poden instal·lar en el present projecte. És per aquest motiu que s'ha optat per una solució de rehabilitació del tancament existent, millorant les condicions del mateix.

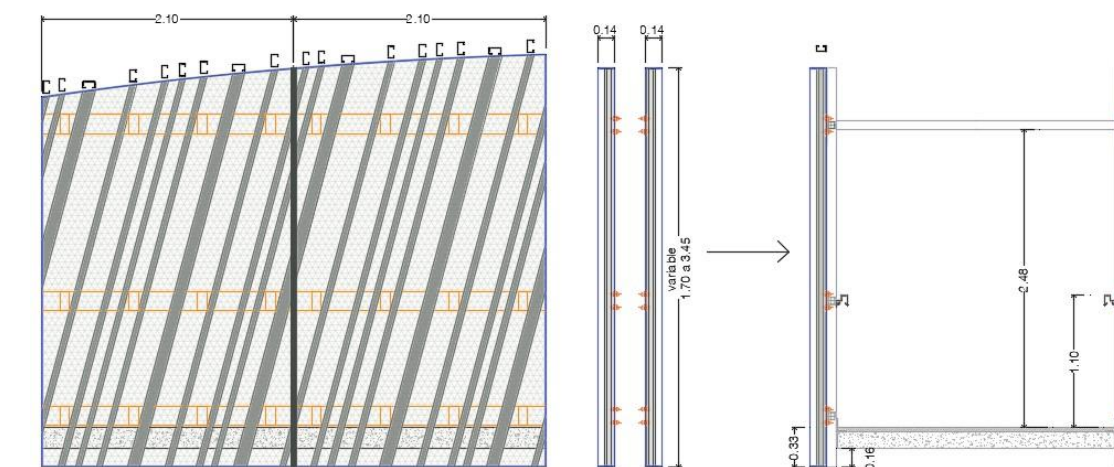
Per minimitzar el risc de caiguda d'elements a les vies, també es proposa una millora del sistema de muntatge de les corretges dels plafons de la protecció projectada. La proposta consisteix en què les corretges de la barana es muntin a taller, amb plafons independents, amb un marc perimetral (platina 140x8mm) i tres platines horitzontals (160x8mm), que permetran cargolar directament els plafons a la

subestructura. S'han previst un total de 13 plafons. Els muntants verticals tindran la mateixa alçada que els plafons. Per sobre els murs de la passera actual es perllongarà la subestructura.

Per compensar el pes dels elements addicionals, es proposa canviar les corretges de perfils tipus C de 100x50x2mm de la barana per perfils més petits de 80x40x1.5mm.

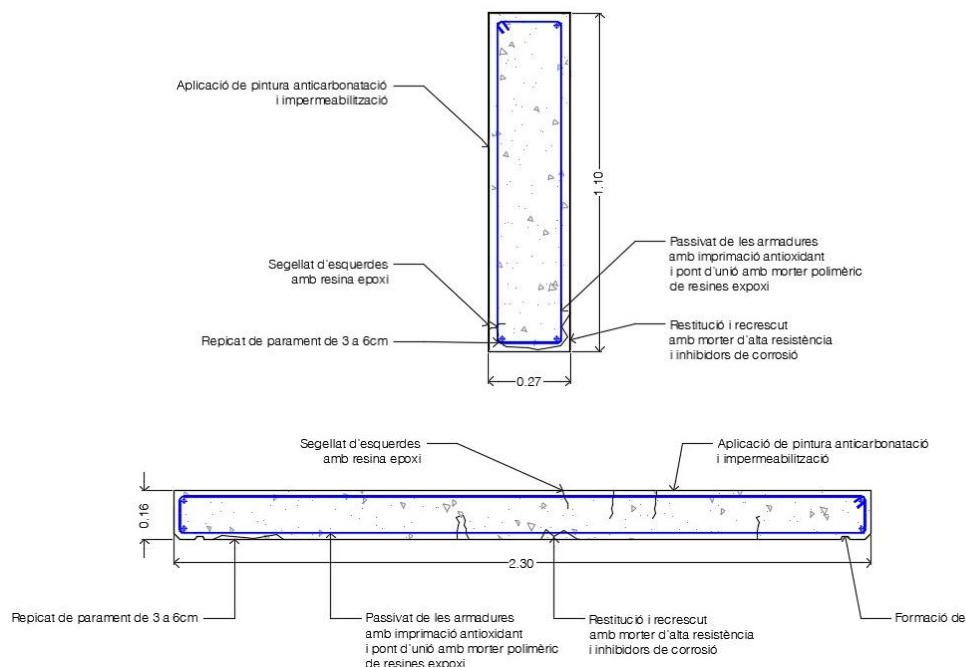


S'ha simplificat la geometria dels plafons d'acord amb els ajustos de la nova subestructura. Així, tots els plafons acaben en una única línia horitzontal per la part inferior paral·lela a les bigues de formigó de la passera. A la part superior, s'han mantingut les ondulacions, si bé, s'han ajustat per tal de complir amb l'alçada mínima lliure de 2,50 metres sense generar plafons molt alts, per minimitzar el pes i les empentes. A banda i banda de la passera la barana acaba verticalment per sobre els murets, sense penjar per davant d'aquests.



10a.- En el proyecto se indica la aplicación de una capa impermeabilizante. Se debe definir tanto en el cuerpo del proyecto, como en los planos, la aplicación de esta capa impermeabilizante. Sería conveniente la aplicación de esta impermeabilización a lo largo de todo el tablero para evitar futuras filtraciones y problemas de humedad.

L'aplicació de la capa impermeabilitzant està prevista tant a les bigues com al tauler, així com també als estampidors.

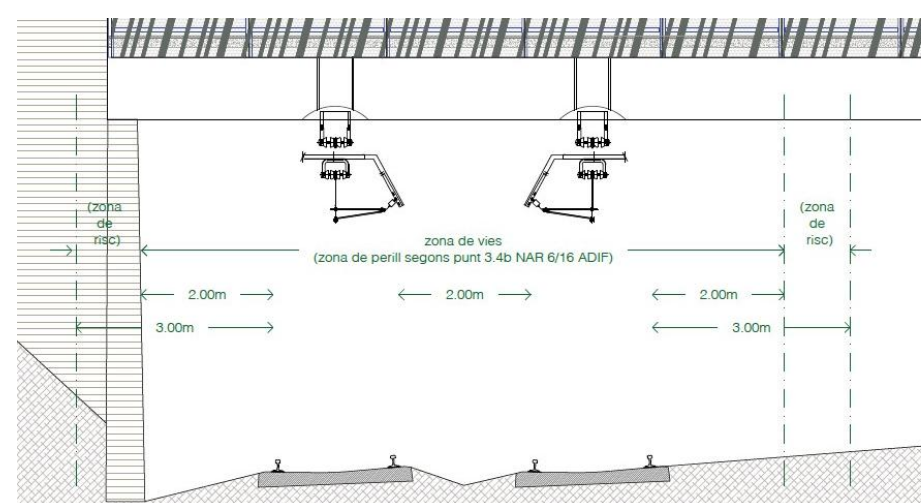


11^a.- En los trabajos relacionados con la reposición de pavimento y otras actividades que puedan sufrir riesgos de caída a distinto nivel sobre la plataforma, se deben acometer durante la banda de mantenimiento establecida, o bien de acuerdo con lo indicado por el Ámbito Territorial.

Durant la fase d'obres, s'acordarà i coordinarà l'execució d'aquest treballs amb els tècnics d'ADIF.

12^a.- Se deben definir claramente las actividades de reparación que se desarrollarán en la vía acotando las distintas Zonas de Peligro según indica el punto 3.4 b de la norma NAR 6/16 ADIF.

Les zones de perill segon la norma NAR 6/16, queden indicades en els plànols.



13^a.- Se propone valorar la ejecución de una losa de compresión sobre la que se sitúe la nueva subestructura metálica. De esta forma, se evitaría el anclaje en las vigas principales de la estructura, que presenta una armadura inferior y con un posicionamiento distinto a la que se utilizaría en los diseños actuales. Se evitaría, así, la posibilidad de dañar su capacidad estructural.

Esta propuesta consiste en la ejecución de una losa de hormigón ligero cuyo fin es dotar a la estructura de un mayor canto, permitiendo resistir cargas superiores y colocar la nueva estructura metálica de protección propuesta en el proyecto.

Se presenta un ejemplo de sección en la que ya se ha implementado esta solución. En este caso, se trataba de una estructura de hormigón armado con cuatro vigas de sección rectangular, en la que se proyectó un recocido estructural, junto con la colocación de barreras de protección.

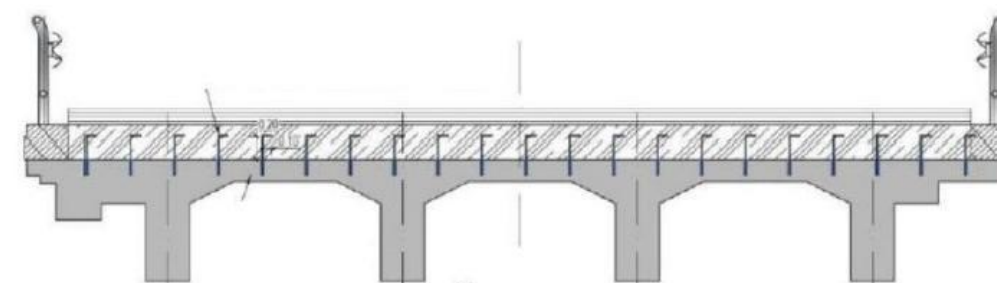


Imagen 11.- Ejemplo de sección con ejecución de una losa de hormigón

Para el diseño de esta losa de compresión, es primordial prestar especial atención al cálculo de conexión de la estructura existente con la nueva losa de compresión, ya que, para que se trate de una losa de carácter estructural, deberá estar conectado correctamente mediante armadura, permitiendo la transmisión del rasante.

Aquesta proposta queda desestimada ja que no es considera oportú afegir més pes a l'estructura. La proposta del present annex soluciona els ancoratges des d'una altre perspectiva.

14^a.- Se ha entregado proyecto justificativo del nuevo cerramiento antivandálico y de su fijación a la pasarela existente. El promotor va a modificar la fijación del cerramiento para que éste no se realice sobre las dos vigas de la pasarela, si no sobre la losa transitable. Se entregará propuesta que ADIF tendrá que aprobar.

Veure punts 8^a i 9^a per la resposta.

15^a.- Definir e instalar la toma a tierra de la estructura y de todos los nuevos elementos metálicos a colocar, incluyendo la armadura del paso superior. Se consultará con el técnico de electrificación de Adif correspondiente la necesidad de montar un Dispositivo Limitador de Tensión tipo VLD-F que cumpla la ET 03.364.204.2+M1 "Dispositivos limitadores de tensión para electrificaciones en corriente continua" y la forma de su conexionado.

S'ha inclòs al projecte la instal·lació de la presa de terra tant de l'estructura com de tots els nous elements. El cable de neutre es connectarà a totes les armadures i elements metà·lics. Es preveuen dos línies de sortida una per a cada marge, on es col·locaran les piques.

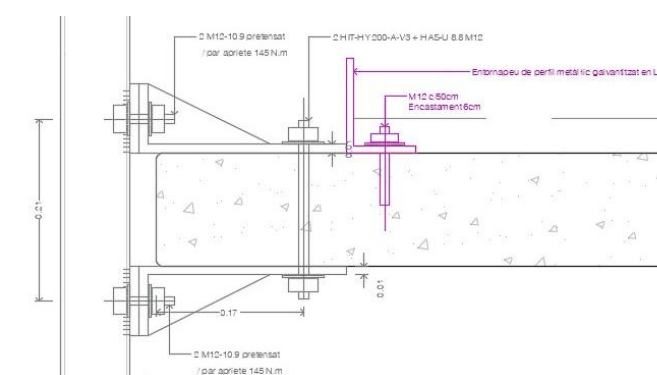


16^a.- Se mantendrán en todo momento las viseras contra contactos directos existentes en la pasarela.

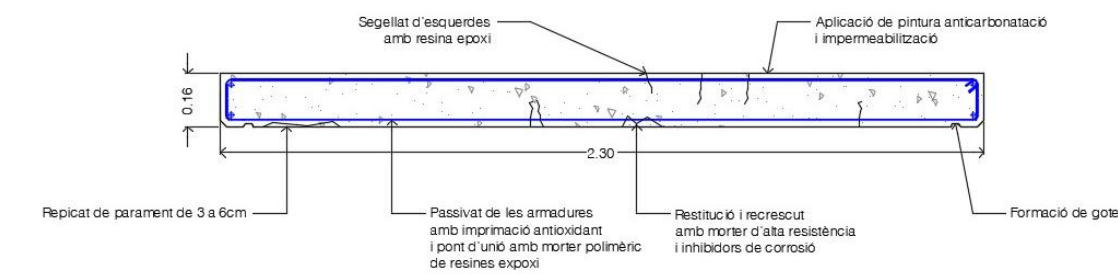
No està previst en el projecte cap actuació sobre les viseres, que es mantindran intactes durant les obres i mentre la passera de vianants estigui en servei.

17^a.- Las estructuras se degradan mucho por el contacto con el agua de escorrentía. Se va a montar un perfil lateral a cada lado de la zona transitble para que agua de escorrentía no fluya por los laterales de la estructura. A ser posible en la reparación del perfil de la losa se montará perfil goterón, de material que no transmite la electricidad, en el borde de la losa. Se encauzará debidamente el agua y se desaguará fuera de la zona de circulación ferroviaria. Tener especial precaución en la zona de los estribos para no afectar al talud.

Amb l'objectiu d'evitar problemes de durabilitat, es proposa la col·locació d'una platina vertical en el perímetre del paviment que eviti que l'aigua superficial arribi als ancoratges. Amb el pendent de la passera, 1% cap al costat del carrer Caterina Albert, es conduiran totes les aigües que caiguin sobre l'estructura cap a les reixes existents de recollida de pluvials de l'itinerari de vianants.



En el marc de les actuacions previstes de reparació del tauler de la passera, s'executarà un goteró sobre el mateix formigó per evitar elements sobreposats a l'estructura.



18^a.- Adif estimará si es necesario realizar el replanteo de instalaciones existentes del servicio ferroviario.

Si Adif així ho estima, es realitzarà el replanteig abans de començar les obres.

19^a.- El mantenimiento del Paso Superior recae sobre el promotor de la obra. El Promotor tendrá que velar por su correcto mantenimiento en todo momento. Hay que destacar que en el cerramiento antivandálico se va a ejecutar un acabado estético con perfiles metálicos ligeros. Por parte de Adif se ha aprobado dicha solución a cambio de que si se llegase a detectar que la solución ejecutada pone en peligro la explotación ferroviaria será necesario que se tomen las medidas necesarias para subsanar ese riesgo. La caída de perfiles metálicos sobre la catenaria en tensión implicaría un accidente eléctrico importante en el que se podría producir una electrocución y el corte de los conductores eléctricos.

El promotor vetllarà per el correcte manteniment de la passera i la conservació en bon estat dels seus elements. En cas que algun element pugui presentar risc per les instal·lacions i activitats ferroviàries es prendran les mesures oportunes.

4. DOCUMENTS QUE CONTÉ L'ANNEX AL PROJECTE

Els documents que conté el present annex al projecte, corresponen a la justificació i incorporació dels canvis sol·licitats per part d'ADIF al projecte. Per aquest motiu, només s'aporten els documents modificats, i tots aquells apartats del projecte que no consten en aquest annex segueixen essent vigents en el projecte original, d'abril de 2024, aprovat per l'Ajuntament.

Els documents que formen part d'aquest annex són :

DOCUMENT NÚM. 1: MEMÒRIA JUSTIFICATIVA

Memòria justificativa

Apèndix núm.1 Càlcul estructural

DOCUMENT NÚM.2: PLÀNOLS

- Plànol núm. 1. Situació i índex general
- Plànol núm. 2. Emplaçament
- Plànol núm. 3. Planta topogràfica
- Plànol núm. 4. Planta general
- Plànol núm. 5. Seccions tipus i detalls
- Plànol núm. 6. Presa de terra
- Plànol núm. 7. Il·luminació
- Plànol núm. 8. Serveis afectats

5. CONCLUSIÓ

Amb tot el que s'ha exposat en aquesta memòria, i amb els documents que constitueixen aquest annex al projecte, es considera que es verifiquen els objectius de la seva redacció i es sotmet a l'aprovació dels organismes competents.



Joan Macarro Ortega
Enginyer de camins, canals i ports
Col·legiat núm. 20.306
ABM, Serveis d'Enginyeria i Consulting, S.L.

DOCUMENT NÚM. 3: PRESSUPOST

- Amidaments
- Quadre de preus núm. 1
- Quadre de preus núm. 2
- Pressupost parcial
- Resum de pressupost
- Últim full

APÈNDIX NÚM. 1. CÀLCULS ESTRUCTURALS



CERTIFICAT D'ACTUACIÓ PROFESSIONAL

ACTUACIÓ PROFESSIONAL

CAP G-100061

Autor del projecte: Xavier Lacroizette Mañas

Titulació	Enginyer Industrial
Universitat	ESCOLA T.S. D'ENGINYERIA INDUSTRIAL DE BARCELONA (ETSEIB)
DNI/NIE/NIF/CIF	35099229X
Nom o néu social	Xavier Lacroizette Mañas
Núm. col·legiat/da	14382

Descripció del treball: INFORME DE CÀLCUL PER A PASSERA SOBRE VIA FERROVIÀRIA EN EL MUNICIPI DE FORNELLS DE LA SELVA
 Emplaçament de l'obra: ADIF S/N, Fornells de la Selva
 Titular: ABM SERVEIS D'ENGINYERIA I CONSULTING S.L.U.

ES FA CONSTAR

Que el/la tècnic/a autor/a del projecte:

- està degudament inscrit/a al Col·legi d'Enginyers Industrials de Catalunya, està qualificat/da per realitzar el treball objecte d'aquest certificat i no està inhabilitat/da professionalment
- disposa de cobertura de responsabilitat civil professional
- declara que compleix amb les exigències de la normativa fiscal i laboral aplicable per a l'exercici de la professió

Aquest certificat d'actuació professional garanteix a l'Administració i als consumidors i usuaris:

- Les competències i la qualificació del/la professional autor/a del treball, la no inhabilitació i la seva cobertura de responsabilitat civil professional
- La qualitat i la correctesa formal i normativa del treball

El Col·legi d'Enginyers Industrials de Catalunya disposa de cota digital del document objecte d'aquest certificat d'actuació professional

Girona, 5 de maig de 2025



COLLEGI OFICIAL D'ENGINYERS INDUSTRIALS CATALUNYA V00396554 Via Laietana, 39 CP. 08000 Barcelona T: 935 02 90 88. F: 933 100 681. www.eic.cat

INFORME DE CÀLCUL D'ESTRUCTURA PER A PASSERA SOBRE VIA FERROVIARIA EN EL MUNICIPI DEL FORNELLS DE LA SELVA

ÍNDEX

1.	INTRODUCCIÓ	1
2.	NORMATIVA APLICADA.....	1
3.	PROGRAMA DE CÀLCUL ESTRUCTURAL UTILITZAT.....	1
4.	GEOMETRIA I ESTRUCTURA DE LES CONSTRUCCIONS	1
5.	MEMÒRIA DE CÀLCUL	1
5.1	Característiques de l'acer laminat en calent	1
5.2	Característiques del formigó armat	2
5.3	Recobriment armadura	2
5.4	Combinacions	2
5.4.1	Combinacions d'elements de formigó segons Codi estructural, EHE-08, EAE i CTE	2
5.4.2	Coeficients de majoració	2
5.4.3	Hipòtesi de càrrega.....	4
5.4.4	Coeficients de majoració ELU	4
5.4.5	Coeficients de majoració ELS.....	4
5.4.6	Coeficients de simultaneïtat.....	4
5.5	Càlcul de sol·licitacions.....	5
5.5.1	Element finit utilitzat.....	5
5.5.2	Principis fonamentals del càlcul matricial.....	6
5.5.2.1	Linealitat.....	7
5.5.2.2	Superposició	7
5.5.2.3	Equilibri	7
5.5.2.4	Compatibilitat	7
5.5.2.5	Condicions de contorn	7
5.5.2.6	Unicitat de les solucions	7
5.5.2.7	Desplom i imperfeccions iniciales	7
5.6	Càrregues	7
5.6.1	Permanents	7
5.6.1.1	Densitats	7
5.6.1.2	Plafons de façana	7
5.6.2	Sobrecàrregues	8
5.6.2.1	En barana	8
5.6.3	Neu	8
5.6.4	Vent	8
5.6.5	Càrrega sísmica	9
5.6.6	Càrregues tèrmiques	10
5.6.7	Càrregues accidentals	10
5.7	Comprovació de seccions d'acer	10
5.7.1	Criteris de comprovació	10
5.7.2	Classes d'execució de l'estructura	10
5.7.2.1	Nivell de risc.....	10
5.7.2.2	Condicions d'execució i d'ús	10
5.7.2.2.1	Categorías d'ús	10
5.7.2.2.2	Categories d'execució.....	10
5.7.2.2.3	Determinació de la classe d'execució.....	10
6.	LLISTATS DE CÀLCUL	11
6.1	Llistat de combinacions	12
6.2	Estructura metà·lica	17
6.2.1	Identificació de nusos i barres	17
6.2.2	Llistat de nusos	17
6.2.3	Llistat de barres	19
6.2.4	Esforços en els elements de l'estructura	23
6.2.4.1	Diagrama de moments flectors	23
6.2.4.2	Diagrama d'esforços tallants	23
6.2.4.3	Diagrama d'esforços axials	23
6.2.4.4	Diagrama de moments torsors	23
6.2.4.5	Llistat d'esforços	23
6.2.5	Verificació de l'Estat Límit Últim (ELU)	43
6.2.6	Verificació de l'Estat Límit de Servei (ELS)	44
6.2.6.1	Llistat de deformacions	44
6.3	Càlcul fixació de l'estructura	50
6.3.1	Fixació muntants a tauler	50
6.3.2	Fixació muntants a mur de formigó	55
7.	AUTOR DEL CÀLCUL ESTRUCTURAL	61

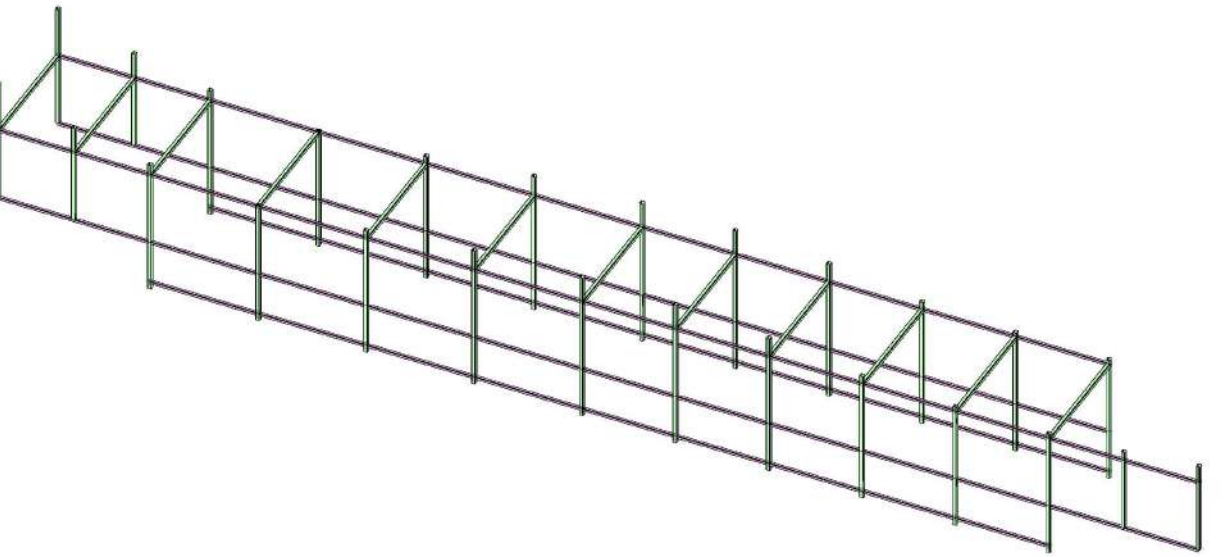
1. INTRODUCCIÓ

Aquest document té com a objecte la justificació dels càlculs estructurals d'una estructura de protecció d'una passera sobre les vies de tren en el terme municipal de Fornells de la Selva. En concret el present annex inclou els càlculs de les següents unitats d'obra:

- Estructura metàl·lica

Aquesta justificació ha estat sol·licitada per:

A.B.M. SERVEIS D'ENGINYERIA I CONSULTING S.L.
Av. Països Catalans, nº 50
17457 Riudellots de la Selva



2. NORMATIVA APLICADA

L'estructura s'ha dimensionat segons el que es disposa en:

- El RD 470/2021 de 29 de juny, pel que s'aprova el **Codi Estructural**.

Pels casos que no estiguin contemplats en el Codi Estructural es tindrà en compte la normativa:

- El RD 124/2008 de 18 de juliol, pel que s'aprova la **instrucció de Formigó Estructural** (EHE-08).
- El RD 314/2006 de 17 de març, pel que s'aprova el **Codi Tècnic de la Edificació** i els seus documents bàsics
- El RD 751/2011 de 27 de maig, pel que s'aprova la **instrucció d'Acer Estructural** (EAE)

Model estructural							
Conjunts	Sèrie	Perfil	Unió	Foc	Únic ele...	G...	Co...
SHS-80*4	SHSH	80x4				3	
TRAVESSER	SHSH	60x3.2				3	

Perfils estructurals

L'estructura està formada per perfils tubulars de secció quadrada.

3. PROGRAMA DE CÀLCUL ESTRUCTURAL UTILITZAT

Per fer els càlculs estructurals s'han utilitzat els següents programes:

TRICALC V.2025-0-3, de l'empresa GRAITEC-ARKTEC.

TRICALC permet calcular amb un sol programa estructures de formigó, acer i de qualsevol material. És un programa amb més de 30 anys d'existència.

4. GEOMETRIA I ESTRUCTURA DE LES CONSTRUCCIONS

El modelat de càlcul es mostra en la següent figura:

5. MEMÒRIA DE CÀLCUL

5.1 Característiques de l'acer laminat en calent

Els elements que formen l'estructura metàl·lica principal estan previstos amb acer de qualitat:

Qualitat : S275-JR

Límit elàstic: 275 N/mm²

Límit de trencament: 430 N/mm²

5.2 Característiques del formigó armat

No s'inclouen elements de formigó armat en l'estructura analitzada.

5.3 Recobriment armadura

No aplica.

5.4 Combinacions

Es determinen els esforços actuants a l'estructura en l'estat límit últim (ELU) i l'estat límit de servei (ELS) segons la normativa actual de formigó estructural (Codi Estructural). En les taules següents es mostren els factors de majoració de les càrregues utilitzades en cada estat límit.

5.4.1 Combinacions d'elements de formigó segons Codi estructural, EHE-08, EAE i CTE

Les combinacions d'accions específiques en la norma de formigó Codi Estructural i en el Codi Tècnic de l'Edificació són molt similars, per això es tracten en aquest únic epígraf.

En el programa no existeixen càrregues permanents de valor no constant (G^*), i les sobrecàrregues (Q) s'agrupen en les següents famílies:

Família 1

Sobrecàrregues alternatives. Corresponen a les hipòtesi 1, 2, 7, 8, 9 i 10

Família 2

Càrregues mòbils. Corresponen a les hipòtesi 11 a 20, inclusiu.

Família 3

Càrregues de vent. Corresponen a les hipòtesi 3, 4, 25 i 26 (i a les -3, -4, -25 i -26 si s'habilita el sentit \pm)

Càrrega de neu. Correspon a la hipòtesi 22.

Càrrega de temperatura. Correspon a la hipòtesi 21.

5.4.2 Coeficients de majoració

En el cas del Codi Estructural, s'utilitzen els coeficients de seguretat definits en la casella 'Formigó'. A més, el coeficient de seguretat per accions favorables és 1,0 per la càrrega permanent i 0,0 per la resta.

En el cas de CTE, s'utilitzen els coeficients de seguretat definits en la casella 'Altres / CTE / EAE'. A més, el coeficient de seguretat per accions favorables és 0,8 (CTE) o 1,0 per la càrrega permanent i 0,0 per la resta.

E.L.U. Situacions persistents o transitòries

Càrrega permanent + sobrecàrregues de la família 1 (Hipòtesi 0, 1, 2, 7, 8, 9 i 10)

$$\gamma_G \cdot G_k + \gamma_Q \cdot Q_k$$

Càrrega permanent + sobrecàrregues de la família 2 (Hipòtesi 0 i de 11 a 20)

$$\gamma_G \cdot G_k + \gamma_Q \cdot Q_k$$

Càrrega permanent + sobrecàrregues de la família 3 (Hipòtesi 0, 3, 4, 25, 26, 21 i 22)

$$\gamma_G \cdot G_k + \gamma_Q \cdot Q_k$$

Càrrega permanent + sobrecàrregues de les famílies 1 i 2 (Hipòtesi 0, 1, 2, 7, 8, 9, 10 i de 11 a 20)

$$\gamma_G \cdot G_k + \gamma_{Q,F1} \cdot Q_{k,F1} + \gamma_{Q,F2} \cdot \Psi_{0,F2} \cdot Q_{k,F2}$$

$$\gamma_G \cdot G_k + \gamma_{Q,F2} \cdot Q_{k,F2} + \gamma_{Q,F1} \cdot \Psi_{0,F1} \cdot Q_{k,F1}$$

Càrrega permanent + sobrecàrregues de les famílies 1 i 3 (Hipòtesi 0, 1, 2, 3, 4, 7, 8, 9, 10, 21, 22, 25 i 26)

$$\gamma_G \cdot G_k + \gamma_{Q,F1} \cdot Q_{k,F1} + \gamma_{Q,F3} \cdot \Psi_{0,F3} \cdot Q_{k,F3}$$

$$\gamma_G \cdot G_k + \gamma_{Q,F3} \cdot Q_{k,F3} + \gamma_{Q,F1} \cdot \Psi_{0,F1} \cdot Q_{k,F1}$$

Càrrega permanent + sobrecàrregues de les famílies 2 i 3 (Hipòtesi 0, 3, 4, 21, 22, 25, 26 i de 11 a 20)

$$\gamma_G \cdot G_k + \gamma_{Q,F2} \cdot Q_{k,F2} + \gamma_{Q,F3} \cdot \Psi_{0,F3} \cdot Q_{k,F3}$$

$$\gamma_G \cdot G_k + \gamma_{Q,F3} \cdot Q_{k,F3} + \gamma_{Q,F2} \cdot \Psi_{0,F2} \cdot Q_{k,F2}$$

Càrrega permanent + sobrecàrregues de les famílies 1, 2 i 3 (Hipòtesi 0, 1, 2, 3, 4, 7, 8, 9, 10, 21, 22, 25, 26 i de 11 a 20)

$$\gamma_G \cdot G_k + \gamma_{Q,F1} \cdot Q_{k,F1} + \gamma_{Q,F2} \cdot \Psi_{0,F2} \cdot Q_{k,F2} + \gamma_{Q,F3} \cdot \Psi_{0,F3} \cdot Q_{k,F3}$$

$$\gamma_G \cdot G_k + \gamma_{Q,F2} \cdot Q_{k,F2} + \gamma_{Q,F1} \cdot \Psi_{0,F1} \cdot Q_{k,F1} + \gamma_{Q,F3} \cdot \Psi_{0,F3} \cdot Q_{k,F3}$$

$$\gamma_G \cdot G_k + \gamma_{Q,F3} \cdot Q_{k,F3} + \gamma_{Q,F1} \cdot \Psi_{0,F1} \cdot Q_{k,F1} + \gamma_{Q,F2} \cdot \Psi_{0,F2} \cdot Q_{k,F2}$$

E.L.U. Situacions accidentals (extraordinàries en CTE)

Càrrega permanent + sobrecàrregues de la família 1 + càrrega accidental (Hipòtesi 0, 1, 2, 7, 8, 9, 10 i 23)

$$G_k + \gamma_A \cdot A_k + \Psi_1 \cdot Q_k$$

Càrrega permanent + sobrecàrregues de la família 2 + càrrega accidental (Hipòtesi 0, de 11 a 20 i 23)

$$G_k + \gamma_A \cdot A_k + \Psi_1 \cdot Q_k$$

Càrrega permanent+ sobrecàrregues de la família 3 + càrrega accidental (Hipòtesi 0, 3, 4, 21, 22, 25, 26 i 23)

$$G_k + \gamma_A \cdot A_k + \Psi_1 \cdot Q_k$$

Càrrega permanent + sobrecàrregues de les famílies 1 i 2 + càrrega accidental (Hipòtesi 0, 1, 2, 7, 8, 9, 10, 23 i de 11 a 20)

$$G_k + \gamma_A \cdot A_k + \Psi_{1,F1} \cdot Q_{k,F1} + \Psi_{2,F2} \cdot Q_{k,F2}$$

$$G_k + \gamma_A \cdot A_k + \Psi_{1,F2} \cdot Q_{k,F2} + \Psi_{2,F1} \cdot Q_{k,F1}$$

Càrrega permanent + sobrecàrregues de les famílies 1 i 3 + càrrega accidental (Hipòtesi 0, 1, 2, 3, 4, 7, 8, 9, 10, 21, 22, 23, 25 i 26)

$$G_k + \gamma_A \cdot A_k + \Psi_{1,F1} \cdot Q_{k,F1} + \Psi_{2,F3} \cdot Q_{k,F3}$$

$$G_k + \gamma_A \cdot A_k + \Psi_{1,F3} \cdot Q_{k,F3} + \Psi_{2,F1} \cdot Q_{k,F1}$$

Càrrega permanent + sobrecàrregues de les famílies 2 i 3 + càrrega accidental (Hipòtesi 0, 3, 4, 21, 22, 23, 25, 26 i de 11 a 20)

$$G_k + \gamma_A \cdot A_k + \Psi_{1,F2} \cdot Q_{k,F1} + \Psi_{2,F3} \cdot Q_{k,F3}$$

$$G_k + \gamma_A \cdot A_k + \Psi_{1,F3} \cdot Q_{k,F3} + \Psi_{2,F2} \cdot Q_{k,F2}$$

Càrrega permanent + sobrecàrregues de les famílies 1, 2 i 3 + càrrega accidental (Hipòtesi 0, 1, 2, 3, 4, 7, 8, 9, 10, 21, 22, 23, 25, 26 i de 11 a 20)

$$G_k + \gamma_A \cdot A_k + \Psi_{1,F1} \cdot Q_{k,F1} + \Psi_{2,F2} \cdot Q_{k,F2} + \Psi_{2,F3} \cdot Q_{k,F3}$$

$$G_k + \gamma_A \cdot A_k + \Psi_{1,F2} \cdot Q_{k,F2} + \Psi_{2,F1} \cdot Q_{k,F1} + \Psi_{2,F3} \cdot Q_{k,F3}$$

$$G_k + \gamma_A \cdot A_k + \Psi_{1,F3} \cdot Q_{k,F3} + \Psi_{2,F1} \cdot Q_{k,F1} + \Psi_{2,F2} \cdot Q_{k,F2}$$

E.L.U. Situacions sísmiques

Càrrega permanent + sobrecàrregues de la família 1 + sisme (Hipòtesi 0, 1, 2, 5, 6, 7, 8, 9, 10 i 24)

$$G_k + \gamma_A \cdot A_{E,k} + \Psi_2 \cdot Q_k$$

Càrrega permanent + sobrecàrregues de la família 2 + càrrega sísmica (Hipòtesi 0, 5, 6, 24 i de 11 a 20)

$$G_k + \gamma_A \cdot A_{E,k} + \Psi_2 \cdot Q_k$$

Càrrega permanent + sobrecàrregues de la família 3 + càrrega sísmica (Hipòtesi 0, 3, 4, 5, 6, 21, 22, 24, 25 i 26)

$$G_k + \gamma_A \cdot A_{E,k} + \Psi_2 \cdot Q_k$$

Càrrega permanent + sobrecàrregues de les famílies 1 i 2 + càrregues sísmiques (Hipòtesi 0, 1, 2, 5, 6, 7, 8, 9, 10, 24 i de 11 a 20)

$$G_k + \gamma_A \cdot A_{E,k} + \Psi_{2,F1} \cdot Q_{k,F1} + \Psi_{2,F2} \cdot Q_{k,F2}$$

Càrrega permanent + sobrecàrregues de les famílies 1 i 3 + càrrega sísmica (Hipòtesi 0, 1, 2, 3, 4, 5, 7, 8, 9, 10, 21, 22, 24, 25 i 26)

$$G_k + \gamma_A \cdot A_{E,k} + \Psi_{2,F1} \cdot Q_{k,F1} + \Psi_{2,F3} \cdot Q_{k,F3}$$

Càrrega permanent + sobrecàrregues de les famílies 2 i 3 + càrregues sísmiques (Hipòtesi 0, 3, 4, 5, 6, 21, 22, 24, 25, 26 i de 11 a 20)

$$G_k + \gamma_A \cdot A_{E,k} + \Psi_{2,F2} \cdot Q_{k,F2} + \Psi_{2,F3} \cdot Q_{k,F3}$$

Càrrega permanent + sobrecàrregues de les famílies 1, 2 i 3 + càrregues sísmiques (Hipòtesi 0, 1, 2, 3, 4, 5, 6, 7, 8, 9, 10, 21, 22, 24, 25, 26 i de 11 a 20)

$$G_k + \gamma_A \cdot A_{E,k} + \Psi_{2,F1} \cdot Q_{k,F1} + \Psi_{2,F2} \cdot Q_{k,F2} + \Psi_{2,F3} \cdot Q_{k,F3}$$

E.L.S. Estats Límit de Servei

Càrrega permanent + sobrecàrregues de la família 1 (Hipòtesi 0, 1, 2, 7, 8, 9 y 10)

Combinacions poc probables (característiques en CTE):

$$G_k + Q_k$$

Combinacions freqüents:

$$G_k + \Psi_1 \cdot Q_k$$

Combinacions quasi permanents:

$$G_k + \Psi_2 \cdot Q_k$$

Càrrega permanent + sobrecàrregues de la família 2 (Hipòtesi 0 i de 11 a 20)

Combinacions poc probables (característiques en CTE):

$$G_k + Q_k$$

Combinacions freqüents:

$$G_k + \Psi_1 \cdot Q_k$$

Combinacions quasi permanents:

$$G_k + \Psi_2 \cdot Q_k$$

Càrrega permanent + sobrecàrregues de la família 3 (Hipòtesi 0, 3, 4, 21, 22, 25 i 26)

Combinacions poc probables (característiques en CTE):

$$G_k + Q_k$$

Combinacions freqüents:

$$G_k + \Psi_1 \cdot Q_k$$

Combinacions quasi permanents:

$$G_k + \Psi_2 \cdot Q_k$$

Càrrega permanent + sobrecàrregues de les famílies 1 i 2 (Hipòtesi 0, 1, 2, 7, 8, 9, 10 i de 11 a 20)

Combinacions poc probables (característiques en CTE):

$$G_k + Q_{k,F1} + \Psi_{0,F2} \cdot Q_{k,F2}$$

$$G_k + Q_{k,F2} + \Psi_{0,F1} \cdot Q_{k,F1}$$

Combinacions freqüents:

$$G_k + \Psi_{1,F1} \cdot Q_{k,F1} + \Psi_{2,F2} \cdot Q_{k,F2}$$

$$G_k + \Psi_{1,F2} \cdot Q_{k,F2} + \Psi_{2,F1} \cdot Q_{k,F1}$$

Combinacions quasi permanents:

$$G_k + \Psi_{2,F1} \cdot Q_{k,F1} + \Psi_{2,F2} \cdot Q_{k,F2}$$

Càrrega permanent + sobrecàrregues de les famílies 1 i 3 (Hipòtesi 0, 1, 2, 3, 4, 7, 8, 9, 10, 21, 22, 25 i 26)

Combinacions poc probables (característiques en CTE):

$$G_k + Q_{k,F1} + \Psi_{0,F3} \cdot Q_{k,F3}$$

$$G_k + Q_{k,F3} + \Psi_{0,F1} \cdot Q_{k,F1}$$

Combinacions freqüents:

$$G_k + \Psi_{1,F1} \cdot Q_{k,F1} + \Psi_{2,F3} \cdot Q_{k,F3}$$

$$G_k + \Psi_{1,F3} \cdot Q_{k,F3} + \Psi_{2,F1} \cdot Q_{k,F1}$$

Combinacions quasi permanents:

$$G_k + \Psi_{2,F1} \cdot Q_{k,F1} + \Psi_{2,F3} \cdot Q_{k,F3}$$

Càrrega permanent + sobrecàrregues de les famílies 2 i 3 (Hipòtesi 0, 3, 4, 21, 22, 25 i 26 i de 11 a 20)

Combinacions poc probables (característiques en CTE):

$$G_k + Q_{k,F2} + \Psi_{0,F3} \cdot Q_{k,F3}$$

$$G_k + Q_{k,F3} + \Psi_{0,F2} \cdot Q_{k,F2}$$

Combinacions freqüents:

$$\begin{aligned} G_k + \Psi_{1,F2} \cdot Q_{k,F2} + \Psi_{2,F3} \cdot Q_{k,F3} \\ G_k + \Psi_{1,F3} \cdot Q_{k,F3} + \Psi_{2,F2} \cdot Q_{k,F2} \end{aligned}$$

Combinacions quasi permanents:

$$G_k + \Psi_{2,F2} \cdot Q_{k,F2} + \Psi_{2,F3} \cdot Q_{k,F3}$$

Càrrega permanent + sobrecàrregues de les famílies 1, 2 i 3 (Hipòtesi 0, 1, 2, 3, 4, 7, 8, 9, 10, 21, 22, 25 i 26 i de 11 a 20)

Combinacions poc probables (característiques en CTE):

$$\begin{aligned} G_k + Q_{k,F1} + \Psi_{0,F2} \cdot Q_{k,F2} + \Psi_{0,F3} \cdot Q_{k,F3} \\ G_k + Q_{k,F2} + \Psi_{0,F1} \cdot Q_{k,F1} + \Psi_{0,F3} \cdot Q_{k,F3} \\ G_k + Q_{k,F3} + \Psi_{0,F1} \cdot Q_{k,F1} + \Psi_{0,F2} \cdot Q_{k,F2} \end{aligned}$$

Combinacions freqüents:

$$\begin{aligned} G_k + \Psi_{1,F1} \cdot Q_{k,F1} + \Psi_{2,F2} \cdot Q_{k,F2} + \Psi_{2,F3} \cdot Q_{k,F3} \\ G_k + \Psi_{1,F2} \cdot Q_{k,F2} + \Psi_{2,F1} \cdot Q_{k,F1} + \Psi_{2,F3} \cdot Q_{k,F3} \\ G_k + \Psi_{1,F3} \cdot Q_{k,F3} + \Psi_{2,F1} \cdot Q_{k,F1} + \Psi_{2,F2} \cdot Q_{k,F2} \end{aligned}$$

Combinacions quasi permanents:

$$G_k + \Psi_{2,F1} \cdot Q_{k,F1} + \Psi_{2,F2} \cdot Q_{k,F2} + \Psi_{2,F3} \cdot Q_{k,F3}$$

5.4.3 Hipòtesi de càrrega

NH	Nom	Tipus	Descripció
0	G	Permanents	Permanents
1	Q1	Sobrecàrregues	Sobrecàrregues
2	Q2	Sobrecàrregues	Sobrecàrregues
7	Q3	Sobrecàrregues	Sobrecàrregues
8	Q4	Sobrecàrregues	Sobrecàrregues
9	Q5	Sobrecàrregues	Sobrecàrregues
10	Q6	Sobrecàrregues	Sobrecàrregues
3	W1	Vent	Vent
4	W2	Vent	Vent
25	W3	Vent	Vent
26	W4	Vent	Vent
22	S	Neu	Neu
5	Ex	Sisme X	Sisme X
24	Ey	Sisme Y	Sisme Y
6	Ez	Sisme Z	Sisme Z
11	M1	Empenta terreny	Sobrecàrregues
21	T	Sense definir	Temperatura
23	A	Sense definir	Accidentals

5.4.4 Coeficients de majoració ELU

Tipus	Hipòtesi	Favorable	desfavorable
Càrregues permanents	0	1.00	1.35
	1	0.00	1.50
Càrregues variables	2	0.00	1.50
	7	0.00	1.50

Tipus	Hipòtesi	Favorable	desfavorable
	8	0.00	1.50
	9	0.00	1.50
	10	0.00	1.50
	3	0.00	1.50
	4	0.00	1.50
Càrregues de vent no simultànies	25	0.00	1.50
	26	0.00	1.50
	5	0.00	1.00
	6	0.00	1.00
Càrregues de sisme no simultànies	24	0.00	1.00
	11	0.00	1.50
Càrregues móbils	21	0.00	1.50
Càrregues de temperatura	22	0.00	1.50
Càrregues de neu	23	0.00	1.00
Càrregues accidentals			

5.4.5 Coeficients de majoració ELS

Tipus	Hipòtesi	Favorable	desfavorable
Càrregues permanents	0	1.00	1.00
	1	0.00	1.00
	2	0.00	1.00
	7	0.00	1.00
	8	0.00	1.00
	9	0.00	1.00
	10	0.00	1.00
	3	0.00	1.00
Càrregues variables	4	0.00	1.00
	25	0.00	1.00
	26	0.00	1.00
	5	0.00	1.00
	6	0.00	1.00
Càrregues de vent no simultànies	24	0.00	1.00
	11	0.00	1.00
Càrregues móbils	21	0.00	1.00
Càrregues de temperatura	22	0.00	1.00
Càrregues de neu	23	0.00	1.00
Càrregues accidentals			

5.4.6 Coeficients de simultaneïtat

Tipus de càrrega	ψ_0	ψ_1	ψ_2
Gravitatori	0.70	0.50	0.30
Mòbils	0.70	0.50	0.30
Vent	0.60	0.50	0.00
Neu	0.50	0.20	0.00
Temperatura	0.60	0.50	0.00

5.5 Càlcul de sol·licitacions

El càlcul de les sol·licitacions ha estat realitzat mitjançant el mètode matricial espacial de la rigidesa, suposant una relació lineal entre esforços i deformacions en les barres i considerant els sis graus de llibertat possibles de cada nus. A títol indicatiu, es mostra a continuació la matriu de rigidesa d'una barra, on es poden veure les característiques dels perfils utilitzats per al càlcul d'esforços:

$$\begin{matrix} \frac{E \cdot A_x}{L} & 0 & 0 & 0 & 0 & 0 \\ 0 & \frac{12 \cdot E \cdot I_z}{L^3} & 0 & 0 & 0 & -\frac{6 \cdot E \cdot I_z}{L^2} \\ 0 & 0 & \frac{12 \cdot E \cdot I_y}{L^3} & 0 & \frac{6 \cdot E \cdot I_y}{L^2} & 0 \\ 0 & 0 & 0 & \frac{G \cdot I_x}{L} & 0 & 0 \\ 0 & 0 & \frac{6 \cdot E \cdot I_y}{L^2} & 0 & \frac{4 \cdot E \cdot I_y}{L} & 0 \\ 0 & -\frac{6 \cdot E \cdot I_z}{L^2} & 0 & 0 & 0 & \frac{4 \cdot E \cdot I_z}{L} \end{matrix}$$

on E és el mòdul de deformació longitudinal i G és el mòdul de deformació transversal calculat en funció del coeficient de Poisson i de E . Els seus valors es prenen de la base de perfils corresponent a cada barra.

Es possible reduir l'escurçament per axil dels pilars mitjançant la introducció d'un factor multiplicador del terme ' $E \cdot A_x / L$ ' de la matriu anterior.

Es possible considerar l'opció d'indeformentabilitat de forjats horizontals en el seu plàtol. Al seleccionar aquesta opció, tots els nusos situats dins del perímetre de cada forjat horizontal, unidireccional, reticular o llosa, queden englobats en 'grups' (un per cada forjat), als que individualment s'assignen 3 graus de llibertat. El desplaçament vertical $-D_y$ i els girs segons els eixos horizontals $-G_x$ i G_z . Els altres tres graus de llibertat (D_x , D_z i G_y) es suposen comptabilitzats entre tots els nusos del 'grup'. Als nusos que no pertanyen a un forjat horizontal, ja sigui per estar independents o per estar en plànols inclinats, se'ls hi assignen 6 graus de llibertat.

Es possible considerar la mida del pilar en els forjats reticulars i lloses. Al seleccionar aquesta opció, es considera que la part de forjat o llosa situada sobre el pilar (considerant per això l'exacta dimensió del pilar i la seva posició o creixement) és infinitament rígida. Tots els nusos situats a l'interior del perímetre del pilar comparteixen, per tant, els 6 graus de llibertat (D_x , D_y , D_z , G_x , G_y , G_z). Això fa que a l'interior d'aquesta porció de forjat, no existeixin esforços, i per tant, els nervis i les bigues que escometen al pilar s'armen amb els esforços existents a la cara del pilar.

En base a aquest mètode s'ha plantejat i resolt el sistema d'equacions o matriu de rigidesa de l'estructura, determinant els desplaçaments dels nusos per l'actuació del conjunt de les càrregues, per posteriorment obtenir els esforços en els nusos en funció dels desplaçaments calculats.

En el cas de que l'estructura es calculi sota els efectes de les accions sísmiques definides per la Norma NCSE es realitza el càlcul de l'estructura mitjançant el mètode de l'"Anàlisi Modal Espectral", recomanat per la mateixa. D'aquesta forma poden obtenir-se els modes i períodes de vibració propis de l'estructura, dades que poden ésser utilitzades per a la combinació de l'estructura amb càrregues harmòniques i la possibilitat d'entrada en ressonància de la mateixa.

Els murs resistentes, forjats reticulars, lloses de forjat, de fonamentació o escales es modelitzen com a elements finits tridimensionals de quatre o tres vèrtexs. Els altres tipus d'elements, s'hi consideren bigues, pilars, diagonals o bigues de forjat es modelitzen com a elements lineals tipus barra.

Una biga, un pilar o una diagonal està formada per dos nusos units mitjançant una 'barra'. De forma similar, un mur resistent, un forjat reticular, llosa de forjat, de fonamentació o escala està format per un conjunt d'elements finits juxtaposats definits pels seus nodes o vèrtexs.

Quan en una estructura es defineixen bigues, pilars, diagonals, forjats i murs resistentes, el mètode de càlcul d'esforços consisteix a formar un sistema d'equacions lineals que relacionen els graus de llibertat que es desitgen obtenir, els desplaçaments i girs dels nusos i dels nodes, amb les accions exteriors, les càrregues, i les condicions de vora, suports i encastaments.

De forma matricial, es tracta de l'equació

$$[K] \cdot \{D\} = \{F\}$$

on '[K]' es la matriu de rigidesa de l'estructura, '{D}' es el vector de desplaçaments i girs dels nusos i nodes, i '{F}' es el vector de forces exteriors. Una vegada resolt el sistema d'equacions, i per tant, obtinguts els desplaçaments i girs dels nusos i nodes de l'estructura, es possible obtenir els esforços (en el cas de les bigues, pilars, diagonals i nervis dels forjats i lloses) i les tensions (en el cas dels murs resistentes) de tota l'estructura.

Per obtenir el sistema '[K] · {D} = {F}', s'opera d'igual forma que amb una estructura formada exclusivament per nusos i barres: cada part de l'estructura (barra, tros de nervi o element finit) posseeix una matriu de rigidesa elemental, [K]_e, que després de transformar-la al sistema d'eixos generals de l'estructura, es pot sumar o ensamblar en la matriu general de l'estructura. L'única diferència entre les barres i els elements finits es la dimensió i significat de cada fila o columna de les seves matrius de rigidesa elementals (a l'apartat '5.18.2 Característiques geomètriques i mecàniques dels perfils' apareix la matriu de la rigidesa elemental d'una barra). Es pot, per tant, que el mètode matricial espacial de càlcul d'estructures de barres es un cas particular del mètode d'elements finits, en el que l'element finit es una barra.

5.5.1 Element finit utilitzat

Per la modelització de murs resistentes, forjats reticulars, lloses de forjat, de fonamentació o escales, el programa utilitza un element finit isoparamètric quadrilàter de 4 nodes (i un auxiliar, triangle de 3 nodes, per facilitar el mallat). Cada node posseeix cinc graus de llibertat (u , v , w , θ_x i θ_y), sent els 2 primers de tensió plana i els 3 següents de flexió de placa. La matriu de rigidesa elemental té, en coordenades naturals, $4 \cdot 5 = 20$ files i 20 columnes, no existint termes que relacionin els graus de llibertat de tensió plana amb els de flexió de placa. Per tant, l'element utilitzat procedeix de l'engalatzament d'un element quadrilàter de quatre nodes de tensió plana amb altre també quadrilàter de quatre nodes de flexió de placa. Concretament, per la flexió s'ha utilitzat l'element quadrilàter de quatre nodes amb deformacions de tallant lineals CLLL (placa grossa de Reissner-Mindlin basada en camps de deformacions de tallant transversal imposades).

Per la obtenció de la matriu de rigidesa, s'utilitza una integració numèrica mitjançant una quadratura de Gauss-Legendre de 2×2 punts. La posició dels 2×2 punts de Gauss en coordenades naturals, així com els pesos assignats a aquests punts, es la següent:

$$G_{1,1} = \{1/\sqrt{3}, 1/\sqrt{3}\}; W_{1,1} = 1,0$$

$$G_{1,2} = \{1/\sqrt{3}, -1/\sqrt{3}\}; W_{1,2} = 1,0$$

$$G_{2,1} = \{-1/\sqrt{3}, 1/\sqrt{3}\}; W_{2,1} = 1,0$$

$$G_{2,2} = \{-1/\sqrt{3}, -1/\sqrt{3}\}; W_{2,2} = 1,0$$

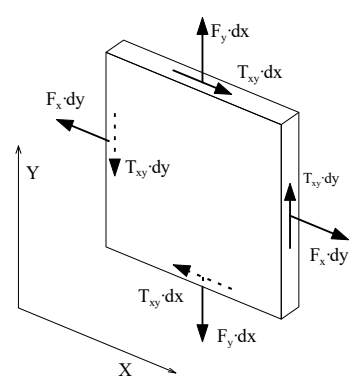
(En el cas de l'element triangular auxiliar, s'utilitza una quadratura d'1 punt, situat en el centre de l'element)

Una vegada obtinguts els desplaçaments de tots els nusos i nodes de l'estructura (resolent el sistema $[K] \cdot \{D\} = \{F\}$), s'obtenen les tensions en els punts de Gauss de cada element mitjançant una quadratura de Gauss-Legendre de 2×2 punts. Les tensions nodals de cada element s'obtenen extrapolant, mitjançant les funcions de forma del element, les dels punts de Gauss. Aquests procediments produeix valors nodals discontinus entre elements adjacents, discontinuitats que es redueixen segons es fa la malla d'elements més tupida, fins desaparèixer en el límit.

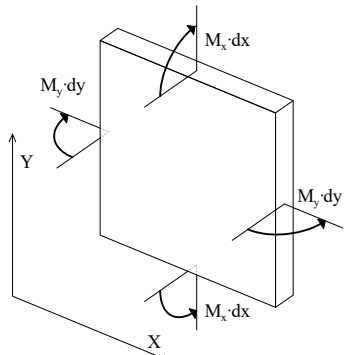
En el programa es realitza un 'allisat' de les tensions nodals mitjançant una mitja quadràtica de les tensions procedents de cada element al que pertany el node en qüestió. Aquest allisat es produeix mur a mur o forjat a forjat; es a dir, els nusos situats a l'interior d'un mur posseiran un únic vector de tensions, però els situats a la frontera entre dos murs posseiran un vector diferent per cada mur al que pertanyi el node. Aquest es fa així perquè normalment, a les unions entre murs (les unions en horitzontal s'acostumen a realitzar per canvis de direcció del mur, i les unions en vertical s'acostumen a realitzar en els forjats), es produueixen salts bruscos de les tensions.

Les tensions (esforços) que es produueixen en un tros de mur elemental de dimensions dx, dy respecte al sistema de coordenades principal del mur, son les següents:

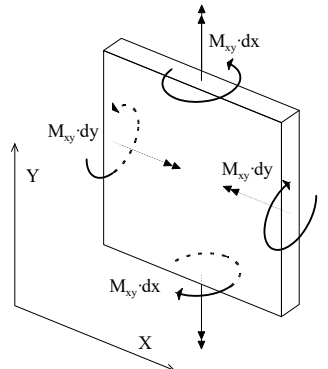
Tensió	Esforç	Tipus	Descripció
σ_x	$F_x \cdot dy$	Tensió Plana	Axil horitzontal
σ_y	$F_y \cdot dx$	Tensió Plana	Axil vertical
τ_{xy}	$T_{xy} \cdot dy, T_{yx} \cdot dx$	Tensió Plana	Tallant contingut en pla
$\int z \cdot \sigma_y \cdot dz$	$M_x \cdot dx$	Flexió	Moment flector respecte a un eix horitzontal
$\int z \cdot \sigma_x \cdot dz$	$M_y \cdot dy$	Flexió	Moment flector respecte a un eix vertical
$\int z \cdot \tau_{xy} \cdot dz$	$M_{xy} \cdot dy, M_{yx} \cdot dx$	Flexió	Moment Torsor respecte a un eix contingut en el pla.
$\int \tau_{xz} \cdot dz$	$T_{xz} \cdot dy$	Flexió	Tallant horitzontal perpendicular al pla
$\int \tau_{yz} \cdot dz$	$T_{yz} \cdot dx$	Flexió	Tallant vertical perpendicular al pla



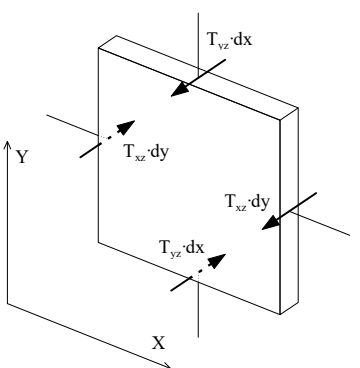
Axils i tallants de Tensió Plana.



Moments Flectors de Flexió de plaques.



Moments Torsors de Flexió de plaques.



Tallants de Flexió de plaques.

De manera similar s'obtenen les tensions (esforços) que es produueixen en un tros de forjat o llosa elemental de dimensions dx, dy respecte al sistema de coordenades principal del forjat, en les que l'eix x correspon a la direcció de l'armadura longitudinal i l'eix y a la de l'armadura transversal.

5.5.2 Principis fonamentals del càlcul matricial.

El programa Tricalc realitza el càlcul d'esforços utilitzant com a mètode de càlcul, el mètode matricial de la rigidesa. En aquest mètode, es calculen els desplaçaments i girs de tots els nusos de l'estructura, (cada nus té sis graus de llibertat: els desplaçaments i girs sobre tres eixos generals de l'espai, a menys que s'opti per la opció d'indeformabilitat dels forjats horitzontals en el seu plàtol o la consideració de la mida del pilar en forjats reticulars i lloses), i en funció d'ells s'obtenen els esforços (axils, tallants, moment torsor i flectors) de cada secció.

Per a la validesa d'aquest mètode, les estructures a calcular han de complir o s'ha de suposar el compliment dels següents supòsits:

Es suposa que la geometria d'una estructura no canvia apreciablement sota l'aplicació de les càrregues. Aquest principi és en general vàlid, llevat dels casos en els que la deformació és excessiva (punts penjants, arcs esvelts). Si es realitza un càlcul en 1er ordre, implica a més, que es menyspreen els esforços produïts pels desplaçaments de les càrregues originats al desplaçar-se l'estructura. Si es realitza un càlcul en 2n ordre, es consideren els esforços originats per les càrregues al desplaçar-se l'estructura, sempre dins de la teoria de les petites deformacions que implica que les longituds dels elements es mantenen constants. Aquest mateix principi estableix que es menyspreen els canvis de longitud entre els extrems d'una barra deguts a la curvatura de la mateixa o a desplaçaments produïts en una direcció ortogonal a la seva directriu, tant en un càlcul en 1er ordre com en 2n ordre. Hi ha altres mètodes tals com la teoria de les grans deflexions que sí recullen aquests casos, que no són contemplats a Tricalc. En el càlcul en 2n ordre es permeten seleccionar les combinacions a considerar, pel criteri de màxim desplaçament i pel criteri de màxim axil, o també és possible la realització del càlcul en 2n ordre per a totes les combinacions.

5.5.2.1 Linealitat

Aquest principi suposa que la relació tensió -deformació, i per tant, la relació càrrega deflexió, és constant, tant en 1er ordre com en 2n ordre. Això és generalment vàlid en els materials elàstics, però s'ha de garantir que el material no arriba al punt de fluència en cap de les seves seccions.

5.5.2.2 Superposició

Aquest principi estableix que la seqüència d'aplicació de les càrregues no altera els resultats finals. Com a conseqüència d'aquest principi, és vàlid l'ús de les "forces equivalents als nusos" calculades a partir de les càrregues existents en les barres; això és, pel càlcul dels desplaçaments i girs dels nusos es substitueixen les càrregues existents a les barres per les seves càrregues existents a les barres per les seves càrregues equivalents aplicades als nusos.

5.5.2.3 Equilibri

La condició d'equilibri estàtic estableix que la suma de totes les forces externes que actuen sobre l'estructura, més les reaccions, serà igual a zero. Així mateix, han d'estar en equilibri tots els nusos i totes les barres de l'estructura, per la qual cosa la suma de forces i moments interns i externs en tots els nusos de l'estructura ha de ser igual a zero.

5.5.2.4 Compatibilitat

Aquest principi suposa que la deformació i conseqüentment el desplaçament, de qualsevol punt de l'estructura és continu i té un sol valor.

5.5.2.5 Condicions de contorn

Per poder calcular una estructura, s'han d'imposar una sèrie de condicions de contorn. TRICALC permet definir en qualsevol nucli restriccions absolutes (suports i encastaments) o relatives (ressorts) al desplaçament i al gir en els tres eixos generals de l'estructura, així com desplaçaments imposats (assentaments).

5.5.2.6 Unicitat de les solucions

Per a un conjunt donat de càrregues externes, tant la forma deformada de l'estructura i les forces internes així com les reaccions té un valor únic.

5.5.2.7 Desplom i imperfeccions inicials

Existeix la possibilitat de considerar els efectes de les imperfeccions inicials globals degudes a les desviacions geomètriques de fabricació i de construcció de l'estructura. Tant la Norma CTE DB SE-A en el seu article 5.4.1 Imperfeccions geomètriques com l'Eurocodi 3 en el seu article 5.3.2 Imperfections for global analysis of frames, citen la necessitat de tenir en compte aquestes imperfeccions. Aquests valors són els següents:

- L/200 si hi ha dos suports i una alçada.
- L/400 si hi ha 4 o més suports i 3 o més alçades.
- L/300 per a situacions intermèdies.

A més es defineixen uns valors de deformació (e_0) per a les imperfeccions locals degudes als esforços de compressió sobre els pilars.

5.6 Càrregues

Les càrregues previstes per als diferents elements estructurals analitzats es defineixen a continuació:

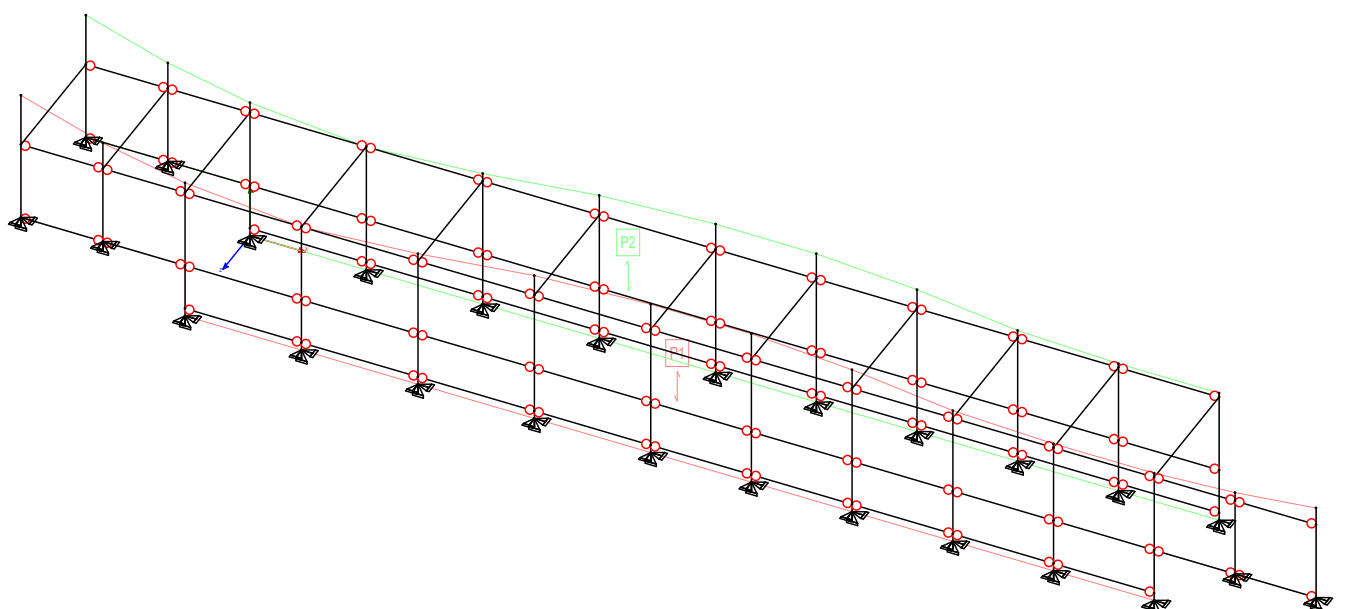
5.6.1 Permanents

5.6.1.1 Densitats

- Pes propi del formigó: 25.00 kN/m³
- Pes propi de l'acer: 78.50 kN/m³

5.6.1.2 Plafons de façana

- G:= 0,18 kN/m²; 0,16 kN/m² perfils omega + baranes
- ; 0,02 kN/m² reixa simple torsió + accessoris



Panells de càrregues superficals

Pla P1 [-0,0000; -0,0000; 1,0000; -240,0000]**P1**

Reparteix sobre barres fictícies:

No

Repartiment sobre tirants:

No

Vector direcció: 0,0000; -1,0000; 0,0000; Yg-

Polígon	Vèrtex	X (cm)	Y	Z
1	1	-296,00	350,00	240,00
	2	-148,00	302,00	240,00
	3	0,00	270,00	240,00
	4	210,00	250,00	240,00
	5	420,00	265,00	240,00
	6	630,00	290,00	240,00
	7	840,00	301,00	240,00
	8	1021,60	301,00	240,00
	9	1203,20	288,00	240,00
	10	1384,80	265,00	240,00
	11	1566,40	258,00	240,00
	12	1748,00	258,00	240,00
	13	1894,00	267,00	240,00
	14	2040,00	284,00	240,00
	15	2040,00	102,00	240,00
	16	1748,00	102,00	240,00
	17	1748,00	0,00	240,00
	18	0,00	0,00	240,00
	19	0,00	102,00	240,00
	20	-296,00	102,00	240,00

Càrrega	Hipòtesi
0,18 kN/m ²	0 G

Pla [0,0000; 0,0000; -1,0000; -0,0000]**P2**

Reparteix sobre barres fictícies:

No

Repartiment sobre tirants:

No

Vector direcció: 0,0000; -1,0000; 0,0000; Yg-

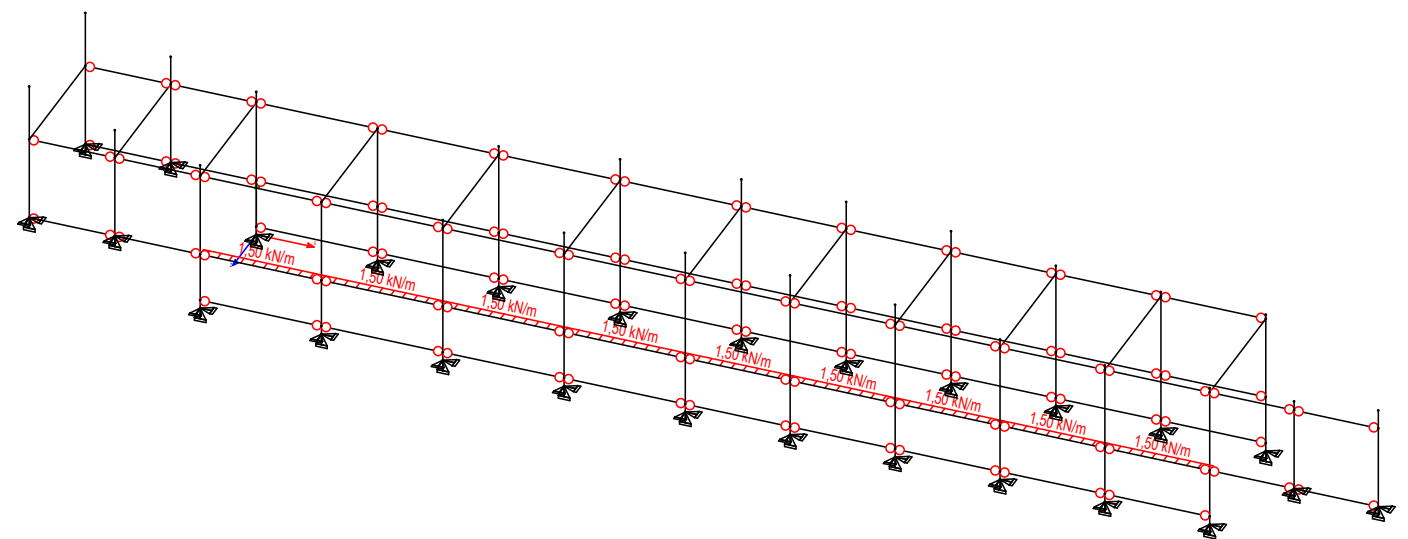
Polígon	Vèrtex	X (cm)	Y	Z
1	1	-296,00	350,00	0,00
	2	-148,00	302,00	0,00
	3	0,00	270,00	0,00
	4	210,00	250,00	0,00
	5	420,00	265,00	0,00
	6	630,00	290,00	0,00
	7	840,00	301,00	0,00
	8	1021,60	301,00	0,00
	9	1203,20	288,00	0,00
	10	1384,80	265,00	0,00
	11	1566,40	258,00	0,00
	12	1748,00	258,00	0,00
	13	1748,00	0,00	0,00
	14	1566,40	0,00	0,00
	15	0,00	0,00	0,00

Polígon	Vèrtex	X (cm)	Y	Z
	16	0,00	102,00	0,00
	17	-296,00	102,00	0,00

Càrrega	Hipòtesi
0,18 kN/m ²	0 G

5.6.2 Sobrecàrregues**5.6.2.1 En barana**

- $Q_1 := 1,50 \text{ kN/m}^2$; horizontal aplicada en barana



Sobrecàrregues aplicades

5.6.3 Neu

No aplica.

5.6.4 Vent

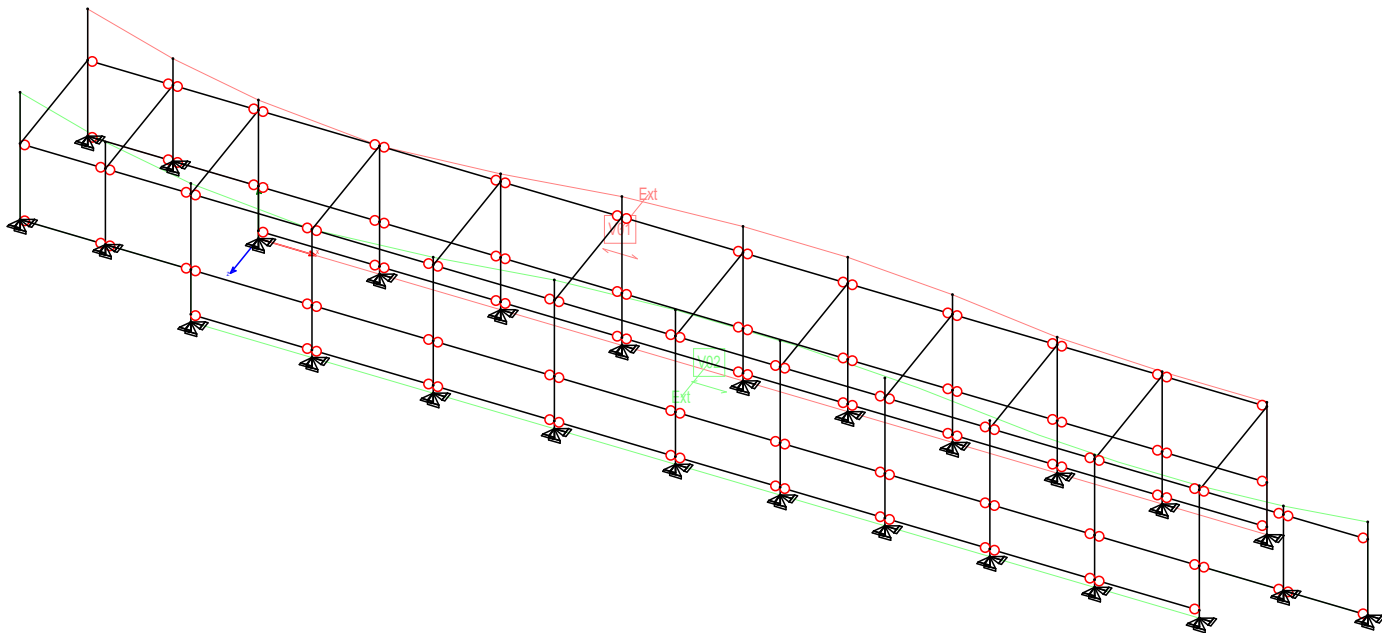
Zona eòlica: C

Rugositat del terreny: V, estructura protegida a vent

Altura de ref.: 10,00m

Acció del vent [qe / cp]: 0,6485 kN/m²

Es considera un factor d'opacitat conservador del 25%.



Panelis de càrregues de vent

Pla [0,0000; 0,0000; -1,0000; 0,0000]

V01

Vector normal cap a l'exterior:

Repartiment:

Superfície actuant:

Reparteix sobre barres fictícies:

Repartiment sobre tirants:

0,0000; 0,0000; -1,0000; Zg-

Contínua

Façana

No

No

Polígon	Vèrtex	X (cm)	Y	Z
1	1	1748,00	0,00	0,00
	2	0,00	0,00	0,00
	3	0,00	102,00	0,00
	4	-296,00	102,00	0,00
	5	-296,00	350,00	0,00
	6	-148,00	302,00	0,00
	7	0,00	270,00	0,00
	8	210,00	250,00	0,00
	9	420,00	265,00	0,00
	10	630,00	290,00	0,00
	11	840,00	301,00	0,00
	12	1021,60	301,00	0,00
	13	1203,20	288,00	0,00
	14	1384,80	265,00	0,00
	15	1566,40	258,00	0,00

Polígon	Vèrtex	X (cm)	Y	Z
	16	1748,00	258,00	0,00

Direcció 2

Vector direcció: 0,0000; 0,0000; 1,0000; Zg+

Hipòtesi: W2

Vent exterior:

Acció del vent [qe / cp]: 0,65 kN/m²

Coeficient eòlic, cp: 0,20 (Pressió)

Càrrega de vent: 0,13 kN/m²

Direcció de la càrrega: 0,0000; 0,0000; 1,0000; Zg+

Pla P1 [0,0000; 0,0000; 1,0000; -240,0000]

V02

Vector normal cap a l'exterior:

0,0000; 0,0000; 1,0000; Zg+

Repartiment:

Contínua

Superfície actuant:

Façana

No

Reparteix sobre barres fictícies:

No

Repartiment sobre tirants:

No

Polígon	Vèrtex	X (cm)	Y	Z
1	1	2040,00	284,00	240,00
	2	1894,00	267,00	240,00
	3	1748,00	258,00	240,00
	4	1609,00	258,00	240,00
	5	1470,00	265,00	240,00
	6	1260,00	288,00	240,00
	7	1050,00	301,00	240,00
	8	840,00	301,00	240,00
	9	630,00	290,00	240,00
	10	420,00	265,00	240,00
	11	210,00	250,00	240,00
	12	0,00	270,00	240,00
	13	-148,00	302,00	240,00
	14	-296,00	350,00	240,00
	15	-296,00	102,00	240,00
	16	0,00	102,00	240,00
	17	0,00	0,00	240,00
	18	1748,00	0,00	240,00
	19	1748,00	102,00	240,00
	20	2040,00	102,00	240,00

Direcció 2

Vector direcció: 0,0000; 0,0000; 1,0000; Zg+

Hipòtesi: W2

Vent exterior:

Acció del vent [qe / cp]: 0,65 kN/m²

Coeficient eòlic, cp: -0,08 (Succió)

Càrrega de vent: 0,05 kN/m²

Direcció de la càrrega: 0,0000; 0,0000; 1,0000; Zg+

5.6.5 Càrrega sísmica

No es considera.

5.6.6 Càrregues tèrmiques

No es consideren.

5.6.7 Càrregues accidentals

No es consideren.

5.7 Comprovació de seccions d'acer

5.7.1 Criteris de comprovació

S'han seguit els criteris indicats en l'Annex 22 del Codi Estructural per a realitzar la comprovació de l'estructura, sobre la base del mètode dels estats límits.

Per a seccions laminades i armades, també se segueixen els criteris de l'Annex 25 del Codi Estructural.

Per a seccions conformades en fred, mancant especificacions en el Codi Estructural, se segueixen els criteris de l'EN 1993-1-3.

Per a les unions entre elements d'acer, se segueixen els criteris de l'Annex 26 del Codi Estructural.

5.7.2 Classes d'execució de l'estructura

S'indica a continuació la classe d'execució dels elements que formen part de la estructura metàl·lica, necessària per garantir el nivell de seguretat definit. La classe d'execució afectarà als processos fabricació i muntatge de les estructures.

5.7.2.1 Nivell de risc

El nivell de risc d'una obra defineix les conseqüències que podria tenir la seva falla estructural durant la seva construcció o en servei, i s'estableix segons els següents criteris:

- Nivell CC3: Elements en que la seva falla compromet la seguretat de les persones o pot generar grans pèrdues econòmiques.
- Nivell CC2: Elements en que la seva falla compromet la seguretat de les persones però no el públic en general, o pot generar apreciables pèrdues econòmiques.
- Nivell CC1: Elements no inclosos en els nivells anteriors.

5.7.2.2 Condicions d'execució i d'ús

Les condicions d'execució i ús intenten categoritzar els riscos inherents al tipus de construcció i al tipus d'accions que poden incidir sobre l'estructura. S'estableixen d'acord amb les categories d'ús i execució que es defineixen a continuació:

5.7.2.2.1 Categories d'ús

La categoria d'ús depèn del risc lligat al servei per al qual es dissenya l'estructura:

- SC1: Estructures i components sotmesos a accions predominantment estàtiques (edificis). Estructures amb unions dissenyades per a accions sísmiques moderades que no requereixen ductilitat. Carrileres i suports amb càrregues de fatiga reduïda.
- SC2: Estructures i components sotmesos a accions de fatiga (punts de carretera, grues i carrileres). Estructures sotmeses a vibracions per efectes del vent, pas de persones o maquinària amb rotació. Estructures amb unions que requereixen ductilitat per requisit de disseny anti-sísmic.

5.7.2.2.2 Categories d'execució

La categoria d'ús depèn de la fabricació i del muntatge de la estructura:

- PC1: Components sense unions soldades, amb qualsevol tipus d'acer. Components amb soldadures d'acer de grau inferior a S355 realitzades en taller.
- PC2: Components amb soldadures d'acer de grau S355 o superior. Execució de soldadures en obra d'elements principals. Elements sotmesos a tractament tèrmic durant la seva fabricació: peces de perfil buit amb retallades en boca de lllop.

5.7.2.3 Determinació de la classe d'execució

La classe d'execució es defineix a partir dels criteris anteriors de nivell de risc i categoria de les condicions d'execució i ús d'acord amb la següent taula:

Nivell de risc	CC1	CC2	CC3			
Categoria d'ús	SC1	SC2	SC1	SC2	SC1	SC2
Categoría ejecución PC1	1	2	2	3	3	3
Categoría ejecución PC2	2	2	2	3	3	4

En casos particulars, de conformitat amb la propietat, pot ser convenient imposar una classe d'execució superior en alguns elements particulars.

Les estructures que s'inclouen en el present informe de càlcul es classifiquen de la següent manera:

Nivell de risc: CC2

Categoria d'ús: SC1

Nivell de risc: PC1

Per tant, la classe d'execució dels diferents elements i components estructurals és:

CLASSE D'EXECUCIÓ = 2

6. LLISTATS DE CÀLCUL

6.1 Llistat de combinacions

Combinacions ELS			
Comb.	Ordre	Reologia Fusta	H0+H1+H2...+H27
0	1	---	+1,00 G
1	1	---	+1,00 G +1,00 w1
2	1	---	+1,00 G +1,00 w2
3	1	---	+1,00 G +1,00 w3
4	1	---	+1,00 G +1,00 w4
5	1	---	+1,00 G -1,00 w1
6	1	---	+1,00 G -1,00 w2
7	1	---	+1,00 G -1,00 w3
8	1	---	+1,00 G -1,00 w4
9	1	---	+1,00 G +1,00 s
10	1	---	+1,00 G +0,60 w1 +1,00 s
11	1	---	+1,00 G +1,00 w1 +0,50 s
12	1	---	+1,00 G +0,60 w2 +1,00 s
13	1	---	+1,00 G +1,00 w2 +0,50 s
14	1	---	+1,00 G +1,00 s +0,60 w3
15	1	---	+1,00 G +0,50 s +1,00 w3
16	1	---	+1,00 G +1,00 s +0,60 w4
17	1	---	+1,00 G +0,50 s +1,00 w4
18	1	---	+1,00 G -0,60 w1 +1,00 s
19	1	---	+1,00 G -1,00 w1 +0,50 s
20	1	---	+1,00 G -0,60 w2 +1,00 s
21	1	---	+1,00 G -1,00 w2 +0,50 s
22	1	---	+1,00 G +1,00 s -0,60 w3
23	1	---	+1,00 G +0,50 s -1,00 w3
24	1	---	+1,00 G +1,00 s -0,60 w4
25	1	---	+1,00 G +0,50 s -1,00 w4
26	1	---	+1,00 G +1,00 Q1
27	1	---	+1,00 G +1,00 Q1 +0,60 w1
28	1	---	+1,00 G +0,70 Q1 +1,00 w1
29	1	---	+1,00 G +1,00 Q1 +0,60 w2
30	1	---	+1,00 G +0,70 Q1 +1,00 w2
31	1	---	+1,00 G +1,00 Q1 +0,60 w3
32	1	---	+1,00 G +0,70 Q1 +1,00 w3
33	1	---	+1,00 G +1,00 Q1 +0,60 w4
34	1	---	+1,00 G +0,70 Q1 +1,00 w4
35	1	---	+1,00 G +1,00 Q1 -0,60 w1
36	1	---	+1,00 G +0,70 Q1 -1,00 w1

Combinacions ELS			
Comb.	Ordre	Reologia Fusta	H0+H1+H2...+H27
37	1	---	+1,00 G +1,00 Q1 -0,60 w2
38	1	---	+1,00 G +0,70 Q1 -1,00 w2
39	1	---	+1,00 G +1,00 Q1 -0,60 w3
40	1	---	+1,00 G +0,70 Q1 -1,00 w3
41	1	---	+1,00 G +1,00 Q1 -0,60 w4
42	1	---	+1,00 G +0,70 Q1 -1,00 w4
43	1	---	+1,00 G +1,00 Q1 +0,50 s
44	1	---	+1,00 G +0,70 Q1 +1,00 s
45	1	---	+1,00 G +1,00 Q1 +0,60 w1 +0,50 s
46	1	---	+1,00 G +0,70 Q1 +0,60 w1 +1,00 s
47	1	---	+1,00 G +0,70 Q1 +1,00 w1 +0,50 s
48	1	---	+1,00 G +1,00 Q1 +0,60 w2 +0,50 s
49	1	---	+1,00 G +0,70 Q1 +0,60 w2 +1,00 s
50	1	---	+1,00 G +0,70 Q1 +1,00 w2 +0,50 s
51	1	---	+1,00 G +1,00 Q1 +0,50 s +0,60 w3
52	1	---	+1,00 G +0,70 Q1 +1,00 s +0,60 w3
53	1	---	+1,00 G +0,70 Q1 +0,50 s +1,00 w3
54	1	---	+1,00 G +1,00 Q1 +0,50 s +0,60 w4
55	1	---	+1,00 G +0,70 Q1 +1,00 s +0,60 w4
56	1	---	+1,00 G +0,70 Q1 +0,50 s +1,00 w4
57	1	---	+1,00 G +1,00 Q1 -0,60 w1 +0,50 s
58	1	---	+1,00 G +0,70 Q1 -0,60 w1 +1,00 s
59	1	---	+1,00 G +0,70 Q1 -1,00 w1 +0,50 s
60	1	---	+1,00 G +1,00 Q1 -0,60 w2 +0,50 s
61	1	---	+1,00 G +0,70 Q1 -0,60 w2 +1,00 s
62	1	---	+1,00 G +0,70 Q1 -1,00 w2 +0,50 s
63	1	---	+1,00 G +1,00 Q1 +0,50 s -0,60 w3
64	1	---	+1,00 G +0,70 Q1 +1,00 s -0,60 w3
65	1	---	+1,00 G +0,70 Q1 +0,50 s -1,00 w3
66	1	---	+1,00 G +1,00 Q1 +0,50 s -0,60 w4
67	1	---	+1,00 G +0,70 Q1 +1,00 s -0,60 w4
68	1	---	+1,00 G +0,70 Q1 +0,50 s -1,00 w4
69	1	---	+1,00 G
70	1	---	+1,00 G
71	1	---	+1,00 G +0,50 w1
72	1	---	+1,00 G
73	1	---	+1,00 G +0,50 w2
74	1	---	+1,00 G
75	1	---	+1,00 G +0,50 w3

Combinacions ELS			
Comb.	Ordre	Reologia Fusta	H0+H1+H2...+H27
76	1	---	+1,00·G
77	1	---	+1,00·G +0,50·w4
78	1	---	+1,00·G
79	1	---	+1,00·G -0,50·w1
80	1	---	+1,00·G
81	1	---	+1,00·G -0,50·w2
82	1	---	+1,00·G
83	1	---	+1,00·G -0,50·w3
84	1	---	+1,00·G
85	1	---	+1,00·G -0,50·w4
86	1	---	+1,00·G
87	1	---	+1,00·G +0,50·T +0,20·S
88	1	---	+1,00·G
89	1	---	+1,00·G +0,50·T +0,20·S
90	1	---	+1,00·G +0,50·w1
91	1	---	+1,00·G
92	1	---	+1,00·G +0,50·T +0,20·S
93	1	---	+1,00·G +0,50·w2
94	1	---	+1,00·G
95	1	---	+1,00·G +0,50·T +0,20·S
96	1	---	+1,00·G +0,50·w3
97	1	---	+1,00·G
98	1	---	+1,00·G +0,50·T +0,20·S
99	1	---	+1,00·G +0,50·w4
100	1	---	+1,00·G
101	1	---	+1,00·G +0,50·T +0,20·S
102	1	---	+1,00·G -0,50·w1
103	1	---	+1,00·G
104	1	---	+1,00·G +0,50·T +0,20·S
105	1	---	+1,00·G -0,50·w2
106	1	---	+1,00·G
107	1	---	+1,00·G +0,50·T +0,20·S
108	1	---	+1,00·G -0,50·w3
109	1	---	+1,00·G
110	1	---	+1,00·G +0,50·T +0,20·S
111	1	---	+1,00·G -0,50·w4
112	1	---	+1,00·G
113	1	---	+1,00·G +0,50·Q1
114	1	---	+1,00·G +0,30·Q1

Combinacions ELS			
Comb.	ordre	Reologia Fusta	H0+H1+H2...+H27
115	1	---	+1,00·G +0,50·Q1
116	1	---	+1,00·G +0,30·Q1 +0,50·w1
117	1	---	+1,00·G +0,30·Q1
118	1	---	+1,00·G +0,50·Q1
119	1	---	+1,00·G +0,30·Q1 +0,50·w2
120	1	---	+1,00·G +0,30·Q1
121	1	---	+1,00·G +0,50·Q1
122	1	---	+1,00·G +0,30·Q1 +0,50·w3
123	1	---	+1,00·G +0,30·Q1
124	1	---	+1,00·G +0,50·Q1
125	1	---	+1,00·G +0,30·Q1 +0,50·w4
126	1	---	+1,00·G +0,30·Q1
127	1	---	+1,00·G +0,50·Q1
128	1	---	+1,00·G +0,30·Q1 -0,50·w1
129	1	---	+1,00·G +0,30·Q1
130	1	---	+1,00·G +0,50·Q1
131	1	---	+1,00·G +0,30·Q1 -0,50·w2
132	1	---	+1,00·G +0,30·Q1
133	1	---	+1,00·G +0,50·Q1
134	1	---	+1,00·G +0,30·Q1 -0,50·w3
135	1	---	+1,00·G +0,30·Q1
136	1	---	+1,00·G +0,50·Q1
137	1	---	+1,00·G +0,30·Q1 -0,50·w4
138	1	---	+1,00·G +0,30·Q1
139	1	---	+1,00·G +0,50·Q1
140	1	---	+1,00·G +0,30·Q1 +0,50·T +0,20·S
141	1	---	+1,00·G +0,30·Q1
142	1	---	+1,00·G +0,50·Q1
143	1	---	+1,00·G +0,30·Q1 +0,50·T +0,20·S
144	1	---	+1,00·G +0,30·Q1 +0,50·w1
145	1	---	+1,00·G +0,30·Q1
146	1	---	+1,00·G +0,50·Q1
147	1	---	+1,00·G +0,30·Q1 +0,50·T +0,20·S
148	1	---	+1,00·G +0,30·Q1 +0,50·w2
149	1	---	+1,00·G +0,30·Q1
150	1	---	+1,00·G +0,50·Q1
151	1	---	+1,00·G +0,30·Q1 +0,50·T +0,20·S
152	1	---	+1,00·G +0,30·Q1 +0,50·w3
153	1	---	+1,00·G +0,30·Q1

Combinacions ELS				
Comb.	Ordre	Reologia Fusta	H0+H1+H2...+H27	
154	1	---	+1,00 G	+0,50 Q1
155	1	---	+1,00 G	+0,30 Q1 +0,50 T +0,20 S
156	1	---	+1,00 G	+0,30 Q1 +0,50 W4
157	1	---	+1,00 G	+0,30 Q1
158	1	---	+1,00 G	+0,50 Q1
159	1	---	+1,00 G	+0,30 Q1 +0,50 T +0,20 S
160	1	---	+1,00 G	+0,30 Q1 -0,50 W1
161	1	---	+1,00 G	+0,30 Q1
162	1	---	+1,00 G	+0,50 Q1
163	1	---	+1,00 G	+0,30 Q1 +0,50 T +0,20 S
164	1	---	+1,00 G	+0,30 Q1 -0,50 W2
165	1	---	+1,00 G	+0,30 Q1
166	1	---	+1,00 G	+0,50 Q1
167	1	---	+1,00 G	+0,30 Q1 +0,50 T +0,20 S
168	1	---	+1,00 G	+0,30 Q1 -0,50 W3
169	1	---	+1,00 G	+0,30 Q1
170	1	---	+1,00 G	+0,50 Q1
171	1	---	+1,00 G	+0,30 Q1 +0,50 T +0,20 S
172	1	---	+1,00 G	+0,30 Q1 -0,50 W4
173	1	---	+1,00 G	+0,30 Q1

Combinacions ELU				
Comb.	Ordre	Reologia Fusta	H0+H1+H2...+H27	
15	2	---	+1,35 G	+0,75 S +1,50 W3
16	2	---	+1,35 G	+1,50 S +0,90 W4
17	2	---	+1,35 G	+0,75 S +1,50 W4
18	2	---	+1,35 G	-0,90 W1 +1,50 S
19	2	---	+1,35 G	-1,50 W1 +0,75 S
20	2	---	+1,35 G	-0,90 W2 +1,50 S
21	2	---	+1,35 G	-1,50 W2 +0,75 S
22	2	---	+1,35 G	+1,50 S -0,90 W3
23	2	---	+1,35 G	+0,75 S -1,50 W3
24	2	---	+1,35 G	+1,50 S -0,90 W4
25	2	---	+1,35 G	+0,75 S -1,50 W4
26	2	---	+1,35 G	+1,50 Q1
27	2	---	+1,35 G	+1,50 Q1 +0,90 W1
28	2	---	+1,35 G	+1,05 Q1 +1,50 W1
29	2	---	+1,35 G	+1,50 Q1 +0,90 W2
30	2	---	+1,35 G	+1,05 Q1 +1,50 W2
31	2	---	+1,35 G	+1,50 Q1 +0,90 W3
32	2	---	+1,35 G	+1,05 Q1 +1,50 W3
33	2	---	+1,35 G	+1,50 Q1 +0,90 W4
34	2	---	+1,35 G	+1,05 Q1 +1,50 W4
35	2	---	+1,35 G	+1,50 Q1 -0,90 W1
36	2	---	+1,35 G	+1,05 Q1 -1,50 W1
37	2	---	+1,35 G	+1,50 Q1 -0,90 W2
38	2	---	+1,35 G	+1,05 Q1 -1,50 W2
39	2	---	+1,35 G	+1,50 Q1 -0,90 W3

Combinacions ELU				
Comb.	Ordre	Reología Fusta	H0+H1+H2...+H27	
0	2	---	+1,35 G	
1	2	---	+1,35 G	+1,50 W1
2	2	---	+1,35 G	+1,50 W2
3	2	---	+1,35 G	+1,50 W3
4	2	---	+1,35 G	+1,50 W4
5	2	---	+1,35 G	-1,50 W1
6	2	---	+1,35 G	-1,50 W2
7	2	---	+1,35 G	-1,50 W3
8	2	---	+1,35 G	-1,50 W4
9	2	---	+1,35 G	+1,50 S
10	2	---	+1,35 G	+0,90 W1 +1,50 S
11	2	---	+1,35 G	+1,50 W1 +0,75 S
12	2	---	+1,35 G	+0,90 W2 +1,50 S
13	2	---	+1,35 G	+1,50 W2 +0,75 S
14	2	---	+1,35 G	+1,50 S +0,90 W3

Combinacions ELU								
Comb.	Ordre	Reologia Fusta	H0+H1+H2...+H27					
54	2	---	+1,35 G	+1,50 Q1	+0,75 S	+0,90 w4		
55	2	---	+1,35 G	+1,05 Q1	+1,50 S	+0,90 w4		
56	2	---	+1,35 G	+1,05 Q1	+0,75 S	+1,50 w4		
57	2	---	+1,35 G	+1,50 Q1	-0,90 w1	+0,75 S		
58	2	---	+1,35 G	+1,05 Q1	-0,90 w1	+1,50 S		
59	2	---	+1,35 G	+1,05 Q1	-1,50 w1	+0,75 S		
60	2	---	+1,35 G	+1,50 Q1	-0,90 w2	+0,75 S		
61	2	---	+1,35 G	+1,05 Q1	-0,90 w2	+1,50 S		
62	2	---	+1,35 G	+1,05 Q1	-1,50 w2	+0,75 S		
63	2	---	+1,35 G	+1,50 Q1	+0,75 S	-0,90 w3		
64	2	---	+1,35 G	+1,05 Q1	+1,50 S	-0,90 w3		
65	2	---	+1,35 G	+1,05 Q1	+0,75 S	-1,50 w3		
66	2	---	+1,35 G	+1,50 Q1	+0,75 S	-0,90 w4		
67	2	---	+1,35 G	+1,05 Q1	+1,50 S	-0,90 w4		
68	2	---	+1,35 G	+1,05 Q1	+0,75 S	-1,50 w4		
69	2	---	+0,80 G					
70	2	---	+0,80 G	+1,50 w1				
71	2	---	+0,80 G	+1,50 w2				
72	2	---	+0,80 G	+1,50 w3				
73	2	---	+0,80 G	+1,50 w4				
74	2	---	+0,80 G	-1,50 w1				
75	2	---	+0,80 G	-1,50 w2				
76	2	---	+0,80 G	-1,50 w3				
77	2	---	+0,80 G	-1,50 w4				
78	2	---	+0,80 G	+1,50 S				
79	2	---	+0,80 G	+0,90 w1	+1,50 S			
80	2	---	+0,80 G	+1,50 w1	+0,75 S			
81	2	---	+0,80 G	+0,90 w2	+1,50 S			
82	2	---	+0,80 G	+1,50 w2	+0,75 S			
83	2	---	+0,80 G	+1,50 S	+0,90 w3			
84	2	---	+0,80 G	+0,75 S	+1,50 w3			
85	2	---	+0,80 G	+1,50 S	+0,90 w4			
86	2	---	+0,80 G	+0,75 S	+1,50 w4			
87	2	---	+0,80 G	-0,90 w1	+1,50 S			
88	2	---	+0,80 G	-1,50 w1	+0,75 S			
89	2	---	+0,80 G	-0,90 w2	+1,50 S			
90	2	---	+0,80 G	-1,50 w2	+0,75 S			
91	2	---	+0,80 G	+1,50 S	-0,90 w3			
92	2	---	+0,80 G	+0,75 S	-1,50 w3			

Combinacions ELU								
Comb.	Ordre	Reologia Fusta	H0+H1+H2...+H27					
93	2	---	+0,80 G	+1,50 S	-0,90 w4			
94	2	---	+0,80 G	+0,75 S	-1,50 w4			
95	2	---	+0,80 G	+1,50 Q1				
96	2	---	+0,80 G	+1,05 Q1	+0,90 w1			
97	2	---	+0,80 G	+1,05 Q1	+1,50 w1			
98	2	---	+0,80 G	+1,50 Q1	+0,90 w2			
99	2	---	+0,80 G	+1,05 Q1	+1,50 w2			
100	2	---	+0,80 G	+1,50 Q1	+0,90 w3			
101	2	---	+0,80 G	+1,05 Q1	+1,50 w3			
102	2	---	+0,80 G	+1,50 Q1	+0,90 w4			
103	2	---	+0,80 G	+1,05 Q1	+1,50 w4			
104	2	---	+0,80 G	+1,50 Q1	-0,90 w1			
105	2	---	+0,80 G	+1,05 Q1	-1,50 w1			
106	2	---	+0,80 G	+1,50 Q1	-0,90 w2			
107	2	---	+0,80 G	+1,05 Q1	-1,50 w2			
108	2	---	+0,80 G	+1,50 Q1	-0,90 w3			
109	2	---	+0,80 G	+1,05 Q1	-1,50 w3			
110	2	---	+0,80 G	+1,50 Q1	-0,90 w4			
111	2	---	+0,80 G	+1,05 Q1	-1,50 w4			
112	2	---	+0,80 G	+1,50 Q1	+0,75 S			
113	2	---	+0,80 G	+1,05 Q1	+1,50 S			
114	2	---	+0,80 G	+1,50 Q1	+0,90 w1	+0,75 S		
115	2	---	+0,80 G	+1,05 Q1	+0,90 w1	+1,50 S		
116	2	---	+0,80 G	+1,05 Q1	+1,50 w1	+0,75 S		
117	2	---	+0,80 G	+1,50 Q1	+0,90 w2	+0,75 S		
118	2	---	+0,80 G	+1,05 Q1	+0,90 w2	+1,50 S		
119	2	---	+0,80 G	+1,05 Q1	+1,50 w2	+0,75 S		
120	2	---	+0,80 G	+1,50 Q1	+0,75 S	+0,90 w3		
121	2	---	+0,80 G	+1,05 Q1	+1,50 S	+0,90 w3		
122	2	---	+0,80 G	+1,05 Q1	+0,75 S	+1,50 w3		
123	2	---	+0,80 G	+1,50 Q1	+0,75 S	+0,90 w4		
124	2	---	+0,80 G	+1,05 Q1	+1,50 S	+0,90 w4		
125	2	---	+0,80 G	+1,05 Q1	+0,75 S	+1,50 w4		
126	2	---	+0,80 G	+1,50 Q1	-0,90 w1	+0,75 S		
127	2	---	+0,80 G	+1,05 Q1	-0,90 w1	+1,50 S		
128	2	---	+0,80 G	+1,05 Q1	-1,50 w1	+0,75 S		
129	2	---	+0,80 G	+1,50 Q1	-0,90 w2	+0,75 S		
130	2	---	+0,80 G	+1,05 Q1	-0,90 w2	+1,50 S		
131	2	---	+0,80 G	+1,05 Q1	-1,50 w2	+0,75 S		

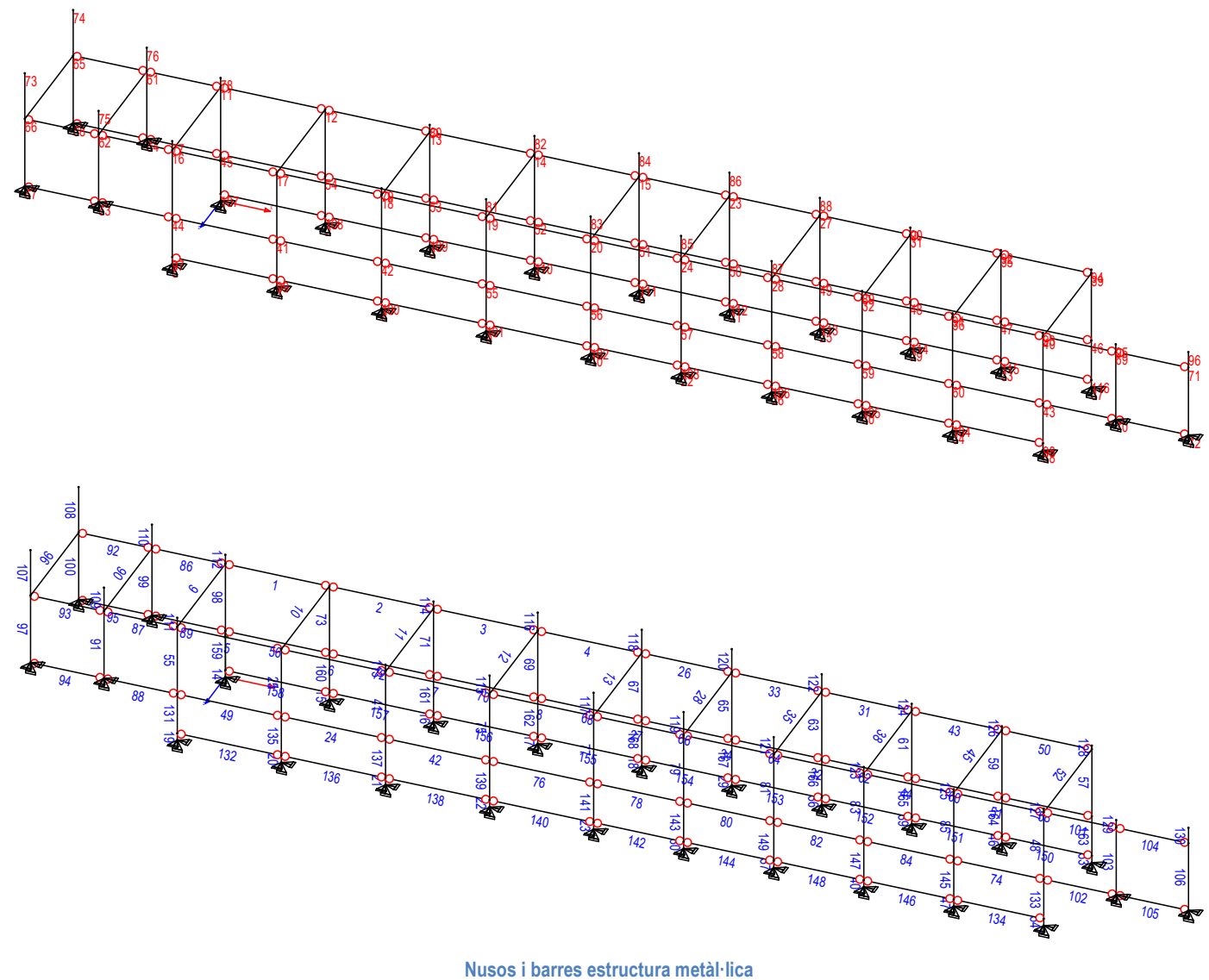
Combinacions ELU								
Comb.	Ordre	Reologia	Fusta	H0+H1+H2...+H27				
132	2	---	+0,80·G	+1,50·Q1	+0,75·S	-0,90·W3		
133	2	---	+0,80·G	+1,05·Q1	+1,50·S	-0,90·W3		
134	2	---	+0,80·G	+1,05·Q1	+0,75·S	-1,50·W3		
135	2	---	+0,80·G	+1,50·Q1	+0,75·S	-0,90·W4		
136	2	---	+0,80·G	+1,05·Q1	+1,50·S	-0,90·W4		
137	2	---	+0,80·G	+1,05·Q1	+0,75·S	-1,50·W4		
138	2	---	+1,00·G	+[(1,00·Ex)^2+(1,00·Ez)^2]^0,5				
139	2	---	+1,00·G	-[(1,00·Ex)^2+(1,00·Ez)^2]^0,5				
140	2	---	+1,00·G	+[(1,00·Ex)^2+(1,00·Ez)^2]^0,5				
141	2	---	+1,00·G	-[(1,00·Ex)^2+(1,00·Ez)^2]^0,5				
142	2	---	+1,00·G	+[(1,00·Ex)^2+(1,00·Ez)^2]^0,5				
143	2	---	+1,00·G	-[(1,00·Ex)^2+(1,00·Ez)^2]^0,5				
144	2	---	+1,00·G	+[(1,00·Ex)^2+(1,00·Ez)^2]^0,5				
145	2	---	+1,00·G	-[(1,00·Ex)^2+(1,00·Ez)^2]^0,5				
146	2	---	+1,00·G	+[(1,00·Ex)^2+(1,00·Ez)^2]^0,5				
147	2	---	+1,00·G	-[(1,00·Ex)^2+(1,00·Ez)^2]^0,5				
148	2	---	+1,00·G	+[(1,00·Ex)^2+(1,00·Ez)^2]^0,5				
149	2	---	+1,00·G	-[(1,00·Ex)^2+(1,00·Ez)^2]^0,5				
150	2	---	+1,00·G	+[(1,00·Ex)^2+(1,00·Ez)^2]^0,5				
151	2	---	+1,00·G	-[(1,00·Ex)^2+(1,00·Ez)^2]^0,5				
152	2	---	+1,00·G	+[(1,00·Ex)^2+(1,00·Ez)^2]^0,5				
153	2	---	+1,00·G	-[(1,00·Ex)^2+(1,00·Ez)^2]^0,5				
154	2	---	+1,00·G	+[(1,00·Ex)^2+(1,00·Ez)^2]^0,5				
155	2	---	+1,00·G	-[(1,00·Ex)^2+(1,00·Ez)^2]^0,5				
156	2	---	+1,00·G	+[(1,00·Ex)^2+(1,00·Ez)^2]^0,5				
157	2	---	+1,00·G	-[(1,00·Ex)^2+(1,00·Ez)^2]^0,5				
158	2	---	+1,00·G	+[(1,00·Ex)^2+(1,00·Ez)^2]^0,5				
159	2	---	+1,00·G	-[(1,00·Ex)^2+(1,00·Ez)^2]^0,5				
160	2	---	+1,00·G	+[(1,00·Ex)^2+(1,00·Ez)^2]^0,5				
161	2	---	+1,00·G	-[(1,00·Ex)^2+(1,00·Ez)^2]^0,5				
162	2	---	+1,00·G	+[(1,00·Ex)^2+(1,00·Ez)^2]^0,5				
163	2	---	+1,00·G	-[(1,00·Ex)^2+(1,00·Ez)^2]^0,5				
164	2	---	+1,00·G	+[(1,00·Ex)^2+(1,00·Ez)^2]^0,5				
165	2	---	+1,00·G	-[(1,00·Ex)^2+(1,00·Ez)^2]^0,5				
166	2	---	+1,00·G	+[(1,00·Ex)^2+(1,00·Ez)^2]^0,5				
167	2	---	+1,00·G	-[(1,00·Ex)^2+(1,00·Ez)^2]^0,5				
168	2	---	+1,00·G	+[(1,00·Ex)^2+(1,00·Ez)^2]^0,5				
169	2	---	+1,00·G	-[(1,00·Ex)^2+(1,00·Ez)^2]^0,5				
170	2	---	+1,00·G	+[(1,00·Ex)^2+(1,00·Ez)^2]^0,5				

Combinacions ELU								
Comb.	Ordre	Reologia	Fusta	H0+H1+H2...+H27				
171	2	---	+1,00·G	-[(1,00·Ex)^2+(1,00·Ez)^2]^0,5				
172	2	---	+1,00·G	+[(1,00·Ex)^2+(1,00·Ez)^2]^0,5				
173	2	---	+1,00·G	-[(1,00·Ex)^2+(1,00·Ez)^2]^0,5				
174	2	---	+1,00·G	+0,30·Q1	+[(1,00·Ex)^2+(1,00·Ez)^2]^0,5			
175	2	---	+1,00·G	+0,30·Q1	-[(1,00·Ex)^2+(1,00·Ez)^2]^0,5			
176	2	---	+1,00·G	+0,30·Q1	+[(1,00·Ex)^2+(1,00·Ez)^2]^0,5			
177	2	---	+1,00·G	+0,30·Q1	-[(1,00·Ex)^2+(1,00·Ez)^2]^0,5			
178	2	---	+1,00·G	+0,30·Q1	+[(1,00·Ex)^2+(1,00·Ez)^2]^0,5			
179	2	---	+1,00·G	+0,30·Q1	-[(1,00·Ex)^2+(1,00·Ez)^2]^0,5			
180	2	---	+1,00·G	+0,30·Q1	+[(1,00·Ex)^2+(1,00·Ez)^2]^0,5			
181	2	---	+1,00·G	+0,30·Q1	-[(1,00·Ex)^2+(1,00·Ez)^2]^0,5			
182	2	---	+1,00·G	+0,30·Q1	+[(1,00·Ex)^2+(1,00·Ez)^2]^0,5			
183	2	---	+1,00·G	+0,30·Q1	-[(1,00·Ex)^2+(1,00·Ez)^2]^0,5			
184	2	---	+1,00·G	+0,30·Q1	+[(1,00·Ex)^2+(1,00·Ez)^2]^0,5			
185	2	---	+1,00·G	+0,30·Q1	-[(1,00·Ex)^2+(1,00·Ez)^2]^0,5			
186	2	---	+1,00·G	+0,30·Q1	+[(1,00·Ex)^2+(1,00·Ez)^2]^0,5			
187	2	---	+1,00·G	+0,30·Q1	-[(1,00·Ex)^2+(1,00·Ez)^2]^0,5			
188	2	---	+1,00·G	+0,30·Q1	+[(1,00·Ex)^2+(1,00·Ez)^2]^0,5			
189	2	---	+1,00·G	+0,30·Q1	-[(1,00·Ex)^2+(1,00·Ez)^2]^0,5			
190	2	---	+1,00·G	+0,30·Q1	+[(1,00·Ex)^2+(1,00·Ez)^2]^0,5			
191	2	---	+1,00·G	+0,30·Q1	-[(1,00·Ex)^2+(1,00·Ez)^2]^0,5			
192	2	---	+1,00·G	+0,30·Q1	+[(1,00·Ex)^2+(1,00·Ez)^2]^0,5			
193	2	---	+1,00·G	+0,30·Q1	-[(1,00·Ex)^2+(1,00·Ez)^2]^0,5			
194	2	---	+1,00·G	+0,30·Q1	+[(1,00·Ex)^2+(1,00·Ez)^2]^0,5			
195	2	---	+1,00·G	+0,30·Q1	-[(1,00·Ex)^2+(1,00·Ez)^2]^0,5			
196	2	---	+1,00·G	+0,30·Q1	+[(1,00·Ex)^2+(1,00·Ez)^2]^0,5			
197	2	---	+1,00·G	+0,30·Q1	-[(1,00·Ex)^2+(1,00·Ez)^2]^0,5			
198	2	---	+1,00·G	+0,30·Q1	+[(1,00·Ex)^2+(1,00·Ez)^2]^0,5			
199	2	---	+1,00·G	+0,30·Q1	-[(1,00·Ex)^2+(1,00·Ez)^2]^0,5			
200	2	---	+1,00·G	+0,30·Q1	+[(1,00·Ex)^2+(1,00·Ez)^2]^0,5			
201	2	---	+1,00·G	+0,30·Q1	-[(1,00·Ex)^2+(1,00·Ez)^2]^0,5			
202	2	---	+1,00·G	+0,30·Q1	+[(1,00·Ex)^2+(1,00·Ez)^2]^0,5			
203	2	---	+1,00·G	+0,30·Q1	-[(1,00·Ex)^2+(1,00·Ez)^2]^0,5			
204	2	---	+1,00·G	+0,30·Q1	+[(1,00·Ex)^2+(1,00·Ez)^2]^0,5			
205	2	---	+1,00·G	+0,30·Q1	-[(1,00·Ex)^2+(1,00·Ez)^2]^0,5			
206	2	---	+1,00·G	+0,30·Q1	+[(1,00·Ex)^2+(1,00·Ez)^2]^0,5			
207	2	---	+1,00·G	+0,30·Q1	-[(1,00·Ex)^2+(1,00·Ez)^2]^0,5			
208	2	---	+1,00·G	+0,30·Q1	+[(1,00·Ex)^2+(1,00·Ez)^2]^0,5			
209	2	---	+1,00·G	+0,30·Q1	-[(1,00·Ex)^2+(1,00·Ez)^2]^0,5			

6.2 Estructura metàl·lica

6.2.1 Identificació de nusos i barres

La identificació les barres l'estructura es presenten en les següents figures:



6.2.2 Llistat de nusos

NUS	X(cm)	Y(cm)	Z(cm)	TIPUS	
4		630,00	0,00	0,00 xyzxyz	
5		840,00	0,00	0,00 xyzxyz	
6		0,00	0,00	240,00 xyzxyz	
7		210,00	0,00	240,00 xyzxyz	
8		420,00	0,00	240,00 xyzxyz	
9		630,00	0,00	240,00 xyzxyz	
10		840,00	0,00	240,00 xyzxyz	
11		0,00	250,00	0,00 _____	
12		210,00	250,00	0,00 _____	
13		420,00	250,00	0,00 _____	
14		630,00	250,00	0,00 _____	
15		840,00	250,00	0,00 _____	
16	0,00		250,00	240,00 _____	
17		210,00	250,00	240,00 _____	
18		420,00	250,00	240,00 _____	
19		630,00	250,00	240,00 _____	
20		840,00	250,00	240,00 _____	
21		1021,60	0,00	0,00 xyzxyz	
22		1021,60	0,00	240,00 xyzxyz	
23		1021,60	250,00	0,00 _____	
24		1021,60	250,00	240,00 _____	
25		1203,20	0,00	0,00 xyzxyz	
26		1203,20	0,00	240,00 xyzxyz	
27		1203,20	250,00	0,00 _____	
28		1203,20	250,00	240,00 _____	
29		1384,80	0,00	0,00 xyzxyz	
30		1384,80	0,00	240,00 xyzxyz	
31		1384,80	250,00	0,00 _____	

NUS	X(cm)	Y(cm)	Z(cm)	TIPUS	
-----	-------	-------	-------	-------	--

32 1384,80 250,00 240,00 _____

33 1566,40 0,00 0,00 xyzxyz

34 1566,40 0,00 240,00 xyzxyz

35 1566,40 250,00 0,00 _____

36 1566,40 250,00 240,00 _____

37 1748,00 0,00 0,00 xyzxyz

38 1748,00 0,00 240,00 xyzxyz

39 1748,00 250,00 0,00 _____

40 1748,00 250,00 240,00 _____

41 210,00 102,00 240,00 _____

42 420,00 102,00 240,00 _____

43 1748,00 102,00 240,00 _____

44 0,00 102,00 240,00 _____

45 0,00 102,00 0,00 _____

46 1748,00 102,00 0,00 _____

47 1566,40 102,00 0,00 _____

48 1384,80 102,00 0,00 _____

49 1203,20 102,00 0,00 _____

50 1021,60 102,00 0,00 _____

51 840,00 102,00 0,00 _____

52 630,00 102,00 0,00 _____

53 420,00 102,00 0,00 _____

54 210,00 102,00 0,00 _____

55 630,00 102,00 240,00 _____

56 840,00 102,00 240,00 _____

57 1021,60 102,00 240,00 _____

58 1203,20 102,00 240,00 _____

59 1384,80 102,00 240,00 _____

NUS	X(cm)	Y(cm)	Z(cm)	TIPUS	
-----	-------	-------	-------	-------	--

60 1566,40 102,00 240,00 _____

61 -148,00 250,00 0,00 _____

62 -148,00 250,00 240,00 _____

63 -148,00 102,00 240,00 xyzxyz

64 -148,00 102,00 0,00 xyzxyz

65 -296,00 250,00 0,00 _____

66 -296,00 250,00 240,00 _____

67 -296,00 102,00 240,00 xyzxyz

68 -296,00 102,00 0,00 xyzxyz

69 1894,00 250,00 240,00 _____

70 1894,00 102,00 240,00 xyzxyz

71 2040,00 250,00 240,00 _____

72 2040,00 102,00 240,00 xyzxyz

73 -296,00 350,00 240,00 _____

74 -296,00 350,00 0,00 _____

75 -148,00 302,00 240,00 _____

76 -148,00 302,00 0,00 _____

77 0,00 270,00 240,00 _____

78 0,00 270,00 0,00 _____

79 420,00 265,00 240,00 _____

80 420,00 265,00 0,00 _____

81 630,00 290,00 240,00 _____

82 630,00 290,00 0,00 _____

83 840,00 301,00 240,00 _____

84 840,00 301,00 0,00 _____

85 1021,60 301,00 240,00 _____

86 1021,60 301,00 0,00 _____

87 1203,20 288,00 240,00 _____

NUS	X(cm)	Y(cm)	Z(cm)	TIPUS	
88	1203,20	288,00	0,00	_____	
89	1384,80	265,00	240,00	_____	
90	1384,80	265,00	0,00	_____	
91	1566,40	258,00	240,00	_____	
92	1566,40	258,00	0,00	_____	
93	1748,00	258,00	240,00	_____	
94	1748,00	258,00	0,00	_____	
95	1894,00	267,00	240,00	_____	
96	2040,00	284,00	240,00	_____	
97	0,00	15,00	240,00	_____	
98	1748,00	15,00	240,00	_____	
99	210,00	15,00	240,00	_____	
100	420,00	15,00	240,00	_____	
101	630,00	15,00	240,00	_____	
102	840,00	15,00	240,00	_____	
103	1021,60	15,00	240,00	_____	
104	1566,40	15,00	240,00	_____	
105	1384,80	15,00	240,00	_____	
106	1203,20	15,00	240,00	_____	
107	0,00	15,00	0,00	_____	
108	210,00	15,00	0,00	_____	
109	420,00	15,00	0,00	_____	
110	630,00	15,00	0,00	_____	
111	840,00	15,00	0,00	_____	
112	1021,60	15,00	0,00	_____	
113	1203,20	15,00	0,00	_____	
114	1384,80	15,00	0,00	_____	
115	1566,40	15,00	0,00	_____	

NUS	X(cm)	Y(cm)	Z(cm)	TIPUS	
116	1748,00	15,00	0,00	_____	

6.2.3 Llistat de barres

Barra	No m	Sèrie	Perfil	Sèrie Calc.	Perfil Calc.	H (mm)	B (mm)	L (cm)	beta	Sim.Yp	Alleugerit
1	SHSH	60x3.2				60	60	210	0,00	---	No
2	SHSH	60x3.2				60	60	210	0,00	---	No
3	SHSH	60x3.2				60	60	210	0,00	---	No
4	SHSH	60x3.2				60	60	210	0,00	---	No
5	SHSH	60x3.2				60	60	210	0,00	---	No
6	SHSH	60x3.2				60	60	210	0,00	---	No
7	SHSH	60x3.2				60	60	210	0,00	---	No
8	SHSH	60x3.2				60	60	210	0,00	---	No
9	SHSH	80x4				80	80	240	0,00	---	No
10	SHSH	80x4				80	80	240	0,00	---	No
11	SHSH	80x4				80	80	240	0,00	---	No
12	SHSH	80x4				80	80	240	0,00	---	No
13	SHSH	80x4				80	80	240	0,00	---	No
14	SHSH	80x4				80	80	15	0,00	---	No
15	SHSH	80x4				80	80	15	0,00	---	No
16	SHSH	80x4				80	80	15	0,00	---	No
17	SHSH	80x4				80	80	15	0,00	---	No
18	SHSH	80x4				80	80	15	0,00	---	No
19	SHSH	80x4				80	80	15	0,00	---	No
20	SHSH	80x4				80	80	15	0,00	---	No
21	SHSH	80x4				80	80	15	0,00	---	No
22	SHSH	80x4				80	80	15	0,00	---	No
23	SHSH	80x4				80	80	15	0,00	---	No

Barra	Nom	Sèrie	Perfil	Sèrie Calc.	Perfil Calc.	H (mm)	B (mm)	L (cm)	beta	Sim.Yp	Alleugerit
24	SHSH	60x3.2				60	60	210	0,00	---	No
25	SHSH	80x4				80	80	148	180,00	---	No
26	SHSH	60x3.2				60	60	182	0,00	---	No
27	SHSH	60x3.2				60	60	182	0,00	---	No
28	SHSH	80x4				80	80	240	0,00	---	No
29	SHSH	80x4				80	80	15	0,00	---	No
30	SHSH	80x4				80	80	15	0,00	---	No
31	SHSH	60x3.2				60	60	182	0,00	---	No
32	SHSH	60x3.2				60	60	182	0,00	---	No
33	SHSH	60x3.2				60	60	182	0,00	---	No
34	SHSH	60x3.2				60	60	182	0,00	---	No
35	SHSH	80x4				80	80	240	0,00	---	No
36	SHSH	80x4				80	80	15	0,00	---	No
37	SHSH	80x4				80	80	15	0,00	---	No
38	SHSH	80x4				80	80	240	0,00	---	No
39	SHSH	80x4				80	80	15	0,00	---	No
40	SHSH	80x4				80	80	15	0,00	---	No
41	SHSH	80x4				80	80	148	180,00	---	No
42	SHSH	60x3.2				60	60	210	0,00	---	No
43	SHSH	60x3.2				60	60	182	0,00	---	No
44	SHSH	60x3.2				60	60	182	0,00	---	No
45	SHSH	80x4				80	80	240	0,00	---	No
46	SHSH	80x4				80	80	15	0,00	---	No
47	SHSH	80x4				80	80	15	0,00	---	No
48	SHSH	80x4				80	80	148	180,00	---	No
49	SHSH	60x3.2				60	60	210	0,00	---	No
50	SHSH	60x3.2				60	60	182	0,00	---	No
51	SHSH	60x3.2				60	60	182	0,00	---	No

Barra	Nom	Sèrie	Perfil	Sèrie Calc.	Perfil Calc.	H (mm)	B (mm)	L (cm)	beta	Sim.Yp	Alleugerit
52	SHSH	80x4				80	80	240	0,00	---	No
53	SHSH	80x4				80	80	15	0,00	---	No
54	SHSH	80x4				80	80	15	0,00	---	No
55	SHSH	80x4				80	80	148	180,00	---	No
56	SHSH	60x3.2				60	60	210	0,00	---	No
57	SHSH	80x4				80	80	148	180,00	---	No
58	SHSH	60x3.2				60	60	182	0,00	---	No
59	SHSH	80x4				80	80	148	180,00	---	No
60	SHSH	60x3.2				60	60	182	0,00	---	No
61	SHSH	80x4				80	80	148	180,00	---	No
62	SHSH	60x3.2				60	60	182	0,00	---	No
63	SHSH	80x4				80	80	148	180,00	---	No
64	SHSH	60x3.2				60	60	182	0,00	---	No
65	SHSH	80x4				80	80	148	180,00	---	No
66	SHSH	60x3.2				60	60	182	0,00	---	No
67	SHSH	80x4				80	80	148	180,00	---	No
68	SHSH	60x3.2				60	60	210	0,00	---	No
69	SHSH	80x4				80	80	148	180,00	---	No
70	SHSH	60x3.2				60	60	210	0,00	---	No
71	SHSH	80x4				80	80	148	180,00	---	No
72	SHSH	60x3.2				60	60	210	0,00	---	No
73	SHSH	80x4				80	80	148	180,00	---	No
74	SHSH	60x3.2				60	60	182	0,00	---	No
75	SHSH	80x4				80	80	148	180,00	---	No
76	SHSH	60x3.2				60	60	210	0,00	---	No
77	SHSH	80x4				80	80	148	180,00	---	No
78	SHSH	60x3.2				60	60	182	0,00	---	No
79	SHSH	80x4				80	80	148	180,00	---	No

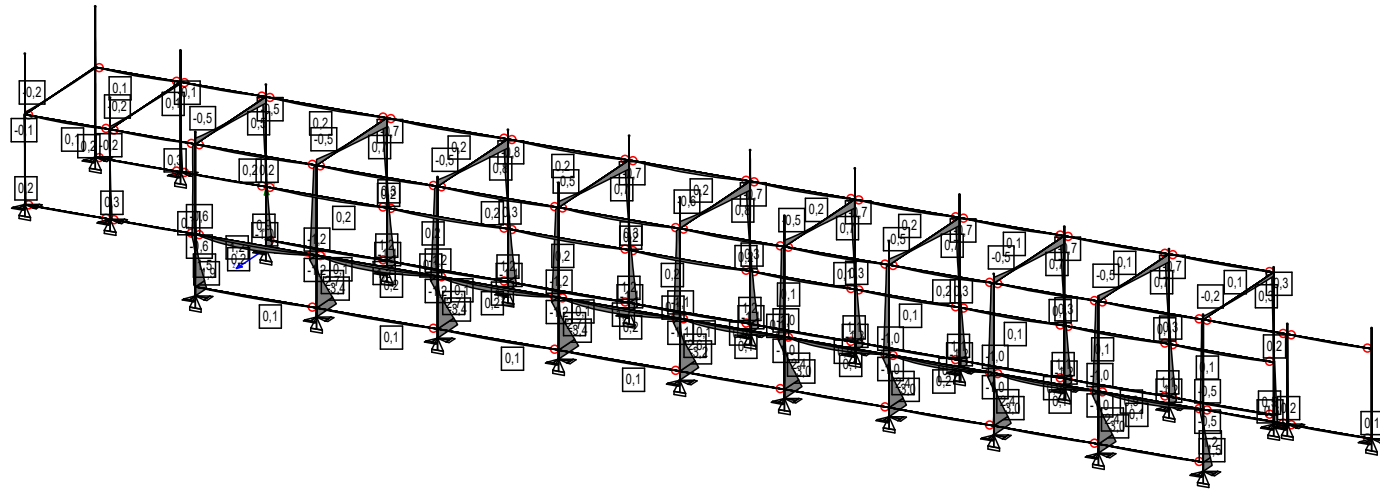
Barra	Nom	Sèrie	Perfil	Sèrie calc.	Perfil calc.	H (mm)	B (mm)	L (cm)	beta	Sim.Yp	Alleugerit	Barra	Nom	Sèrie	Perfil	Sèrie calc.	Perfil calc.	H (mm)	B (mm)	L (cm)	beta	Sim.Yp	Alleugerit
80	SHSH	60x3.2				60	60	182	0,00	---	No	108	SHSH	80x4				80	80	100	0,00	---	No
81	SHSH	80x4				80	80	148	180,00	---	No	109	SHSH	80x4				80	80	52	0,00	---	No
82	SHSH	60x3.2				60	60	182	0,00	---	No	110	SHSH	80x4				80	80	52	0,00	---	No
83	SHSH	80x4				80	80	148	180,00	---	No	111	SHSH	80x4				80	80	20	0,00	---	No
84	SHSH	60x3.2				60	60	182	0,00	---	No	112	SHSH	80x4				80	80	20	0,00	---	No
85	SHSH	80x4				80	80	148	180,00	---	No	113	SHSH	80x4				80	80	15	0,00	---	No
86	SHSH	60x3.2				60	60	148	0,00	---	No	114	SHSH	80x4				80	80	15	0,00	---	No
87	SHSH	60x3.2				60	60	148	0,00	---	No	115	SHSH	80x4				80	80	40	0,00	---	No
88	SHSH	60x3.2				60	60	148	0,00	---	No	116	SHSH	80x4				80	80	40	0,00	---	No
89	SHSH	60x3.2				60	60	148	0,00	---	No	117	SHSH	80x4				80	80	51	0,00	---	No
90	SHSH	80x4				80	80	240	0,00	---	No	118	SHSH	80x4				80	80	51	0,00	---	No
91	SHSH	80x4				80	80	148	180,00	---	No	119	SHSH	80x4				80	80	51	0,00	---	No
92	SHSH	60x3.2				60	60	148	0,00	---	No	120	SHSH	80x4				80	80	51	0,00	---	No
93	SHSH	60x3.2				60	60	148	0,00	---	No	121	SHSH	80x4				80	80	38	0,00	---	No
94	SHSH	60x3.2				60	60	148	0,00	---	No	122	SHSH	80x4				80	80	38	0,00	---	No
95	SHSH	60x3.2				60	60	148	0,00	---	No	123	SHSH	80x4				80	80	15	0,00	---	No
96	SHSH	80x4				80	80	240	0,00	---	No	124	SHSH	80x4				80	80	15	0,00	---	No
97	SHSH	80x4				80	80	148	180,00	---	No	125	SHSH	80x4				80	80	8	0,00	---	No
98	SHSH	80x4				80	80	148	180,00	---	No	126	SHSH	80x4				80	80	8	0,00	---	No
99	SHSH	80x4				80	80	148	180,00	---	No	127	SHSH	80x4				80	80	8	0,00	---	No
100	SHSH	80x4				80	80	148	180,00	---	No	128	SHSH	80x4				80	80	8	0,00	---	No
101	SHSH	60x3.2				60	60	146	0,00	---	No	129	SHSH	80x4				80	80	17	0,00	---	No
102	SHSH	60x3.2				60	60	146	0,00	---	No	130	SHSH	80x4				80	80	34	0,00	---	No
103	SHSH	80x4				80	80	148	180,00	---	No	131	SHSH	80x4				80	80	87	180,00	---	No
104	SHSH	60x3.2				60	60	146	0,00	---	No	132	SHSH	60x3.2				60	60	210	0,00	---	No
105	SHSH	60x3.2				60	60	146	0,00	---	No	133	SHSH	80x4				80	80	87	180,00	---	No
106	SHSH	80x4				80	80	148	180,00	---	No	134	SHSH	60x3.2				60	60	182	0,00	---	No
107	SHSH	80x4				80	80	100	0,00	---	No	135	SHSH	80x4				80	80	87	180,00	---	No

Barra	No m	Sèrie	Perfil	Sèrie Calc.	Perfil Calc.	H (mm)	B (mm)	L (cm)	beta	Sim.Yp	Alleugerit
136	SHSH	60x3.2				60	60	210	0,00	---	No
137	SHSH	80x4				80	80	87	180,00	---	No
138	SHSH	60x3.2				60	60	210	0,00	---	No
139	SHSH	80x4				80	80	87	180,00	---	No
140	SHSH	60x3.2				60	60	210	0,00	---	No
141	SHSH	80x4				80	80	87	180,00	---	No
142	SHSH	60x3.2				60	60	182	0,00	---	No
143	SHSH	80x4				80	80	87	180,00	---	No
144	SHSH	60x3.2				60	60	182	0,00	---	No
145	SHSH	80x4				80	80	87	180,00	---	No
146	SHSH	60x3.2				60	60	182	0,00	---	No
147	SHSH	80x4				80	80	87	180,00	---	No
148	SHSH	60x3.2				60	60	182	0,00	---	No
149	SHSH	80x4				80	80	87	180,00	---	No
150	SHSH	60x3.2				60	60	182	0,00	---	No
151	SHSH	60x3.2				60	60	182	0,00	---	No
152	SHSH	60x3.2				60	60	182	0,00	---	No
153	SHSH	60x3.2				60	60	182	0,00	---	No
154	SHSH	60x3.2				60	60	182	0,00	---	No
155	SHSH	60x3.2				60	60	210	0,00	---	No
156	SHSH	60x3.2				60	60	210	0,00	---	No
157	SHSH	60x3.2				60	60	210	0,00	---	No
158	SHSH	60x3.2				60	60	210	0,00	---	No
159	SHSH	80x4				80	80	87	180,00	---	No
160	SHSH	80x4				80	80	87	180,00	---	No
161	SHSH	80x4				80	80	87	180,00	---	No
162	SHSH	80x4				80	80	87	180,00	---	No
163	SHSH	80x4				80	80	87	180,00	---	No

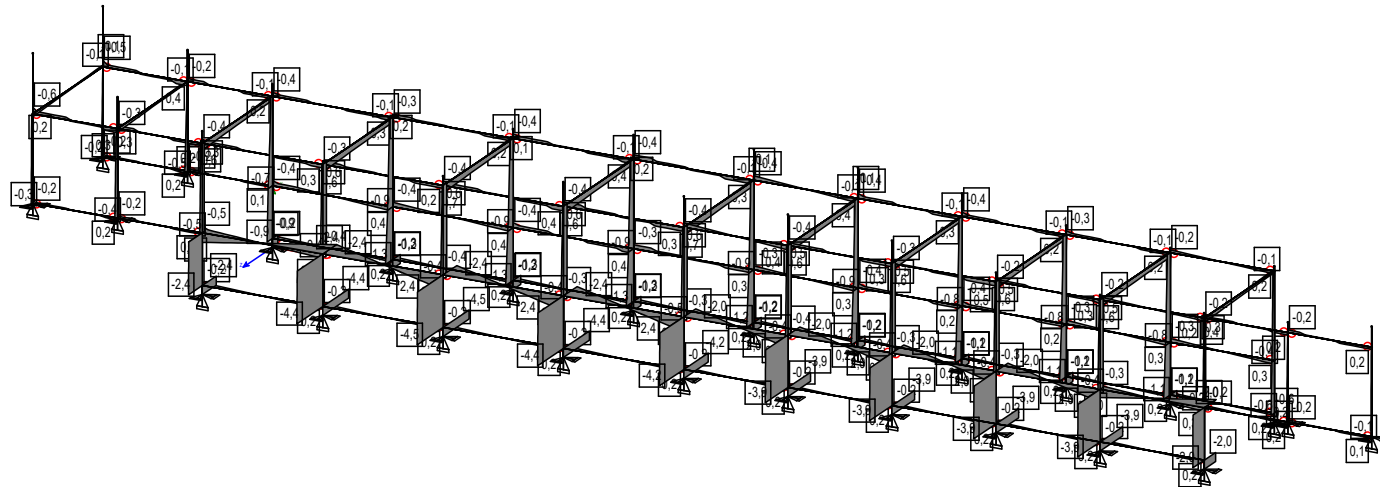
Barra	No m	Sèrie	Perfil	Sèrie Calc.	Perfil Calc.	H (mm)	B (mm)	L (cm)	beta	Sim.Yp	Alleugerit
164	SHSH	80x4				80	80	87	180,00	---	No

6.2.4 Esforços en els elements de l'estructura

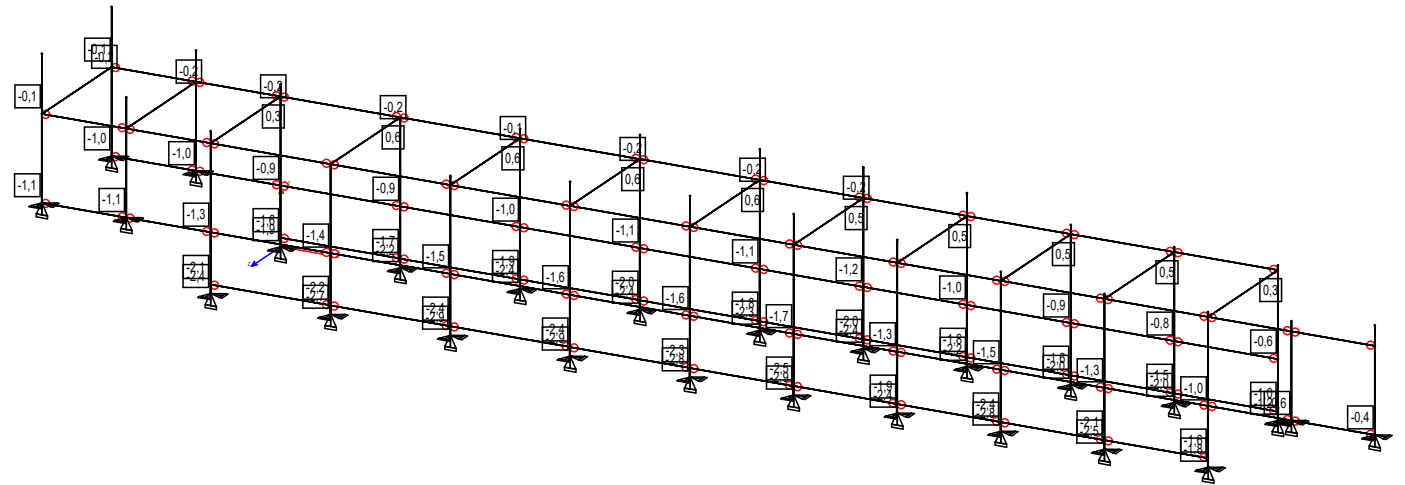
6.2.4.1 Diagrama de moments flectors



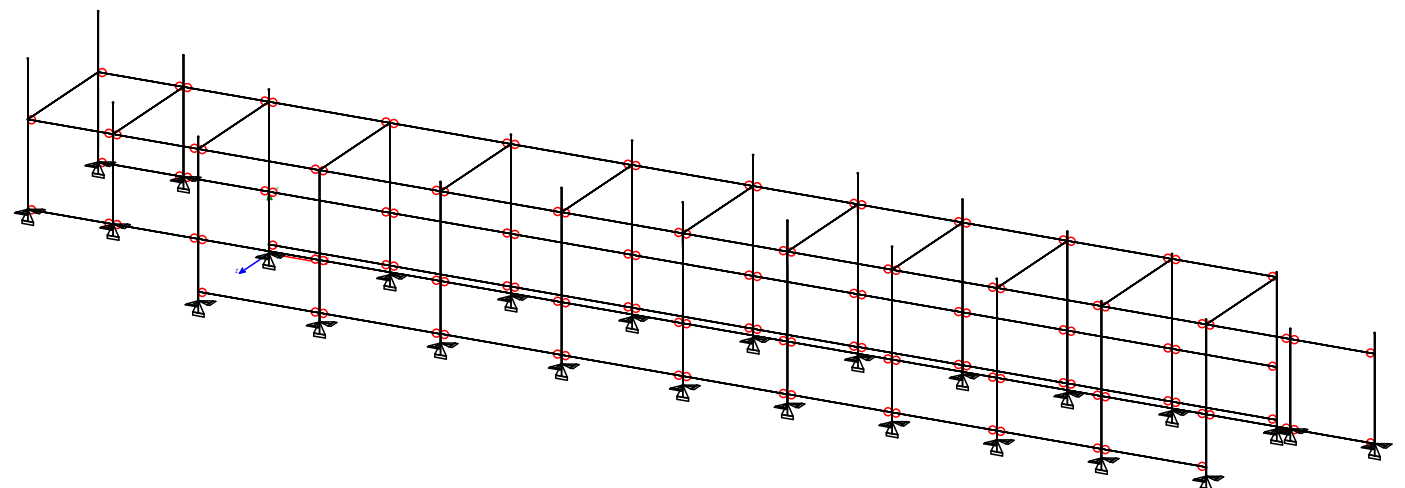
6.2.4.2 Diagrama d'esforços tallants



6.2.4.3 Diagrama d'esforços axisis



6.2.4.4 Diagrama de moments torsors



6.2.4.5 Llistat d'esforços

Bigues

Sol·licitacions (Eixos principals. Hip. sense majorar; Comb. majorades)

BARRA	NN	X(cm)	HIP	Id	Comb.	Mx kNm	My	Mz	Fx kN	Vy	Vz
1	11	0	G			+0,0	+0,0	+0,0	-0,0	-0,3	+0,0
	105	0	G			+0,0	+0,0	+0,1	-0,0	-0,0	+0,0
	12	210	G			+0,0	+0,0	+0,0	-0,0	+0,2	+0,0
	11	0	M+	D		+0,0	+0,0	+0,0	+0,0	+0,0	+0,0
	105	0	M+	D		+0,0	+0,0	+0,2	+0,0	+0,0	+0,0

BARRA		NN	X(cm)	HIP	Id	Comb.	Mx kNm	My	Mz	Fx kN	Vy	Vz
2	2	12	210	M+	D		+0,0	+0,0	+0,0	+0,0	+0,3	+0,0
		11	0	M-	D		+0,0	+0,0	+0,0	-0,0	-0,4	+0,0
			105	M-	D		+0,0	+0,0	+0,0	-0,0	-0,0	+0,0
		12	210	M-	D		+0,0	+0,0	+0,0	-0,0	+0,0	+0,0
		12	0	G			+0,0	+0,0	+0,0	-0,0	-0,2	+0,0
			105	G			+0,0	+0,0	+0,1	-0,0	+0,0	+0,0
		13	210	G			+0,0	+0,0	+0,0	-0,0	+0,2	+0,0
		12	0	M+	D		+0,0	+0,0	+0,0	+0,0	+0,0	+0,0
			105	M+	D		+0,0	+0,0	+0,2	+0,0	+0,0	+0,0
		13	210	M+	D		+0,0	+0,0	+0,0	+0,0	+0,2	+0,0
3	3	12	0	M-	D		+0,0	+0,0	+0,0	-0,0	-0,3	+0,0
			105	M-	D		+0,0	+0,0	+0,0	-0,0	-0,0	+0,0
		13	0	G			+0,0	+0,0	+0,1	-0,0	-0,0	+0,0
			105	G			+0,0	+0,0	+0,0	-0,0	+0,3	+0,0
		14	210	G			+0,0	+0,0	+0,0	-0,0	+0,0	+0,0
		13	0	M+	D		+0,0	+0,0	+0,0	+0,0	+0,0	+0,0
			105	M+	D		+0,0	+0,0	+0,2	+0,0	+0,0	+0,0
		14	210	M+	D		+0,0	+0,0	+0,0	+0,0	+0,4	+0,0
		13	0	M-	D		+0,0	+0,0	+0,0	-0,0	-0,4	+0,0
			105	M-	D		+0,0	+0,0	+0,0	-0,0	-0,0	+0,0
4	4	14	210	M-	D		+0,0	+0,0	+0,0	-0,0	+0,0	+0,0
		14	0	G			+0,0	+0,0	+0,0	-0,0	-0,3	+0,0
			105	G			+0,0	+0,0	+0,2	-0,0	+0,1	+0,0
		15	210	G			+0,0	+0,0	+0,0	-0,0	+0,3	+0,0
		14	0	M+	D		+0,0	+0,0	+0,0	+0,0	+0,0	+0,0
			105	M+	D		+0,0	+0,0	+0,2	+0,0	+0,1	+0,0
		15	210	M+	D		+0,0	+0,0	+0,0	+0,0	+0,3	+0,0
		14	0	M-	D		+0,0	+0,0	+0,0	-0,0	-0,4	+0,0
			105	M-	D		+0,0	+0,0	+0,0	-0,0	+0,0	+0,0
		15	210	M-	D		+0,0	+0,0	+0,0	-0,0	+0,0	+0,0
5	5	14	0	G			+0,0	+0,0	+0,0	-0,0	-0,3	+0,0
			105	G			+0,0	+0,0	+0,1	-0,0	-0,0	+0,0
		17	210	G			+0,0	+0,0	+0,0	-0,0	-0,0	+0,0
		16	0	M+	D		+0,0	+0,0	+0,0	+0,0	+0,0	+0,0
			105	M+	D		+0,0	+0,0	+0,2	+0,0	+0,0	+0,0
		17	210	M+	D		+0,0	+0,0	+0,0	+0,0	+0,3	+0,0
		16	0	M-	D		+0,0	+0,0	+0,0	-0,0	-0,4	+0,0
			105	M-	D		+0,0	+0,0	+0,0	-0,0	-0,0	+0,0
		17	210	M-	D		+0,0	+0,0	+0,0	-0,0	+0,0	+0,0
		17	0	G			+0,0	+0,0	+0,0	-0,0	-0,2	+0,0
6	6		105	G			+0,0	+0,0	+0,1	-0,0	+0,0	+0,0
		18	210	G			+0,0	+0,0	+0,0	-0,0	+0,2	+0,0
		17	0	M+	D		+0,0	+0,0	+0,0	+0,0	+0,0	+0,0
			105	M+	D		+0,0	+0,0	+0,2	+0,0	+0,0	+0,0
		18	210	M+	D		+0,0	+0,0	+0,0	+0,0	+0,2	+0,0
		17	0	M-	D		+0,0	+0,0	+0,0	-0,0	-0,3	+0,0
			105	M-	D		+0,0	+0,0	+0,0	-0,0	+0,0	+0,0
		18	210	M-	D		+0,0	+0,0	+0,0	-0,0	+0,0	+0,0
		17	0	G			+0,0	+0,0	+0,0	-0,0	-0,2	+0,0
			105	G			+0,0	+0,0	+0,1	-0,0	-0,3	+0,0
7	7	18	0	G			+0,0	+0,0	+0,0	-0,0	-0,3	+0,0
			105	G			+0,0	+0,0	+0,1	-0,0	-0,0	+0,0
		19	210	G			+0,0	+0,0	+0,0	-0,0	+0,3	+0,0
		18	0	M+	D		+0,0	+0,0	+0,0	+0,0	+0,0	+0,0

BARRA		NN	X(cm)	HIP	Id	Comb.	Mx kNm	My	Mz	Fx kN	Vy	Vz
8	8	105	210	M+	D		+0,0	+0,0	+0,2	+0,0	+0,0	+0,0
		19	0	M-	D		+0,0	+0,0	+0,0	+0,0	+0,4	+0,0
		18	210	G			+0,0	+0,0	+0,0	-0,0	-0,4	+0,0
		19	210	M-	D		+0,0	+0,0	+0,0	-0,0	-0,0	+0,0
		19	0	G			+0,0	+0,0	+0,0	-0,0	-0,3	+0,0
		105	G				+0,0	+0,0	+0,2	-0,0	-0,0	+0,0
		20	210	G			+0,0	+0,0	+0,0	-0,0	-0,2	+0,0
		19	0	M+	D		+0,0	+0,0	+0,0	+0,0	+0,0	+0,0
		105	M+	D			+0,0	+0,0	+0,2	+0,0	+0,1	+0,0
		20	210	M+	D		+0,0	+0,0	+0,0	+0,0	+0,3	+0,0
9	9	19	0	M-	D		+0,0	+0,0	+0,0	-0,0	-0,4	+0,0
		105	M-	D			+0,0	+0,0	+0,0	-0,0	-0,0	+0,0
		20	210	M-	D		+0,0	+0,0	+0,0	-0,0	-0,0	+0,0
		19	0	G			+0,0	+0,0	+0,0	-0,0	-0,1	+0,0
		120	G				-0,0	+0,0	+0,0	-0,0	-0,0	+0,0
		16	240	G			-0,0	-0,0				

BARRA		NN	X(cm)	HIP	Id	Comb.	Mx kNm	My	Mz	Fx kN	Vy	Vz
12	13	13	0	M+	D		+0,0	+0,0	+0,8	+0,6	+0,4	+0,0
			120	M+	D		+0,0	+0,0	+0,2	+0,6	+0,5	+0,0
		18	240	M+	D		+0,0	+0,0	+0,0	+0,6	+0,7	+0,0
		13	0	M-	D		-0,0	+0,0	-0,0	-0,1	-0,1	+0,0
			120	M-	D		-0,0	-0,0	+0,0	-0,1	-0,0	+0,0
		18	240	M-	D		-0,0	-0,0	-0,5	-0,1	+0,0	+0,0
12	14	14	0	G			-0,0	+0,0	-0,0	-0,0	-0,1	+0,0
			120	G			-0,0	-0,0	+0,0	-0,0	+0,0	+0,0
		19	240	G			-0,0	-0,0	-0,0	-0,0	+0,1	+0,0
			0	Q1			-0,0	+0,0	+0,4	+0,4	+0,2	+0,0
			120	Q1			-0,0	+0,0	+0,1	+0,4	+0,2	+0,0
			240	Q1			-0,0	-0,0	-0,1	+0,4	+0,2	+0,0
		0	W2				-0,0	+0,0	+0,2	-0,1	+0,1	+0,0
			120	W2			-0,0	+0,0	-0,0	-0,1	+0,1	+0,0
			240	W2			-0,0	-0,0	-0,2	-0,1	+0,1	+0,0
		14	0	M+	D		+0,0	+0,0	+0,7	+0,6	+0,4	+0,0
			120	M+	D		+0,0	+0,0	+0,2	+0,6	+0,5	+0,0
		19	240	M+	D		+0,0	+0,0	+0,0	+0,6	+0,6	+0,0
		14	0	M-	D		-0,0	+0,0	-0,0	-0,2	-0,1	+0,0
			120	M-	D		-0,0	-0,0	+0,0	-0,2	+0,0	+0,0
		19	240	M-	D		-0,0	-0,0	-0,5	-0,2	+0,0	+0,0
13	15	15	0	G			-0,0	+0,0	-0,0	-0,0	-0,1	+0,0
			120	G			-0,0	+0,0	+0,0	-0,0	+0,0	+0,0
		20	240	G			-0,0	-0,0	-0,0	-0,0	+0,1	+0,0
			0	Q1			-0,0	+0,0	+0,4	+0,4	+0,2	+0,0
			120	Q1			-0,0	+0,0	+0,1	+0,4	+0,2	+0,0
			240	Q1			-0,0	-0,0	-0,1	+0,4	+0,2	+0,0
		0	W2				-0,0	+0,0	+0,2	-0,1	+0,2	+0,0
			120	W2			-0,0	+0,0	-0,0	-0,1	+0,2	+0,0
			240	W2			-0,0	-0,0	-0,2	-0,1	+0,2	+0,0
		15	0	M+	D		+0,0	+0,0	+0,8	+0,6	+0,4	+0,0
			120	M+	D		+0,0	+0,0	+0,2	+0,6	+0,5	+0,0
		20	240	M+	D		+0,0	+0,0	+0,0	+0,6	+0,7	+0,0
		15	0	M-	D		-0,0	+0,0	-0,0	-0,2	-0,1	+0,0
			120	M-	D		-0,0	-0,0	+0,0	-0,2	+0,0	+0,0
		20	240	M-	D		-0,0	-0,0	-0,6	-0,2	+0,0	+0,0
24	41	41	0	G			+0,0	+0,0	+0,0	-0,0	-0,3	+0,0
			105	G			+0,0	+0,0	+0,1	-0,0	+0,0	+0,0
		42	210	G			+0,0	+0,0	+0,0	-0,0	+0,3	+0,0
			0	Q1			+0,0	+0,0	+0,0	+0,0	-1,6	
			105	Q1			+0,0	+0,8	+0,0	+0,0	+0,0	
			210	Q1			+0,0	+0,0	+0,0	+0,0	+0,0	+1,6
		41	0	M+	D		+0,0	+0,0	+0,0	+0,0	+0,0	+0,0
			105	M+	D		+0,0	+0,0	+1,2	+0,2	+0,0	+0,0
		42	210	M+	D		+0,0	+0,0	+0,0	+0,0	+0,4	+2,4
		41	0	M-	D		+0,0	+0,0	+0,0	-0,0	-0,4	-2,4
			105	M-	D		+0,0	+0,0	+0,0	-0,0	-0,0	
		42	210	M-	D		+0,0	+0,0	+0,0	-0,0	+0,0	
		15	0	G			+0,0	+0,0	+0,0	-0,0	-0,3	+0,0
			91	G			+0,0	+0,0	+0,1	-0,0	+0,0	+0,0
		23	181	G			+0,0	+0,0	-0,0	-0,0	+0,3	+0,0
26	41	15	0	M+	D		+0,0	+0,0	+0,0	+0,0	+0,0	+0,0
			91	M+	D		+0,0	+0,0	+0,1	-0,0	+0,0	+0,0
		23	181	M+	D		+0,0	+0,0	-0,0	-0,0	+0,3	+0,0
		15	0	M-	D		+0,0	+0,0	+0,0	+0,0	+0,0	+0,0
			91	M-	D		+0,0	+0,0	+0,2	+0,0	+0,0	+0,0
		23	181	M-	D		+0,0	+0,0	+0,0	+0,0	+0,0	+0,0
		23	0	G			+0,0	+0,0	+0,0	-0,0	-0,3	+0,0
			91	G			+0,0	+0,0	+0,1	-0,0	+0,0	+0,0
		27	181	G			+0,0	+0,0	-0,0	-0,0	+0,2	+0,0
		23	0	M+	D		+0,0	+0,0	+0,0	+0,0	+0,0	+0,0
27	27	23	181	M-	D		+0,0	+0,0	+0,0	+0,0	+0,0	+0,0
			20	0	G		+0,0	+0,0	+0,0	-0,0	-0,3	+0,0
			91	G			+0,0	+0,0	+0,1	-0,0	+0,0	+0,0
		24	181	G			+0,0	+0,0	-0,0	-0,0	+0,3	+0,0
		20	0	M+	D		+0,0	+0,0	+0,0	+0,0	+0,0	+0,0
			91	M+	D		+0,0	+0,0	+0,2	+0,0	+0,0	+0,0
		24	181	M+	D		+0,0	+0,0	+0,0	+0,0	+0,4	+0,0
		20	0	M-	D		+0,0	+0,0	+0,0	-0,0	-0,4	+0,0
			91	M-	D		+0,0	+0,0	+0,0	-0,0	+0,0	+0,0
		24	181	M-	D		+0,0	+0,0	-0,0	-0,0	+0,2	+0,0
28	28	23	0	G			-0,0	+0,0	-0,0	-0,0	-0,1	+0,0
			120	G			-0,0	+0,0	+0,0	-0,0	-0,0	+0,0
		24	240	G			-0,0	+0,0	-0,0	-0,0	+0,1	+0,0
			0	Q1			-0,0	-0,				

BARRA		NN	X(cm)	HIP	Id	Comb.	Mx kNm	My	Mz	Fx kN	Vy	Vz
34		91	M-	D			+0,0	+0,0	+0,0	-0,0	+0,0	+0,0
		27	181	M-	D		+0,0	+0,0	-0,0	-0,0	+0,0	+0,0
		24	0	G			+0,0	+0,0	+0,0	+0,0	-0,3	+0,0
		91	G				+0,0	+0,0	+0,1	+0,0	+0,0	+0,0
		28	181	G			+0,0	+0,0	-0,0	+0,0	+0,2	+0,0
		24	0	M+	D		+0,0	+0,0	+0,0	+0,0	+0,0	+0,0
		91	M+	D			+0,0	+0,0	+0,1	+0,0	+0,0	+0,0
		28	181	M+	D		+0,0	+0,0	+0,0	+0,0	+0,3	+0,0
		24	0	M-	D		+0,0	+0,0	+0,0	+0,0	-0,4	+0,0
		91	M-	D			+0,0	+0,0	+0,0	+0,0	+0,0	+0,0
35		28	181	M-	D		+0,0	+0,0	-0,0	+0,0	+0,0	+0,0
		27	0	G			+0,0	+0,0	-0,0	-0,0	-0,1	+0,0
		120	G				+0,0	+0,0	+0,0	-0,0	+0,0	+0,0
		28	240	G			+0,0	+0,0	-0,0	-0,0	+0,1	+0,0
		0	Q1				-0,0	-0,0	+0,4	+0,4	+0,2	-0,0
		120	Q1				-0,0	+0,0	+0,1	+0,4	+0,2	-0,0
		240	Q1				-0,0	+0,0	-0,1	+0,4	+0,2	-0,0
		0	W2				-0,0	-0,0	+0,2	-0,1	+0,1	-0,0
		120	W2				-0,0	-0,0	-0,0	-0,1	+0,1	-0,0
		240	W2				-0,0	+0,0	-0,2	-0,1	+0,1	-0,0
		27	0	M+	D		+0,0	+0,0	+0,7	+0,5	+0,3	+0,0
		120	M+	D			+0,0	+0,0	+0,2	+0,5	+0,4	+0,0
		28	240	M+	D		+0,0	+0,0	+0,0	+0,5	+0,6	+0,0
		27	0	M-	D		-0,0	-0,0	-0,0	-0,1	-0,1	-0,0
		120	M-	D			-0,0	-0,0	+0,0	-0,1	+0,0	-0,0
		28	240	M-	D		-0,0	+0,0	-0,5	-0,1	+0,0	-0,0
38		31	0	G			+0,0	+0,0	-0,0	-0,0	-0,1	+0,0
		120	G				+0,0	+0,0	+0,0	-0,0	-0,0	+0,0
		32	240	G			+0,0	-0,0	-0,0	-0,0	+0,1	+0,0
		0	Q1				-0,0	+0,0	+0,4	+0,4	+0,2	+0,0
		120	Q1				-0,0	+0,0	+0,1	+0,4	+0,2	+0,0
		240	Q1				-0,0	-0,0	-0,1	+0,4	+0,2	+0,0
		0	W2				-0,0	+0,0	+0,2	-0,1	+0,1	+0,0
		120	W2				-0,0	+0,0	-0,0	-0,1	+0,1	+0,0
		240	W2				-0,0	-0,0	-0,2	-0,1	+0,1	+0,0
		31	0	M+	D		+0,0	+0,0	+0,7	+0,5	+0,3	+0,0
		120	M+	D			+0,0	+0,0	+0,2	+0,5	+0,4	+0,0
		32	240	M+	D		+0,0	+0,0	+0,0	+0,5	+0,6	+0,0
		31	0	M-	D		-0,0	+0,0	-0,0	-0,1	-0,1	+0,0
		120	M-	D			-0,0	-0,0	+0,0	-0,1	-0,1	+0,0
		32	240	M-	D		-0,0	-0,0	-0,5	-0,1	+0,0	+0,0
42		42	0	G			+0,0	+0,0	+0,0	-0,0	-0,3	+0,0
		105	G				+0,0	+0,0	+0,1	-0,0	-0,0	+0,0
		55	210	G			+0,0	+0,0	+0,0	-0,0	+0,3	+0,0
		0	Q1				+0,0	+0,0	+0,0	+0,0	-1,6	+0,0
		105	Q1				+0,0	+0,8	+0,0	+0,0	+0,0	+0,0
		210	Q1				+0,0	+0,0	+0,0	+0,0	+1,6	+0,0
		42	0	M+	D		+0,0	+0,0	+0,0	+0,0	+0,0	+0,0
		105	M+	D			+0,0	+1,2	+0,2	+0,0	+0,0	+0,0
		55	210	M+	D		+0,0	+0,0	+0,0	+0,0	+0,4	+2,4
		42	0	M-	D		+0,0	+0,0	+0,0	-0,0	-0,4	-2,4
		105	M-	D			+0,0	+0,0	+0,0	-0,0	-0,0	-2,4
		55	210	M-	D		+0,0	+0,0	+0,0	-0,0	-0,0	-0,0

BARRA		NN	X(cm)	HIP	Id	Comb.	Mx kNm	My	Mz	Fx kN	Vy	Vz
43		31	0	G			+0,0	+0,0	+0,0	-0,0	-0,2	+0,0
		91	G				+0,0	+0,0	+0,1	-0,0	+0,0	+0,0
		35	181	G			+0,0	+0,0	-0,0	-0,0	+0,1	+0,0
		31	0	M+	D		+0,0	+0,0	+0,0	+0,0	+0,0	+0,0
		91	M+	D			+0,0	+0,0	+0,1	+0,0	+0,0	+0,0
		35	181	M+	D		+0,0	+0,0	+0,0	+0,0	+0,2	+0,0
		31	0	M-	D		+0,0	+0,0	+0,0	-0,0	-0,3	+0,0
		91	M-	D			+0,0	+0,0	+0,0	-0,0	-0,0	+0,0
		35	181	M-	D		+0,0	+0,0	-0,0	-0,0	-0,0	+0,0
		32	0	G			+0,0	+0,0	+0,0	+0,0	-0,1	+0,0
44		91	G				+0,0	+0,0	+0,1	+0,0	-0,0	+0,0
		36	181	G			+0,0	+0,0	-0,0	+0,0	+0,2	+0,0
		32	0	M+	D		+0,0	+0,0	+0,0	+0,0	+0,0	+0,0
		91	M+	D			+0,0	+0,0	+0,1	+0,0	+0,0	+0,0
		36	181	M+	D		+0,0	+0,0	+0,0	+0,0	+0,3	+0,0
		32	0	M-	D		+0,0	+0,0	+0,0	-0,0	-0,2	+0,0
		91	M-	D			+0,0	+0,0	+0,0	-0,0	-0,0	+0,0
		36</td										

BARRA		NN	X(cm)	HIP	Id	Comb.	Mx kNm	My	Mz	Fx kN	Vy	Vz
51	39	181	M-	D			+0,0	+0,0	-0,0	-0,0	+0,0	+0,0
	36	0	G				+0,0	+0,0	+0,0	+0,0	-0,2	+0,0
		91	G				+0,0	+0,0	+0,1	+0,0	+0,0	+0,0
	40	181	G				+0,0	+0,0	-0,0	+0,0	+0,2	+0,0
	36	0	M+	D			+0,0	+0,0	+0,0	+0,0	+0,0	+0,0
		91	M+	D			+0,0	+0,0	+0,1	+0,0	+0,0	+0,0
	40	181	M+	D			+0,0	+0,0	+0,0	+0,0	+0,3	+0,0
	36	0	M-	D			+0,0	+0,0	+0,0	-0,0	-0,2	+0,0
		91	M-	D			+0,0	+0,0	+0,0	-0,0	+0,0	+0,0
52	40	181	M-	D			+0,0	+0,0	-0,0	-0,0	+0,0	+0,0
	39	0	G				+0,0	+0,0	-0,0	-0,0	-0,1	+0,0
		120	G				+0,0	-0,0	+0,0	-0,0	-0,0	+0,0
	40	240	G				+0,0	-0,0	-0,0	-0,0	+0,1	+0,0
		0	Q1				-0,0	+0,0	+0,2	+0,2	+0,1	+0,0
		120	Q1				-0,0	+0,0	+0,1	+0,2	+0,1	+0,0
		240	Q1				-0,0	-0,0	-0,1	+0,2	+0,1	+0,0
		0	W2				-0,0	+0,0	+0,1	-0,0	+0,1	+0,0
		120	W2				-0,0	+0,0	-0,0	-0,0	+0,1	+0,0
		240	W2				-0,0	-0,0	-0,1	-0,0	+0,1	+0,0
	39	0	M+	D			+0,0	+0,0	+0,3	+0,3	+0,1	+0,0
		120	M+	D			+0,0	+0,0	+0,1	+0,3	+0,2	+0,0
	40	240	M+	D			+0,0	+0,0	+0,0	+0,3	+0,4	+0,0
	39	0	M-	D			-0,0	+0,0	-0,0	-0,1	-0,1	+0,0
		120	M-	D			-0,0	-0,0	+0,0	-0,1	-0,0	+0,0
	40	240	M-	D			-0,0	-0,0	-0,2	-0,1	+0,0	+0,0
56	45	0	G				+0,0	+0,0	+0,0	-0,0	-0,3	+0,0
		105	G				+0,0	+0,0	+0,1	-0,0	-0,0	+0,0
	54	210	G				+0,0	+0,0	+0,0	-0,0	+0,3	+0,0
	45	0	M+	D			+0,0	+0,0	+0,0	+0,0	+0,0	+0,0
		105	M+	D			+0,0	+0,0	+0,2	+0,0	+0,0	+0,0
	54	210	M+	D			+0,0	+0,0	+0,0	+0,0	+0,4	+0,0
	45	0	M-	D			+0,0	+0,0	+0,0	-0,0	-0,4	+0,0
		105	M-	D			+0,0	+0,0	+0,0	-0,0	-0,0	+0,0
	54	210	M-	D			+0,0	+0,0	+0,0	-0,0	+0,0	+0,0
		45	0	G			+0,0	+0,0	+0,0	-0,0	-0,3	+0,0
58	46	0	G				+0,0	+0,0	-0,0	+0,0	+0,2	+0,0
		91	G				+0,0	+0,0	+0,1	+0,0	-0,0	+0,0
	47	181	G				+0,0	+0,0	-0,0	+0,0	-0,2	+0,0
	46	0	M+	D			+0,0	+0,0	-0,0	+0,0	+0,3	+0,0
		91	M+	D			+0,0	+0,0	+0,1	+0,0	+0,0	+0,0
	47	181	M+	D			+0,0	+0,0	-0,0	+0,0	+0,0	+0,0
	46	0	M-	D			+0,0	+0,0	-0,0	-0,0	+0,0	+0,0
		91	M-	D			+0,0	+0,0	-0,0	-0,0	-0,0	+0,0
	47	181	M-	D			+0,0	+0,0	-0,0	-0,0	-0,3	+0,0
		47	0	G			+0,0	+0,0	-0,0	+0,0	+0,2	+0,0
60	47	0	G				+0,0	+0,0	-0,0	+0,0	+0,2	+0,0
		91	G				+0,0	+0,0	+0,1	+0,0	-0,0	+0,0
	48	181	G				+0,0	+0,0	-0,0	+0,0	-0,2	+0,0
	47	0	M+	D			+0,0	+0,0	-0,0	+0,0	+0,3	+0,0
		91	M+	D			+0,0	+0,0	+0,1	+0,0	+0,0	+0,0
	48	181	M+	D			+0,0	+0,0	-0,0	+0,0	+0,0	+0,0
	47	0	M-	D			+0,0	+0,0	-0,0	-0,0	+0,0	+0,0
		91	M-	D			+0,0	+0,0	-0,0	-0,0	-0,0	+0,0
	48	181	M-	D			+0,0	+0,0	-0,0	-0,0	-0,3	+0,0
		47	0	G			+0,0	+0,0	-0,0	+0,0	+0,2	+0,0

BARRA		NN	X(cm)	HIP	Id	Comb.	Mx kNm	My	Mz	Fx kN	Vy	Vz
64	91	G					+0,0	+0,0	+0,1	+0,0	+0,0	+0,0
	49	181	G				+0,0	+0,0	-0,0	+0,0	-0,3	+0,0
	48	0	M+	D			+0,0	+0,0	-0,0	+0,0	+0,2	+0,0
		91	M+	D			+0,0	+0,0	+0,1	+0,0	+0,0	+0,0
	49	181	M+	D			+0,0	+0,0	-0,0	+0,0	+0,0	+0,0
	48	0	M-	D			+0,0	+0,0	-0,0	-0,0	+0,0	+0,0
		91	M-	D			+0,0	+0,0	-0,0	-0,0	-0,4	+0,0
	49	181	M-	D			+0,0	+0,0	-0,0	-0,0	-0,4	+0,0
		49	0	G			+0,0	+0,0	-0,0	-0,0	+0,2	+0,0
66	91	G					+0,0	+0,0	+0,1	-0,0	-0,0	+0,0
	50	181	G				+0,0	+0,0	-0,0	-0,0	-0,3	+0,0
	49	0	M+	D			+0,0	+0,0	+0,1	+0,0	+0,2	+0,0
		91	M+	D			+0,0	+0,0	+0,1	+0,0	+0,0	+0,0
	50	181	M+	D			+0,0	+0,0	-0,0	+0,0	+0,0	+0,0
	49	0	M-	D			+0,0	+0,0	-0,0	-0,0	+0,0	+0,0
		91	M-	D			+0,0	+0,0	-0,0	-0,0	-0,4	+0,0
	50	181	M-	D			+0,0	+0,0	-0,0	-0,0	-0,3	+0,0
68	51	181	M-	D			+0,0	+0,0	-0,0	-0,0	+0,2	+0,0

BARRA		NN	X(cm)	HIP	Id	Comb.	Mx kNm	My	Mz	Fx kN	Vy	Vz
74	74	53	0	M-	D		+0,0	+0,0	-0,0	-0,0	+0,0	+0,0
			105	M-	D		+0,0	+0,0	-0,0	-0,0	+0,0	+0,0
		54	210	M-	D		+0,0	+0,0	-0,0	-0,0	-0,4	+0,0
		43	0	G			+0,0	+0,0	-0,0	+0,0	+0,2	+0,0
			91	G			+0,0	+0,0	+0,1	+0,0	-0,0	+0,0
		60	181	G			+0,0	+0,0	-0,0	+0,0	-0,2	+0,0
			0	Q1			+0,0	+0,0	-0,0	-0,0	+0,0	-1,4
			91	Q1			+0,0	+0,6	-0,0	-0,0	+0,0	+0,0
			181	Q1			+0,0	-0,0	-0,0	-0,0	+0,0	+1,4
		43	0	M+	D		+0,0	+0,0	-0,0	+0,0	+0,3	+0,0
			91	M+	D		+0,0	+0,9	+0,1	+0,0	+0,0	+0,0
		60	181	M+	D		+0,0	+0,0	-0,0	+0,0	+0,0	+2,1
		43	0	M-	D		+0,0	+0,0	-0,0	+0,0	+0,0	-2,0
			91	M-	D		+0,0	+0,0	-0,0	+0,0	-0,0	+0,0
		60	181	M-	D		+0,0	-0,0	-0,0	+0,0	-0,3	+0,0
76	76	55	0	G			+0,0	+0,0	+0,0	-0,0	-0,3	+0,0
			105	G			+0,0	+0,0	+0,1	-0,0	+0,0	+0,0
		56	210	G			+0,0	+0,0	+0,0	-0,0	+0,2	+0,0
			0	Q1			+0,0	+0,0	+0,0	-0,0	+0,0	-1,6
			105	Q1			+0,0	+0,8	+0,0	-0,0	+0,0	+0,0
			210	Q1			+0,0	+0,0	+0,0	-0,0	+0,0	+1,6
		55	0	M+	D		+0,0	+0,0	+0,0	+0,0	+0,0	+0,0
			105	M+	D		+0,0	+1,2	+0,2	+0,0	+0,1	+0,0
		56	210	M+	D		+0,0	+0,0	+0,0	+0,0	+0,3	+2,4
		55	0	M-	D		+0,0	+0,0	+0,0	-0,0	-0,3	-2,4
			105	M-	D		+0,0	+0,0	+0,0	-0,0	+0,0	-0,0
		56	210	M-	D		+0,0	+0,0	+0,0	-0,0	+0,0	+0,0
		56	0	G			+0,0	+0,0	+0,0	-0,0	-0,2	+0,0
			91	G			+0,0	+0,0	+0,1	-0,0	+0,0	+0,0
		57	181	G			+0,0	+0,0	-0,0	-0,0	+0,2	+0,0
			0	Q1			+0,0	+0,0	+0,0	-0,0	+0,0	-1,4
78	78		91	Q1			+0,0	+0,6	+0,0	-0,0	+0,0	+0,0
			181	Q1			+0,0	-0,0	+0,0	-0,0	+0,0	+1,4
		56	0	M+	D		+0,0	+0,0	+0,0	+0,0	+0,0	+0,0
			91	M+	D		+0,0	+0,9	+0,1	+0,0	+0,0	+0,0
		57	181	M+	D		+0,0	+0,0	+0,0	+0,0	+0,3	+2,1
		56	0	M-	D		+0,0	+0,0	+0,0	-0,0	-0,3	-2,0
			91	M-	D		+0,0	+0,0	+0,0	-0,0	+0,0	+0,0
		57	181	M-	D		+0,0	-0,0	-0,0	-0,0	+0,0	+0,0
		57	0	G			+0,0	+0,0	+0,0	+0,0	-0,3	+0,0
			91	G			+0,0	+0,0	+0,1	+0,0	+0,0	+0,0
		58	181	G			+0,0	+0,0	-0,0	+0,0	+0,2	+0,0
			0	Q1			+0,0	+0,0	+0,0	-0,0	+0,0	-1,4
			91	Q1			+0,0	+0,6	+0,0	-0,0	+0,0	+0,0
			181	Q1			+0,0	-0,0	+0,0	-0,0	+0,0	+1,4
80	80	57	0	M+	D		+0,0	+0,0	+0,0	+0,0	+0,0	+0,0
			91	M+	D		+0,0	+0,9	+0,1	+0,0	+0,0	+0,0
		58	181	M+	D		+0,0	+0,0	+0,0	+0,0	+0,2	+2,1
		57	0	M-	D		+0,0	+0,0	+0,0	-0,0	-0,4	-2,0
			91	M-	D		+0,0	+0,0	+0,0	-0,0	+0,0	+0,0
		58	181	M-	D		+0,0	-0,0	-0,0	-0,0	+0,0	+0,0
		57	0	G			+0,0	+0,0	+0,0	+0,0	-0,2	+0,0
			91	G			+0,0	+0,0	+0,1	+0,0	+0,1	+0,0
		58	181	G			+0,0	+0,0	+0,0	+0,0	-0,2	+0,0
			0	Q1			+0,0	+0,0	+0,0	-0,0	-0,4	-2,0
			91	Q1			+0,0	+0,6	+0,0	-0,0	+0,0	+0,0
			181	Q1			+0,0	-0,0	+0,0	-0,0	+0,0	+1,4
		57	0	M+	D		+0,0	+0,0	+0,0	+0,0	+0,0	+0,0
			91	M+	D		+0,0	+0,9	+0,1	+0,0	+0,0	+0,0
		58	181	M+	D		+0,0	+0,0	+0,0	+0,0	+0,2	+2,1
		57	0	M-	D		+0,0	+0,0	+0,0	-0,0	-0,4	-2,0
			91	M-	D		+0,0	+0,0	+0,0	-0,0	+0,0	+0,0
		58	181	M-	D		+0,0	-0,0	-0,0	-0,0	+0,0	+0,0
82	82	58	0	G			+0,0	+0,0	+0,0	+0,0	-0,2	+0,0
			91	G			+0,0	+0,0	+0,1	+0,0	+0,1	+0,0

BARRA		NN	X(cm)	HIP	Id	Comb.	Mx kNm	My	Mz	Fx kN	Vy	Vz
84	84	59	181	G			+0,0	+0,0	-0,0	+0,0	+0,4	+0,0
			0	Q1			+0,0	+0,0	+0,0	+0,0	+0,0	-1,4
		91	Q1				+0,0	+0,6	+0,0	+0,0	+0,0	+0,0
			181	Q1			+0,0	-0,0	+0,0	+0,0	+0,0	+1,4
		58	0	M+	D		+0,0	+0,0	+0,0	+0,0	+0,0	+0,0
		</										

BARRA		NN	X(cm)	HIP	Id	Comb.	Mx kNm	My	Mz	Fx kN	Vy	Vz
90			74	M+	D		+0,0	+0,0	+0,1	+0,0	+0,0	+0,0
		64	148	M+	D		+0,0	+0,0	-0,0	+0,0	+0,0	+0,0
		45	0	M-	D		+0,0	+0,0	-0,0	-0,0	+0,0	+0,0
			74	M-	D		+0,0	+0,0	-0,0	-0,0	-0,0	+0,0
		64	148	M-	D		+0,0	+0,0	-0,0	-0,0	-0,2	+0,0
		61	0	G			-0,0	+0,0	-0,0	-0,0	-0,1	+0,0
			120	G			-0,0	-0,0	+0,0	-0,0	+0,0	+0,0
		62	240	G			-0,0	-0,0	-0,0	-0,0	+0,1	+0,0
			0	W2			-0,0	+0,0	+0,1	-0,1	+0,1	+0,0
			120	W2			-0,0	+0,0	-0,0	-0,1	+0,1	+0,0
			240	W2			-0,0	-0,0	-0,1	+0,1	+0,0	+0,0
92		61	0	M+	D		+0,0	+0,0	+0,1	+0,0	+0,1	+0,0
			120	M+	D		+0,0	+0,0	+0,0	+0,0	+0,1	+0,0
		62	240	M+	D		+0,0	+0,0	+0,0	+0,0	+0,3	+0,0
		61	0	M-	D		-0,0	+0,0	-0,0	-0,2	-0,1	+0,0
			120	M-	D		-0,0	-0,0	+0,0	-0,2	+0,0	+0,0
		62	240	M-	D		-0,0	-0,0	-0,2	-0,2	+0,0	+0,0
		61	0	G			+0,0	+0,0	-0,0	-0,0	+0,3	+0,0
			74	G			+0,0	+0,0	+0,1	-0,0	+0,1	+0,0
		65	148	G			+0,0	+0,0	-0,0	-0,0	-0,4	+0,0
		61	0	M+	D		+0,0	+0,0	-0,0	+0,0	+0,4	+0,0
93		61	74	M+	D		+0,0	+0,0	+0,1	+0,0	+0,1	+0,0
		65	148	M+	D		+0,0	+0,0	-0,0	+0,0	+0,0	+0,0
		61	0	M-	D		+0,0	+0,0	-0,0	-0,0	+0,0	+0,0
			74	M-	D		+0,0	+0,0	-0,0	-0,0	+0,0	+0,0
		65	148	M-	D		+0,0	+0,0	-0,0	-0,0	-0,5	+0,0
		62	0	G			+0,0	+0,0	-0,0	-0,0	+0,2	+0,0
			74	G			+0,0	+0,0	+0,1	-0,0	+0,0	+0,0
		66	148	G			+0,0	+0,0	-0,0	-0,0	-0,4	+0,0
		62	0	M+	D		+0,0	+0,0	-0,0	+0,0	+0,3	+0,0
			74	M+	D		+0,0	+0,0	+0,1	+0,0	+0,1	+0,0
94		66	148	M+	D		+0,0	+0,0	-0,0	+0,0	+0,0	+0,0
		62	0	M-	D		+0,0	+0,0	-0,0	-0,0	+0,0	+0,0
			74	M-	D		+0,0	+0,0	-0,0	-0,0	+0,0	+0,0
		66	148	M-	D		+0,0	+0,0	-0,0	-0,0	-0,6	+0,0
		63	0	G			+0,0	+0,0	-0,0	+0,0	+0,1	+0,0
			74	G			+0,0	+0,0	+0,0	+0,0	+0,0	+0,0
		67	148	G			+0,0	+0,0	-0,0	+0,0	-0,1	+0,0
		63	0	M+	D		+0,0	+0,0	-0,0	+0,0	+0,2	+0,0
			74	M+	D		+0,0	+0,0	+0,1	+0,0	+0,0	+0,0
		67	148	M+	D		+0,0	+0,0	-0,0	+0,0	+0,0	+0,0
95		63	0	M-	D		+0,0	+0,0	-0,0	+0,0	+0,0	+0,0
			74	M-	D		+0,0	+0,0	-0,0	+0,0	+0,0	+0,0
		67	148	M-	D		+0,0	+0,0	-0,0	+0,0	-0,1	+0,0
		63	0	G			+0,0	+0,0	-0,0	+0,0	+0,0	+0,0
			74	G			+0,0	+0,0	+0,0	+0,0	+0,0	+0,0
		68	148	G			+0,0	+0,0	-0,0	+0,0	-0,1	+0,0
		64	0	M+	D		+0,0	+0,0	-0,0	+0,0	+0,2	+0,0
			74	M+	D		+0,0	+0,0	+0,1	+0,0	+0,0	+0,0
		68	148	M+	D		+0,0	+0,0	-0,0	+0,0	+0,0	+0,0
		64	0	M-	D		+0,0	+0,0	-0,0	+0,0	+0,0	+0,0
96			74	M-	D		+0,0	+0,0	-0,0	+0,0	+0,0	+0,0
		65	0	G			-0,0	+0,0	-0,0	-0,0	-0,0	+0,0
			120	G			-0,0	+0,0	-0,0	-0,0	-0,0	+0,0
		66	240	G			-0,0	+0,0	-0,0	-0,0	-0,0	+0,0
		0	W2				-0,0	+0,0	+0,1	-0,1	-0,1	+0,0
			120	W2			-0,0	+0,0	+0,0	-0,1	-0,1	+0,0
		240	W2				-0,0	+0,0	-0,1	-0,1	-0,1	+0,0
		65	0	M+	D		+0,0	+0,0	+0,1	+0,0	+0,0	+0,0
			120	M+	D		+0,0	+0,0	+0,0	+0,0	+0,0	+0,0
		66	240	M+	D		+0,0	+0,0	+0,0	+0,0	+0,0	+0,0
101		65	0	M-	D		-0,0	+0,0	-0,0	-0,0	-0,2	+0,0
			120	M-	D		-0,0	+0,0	-0,0	-0,0	-0,2	+0,0
		66	240	M-	D		-0,0	+0,0	-0,0	-0,0	-0,2	+0,0
		40	0	G			+0,0	+0,0	+0,0	+0,0	-0,1	+0,0
			73	G			+0,0	+0,0	+0,1	+0,0	+0,0	+0,0
		69	146	G			+0,0	+0,0	+0,0	+0,0	+0,2	+0,0
		40	0	M+	D		+0,0	+0,0	+0,0	+0,0	-0,2	+0,0
			73	M+	D		+0,0	+0,0	+0,0	+0,0	-0,0	+0,0
		69	146	M+	D		+0,0	+0,0	+0,0	+0,0	-0,0	+0,0
		43	0	G			+0,0	+0,0	+0,0	+0,0	-0,1	+0,0
102			73	G			+0,0	+0,0	+0,0	+0,0	-0,0	+0,0
		70	146	G			+0,0	+0,0	+0,0	+0,0	+0,1	+0,0
		43	0	M+	D		+0,0	+0,0	+0,0	+0,0	+0,0	+0,0
			73	M+	D	</td						

BARRA		NN	X(cm)	HIP	Id	Comb.	Mx kNm	My	Mz	Fx kN	Vy	Vz
		99	210	M+	D		+0,0	+0,0	+0,0	+0,0	+0,2	+0,0
		97	0	M-	D		+0,0	+0,0	+0,0	-0,0	-0,2	+0,0
			105	M-	D		+0,0	+0,0	+0,0	-0,0	-0,0	+0,0
		99	210	M-	D		+0,0	+0,0	+0,0	-0,0	+0,0	+0,0
134		98	0	G			+0,0	+0,0	-0,0	-0,0	+0,1	+0,0
			91	G			+0,0	+0,0	+0,1	-0,0	-0,0	+0,0
		104	181	G			+0,0	+0,0	-0,0	-0,0	-0,1	+0,0
		98	0	M+	D		+0,0	+0,0	-0,0	+0,0	+0,2	+0,0
			91	M+	D		+0,0	+0,0	+0,1	+0,0	+0,0	+0,0
		104	181	M+	D		+0,0	+0,0	-0,0	+0,0	+0,0	+0,0
		98	0	M-	D		+0,0	+0,0	-0,0	-0,0	+0,0	+0,0
			91	M-	D		+0,0	+0,0	-0,0	-0,0	-0,0	+0,0
		104	181	M-	D		+0,0	+0,0	-0,0	-0,0	-0,2	+0,0
		99	0	G			+0,0	+0,0	+0,0	-0,0	-0,2	+0,0
136			105	G			+0,0	+0,0	+0,1	-0,0	-0,0	+0,0
		100	210	G			+0,0	+0,0	+0,0	-0,0	+0,2	+0,0
		99	0	M+	D		+0,0	+0,0	+0,0	+0,0	+0,0	+0,0
			105	M+	D		+0,0	+0,0	+0,1	+0,0	+0,0	+0,0
		100	210	M+	D		+0,0	+0,0	+0,0	+0,0	+0,2	+0,0
		99	0	M-	D		+0,0	+0,0	+0,0	-0,0	-0,2	+0,0
			105	M-	D		+0,0	+0,0	+0,0	-0,0	-0,0	+0,0
		100	210	M-	D		+0,0	+0,0	+0,0	-0,0	+0,0	+0,0
		100	0	G			+0,0	+0,0	+0,0	-0,0	-0,2	+0,0
			105	G			+0,0	+0,0	+0,1	+0,0	-0,0	+0,0
138		101	210	G			+0,0	+0,0	+0,0	+0,0	+0,2	+0,0
		100	0	M+	D		+0,0	+0,0	+0,0	+0,0	+0,0	+0,0
			105	M+	D		+0,0	+0,0	+0,1	+0,0	+0,0	+0,0
		101	210	M+	D		+0,0	+0,0	+0,0	+0,0	+0,2	+0,0
		100	0	M-	D		+0,0	+0,0	+0,0	+0,0	-0,2	+0,0
			105	M-	D		+0,0	+0,0	+0,0	-0,0	-0,0	+0,0
		101	210	M-	D		+0,0	+0,0	+0,0	+0,0	+0,0	+0,0
		101	0	G			+0,0	+0,0	+0,0	-0,0	-0,2	+0,0
			105	G			+0,0	+0,0	+0,1	+0,0	-0,0	+0,0
		102	210	G			+0,0	+0,0	+0,0	+0,0	+0,2	+0,0
140		101	0	M+	D		+0,0	+0,0	+0,0	+0,0	+0,0	+0,0
			105	M+	D		+0,0	+0,0	+0,1	+0,0	+0,0	+0,0
		102	210	M+	D		+0,0	+0,0	+0,0	+0,0	+0,2	+0,0
		101	0	M-	D		+0,0	+0,0	+0,0	-0,0	-0,2	+0,0
			105	M-	D		+0,0	+0,0	+0,0	-0,0	-0,0	+0,0
		102	210	M-	D		+0,0	+0,0	+0,0	+0,0	+0,0	+0,0
		102	0	G			+0,0	+0,0	+0,0	-0,0	-0,1	+0,0
			91	G			+0,0	+0,0	+0,1	+0,0	+0,0	+0,0
		103	181	G			+0,0	+0,0	-0,0	+0,0	+0,1	+0,0
		102	0	M+	D		+0,0	+0,0	+0,0	+0,0	+0,0	+0,0
142		91	M+	D			+0,0	+0,0	+0,1	+0,0	+0,0	+0,0
			103	181	M+	D	+0,0	+0,0	+0,0	+0,0	+0,2	+0,0
		102	0	M-	D		+0,0	+0,0	+0,0	+0,0	-0,2	+0,0
			91	M-	D		+0,0	+0,0	+0,0	+0,0	-0,0	+0,0
		103	181	M-	D		+0,0	+0,0	-0,0	+0,0	+0,0	+0,0
		102	0	M-	D		+0,0	+0,0	+0,0	-0,0	-0,2	+0,0
			91	M-	D		+0,0	+0,0	+0,0	+0,0	-0,0	+0,0
		103	181	M-	D		+0,0	+0,0	-0,0	+0,0	+0,0	+0,0
		103	0	G			+0,0	+0,0	+0,0	+0,0	-0,1	+0,0
			91	G			+0,0	+0,0	+0,1	+0,0	-0,0	+0,0
144		106	181	G			+0,0	+0,0	+0,1	+0,0	+0,0	+0,0
		103	0	M+	D		+0,0	+0,0	+0,0	+0,0	+0,1	+0,0
			91	G			+0,0	+0,0	+0,1	+0,0	+0,0	+0,0
		106	181	G			+0,0	+0,0	-0,0	+0,0	+0,1	+0,0
		103	0	M+	D		+0,0	+0,0	+0,0	+0,0	+0,0	+0,0
			91	G			+0,0	+0,0	+0,1	+0,0	+0,0	+0,0
		106	181	G			+0,0	+0,0	-0,0	+0,0	+0,1	+0,0
		103	181	G			+0,0	+0,0	+0,0	+0,0	+0,1	+0,0
		103	0	M+	D		+0,0	+0,0	+0,0	+0,0	+0,0	+0,0
			91	G			+0,0	+0,0	+0,1	+0,0	+0,0	+0,0

BARRA		NN	X(cm)	HIP	Id	Comb.	Mx kNm	My	Mz	Fx kN	Vy	Vz
		91	181	M+	D		+0,0	+0,0	+0,1	+0,0	+0,0	+0,0
		106	181	M+	D		+0,0	+0,0	+0,0	+0,0	+0,2	+0,0
		103	0	M-	D		+0,0	+0,0	+0,0	+0,0	-0,2	+0,0
		91	181	M-	D		+0,0	+0,0	+0,0	+0,0	+0,0	+0,0
		106	181	M-	D		+0,0	+0,0	+0,0	-0,0	+0,0	+0,0
146		104	0	G			+0,0	+0,0	-0,0	-0,0	+0,1	+0,0
		</										

BARRA		NN	X(cm)	HIP	Id	Comb.	Mx kNm	My	Mz	Fx kN	Vy	Vz
154	112	112	0	M+	D		+0,0	+0,0	+0,0	+0,0	+0,0	+0,0
		91	91	M+	D		+0,0	+0,0	+0,1	+0,0	+0,0	+0,0
		113	181	M+	D		+0,0	+0,0	+0,0	+0,0	+0,2	+0,0
		112	0	M-	D		+0,0	+0,0	+0,0	+0,0	-0,2	+0,0
		91	91	M-	D		+0,0	+0,0	+0,0	+0,0	+0,0	+0,0
		113	181	M-	D		+0,0	+0,0	-0,0	+0,0	+0,0	+0,0
155	111	111	0	G			+0,0	+0,0	+0,0	-0,1	+0,0	+0,0
		91	91	G			+0,0	+0,0	+0,1	+0,0	+0,0	+0,0
		112	181	G			+0,0	+0,0	-0,0	+0,0	+0,1	+0,0
		111	0	M+	D		+0,0	+0,0	+0,0	+0,0	+0,0	+0,0
		91	91	M+	D		+0,0	+0,0	+0,1	+0,0	+0,0	+0,0
		112	181	M+	D		+0,0	+0,0	+0,0	+0,0	+0,2	+0,0
		111	0	M-	D		+0,0	+0,0	+0,0	+0,0	-0,2	+0,0
		91	91	M-	D		+0,0	+0,0	+0,0	+0,0	+0,0	+0,0
		112	181	M-	D		+0,0	+0,0	-0,0	+0,0	+0,0	+0,0
		110	0	G			+0,0	+0,0	+0,0	+0,0	-0,2	+0,0
156	110	105	105	G			+0,0	+0,0	+0,1	+0,0	-0,0	+0,0
		111	210	G			+0,0	+0,0	+0,0	+0,0	+0,2	+0,0
		110	0	M+	D		+0,0	+0,0	+0,0	+0,0	+0,0	+0,0
		105	105	M+	D		+0,0	+0,0	+0,1	+0,0	+0,0	+0,0
		111	210	M+	D		+0,0	+0,0	+0,0	+0,0	+0,2	+0,0
		110	0	M-	D		+0,0	+0,0	+0,0	+0,0	-0,2	+0,0
		105	105	M-	D		+0,0	+0,0	+0,0	+0,0	-0,0	+0,0
		111	210	M-	D		+0,0	+0,0	+0,0	+0,0	+0,0	+0,0
157	109	109	0	G			+0,0	+0,0	+0,0	-0,0	-0,2	+0,0
		105	105	G			+0,0	+0,0	+0,1	-0,0	-0,0	+0,0
		110	210	G			+0,0	+0,0	+0,0	-0,0	+0,2	+0,0
		109	0	M+	D		+0,0	+0,0	+0,0	+0,0	+0,0	+0,0
		105	105	M+	D		+0,0	+0,0	+0,1	+0,0	+0,0	+0,0
		110	210	M+	D		+0,0	+0,0	+0,0	+0,0	+0,2	+0,0
		109	0	M-	D		+0,0	+0,0	+0,0	-0,0	-0,2	+0,0
		105	105	M-	D		+0,0	+0,0	+0,0	-0,0	-0,0	+0,0
158	108	108	0	G			+0,0	+0,0	+0,0	-0,0	-0,2	+0,0
		105	105	G			+0,0	+0,0	+0,1	-0,0	-0,0	+0,0
		109	210	G			+0,0	+0,0	+0,0	-0,0	+0,2	+0,0
		108	0	M+	D		+0,0	+0,0	+0,0	+0,0	+0,0	+0,0
		105	105	M+	D		+0,0	+0,0	+0,1	+0,0	+0,0	+0,0
		109	210	M+	D		+0,0	+0,0	+0,0	+0,0	+0,2	+0,0
		108	0	M-	D		+0,0	+0,0	+0,0	-0,0	-0,2	+0,0
		105	105	M-	D		+0,0	+0,0	+0,0	-0,0	-0,0	+0,0
		109	210	M-	D		+0,0	+0,0	+0,0	-0,0	+0,0	+0,0
		107	0	G			+0,0	+0,0	+0,0	-0,0	-0,2	+0,0
Pilars		105	105	G			+0,0	+0,0	+0,1	-0,0	-0,0	+0,0

Sol·licitacions (Eixos principals. Hip. sense majorar; Comb. majorades)

BARRA		NN	X(cm)	HIP	Id	Comb.	Mx kNm	My	Mz	Fx kN	Vy	Vz
14	1	1	0	G			+0,0	+0,0	-0,0	-1,4	-0,0	+0,0
		8	8	G			+0,0	+0,0	-0,0	-1,4	-0,0	+0,0
		107	15	G			+0,0	+0,0	-0,0	-1,4	-0,0	+0,0
		0	0	Q1			+0,0	-0,3	-0,0	+0,1	-0,0	-0,2
		8	8	Q1			+0,0	-0,3	-0,0	+0,1	-0,0	-0,2
		15	15	Q1			+0,0	-0,3	-0,0	+0,1	-0,0	-0,2
		0	0	W2			+0,0	-0,5	-0,0	+0,2	-0,0	-0,5
		8	8	W2			+0,0	-0,4	-0,0	+0,2	-0,0	-0,5
		15	15	W2			+0,0	-0,4	-0,0	+0,2	-0,0	-0,5
		1	0	M+	D		+0,0	+0,0	+0,0	+0,0	+0,0	+0,0
15	2	8	8	M+	D		+0,0	+0,0	+0,0	+0,0	+0,0	+0,0
		107	15	M+	D		+0,0	+0,0	+0,0	+0,0	+0,0	+0,0
		1	0	M-	D		+0,0	-1,0	-0,0	-1,9	-0,0	-0,9
		8	8	M-	D		+0,0	-1,0	-0,0	-1,8	-0,0	-0,9
		107	15	M-	D		+0,0	-0,9	-0,0	-1,8	-0,0	-0,9
		2	0	G			+0,0	+0,0	+0,0	-1,6	-0,0	+0,0
		8	8	G			+0,0	+0,0	+0,0	-1,6	-0,0	+0,0
		108	15	G			+0,0	+0,0	+0,0	-1,6	-0,0	+0,0
		0	0	Q1			+0,0	-0,6	-0,0	+0,2	-0,0	-0,4
		8	8	Q1			+0,0	-0,6	-0,0	+0,2	-0,0	-0,4
16	15	15	15	Q1			+0,0	-0,6	-0,0	+0,2	-0,0	-0,4
		0	0	W2			+0,0	-0,5	-0,0	+0,2	-0,0	-0,6
		8	8	W2			+0,0	-0,5	-0,0	+0,2	-0,0	-0,6
		15	15	W2			+0,0	-0,4	-0,0	+0,2	-0,0	-0,6
		3	0	M+	D		+0,0	+0,0	+0,0	+0,0	+0	

BARRA		NN	X(cm)	HIP	Id	Comb.	Mx kNm	My	Mz	Fx kN	Vy	Vz
17	17		0	W2			+0,0	-0,5	-0,0	+0,1	+0,0	-0,6
			8	W2			+0,0	-0,4	-0,0	+0,1	+0,0	-0,6
			15	W2			+0,0	-0,4	-0,0	+0,1	+0,0	-0,6
		4	0	M+	D		+0,0	+0,0	+0,0	+0,0	+0,0	+0,0
			8	M+	D		+0,0	+0,0	+0,0	+0,0	+0,0	+0,0
		110	15	M+	D		+0,0	+0,0	+0,0	+0,0	+0,0	+0,0
		4	0	M-	D		+0,0	-1,4	+0,0	-2,4	-0,0	-1,3
			8	M-	D		+0,0	-1,3	+0,0	-2,4	-0,0	-1,3
		110	15	M-	D		+0,0	-1,2	+0,0	-2,4	-0,0	-1,3
			5	0	G		+0,0	+0,0	-0,0	-1,7	-0,0	+0,0
			8	G			+0,0	+0,0	+0,0	-1,7	-0,0	+0,0
		111	15	G			+0,0	+0,0	+0,0	-1,7	-0,0	+0,0
18	18		0	Q1			+0,0	-0,6	+0,0	+0,2	+0,0	-0,4
			8	Q1			+0,0	-0,6	+0,0	+0,2	+0,0	-0,4
			15	Q1			+0,0	-0,5	-0,0	+0,2	+0,0	-0,4
			0	W2			+0,0	-0,5	+0,0	+0,2	+0,0	-0,6
			8	W2			+0,0	-0,5	-0,0	+0,2	+0,0	-0,6
			15	W2			+0,0	-0,4	-0,0	+0,2	+0,0	-0,6
		5	0	M+	D		+0,0	+0,0	+0,0	+0,0	+0,0	+0,0
			8	M+	D		+0,0	+0,0	+0,0	+0,0	+0,0	+0,0
		111	15	M+	D		+0,0	+0,0	+0,0	+0,0	+0,0	+0,0
		5	0	M-	D		+0,0	-1,4	-0,0	-2,3	-0,0	-1,2
			8	M-	D		+0,0	-1,3	+0,0	-2,3	-0,0	-1,2
		111	15	M-	D		+0,0	-1,2	+0,0	-2,2	-0,0	-1,2
19	19		6	0	G		+0,0	-0,0	-0,0	-1,4	-0,0	-0,0
			8	G			+0,0	-0,0	-0,0	-1,4	-0,0	-0,0
		97	15	G			+0,0	-0,0	-0,0	-1,4	-0,0	-0,0
			0	Q1			+0,0	-1,0	+0,0	-0,1	+0,0	-1,4
			8	Q1			+0,0	-0,9	+0,0	-0,1	+0,0	-1,4
			15	Q1			+0,0	-0,8	+0,0	-0,1	+0,0	-1,4
			0	W2			+0,0	-0,4	+0,0	-0,2	+0,0	-0,3
			8	W2			+0,0	-0,4	+0,0	-0,2	+0,0	-0,3
			15	W2			+0,0	-0,4	+0,0	-0,2	+0,0	-0,3
		6	0	M+	D		+0,0	+0,0	+0,0	+0,0	+0,0	+0,0
			8	M+	D		+0,0	+0,0	+0,0	+0,0	+0,0	+0,0
		97	15	M+	D		+0,0	+0,0	+0,0	+0,0	+0,0	+0,0
20	20	6	0	M-	D		+0,0	-1,9	-0,0	-2,4	-0,0	-2,4
			8	M-	D		+0,0	-1,7	-0,0	-2,4	-0,0	-2,4
		97	15	M-	D		+0,0	-1,5	-0,0	-2,3	-0,0	-2,4
			7	0	G		+0,0	-0,0	+0,0	-1,7	-0,0	-0,0
			8	G			+0,0	-0,0	+0,0	-1,6	-0,0	-0,0
		99	15	G			+0,0	-0,0	+0,0	-1,6	-0,0	-0,0
			0	Q1			+0,0	-2,0	+0,0	-0,2	+0,0	-2,7
			8	Q1			+0,0	-1,8	+0,0	-0,2	+0,0	-2,7
			15	Q1			+0,0	-1,6	+0,0	-0,2	+0,0	-2,7
			0	W2			+0,0	-0,4	+0,0	-0,1	+0,0	-0,3
			8	W2			+0,0	-0,3	+0,0	-0,1	+0,0	-0,3
			15	W2			+0,0	-0,3	+0,0	-0,1	+0,0	-0,3
		7	0	M+	D		+0,0	+0,0	+0,0	+0,0	+0,0	+0,0
			8	M+	D		+0,0	+0,0	+0,0	+0,0	+0,0	+0,0
		99	15	M+	D		+0,0	+0,0	+0,0	+0,0	+0,0	+0,0
		7	0	M-	D		+0,0	-3,4	+0,0	-2,7	-0,0	-4,4
			8	M-	D		+0,0	-3,0	+0,0	-2,7	-0,0	-4,4

BARRA		NN	X(cm)	HIP	Id	Comb.	Mx kNm	My	Mz	Fx kN	Vy	Vz
		99	15	M-	D		+0,0	-2,7	+0,0	-2,7	-0,0	-4,4
21		8	0	G			+0,0	-0,0	+0,0	-1,8	-0,0	-0,0
			8	G			+0,0	-0,0	+0,0	-1,8	-0,0	-0,0
		100	15	G			+0,0	-0,0	+0,0	-1,8	-0,0	-0,0
			0	Q1			+0,0	-2,0	+0,0	-0,2	+0,0	-2,7
			8	Q1			+0,0	-1,8	+0,0	-0,2	+0,0	-2,7
			15	Q1			+0,0	-1,6	+0,0	-0,2	+0,0	-2,7
			0	W2			+0,0	-0,4	+0,0	-0,2	+0,0	-0,4
			8	W2			+0,0	-0,4	+0,0	-0,2	+0,0	-0,4
			15	W2			+0,0	-0,4	+0,0	-0,2	+0,0	-0,4
		8	0	M+	D		+0,0	+0,0	+0,0	+0,0	+0,0	+0,0
			8	M+	D		+0,0	+0,0	+0,0	+0,0	+0,0	+0,0
		100	15	M+	D		+0,0	+0,0	+0,0	+0,0	+0,0	+0,0
		8	0	M-	D		+0,0	-3,4	+0,0	-2,9	-0,0	-4,5
			8	M-	D		+0,0	-3,1	+0,0	-2,9	-0,0	-4,5
		100	15	M-	D		+0,0	-2,7	+0,0	-2,9	-0,0	-4,5
22		9	0	G			+0,0	-0,0	-0,0	-1,8	-0,0	-0,0
			8	G			+0,0	-0,0	+0,0	-1,8	-0,0	-0,0
		101	15	G			+0,0	-0,0	+0,0	-1,8	-0,0	-0,0
			0	Q1			+0,0	-2,0	+0,0	-0,2	+0,0	-2,7
			8	Q1			+0,0	-1,8	+0,0	-0,2	+0,0	-2,7
			15	Q1			+0,0	-1,6	+0,0	-0,2	+0,0	-2,7
			0	W2			+0,0	-0,4	+0,0	-0,1	-0,0	-0,3
			8	W2			+0,0	-0,3	+0,0	-0,1	-0,0	-0,3
			15	W2			+0,0	-0,3	+0,0	-0,1	-0,0	-0,3
		9	0	M+	D		+0,0	+0,0	+0,0	+0,0	+0,0	+0,0
			8	M+	D		+0,0	+0,0	+0,0	+0,0	+0,0	+0,0
		101	15	M+	D		+0,0	+0,0	+0,0	+0,0	+0,0	+0,0
		9	0	M-	D		+0,0	-3,4	-0,0	-2,9	-0,0	-4,4
			8	M-	D		+0,0	-3,0	+0,0	-2,9	-0,0	-4,4
		101	15	M-	D		+0,0	-2,7	+0,0	-2,9	-0,0	-4,4
23		10	0	G			+0,0	-0,0	-0,0	-1,7	-0,0	-0,0
			8	G			+0,0	-0,0	-0,0	-1,7	-0,0	-0,0
		102	15	G			+0,0	-0,0	+0,0	-1,6	-0,0	-0,0
			0	Q1			+0,0	-1,9	-0,0	-0,2	-0,0	-2,5
			8	Q1			+0,0	-1,7	+0,0	-0,2	-0,0	-2,5
			15	Q1			+0,0	-1,5	+0,0	-0,2	-0,0	-2,5
			0	W2			+0,0	-0,4	-0,0	-0,2	-0,0	-0,4
			8	W2			+0,0	-0,4	-0,0	-0,2	-0,0	-0,4
			15	W2			+0,0	-0,4	+0,0	-0,2	-0,0	-0,4
		10	0	M+	D		+0,0	+0,0	+0,0	+0,0	+0,0	+0,0
			8	M+	D		+0,0	+0,0	+0,0	+0,0	+0,0	+0,0
		102	15	M+	D		+0,0	+0,0	+0,0	+0,0	+0,0	+0,0
		10	0	M-	D		+0,0	-3,2	-0,0	-2,8	-0,0	-4,2
			8	M-	D		+0,0	-2,9	-0,0	-2,8	-0,0	-4,2
		102	15	M-	D		+0,0	-2,6	+0,0	-2,7	-0,0	-4,2
25		17	0	G			+0,0	-0,0	+0,0	-0,5	-0,0	-0,0
			74	G			+0,0	-0,0	+0,0	-0,6	-0,0	-0,0
		41	148	G			+0,0	-0,0	+0,0	-0,7	-0,0	-0,0
			0	Q1			+0,0	-0,1	+0,0	-0,2	+0,0	+0,4
			74	Q1			+0,0	-0,5	-0,0	-0,2	+0,0	+0,4
			148	Q1			+0,0	-0,8	-0,0	-0,2	+0,0	+0,4
			0	W2			+0,0	-0,2	+0,0	-0,1	+0,0	-0,1

BARRA		NN	X(cm)	HIP	Id	Comb.	Mx kNm	My	Mz	Fx kN	Vy	Vz
29	30		74	W2			+0,0	-0,1	-0,0	-0,1	+0,0	-0,2
			148	W2			+0,0	+0,1	-0,0	-0,1	+0,0	-0,2
		17	0	M+	D		+0,0	+0,0	+0,0	+0,0	+0,0	+0,6
			74	M+	D		+0,0	+0,0	+0,0	+0,0	+0,0	+0,6
		41	148	M+	D		+0,0	+0,1	+0,0	+0,0	+0,0	+0,6
		17	0	M-	D		+0,0	-0,5	+0,0	-1,2	-0,0	-0,2
			74	M-	D		+0,0	-0,8	-0,0	-1,3	-0,0	-0,3
		41	148	M-	D		+0,0	-1,2	-0,0	-1,4	-0,0	-0,4
		21	0	G			-0,0	+0,0	-0,0	-1,8	-0,0	+0,0
			8	G			-0,0	+0,0	-0,0	-1,8	-0,0	+0,0
		112	15	G			-0,0	+0,0	+0,0	-1,8	-0,0	+0,0
			0	Q1			+0,0	-0,5	+0,0	+0,2	+0,0	-0,4
			8	Q1			+0,0	-0,5	+0,0	+0,2	+0,0	-0,4
			15	Q1			+0,0	-0,5	-0,0	+0,2	+0,0	-0,4
			0	W2			+0,0	-0,5	+0,0	+0,2	+0,0	-0,5
			8	W2			+0,0	-0,4	+0,0	+0,2	+0,0	-0,5
			15	W2			+0,0	-0,4	-0,0	+0,2	+0,0	-0,5
		21	0	M+	D		+0,0	+0,0	+0,0	+0,0	+0,0	+0,0
			8	M+	D		+0,0	+0,0	+0,0	+0,0	+0,0	+0,0
		112	15	M+	D		+0,0	+0,0	+0,0	+0,0	+0,0	+0,0
		21	0	M-	D		-0,0	-1,3	-0,0	-2,4	-0,0	-1,2
			8	M-	D		-0,0	-1,2	-0,0	-2,4	-0,0	-1,2
		112	15	M-	D		-0,0	-1,1	+0,0	-2,4	-0,0	-1,2
		22	0	G			+0,0	-0,0	-0,0	-1,8	-0,0	-0,0
			8	G			+0,0	-0,0	-0,0	-1,8	-0,0	-0,0
		103	15	G			+0,0	-0,0	+0,0	-1,8	-0,0	-0,0
			0	Q1			+0,0	-1,7	-0,0	-0,2	-0,0	-2,4
			8	Q1			+0,0	-1,6	-0,0	-0,2	-0,0	-2,4
			15	Q1			+0,0	-1,4	+0,0	-0,2	-0,0	-2,4
			0	W2			+0,0	-0,4	-0,0	-0,2	-0,0	-0,4
			8	W2			+0,0	-0,4	-0,0	-0,2	-0,0	-0,4
			15	W2			+0,0	-0,3	+0,0	-0,2	-0,0	-0,4
		22	0	M+	D		+0,0	+0,0	+0,0	+0,0	+0,0	+0,0
			8	M+	D		+0,0	+0,0	+0,0	+0,0	+0,0	+0,0
		103	15	M+	D		+0,0	+0,0	+0,0	+0,0	+0,0	+0,0
		22	0	M-	D		+0,0	-3,0	-0,0	-2,9	-0,0	-3,9
			8	M-	D		+0,0	-2,7	-0,0	-2,9	-0,0	-3,9
		103	15	M-	D		+0,0	-2,4	+0,0	-2,9	-0,0	-3,9
		25	0	G			-0,0	+0,0	-0,0	-1,6	-0,0	+0,0
			8	G			-0,0	+0,0	-0,0	-1,6	-0,0	+0,0
		113	15	G			-0,0	+0,0	+0,0	-1,6	-0,0	+0,0
			0	Q1			+0,0	-0,5	+0,0	+0,2	+0,0	-0,4
			8	Q1			+0,0	-0,5	+0,0	+0,2	+0,0	-0,4
			15	Q1			+0,0	-0,5	-0,0	+0,2	+0,0	-0,4
			0	W2			+0,0	-0,4	+0,0	+0,1	+0,0	-0,5
			8	W2			+0,0	-0,4	+0,0	+0,1	+0,0	-0,5
			15	W2			+0,0	-0,4	-0,0	+0,1	+0,0	-0,5
		25	0	M+	D		+0,0	+0,0	+0,0	+0,0	+0,0	+0,0
			8	M+	D		+0,0	+0,0	+0,0	+0,0	+0,0	+0,0
		113	15	M+	D		+0,0	+0,0	+0,0	+0,0	+0,0	+0,0
		25	0	M-	D		-0,0	-1,2	-0,0	-2,2	-0,0	-1,1
			8	M-	D		-0,0	-1,1	-0,0	-2,2	-0,0	-1,1
		113	15	M-	D		-0,0	-1,1	+0,0	-2,2	-0,0	-1,1

BARRA		NN	X(cm)	HIP	Id	Comb.	Mx kNm	My	Mz	Fx kN	Vy	Vz
37	39		26	0	G		+0,0	-0,0	-0,0	-1,4	-0,0	-0,0
			8	G			+0,0	-0,0	-0,0	-1,4	-0,0	-0,0
		106	15	G			+0,0	-0,0	+0,0	-1,4	-0,0	-0,0
			0	Q1			+0,0	-1,7	-0,0	-0,2	-0,0	-2,4
			8	Q1			+0,0	-1,6	-0,0	-0,2	-0,0	-2,4
			15	Q1			+0,0	-1,4	+0,0	-0,2	-0,0	-2,4
			0	W2			+0,0	-0,4	-0,0	-0,1	-0,0	-0,3
			8	W2			+0,0	-0,3	-0,0	-0,1	-0,0	-0,3
			15	W2			+0,0	-0,3	+0,0	-0,1	-0,0	-0,3
		26	0	M+	D		+0,0	+0,0	+0,0	+0,0	+0,0	+0,0
			8	M+	D		+0,0	+0,0	+0,0	+0,0	+0,0	+0,0
		106	15	M+	D		+0,0	+0,0	+0,0	+0,0	+0,0	+0,0
		26	0	M-	D		+0,0	-3,0	-0,0	-2,4	-0,0	-3,9
			8	M-	D		+0,0	-2,6	-0,0	-2,3	-0,0	-3,9
		106	15	M-	D		+0,0	-2,4	+0,0	-2,3	-0,0	-3,9
		29	0	G			+0,0	+0,0	-0,0	-1,5	-0,0	+0,0
			8	G			+0,0	+0,0	+0,0	-1,5	-0,0	+0,0
		114	15	G			+0,0	+0,0	+0,0	-1,5	-0,0	+0,0
			0	Q1			+0,0</					

BARRA		NN	X(cm)	HIP	Id	Comb.	Mx kNm	My	Mz	Fx kN	Vy	Vz
46	46		148	W2			+0,0	+0,1	-0,0	-0,2	+0,0	-0,3
		18	0	M+	D		+0,0	+0,0	+0,0	+0,0	+0,0	+0,6
			74	M+	D		+0,0	+0,0	+0,0	+0,0	+0,0	+0,6
		42	148	M+	D		+0,0	+0,1	+0,0	+0,0	+0,0	+0,6
		18	0	M-	D		+0,0	-0,5	+0,0	-1,3	-0,0	-0,2
			74	M-	D		+0,0	-0,8	-0,0	-1,4	-0,0	-0,3
		42	148	M-	D		+0,0	-1,2	-0,0	-1,5	-0,0	-0,4
		33	0	G			+0,0	+0,0	+0,0	-1,5	-0,0	+0,0
			8	G			+0,0	+0,0	+0,0	-1,4	-0,0	+0,0
		115	15	G			+0,0	+0,0	+0,0	-1,4	-0,0	+0,0
47	47		0	Q1			+0,0	-0,5	+0,0	+0,2	+0,0	-0,4
			8	Q1			+0,0	-0,5	+0,0	+0,2	+0,0	-0,4
			15	Q1			+0,0	-0,5	+0,0	+0,2	+0,0	-0,4
			0	W2			+0,0	-0,4	-0,0	+0,1	+0,0	-0,5
			8	W2			+0,0	-0,4	-0,0	+0,1	+0,0	-0,5
			15	W2			+0,0	-0,4	-0,0	+0,1	+0,0	-0,5
		33	0	M+	D		+0,0	+0,0	+0,0	+0,0	+0,0	+0,0
			8	M+	D		+0,0	+0,0	+0,0	+0,0	+0,0	+0,0
		115	15	M+	D		+0,0	+0,0	+0,0	+0,0	+0,0	+0,0
		33	0	M-	D		+0,0	-1,2	+0,0	-2,0	-0,0	-1,1
			8	M-	D		+0,0	-1,1	+0,0	-2,0	-0,0	-1,1
		115	15	M-	D		+0,0	-1,1	+0,0	-1,9	-0,0	-1,1
		34	0	G			+0,0	-0,0	-0,0	-1,5	-0,0	-0,0
			8	G			+0,0	-0,0	-0,0	-1,5	-0,0	-0,0
48	48	104	15	G			+0,0	-0,0	+0,0	-1,5	-0,0	-0,0
			0	Q1			+0,0	-1,7	+0,0	-0,2	+0,0	-2,4
			8	Q1			+0,0	-1,6	+0,0	-0,2	+0,0	-2,4
			15	Q1			+0,0	-1,4	+0,0	-0,2	+0,0	-2,4
			0	W2			+0,0	-0,4	+0,0	-0,1	-0,0	-0,3
			8	W2			+0,0	-0,3	+0,0	-0,1	-0,0	-0,3
			15	W2			+0,0	-0,3	+0,0	-0,1	-0,0	-0,3
		34	0	M+	D		+0,0	+0,0	+0,0	+0,0	+0,0	+0,0
			8	M+	D		+0,0	+0,0	+0,0	+0,0	+0,0	+0,0
		104	15	M+	D		+0,0	+0,0	+0,0	+0,0	+0,0	+0,0
		34	0	M-	D		+0,0	-3,0	-0,0	-2,5	-0,0	-3,9
			8	M-	D		+0,0	-2,6	-0,0	-2,5	-0,0	-3,9
		104	15	M-	D		+0,0	-2,4	+0,0	-2,5	-0,0	-3,9
		40	0	G			+0,0	-0,0	-0,0	-0,4	-0,0	-0,0
53	53		74	G			+0,0	-0,0	+0,0	-0,5	-0,0	-0,0
		43	148	G			+0,0	-0,0	+0,0	-0,5	-0,0	-0,0
			0	Q1			+0,0	-0,1	+0,0	-0,1	+0,0	+0,2
			74	Q1			+0,0	-0,2	-0,0	-0,1	+0,0	+0,2
			148	Q1			+0,0	-0,3	-0,0	-0,1	+0,0	+0,3
			0	W2			+0,0	-0,1	+0,0	-0,1	+0,0	-0,0
			74	W2			+0,0	-0,1	-0,0	-0,1	+0,0	-0,1
			148	W2			+0,0	-0,0	-0,0	-0,1	+0,0	-0,1
		40	0	M+	D		+0,0	+0,0	+0,0	+0,0	+0,0	+0,3
			74	M+	D		+0,0	+0,0	+0,0	+0,0	+0,0	+0,3
		43	148	M+	D		+0,0	+0,0	+0,0	+0,0	+0,0	+0,3
		40	0	M-	D		+0,0	-0,2	-0,0	-0,8	-0,0	-0,1
			74	M-	D		+0,0	-0,4	-0,0	-0,9	-0,0	-0,1
		43	148	M-	D		+0,0	-0,5	-0,0	-1,0	-0,0	-0,2
57	57	53	37	0	G		+0,0	+0,0	+0,0	-0,9	+0,0	+0,0

BARRA		NN	X(cm)	HIP	Id	Comb.	Mx kNm	My	Mz	Fx kN	Vy	Vz
54	54		8	G			+0,0	+0,0	+0,0	-0,9	+0,0	+0,0
		116	15	G			+0,0	+0,0	+0,0	-0,9	+0,0	+0,0
			0	Q1			+0,0	-0,3	+0,0	+0,1	-0,0	-0,2
			8	Q1			+0,0	-0,3	+0,0	+0,1	-0,0	-0,2
			15	Q1			+0,0	-0,2	+0,0	+0,1	-0,0	-0,2
			0	W2			+0,0	-0,2	-0,0	+0,1	-0,0	-0,3
			8	W2			+0,0	-0,2	-0,0	+0,1	-0,0	-0,3
			15	W2			+0,0	-0,2	-0,0	+0,0	-0,1	-0,2
		37	0	M+	D		+0,0	+0,0	+0,0	+0,0	+0,0	+0,0
			8	M+	D		+0,0	+0,0	+0,0	+0,0	+0,0	+0,0
55	55	116	15	M+	D		+0,0	+0,0	+0,0	+0,0	+0,0	+0,0
			37	M-	D		+0,0	-0,6	+0,0	-1,2	-0,0	-0,6
			8	M-	D		+0,0	-0,6	+0,0	-1,2	-0,0	-0,6
			116	15	M-	D	+0,0	-0,5	+0,0	-1,2	-0,0	-0,6
			38	0	G		+0,0	-0,0	-0,0	-1,2	-0,0	-0,0
			8	G			+0,0	-0,0	-0,0	-1,2	-0,0	-0,0
			98	15	G		+0,0	-0,0	+0,0	-1,2	-0,0	-0,0
			0</									

BARRA		NN	X(cm)	HIP	Id	Comb.	Mx kNm	My	Mz	Fx kN	Vy	Vz
59	61	39	0	M+	D		+0,0	+0,0	+0,0	+0,0	+0,0	+0,1
			74	M+	D		+0,0	+0,0	+0,0	+0,0	+0,0	+0,0
		46	148	M+	D		+0,0	+0,2	+0,0	+0,0	+0,0	+0,0
		39	0	M-	D		+0,0	-0,3	-0,0	-0,4	-0,0	-0,3
			74	M-	D		+0,0	-0,1	-0,0	-0,5	-0,0	-0,3
		46	148	M-	D		+0,0	+0,0	-0,0	-0,6	-0,0	-0,4
63	69	35	0	G			+0,0	+0,0	+0,0	-0,4	+0,0	+0,0
			74	G			+0,0	+0,0	-0,0	-0,5	+0,0	+0,0
		47	148	G			+0,0	+0,0	-0,0	-0,6	+0,0	+0,0
			0	Q1			+0,0	-0,4	-0,0	+0,2	-0,0	-0,4
		74	Q1				+0,0	-0,1	+0,0	+0,2	-0,0	-0,4
		148	Q1				+0,0	+0,2	+0,0	+0,2	-0,0	-0,4
		0	W2				+0,0	-0,2	-0,0	+0,1	-0,0	+0,1
			74	W2			+0,0	-0,1	+0,0	+0,1	-0,0	-0,1
		148	W2				+0,0	+0,0	+0,0	+0,1	-0,0	-0,3
		35	0	M+	D		+0,0	+0,0	+0,0	+0,1	+0,0	+0,1
			74	M+	D		+0,0	+0,0	+0,0	+0,0	+0,0	+0,0
		47	148	M+	D		+0,0	+0,3	+0,0	+0,0	+0,0	+0,0
		35	0	M-	D		+0,0	-0,7	-0,0	-0,6	-0,0	-0,5
			74	M-	D		+0,0	-0,3	-0,0	-0,7	-0,0	-0,6
		47	148	M-	D		+0,0	+0,0	-0,0	-0,8	-0,0	-0,8
71	71	31	0	G			+0,0	+0,0	+0,0	-0,5	+0,0	+0,0
			74	G			+0,0	+0,0	-0,0	-0,6	+0,0	+0,0
		48	148	G			+0,0	+0,0	-0,0	-0,7	+0,0	+0,0
			0	Q1			+0,0	-0,4	-0,0	+0,2	-0,0	-0,4
		74	Q1				+0,0	-0,1	+0,0	+0,2	-0,0	-0,4
		148	Q1				+0,0	+0,2	+0,0	+0,2	-0,0	-0,4
		0	W2				+0,0	-0,2	-0,0	+0,1	-0,0	+0,1
			74	W2			+0,0	-0,1	+0,0	+0,1	-0,0	-0,1
		148	W2				+0,0	+0,0	+0,0	+0,1	-0,0	-0,3
		31	0	M+	D		+0,0	+0,0	+0,0	+0,0	+0,0	+0,1
			74	M+	D		+0,0	+0,0	+0,0	+0,0	+0,0	+0,0
		48	148	M+	D		+0,0	+0,3	+0,0	+0,0	+0,0	+0,0
		31	0	M-	D		+0,0	-0,7	-0,0	-0,7	-0,0	-0,5
			74	M-	D		+0,0	-0,3	-0,0	-0,8	-0,0	-0,6
		48	148	M-	D		+0,0	+0,0	-0,0	-0,9	-0,0	-0,8

BARRA		NN	X(cm)	HIP	Id	Comb.	Mx kNm	My	Mz	Fx kN	Vy	Vz
65	67	49	148	M-	D		-0,0	+0,0	-0,0	-1,0	-0,0	-0,8
			23	0	G		+0,0	+0,0	-0,0	-0,7	+0,0	+0,0
		50	148	G			+0,0	+0,0	-0,0	-0,8	+0,0	+0,0
			0	Q1			-0,0	-0,4	-0,0	+0,2	-0,0	-0,4
		74	Q1				-0,0	-0,1	+0,0	+0,2	-0,0	-0,4
		148	Q1				-0,0	+0,2	+0,0	+0,2	-0,0	-0,4
		0	W2				-0,0	-0,2	-0,0	+0,2	-0,0	+0,0
			74	W2			+0,0	-0,1	+0,0	+0,2	-0,0	-0,2
		148	W2				+0,0	+0,0	+0,0	+0,2	-0,0	-0,3
		23	0	M+	D		+0,0	+0,0	+0,0	+0,0	+0,0	+0,1
			74	M+	D		+0,0	+0,0	+0,0	+0,0	+0,0	+0,0
		50	148	M+	D		+0,0	+0,3	+0,0	+0,0	+0,0	+0,0
		23	0	M-	D		-0,0	-0,7	-0,0	-1,0	-0,0	-0,5
			74	M-	D		-0,0	-0,3	-0,0	-1,1	-0,0	-0,7
		50	148	M-	D		-0,0	+0,0	-0,0	-1,2	-0,0	-0,9
69	71	15	0	G			+0,0	+0,0	-0,0	-0,7	+0,0	+0,0
			74	G			+0,0	+0,0	-0,0	-0,7	+0,0	+0,0
		51	148	G			+0,0	+0,0	-0,0	-0,8	+0,0	+0,0
			0	Q1			+0,0	-0,4	-0,0	+0,2	-0,0	-0,4
		74	Q1				+0,0	-0,1	+0,0	+0,2	-0,0	-0,4
		148	Q1				+0,0	+0,2	+0,0	+0,2	-0,0	-0,4
		0	W2				+0,0	-0,2	-0,0	+0,1	-0,0	+0,1
			74	W2			+0,0	-0,1	+0,0	+0,1	-0,0	-0,1
		148	W2				+0,0	+0,0	+0,0	+0,2	-0,0	-0,3
		14	0	M+	D		+0,0	+0,0	+0,0	+0,0	+0,0	+0,2
			74	M+	D		+0,0	+0,0	+0,0	+0,0	+0,0	+0,0
		52	148	M+	D		+0,0	+0,3	+0,0	+0,0	+0,0	+0,0
		14	0	M-	D		+0,0	-0,7	-0,0	-0,9	-0,0	-0,6
			74	M-	D		+0,0	-0,3	-0,0	-1,0	-0,0	-0,7
		52	148	M-	D		+0,0	+0,0	+0,0	-1,1	-0,0	-0,9
71	71	13	0	G			+0,0	+0,0	-0,0	-0,6	-0,0	+0,0
			74	G			+0,0	+0,0	+0,0	-0,7	-0,0	+0,0
		53	148	G			+0,0	+0,0	+0,0	-0,7	-0	

BARRA		NN	X(cm)	HIP	Id	Comb.	Mx kNm	My	Mz	Fx kN	Vy	Vz
73	73		74	W2			+0,0	-0,2	+0,0	+0,2	-0,0	-0,1
			148	W2			+0,0	+0,0	+0,0	+0,2	-0,0	-0,3
		13	0	M+	D		+0,0	+0,0	+0,0	+0,0	+0,0	+0,1
			74	M+	D		+0,0	+0,0	+0,0	+0,0	+0,0	+0,0
		53	148	M+	D		+0,0	+0,3	+0,0	+0,0	+0,0	+0,0
		13	0	M-	D		+0,0	-0,8	-0,0	-0,8	-0,0	-0,6
			74	M-	D		+0,0	-0,3	+0,0	-0,9	-0,0	-0,7
		53	148	M-	D		+0,0	+0,0	+0,0	-1,0	-0,0	-0,9
		12	0	G			+0,0	+0,0	-0,0	-0,5	-0,0	+0,0
			74	G			+0,0	+0,0	+0,0	-0,6	-0,0	+0,0
75	75		54	148	G		+0,0	+0,0	+0,0	-0,7	-0,0	+0,0
			0	Q1			+0,0	-0,4	-0,0	+0,2	-0,0	-0,4
			74	Q1			+0,0	-0,1	+0,0	+0,2	-0,0	-0,4
			148	Q1			+0,0	+0,2	+0,0	+0,2	-0,0	-0,4
			0	W2			+0,0	-0,2	-0,0	+0,1	-0,0	+0,1
			74	W2			+0,0	-0,1	+0,0	+0,1	-0,0	-0,1
			148	W2			+0,0	+0,0	+0,0	+0,1	-0,0	-0,3
		12	0	M+	D		+0,0	+0,0	+0,0	+0,1	+0,0	+0,2
			74	M+	D		+0,0	+0,0	+0,0	+0,0	+0,0	+0,0
		54	148	M+	D		+0,0	+0,3	+0,0	+0,0	+0,0	+0,0
77	77		12	0	M-	D	+0,0	-0,7	-0,0	-0,7	-0,0	-0,6
			74	M-	D		+0,0	-0,3	+0,0	-0,8	-0,0	-0,7
			54	148	M-	D	+0,0	+0,0	+0,0	-0,9	-0,0	-0,9
			19	0	G		+0,0	-0,0	+0,0	-0,7	-0,0	-0,0
			74	G			+0,0	-0,0	+0,0	-0,8	-0,0	-0,0
			55	148	G		+0,0	-0,0	+0,0	-0,8	-0,0	-0,0
			0	Q1			+0,0	-0,1	+0,0	-0,2	+0,0	+0,4
			74	Q1			+0,0	-0,5	-0,0	-0,2	+0,0	+0,4
			148	Q1			+0,0	-0,8	-0,0	-0,2	+0,0	+0,4
			0	W2			+0,0	-0,2	+0,0	-0,1	+0,0	-0,1
81	81		74	W2			+0,0	-0,1	-0,0	-0,1	+0,0	-0,2
			148	W2			+0,0	+0,0	+0,0	+0,1	-0,0	-0,2
		24	0	M+	D		+0,0	+0,0	+0,0	+0,0	+0,0	+0,5
			74	M+	D		+0,0	+0,0	+0,0	+0,0	+0,0	+0,5
		57	148	M+	D		+0,0	+0,1	+0,0	+0,0	+0,0	+0,5
		24	0	M-	D		-0,0	-0,5	+0,0	-1,5	+0,0	-0,2
			74	M-	D		-0,0	-0,7	-0,0	-1,6	+0,0	-0,3
		57	148	M-	D		-0,0	-1,0	-0,0	-1,7	+0,0	-0,4
		28	0	G			-0,0	-0,0	-0,0	-0,5	+0,0	-0,0
			74	G			-0,0	-0,0	-0,0	-0,6	+0,0	-0,0
83	83		58	148	G		-0,0	-0,0	-0,0	-0,7	+0,0	-0,0
			0	Q1			-0,0	-0,1	+0,0	-0,2	+0,0	+0,4
			74	Q1			-0,0	-0,4	-0,0	-0,2	+0,0	+0,4
			148	Q1			-0,0	-0,7	-0,0	-0,2	+0,0	+0,4
			0	W2			-0,0	-0,2	+0,0	-0,1	+0,0	-0,1
			74	W2			-0,0	-0,1	-0,0	-0,1	+0,0	-0,2
			148	W2			-0,0	+0,1	-0,0	-0,1	+0,0	-0,2
		28	0	M+	D		+0,0	+0,0	+0,0	+0,0	+0,0	+0,5
			74	M+	D		+0,0	+0,0	+0,0	+0,0	+0,0	+0,5
		58	148	M+	D		+0,0	+0,1	+0,0	+0,0	+0,0	+0,5
85	85		28	0	M-	D	-0,0	-0,5	-0,0	-1,1	+0,0	-0,2
			74	M-	D		-0,0	-0,7	-0,0	-1,2	+0,0	-0,3
			58	148	M-	D	-0,0	-1,0	-0,0	-1,3	+0,0	-0,4
			32	0	G		+0,0	-0,0	-0,0	-0,6	+0,0	-0,0
			74	G			+0,0	-0,0	-0,0	-0,7	+0,0	-0,0
			59	148	G		+0,0	-0,0	-0,0	-0,8	+0,0	-0,0
			0	Q1			+0,0	-0,1	+0,0	-0,2	+0,0	+0,4
			74	Q1			+0,0	-0,4	-0,0	-0,2	+0,0	+0,4
			148	Q1			+0,0	-0,7	-0,0	-0,2	+0,0	+0,4
			0	W2			+0,0	-0,2	+0,0	-0,1	+0,0	-0,1
77	77		74	W2			+0,0	-0,1	-0,0	-0,2	+0,0	-0,2
			148	W2			+0,0	+0,1	-0,0	-0,2	+0,0	-0,3
		20	0	M+	D		+0,0	-0,0	+0,0	-0,7	+0,0	-0,0
			74	G			+0,0	-0,0	-0,0	-0,7	+0,0	-0,0
		56	148	G			+0,0	-0,0	-0,0	-0,8	+0,0	-0,0
		0	Q1				+0,0	-0,1	+0,0	-0,2	+0,0	+0,4
			74	Q1			+0,0	-0,4	-0,0	-0,2	+0,0	+0,4
			148	Q1			+0,0	-0,7	-0,0	-0,2	+0,0	+0,4
			0	W2			+0,0	-0,2	+0,0	-0,2	+0,0	-0,1
			74	W2			+0,0	-0,1	-0,0	-0,2	+0,0	-0,2
20	20		148	W2			+0,0	+0,1	-0,0	-0,2	+0,0	-0,3
			20	0	M+	D	+0,0	+0,0	+0,0	+0,0	+0,0	+0,6
			74	M+	D		+0,0	+0,0	+0,0	+0,0	+0,0	+0,6
			56	148	M+	D	+0,0	+0,1	+0,0	+0,0	+0,0	+0,6
			20	0	M-</							

BARRA		NN	X(cm)	HIP	Id	Comb.	Mx kNm	My	Mz	Fx kN	Vy	Vz
91	91		148	W2			+0,0	+0,1	-0,0	-0,1	+0,0	-0,2
		36	0	M+	D		+0,0	+0,0	+0,0	+0,0	+0,0	+0,5
			74	M+	D		+0,0	+0,0	+0,0	+0,0	+0,0	+0,5
		60	148	M+	D		+0,0	+0,1	+0,0	+0,0	+0,0	+0,5
		36	0	M-	D		+0,0	-0,5	-0,0	-1,2	-0,0	-0,2
			74	M-	D		+0,0	-0,7	-0,0	-1,2	-0,0	-0,3
		60	148	M-	D		+0,0	-1,0	-0,0	-1,3	-0,0	-0,4
		62	0	G			+0,0	-0,0	+0,0	-0,6	-0,0	-0,0
			74	G			+0,0	-0,0	+0,0	-0,7	-0,0	-0,0
		63	148	G			+0,0	+0,0	+0,0	-0,7	-0,0	-0,0
97	97		0	W2			+0,0	-0,1	+0,0	-0,1	+0,0	-0,1
			74	W2			+0,0	+0,0	-0,0	-0,1	+0,0	-0,2
			148	W2			+0,0	+0,2	-0,0	-0,1	+0,0	-0,3
		62	0	M+	D		+0,0	+0,0	+0,0	+0,0	+0,0	+0,0
			74	M+	D		+0,0	+0,0	+0,0	+0,0	+0,0	+0,0
		63	148	M+	D		+0,0	+0,3	+0,0	+0,0	+0,0	+0,0
		62	0	M-	D		+0,0	-0,2	+0,0	-1,0	-0,0	-0,3
			74	M-	D		+0,0	-0,0	-0,0	-1,0	-0,0	-0,4
		63	148	M-	D		+0,0	+0,0	-0,0	-1,1	-0,0	-0,4
		66	0	G			+0,0	-0,0	+0,0	-0,6	-0,0	-0,0
98	98		74	G			+0,0	-0,0	+0,0	-0,7	-0,0	-0,0
		67	148	G			+0,0	+0,0	+0,0	-0,7	-0,0	-0,0
			0	W2			+0,0	-0,1	+0,0	-0,1	+0,0	-0,1
			74	W2			+0,0	+0,0	-0,0	-0,1	+0,0	-0,1
			148	W2			+0,0	+0,1	-0,0	-0,1	+0,0	-0,1
		66	0	M+	D		+0,0	+0,0	+0,0	+0,0	+0,0	+0,0
			74	M+	D		+0,0	+0,0	+0,0	+0,0	+0,0	+0,0
		67	148	M+	D		+0,0	+0,2	+0,0	+0,0	+0,0	+0,0
		66	0	M-	D		+0,0	-0,1	+0,0	-0,9	-0,0	-0,2
			74	M-	D		+0,0	-0,0	-0,0	-1,0	-0,0	-0,2
99	99		67	148	M-	D	+0,0	+0,0	-0,0	-1,1	-0,0	-0,3
		11	0	G			+0,0	+0,0	-0,0	-0,5	-0,0	+0,0
			74	G			+0,0	+0,0	+0,0	-0,6	-0,0	+0,0
		45	148	G			+0,0	+0,0	+0,0	-0,7	-0,0	+0,0
			0	Q1			+0,0	-0,2	-0,0	+0,1	-0,0	-0,2
			74	Q1			+0,0	-0,1	+0,0	+0,1	-0,0	-0,2
			148	Q1			+0,0	+0,1	+0,0	+0,1	-0,0	-0,2
		0	W2				+0,0	-0,2	-0,0	+0,2	-0,0	-0,0
			74	W2			+0,0	-0,1	+0,0	+0,2	-0,0	-0,2
			148	W2			+0,0	+0,1	+0,0	+0,2	-0,0	-0,4
106	106		11	0	M+	D	+0,0	+0,0	+0,0	+0,0	+0,0	+0,0
			74	M+	D		+0,0	+0,0	+0,0	+0,0	+0,0	+0,0
		45	148	M+	D		+0,0	+0,2	+0,0	+0,0	+0,0	+0,0
		11	0	M-	D		+0,0	-0,5	-0,0	-0,7	-0,0	-0,3
			74	M-	D		+0,0	-0,3	+0,0	-0,8	-0,0	-0,5
		45	148	M-	D		+0,0	+0,0	+0,0	-0,9	-0,0	-0,7
		61	0	G			+0,0	+0,0	-0,0	-0,6	-0,0	+0,0
			74	G			+0,0	+0,0	+0,0	-0,7	-0,0	+0,0
		64	148	G			+0,0	-0,0	+0,0	-0,7	-0,0	+0,0
			0	W2			+0,0	-0,1	-0,0	+0,1	-0,0	-0,1
107	107			74	W2		+0,0	+0,0	+0,0	-0,1	-0,0	+0,0
			148	W2			+0,0	+0,1	-0,0	+0,0	-0,0	-0,1
		71	0	M+	D		+0,0	+0,0	+0,0	+0,0	+0,0	+0,0
			74	M+	D		+0,0	+0,0	+0,0	+0,0	+0,0	+0,0
		72	148	M+	D		+0,0	+0,1	+0,0	+0,0	+0,0	+0,0
		71	0	M-	D		+0,0	-0,0	-0,0	-0,2	-0,0	-0,0
			74	M-	D		+0,0	+0,0	-0,0	-0,3	-0,0	-0,1
		72	148	M-	D		+0,0	+0,0	-0,0	-0,4	-0,0	-0,1
		66	0	G			+0,0	+0,0	+0,0	-0,1	+0,0	+0,0
			50	G			+0,0	+0,0	+0,0	-0,0	+0,0	+0,0
108	108		73	100	G		+0,0	-0,0	+0,0	+0,0	+0,0	+0,0
			0	W2			+0,0	-0,0	-0,0	+0,0	+0,0	-0,0
			50	W2			+0,0	+0,0	-0,0	+0,0	+0,0	+0,0
			100	W2			+0,0	+0,0	+0,0	+0,0	+0,0	+0,0
		66	0	M+	D		+0,0	+0,0	+0,0	+0,0	+0,0	+0,0
			50	M+	D		+0,0	+0,0	+0,0	+0,0	+0,0	+0,0
		73	100	M+	D		+0,0	+0,0	+0,0	+0,0	+0,0	+0,0
		66	0	M-	D		+0,0	-0,0	-0,0	-0,1	+0,0	-0,0
			50	M-	D		+0,0	-0,0	-0,0	-0,1	+0,0	-0,0
		73	100	M-	D		+0,0	-0,0	-0,0	-0,0	+0,0	-0,0

BARRA		NN	X(cm)	HIP	Id	Comb.	Mx kNm	My	Mz	Fx kN	Vy	Vz
108		65	0	G			+0,0	-0,0	+0,0	-0,1	-0,0	+0,0
			50	G			+0,0	-0,0	+0,0	-0,0	-0,0	+0,0
		74	100	G			+0,0	+0,0	+0,0	+0,0	-0,0	+0,0
			0	W2			+0,0	-0,0	+0,0	+0,0	+0,0	-0,1
			50	W2			+0,0	-0,0	+0,0	+0,0	+0,0	-0,0
			100	W2			+0,0	+0,0	+0,0	+0,0	+0,0	+0,0
		65	0	M+	D		+0,0	+0,0	+0,0	+0,0	+0,0	+0,0
			50	M+	D		+0,0	+0,0	+0,0	+0,0	+0,0	+0,0
		74	100	M+	D		+0,0	+0,0	+0,0	+0,0	+0,0	+0,0
		65	0	M-	D		+0,0	-0,1	+0,0	-0,1	-0,0	-0,1
109			50	M-	D		+0,0	-0,0	+0,0	-0,1	-0,0	-0,1
		74	100	M-	D		+0,0	-0,0	-0,0	-0,0	-0,0	-0,0
			62	0	G		+0,0	+0,0	+0,0	-0,0	-0,0	-0,0
			26	G			+0,0	+0,0	+0,0	-0,0	-0,0	-0,0
		75	52	G			+0,0	+0,0	+0,0	+0,0	-0,0	-0,0
			0	W2			+0,0	-0,0	+0,0	+0,0	-0,0	-0,0
			26	W2			+0,0	-0,0	+0,0	+0,0	-0,0	-0,0
			52	W2			+0,0	-0,0	+0,0	+0,0	-0,0	-0,0
		62	0	M+	D		+0,0	+0,0	+0,0	+0,0	+0,0	+0,0
			26	M+	D		+0,0	+0,0	+0,0	+0,0	+0,0	+0,0
110		75	52	M+	D		+0,0	+0,0	+0,0	+0,0	+0,0	+0,0
		62	0	M-	D		+0,0	-0,0	-0,0	-0,1	-0,0	-0,0
			26	M-	D		+0,0	-0,0	-0,0	-0,0	-0,0	-0,0
		75	52	M-	D		+0,0	-0,0	-0,0	-0,0	-0,0	-0,0
			61	0	G		+0,0	-0,0	+0,0	-0,0	+0,0	+0,0
			26	G			+0,0	-0,0	+0,0	-0,0	+0,0	+0,0
		76	52	G			+0,0	+0,0	+0,0	+0,0	+0,0	+0,0
			0	W2			+0,0	-0,0	+0,0	+0,0	-0,1	-0,1
			26	W2			+0,0	-0,0	+0,0	+0,0	-0,0	-0,1
			52	W2			+0,0	-0,0	+0,0	+0,0	-0,0	-0,0
111		61	0	M+	D		+0,0	+0,0	+0,0	+0,0	+0,0	+0,0
			26	M+	D		+0,0	+0,0	+0,0	+0,0	+0,0	+0,0
		76	52	M+	D		+0,0	+0,0	+0,0	+0,0	+0,0	+0,0
		61	0	M-	D		-0,0	-0,0	-0,0	-0,1	-0,0	-0,1
			26	M-	D		-0,0	-0,0	-0,0	-0,0	-0,0	-0,1
		76	52	M-	D		-0,0	-0,0	-0,0	-0,0	-0,0	-0,0
			16	0	G		+0,0	+0,0	-0,0	-0,0	-0,0	-0,0
			10	G			+0,0	+0,0	-0,0	-0,0	-0,0	-0,0
		77	20	G			+0,0	+0,0	+0,0	+0,0	-0,0	-0,0
		16	0	M+	D		+0,0	+0,0	+0,0	+0,0	+0,0	+0,0
112			10	M+	D		+0,0	+0,0	+0,0	+0,0	+0,0	+0,0
		77	20	M+	D		+0,0	+0,0	+0,0	+0,0	+0,0	+0,0
		16	0	M-	D		+0,0	-0,0	-0,0	-0,0	-0,0	-0,0
			10	M-	D		+0,0	-0,0	-0,0	-0,0	-0,0	-0,0
		77	20	M-	D		+0,0	-0,0	-0,0	-0,0	-0,0	-0,0
			11	0	G		+0,0	-0,0	+0,0	-0,0	+0,0	+0,0
			10	G			+0,0	-0,0	+0,0	-0,0	+0,0	+0,0
		78	20	G			+0,0	-0,0	+0,0	+0,0	+0,0	+0,0
		11	0	M+	D		+0,0	+0,0	+0,0	+0,0	+0,0	+0,0
			10	M+	D		+0,0	+0,0	+0,0	+0,0	+0,0	+0,0
113		78	20	M+	D		+0,0	+0,0	+0,0	+0,0	+0,0	+0,0
		11	0	M-	D		-0,0	-0,0	-0,0	-0,0	-0,0	-0,0
			10	M-	D		-0,0	-0,0	-0,0	-0,0	-0,0	-0,0
		78	20	M-	D		-0,0	-0,0	-0,0	-0,0	-0,0	-0,0
		11	0	M-	D		-0,0	-0,0	-0,0	-0,0	-0,0	-0,0
			10	M-	D		-0,0	-0,0	-0,0	-0,0	-0,0	-0,0
		15	0	G			+0,0	+0,0	+0,0	-0,0	+0,0	-0,0
			26	G			+0,0	+0,0	+0,0	-0,0	+0,0	-0,0
		84	51	G			+0,0	+0,0	+0,0	-0,0	+0,0	-0,0
		0	W2				+0,0	-0,0	+0,0	+0,0	+0,0	-0,1
114		79	15	G			+0,0	-0,0	+0,0	+0,0	+0,0	+0,0
		18	0	M+	D		+0,0	+0,0	+0,0	+0,0	+0,0	+0,0
			8	M+	D		+0,0	+0,0	+0,0	+0,0	+0,0	+0,0
		79	15	M+	D		+0,0	+0,0	+0,0	+0,0	+0,0	+0,0
		18	0	M-	D		+0,0	+0,0	+0,0	+0,0	+0,0	+0,0
			8	M-	D		+0,0	+0,0	+0,0	+0,0	+0,0	+0,0
		79	15	M-	D		+0,0	+0,0	+0,0	+0,0	+0,0	+0,0
		13	0	G			+0,0	-0,0	+0,0	+0,0	+0,0	+0,0
			8	G			+0,0	-0,0	+0,0	+0,0	+0,0	+0,0
		80	15	G			+0,0	-0,0	+0,0	+0,0	+0,0	+0,0
115		13	0	M+	D		+0,0	+0,0	+0,0	+0,0	+0,0	+0,0
			8	M+	D		+0,0	+0,0	+0,0	+0,0	+0,0	+0,0
		80	15	M+	D		+0,0	+0,0	+0,0	+0,0	+0,0	+0,0
		13	0	M-	D		+0,0	-0,0	+0,0	+0,0	+0,0	+0,0
			8	M-	D		+0,0	-0,0	+0,0			

BARRA		NN	X(cm)	HIP	Id	Comb.	Mx kNm	My	Mz	Fx kN	Vy	Vz
119	119	26	W2				+0,0	-0,0	-0,0	+0,0	+0,0	-0,1
		51	W2				+0,0	+0,0	+0,0	+0,0	+0,0	+0,0
		15	0	M+	D		+0,0	+0,0	+0,0	+0,0	+0,0	+0,0
		26	M+	D			+0,0	+0,0	+0,0	+0,0	+0,0	+0,0
		84	51	M+	D		+0,0	+0,0	+0,0	+0,0	+0,0	+0,0
		15	0	M-	D		+0,0	-0,1	-0,0	-0,1	-0,0	-0,1
		26	M-	D			+0,0	-0,0	-0,0	-0,0	-0,0	-0,1
		84	51	M-	D		+0,0	-0,0	-0,0	-0,0	-0,0	-0,0
		24	0	G			+0,0	-0,0	-0,0	-0,0	+0,0	+0,0
		26	G				+0,0	-0,0	-0,0	+0,0	+0,0	+0,0
		85	51	G			+0,0	-0,0	-0,0	+0,0	+0,0	+0,0
		0	W2				+0,0	-0,0	+0,0	+0,0	+0,0	-0,0
		26	W2				+0,0	-0,0	+0,0	+0,0	+0,0	-0,0
		51	W2				+0,0	-0,0	+0,0	+0,0	+0,0	+0,0
		24	0	M+	D		+0,0	+0,0	+0,0	+0,0	+0,0	+0,0
		26	M+	D			+0,0	+0,0	+0,0	+0,0	+0,0	+0,0
		85	51	M+	D		+0,0	+0,0	+0,0	+0,0	+0,0	+0,0
		24	0	M-	D		+0,0	-0,0	-0,0	-0,1	-0,0	-0,1
		26	M-	D			+0,0	-0,0	-0,0	-0,0	-0,0	-0,1
		85	51	M-	D		+0,0	-0,0	-0,0	-0,0	-0,0	-0,0

BARRA		NN	X(cm)	HIP	Id	Comb.	Mx kNm	My	Mz	Fx kN	Vy	Vz
123	123	32	0	G			+0,0	+0,0	-0,0	-0,0	-0,0	+0,0
		8	G				+0,0	+0,0	-0,0	-0,0	-0,0	+0,0
		89	15	G			+0,0	+0,0	+0,0	-0,0	-0,0	+0,0
		32	0	M+	D		+0,0	+0,0	+0,0	+0,0	+0,0	+0,0
		8	M+	D			+0,0	+0,0	+0,0	+0,0	+0,0	+0,0
		89	15	M+	D		+0,0	+0,0	+0,0	+0,0	+0,0	+0,0
		32	0	M-	D		+0,0	-0,0	-0,0	-0,0	-0,0	-0,0
		8	M-	D			+0,0	-0,0	-0,0	-0,0	-0,0	-0,0
		89	15	M-	D		+0,0	-0,0	-0,0	-0,0	-0,0	-0,0
		31	0	G			+0,0	+0,0	-0,0	-0,0	-0,0	+0,0
		8	G				+0,0	-0,0	-0,0	-0,0	-0,0	+0,0
		90	15	G			+0,0	-0,0	-0,0	+0,0	-0,0	+0,0
		31	0	M+	D		+0,0	+0,0	+0,0	+0,0	+0,0	+0,0
		8	M+	D			+0,0	+0,0	+0,0	+0,0	+0,0	+0,0
		90	15	M+	D		+0,0	+0,0	+0,0	+0,0	+0,0	+0,0
		31	0	M-	D		+0,0	-0,0	-0,0	-0,0	+0,0	-0,0
		8	M-	D			+0,0	-0,0	-0,0	-0,0	+0,0	-0,0
		90	15	M-	D		+0,0	-0,0	-0,0	-0,0	+0,0	-0,0
		36	0	G			+0,0	-0,0	-0,0	-0,0	-0,0	+0,0
		4	G				+0,0	-0,0	-0,0	-0,0	-0,0	+0,0
		91	8	G			+0,0	-0,0	+0,0	+0,0	-0,0	+0,0
		36	0	M+	D		+0,0	+0,0	+0,0	+0,0	+0,0	+0,0
		4	M+	D			+0,0	+0,0	+0,0	+0,0	+0,0	+0,0
		91	8	M+	D		+0,0	+0,0	+0,0	+0,0	+0,0	+0,0
		36	0	M-	D		+0,0	-0,0	-0,0	-0,0	-0,0	-0,0
		4	M-	D			+0,0	-0,0	-0,0	-0,0	-0,0	-0,0
		91	8	M-	D		+0,0	-0,0	-0,0	-0,0	-0,0	-0,0
		35	0	G			+0,0	+0,0	-0,0	-0,0	+0,0	-0,0
		4	G				+0,0	+0,0	-0,0	-0,0	+0,0	-0,0
		92	8	G			+0,0	+0,0	-0,0	+0,0	+0,0	-0,0
		35	0	M+	D		+0,0	+0,0	+0,0	+0,0	+0,0	+0,0
		4	M+	D			+0,0	+0,0	+0,0	+0,0	+0,0	+0,0
		92	8	M+	D		+0,0	+0,0	+0,0	+0,0	+0,0	+0,0
		35	0	M-	D		+0,0	-0,0	-0,0	-0,0	-0,0	-0,0
		4	M-	D			+0,0	-0,0	-0,0	-0,0	-0,0	-0,0
		92	8	M-	D		+0,0	-0,0	-0,0	-0,0	-0,0	-0,0
		40	0	G			+0,0	+0,0	+0,0	-0,0	+0,0	+0,0
		4	G				+0,0	+0,0	-0,0	-0,0	+0,0	+0,0
		93	8	G			+0,0	-0,0	-0,0	+0,0	+0,0	+0,0
		40	0	M+	D		+0,0	+0,0	+0,0	+0,0	+0,0	+0,0
		4	M+	D			+0,0	+0,0	+0,0	+0,0	+0,0	+0,0
		93	8	M+	D		+0,0	+0,0	+0,0	+0,0	+0,0	+0,0
		40	0	M-	D		+0,0	-0,0	-0,0	-0,0	-0,0	-0,0
		4	M-	D			+0,0	-0,0	-0,0	-0,0	-0,0	-0,0
		93	8	M-	D		+0,0	-0,0	-0,0	-0,0	-0,0	-0,0
		39	0	G			+0,0	+0,0	-0,0	-0,0	+0,0	+0,0
		4	G				+0,0	+0,0	-0,0	-0,0	+0,0	+0,0
		94	8	G			+0,0	+0,0	+0,0	+0,0	+0,0	+0,0
		39	0	M+	D		+0,0	+0,0	+0,0	+0,0	+0,0	+0,0
		4	M+	D			+0,0	+0,0	+0,0	+0,0	+0,0	+0,0
		94	8	M-	D		+0,0	+0,0	+0,0	+0,0	+0,0	+0,0
		39	0	M-	D		+0,0					

BARRA		NN	X(cm)	HIP	Id	Comb.	Mx kNm	My	Mz	Fx kN	Vy	Vz
129		94	8	M-	D		+0,0	-0,0	-0,0	-0,0	-0,0	
		69	0	G			+0,0	+0,0	+0,0	-0,0	+0,0	
		9	G				+0,0	+0,0	+0,0	-0,0	+0,0	
		95	17	G			+0,0	+0,0	+0,0	+0,0	+0,0	
		69	0	M+	D		+0,0	+0,0	+0,0	+0,0	+0,0	
		9	M+	D			+0,0	+0,0	+0,0	+0,0	+0,0	
		95	17	M+	D		+0,0	+0,0	+0,0	+0,0	+0,0	
		69	0	M-	D		+0,0	-0,0	-0,0	-0,0	+0,0	
		9	M-	D			+0,0	+0,0	-0,0	-0,0	+0,0	
		95	17	M-	D		+0,0	+0,0	-0,0	+0,0	+0,0	
130		71	0	G			+0,0	+0,0	+0,0	-0,0	+0,0	
		17	G				+0,0	+0,0	-0,0	-0,0	+0,0	
		96	34	G			+0,0	+0,0	-0,0	+0,0	+0,0	
		71	0	M+	D		+0,0	+0,0	+0,0	+0,0	+0,0	
		17	M+	D			+0,0	+0,0	+0,0	+0,0	+0,0	
		96	34	M+	D		+0,0	+0,0	+0,0	+0,0	+0,0	
		71	0	M-	D		+0,0	-0,0	-0,0	-0,0	+0,0	
		17	M-	D			+0,0	-0,0	-0,0	-0,0	+0,0	
		96	34	M-	D		+0,0	-0,0	-0,0	-0,0	+0,0	
131		44	0	G			+0,0	-0,0	+0,0	-1,2	+0,0	-0,0
		44	G				+0,0	+0,0	+0,0	-1,2	+0,0	-0,0
		97	87	G			+0,0	+0,0	-0,0	-1,3	+0,0	-0,0
		0	Q1				+0,0	-0,4	-0,0	-0,1	-0,0	-1,4
		44	Q1				+0,0	+0,2	-0,0	-0,1	-0,0	-1,4
		87	Q1				+0,0	+0,8	+0,0	-0,1	-0,0	-1,4
		0	W2				+0,0	+0,1	-0,0	-0,2	-0,0	-0,3
		44	W2				+0,0	+0,2	-0,0	-0,2	-0,0	-0,3
		87	W2				+0,0	+0,4	+0,0	-0,0	-0,0	-0,4
		44	M+	D			+0,0	+0,1	+0,0	+0,0	+0,0	+0,0
		100	87	M+	D		+0,0	+0,8	+0,0	+0,0	+0,0	+0,0
		42	0	M-	D		+0,0	-1,2	-0,0	-2,3	-0,0	-4,4
		44	M-	D			+0,0	+0,0	-0,0	-2,4	-0,0	-4,4
		100	87	M-	D		+0,0	+0,0	+0,0	-2,4	-0,0	-4,5
		55	0	G			+0,0	-0,0	+0,0	-1,4	-0,0	-0,0
133		44	G				+0,0	+0,0	+0,0	-1,4	-0,0	-0,0
		98	87	G			+0,0	+0,0	+0,0	-1,0	+0,0	-0,0
		0	Q1				+0,0	-0,3	-0,0	-0,1	-0,0	-1,2
		44	Q1				+0,0	+0,2	-0,0	-0,1	-0,0	-1,2
		87	Q1				+0,0	+0,7	+0,0	-0,1	-0,0	-1,2
		0	W2				+0,0	+0,0	-0,0	-0,1	-0,0	-0,1
		44	W2				+0,0	+0,1	-0,0	-0,1	-0,0	-0,2
		87	W2				+0,0	+0,2	-0,0	-0,1	-0,0	-0,2
		43	0	M+	D		+0,0	+0,0	+0,0	-0,9	+0,0	-0,0
		44	M+	D			+0,0	+0,0	+0,0	-1,0	+0,0	-0,0
		98	87	M+	D		+0,0	+0,0	+0,0	-1,0	+0,0	-0,0
		43	0	M-	D		+0,0	-0,5	-0,0	-1,5	-0,0	-1,9
		44	M-	D			+0,0	+0,0	-0,0	-1,5	-0,0	-1,9
		98	87	M-	D		+0,0	+0,0	+0,0	-1,6	-0,0	-2,0
135		41	0	G			+0,0	-0,0	+0,0	-1,2	+0,0	-0,0
		44	G				+0,0	+0,0	+0,0	-1,3	-0,0	-0,0
		99	87	G			+0,0	+0,0	+0,0	-1,3	+0,0	-0,0
		0	Q1				+0,0	-0,8	-0,0	-0,2	-0,0	-2,7

BARRA		NN	X(cm)	HIP	Id	Comb.	Mx kNm	My	Mz	Fx kN	Vy	Vz
137		44	Q1				+0,0	+0,4	-0,0	-0,2	-0,0	-2,7
		87	Q1				+0,0	+1,6	+0,0	-0,2	-0,0	-2,7
		0	W2				+0,0	+0,1	-0,0	-0,1	-0,0	-0,2
		44	W2				+0,0	+0,2	-0,0	-0,1	-0,0	-0,3
		87	W2				+0,0	+0,3	+0,0	-0,2	-0,0	-0,4
		41	0	M+	D		+0,0	+0,1	+0,0	+0,0	+0,0	+0,0
		44	M+	D			+0,0	+0,8	+0,0	+0,0	+0,0	+0,0
		100	87	M+	D		+0,0	+2,7	+0,0	+0,0	+0,0	+0,0
		42	0	M-	D		+0,0	-1,2	-0,0	-2,3	-0,0	-4,4
139		44	M-	D			+0,0	+0,0	-0,0	-2,4	-0,0	-4,4
		100	87	M-	D		+0,0	+0,0	+0,0	-2,4	-0,0	-4,5
		55	0	G			+0,0	-0,0	+0,0	-1,4	-0,0	-0,0
		44	G				+0,0	+0,0	+0,0	-1,4	-0,0	-0,0
		101	87	G			+0,0	+0,0	+0,0	-1,4	-0,0	-0,0
		0	Q1				+0,0	-0,8	-0,0	-0,2	-0,0	-2,7
		44	Q1				+0,0	+0,4	-0,0	-0,2	-0,0	-2,7
		87	Q1				+0,0	+1,6	+0,0	-0,2	-0,0	-2,7
		0	W2				+0,0	+0,1	-0,0	-0,1	-0,0	-0,2
141		44	W2				+0,0	+0,2	-0,0	-0,1	-0,0	-0,3
		87										

BARRA		NN	X(cm)	HIP	Id	Comb.	Mx kNm	My	Mz	Fx kN	Vy	Vz
143	143	56	0	M-	D		+0,0	-1,1	-0,0	-2,2	-0,0	-4,1
			44	M-	D		+0,0	+0,0	-0,0	-2,3	-0,0	-4,1
		102	87	M-	D		+0,0	+0,0	+0,0	-2,3	-0,0	-4,2
		57	0	G			+0,0	-0,0	+0,0	-1,4	-0,0	-0,0
			44	G			+0,0	+0,0	-0,0	-1,4	-0,0	-0,0
		103	87	G			+0,0	+0,0	-0,0	-1,5	-0,0	-0,0
		0	Q1				+0,0	-0,7	+0,0	-0,2	-0,0	-2,4
			44	Q1			+0,0	+0,4	+0,0	-0,2	-0,0	-2,4
		87	Q1				+0,0	+1,4	-0,0	-0,2	-0,0	-2,4
		0	W2				-0,0	+0,1	+0,0	-0,2	-0,0	-0,3
			44	W2			-0,0	+0,2	-0,0	-0,2	-0,0	-0,3
		87	W2				-0,0	+0,3	-0,0	-0,2	-0,0	-0,4
		57	0	M+	D		+0,0	+0,1	+0,0	+0,0	+0,0	+0,0
			44	M+	D		+0,0	+0,8	-0,0	+0,0	+0,0	+0,0
145	145	103	87	M+	D		+0,0	+2,4	-0,0	+0,0	+0,0	+0,0
		57	0	M-	D		-0,0	-1,0	-0,0	-2,4	-0,0	-3,8
			44	M-	D		-0,0	+0,0	-0,0	-2,4	-0,0	-3,9
		103	87	M-	D		-0,0	+0,0	-0,0	-2,5	-0,0	-3,9
		60	0	G			+0,0	-0,0	+0,0	-1,1	-0,0	-0,0
			44	G			+0,0	+0,0	+0,0	-1,2	-0,0	-0,0
		104	87	G			+0,0	+0,0	+0,0	-1,2	-0,0	-0,0
		0	Q1				+0,0	-0,7	-0,0	-0,2	-0,0	-2,4
			44	Q1			+0,0	+0,4	-0,0	-0,2	-0,0	-2,4
		87	Q1				+0,0	+1,4	+0,0	-0,2	-0,0	-2,4
		0	W2				+0,0	+0,1	-0,0	-0,1	-0,0	-0,2
			44	W2			+0,0	+0,2	-0,0	-0,1	-0,0	-0,3
		87	W2				+0,0	+0,3	+0,0	-0,1	-0,0	-0,3
		60	0	M+	D		+0,0	+0,1	+0,0	+0,0	+0,0	+0,0
147	147		44	M+	D		+0,0	+0,7	+0,0	+0,0	+0,0	+0,0
		104	87	M+	D		+0,0	+2,4	+0,0	+0,0	+0,0	+0,0
		60	0	M-	D		+0,0	-1,0	-0,0	-2,0	-0,0	-3,8
			44	M-	D		+0,0	+0,0	-0,0	-2,0	-0,0	-3,8
		104	87	M-	D		+0,0	+0,0	+0,0	-2,1	-0,0	-3,9
		59	0	G			+0,0	-0,0	-0,0	-1,4	-0,0	-0,0
			44	G			+0,0	+0,0	+0,0	-1,4	-0,0	-0,0
		105	87	G			+0,0	+0,0	+0,0	-1,5	-0,0	-0,0
		0	Q1				+0,0	-0,7	-0,0	-0,2	-0,0	-2,4
			44	Q1			+0,0	+0,4	-0,0	-0,2	-0,0	-2,4
		87	Q1				+0,0	+1,4	+0,0	-0,2	-0,0	-2,4
		0	W2				+0,0	+0,1	-0,0	-0,1	-0,0	-0,2
			44	W2			+0,0	+0,2	-0,0	-0,1	-0,0	-0,3
		87	W2				+0,0	+0,3	+0,0	-0,1	-0,0	-0,3
149	149	59	0	M+	D		+0,0	+0,1	+0,0	+0,0	+0,0	+0,0
			44	M+	D		+0,0	+0,7	+0,0	+0,0	+0,0	+0,0
		105	87	M+	D		+0,0	+2,4	+0,0	+0,0	+0,0	+0,0
		59	0	M-	D		+0,0	-1,0	-0,0	-2,3	-0,0	-3,8
			44	M-	D		+0,0	+0,0	+0,0	-2,4	-0,0	-3,8
161	161	105	87	M-	D		+0,0	+0,0	+0,0	-2,4	-0,0	-3,9
		58	0	G			+0,0	-0,0	+0,0	-1,0	-0,0	-0,0
			44	G			+0,0	+0,0	-0,0	-1,1	-0,0	-0,0
		106	87	G			+0,0	+0,0	-0,0	-1,1	-0,0	-0,0
		0	Q1				+0,0	-0,7	+0,0	-0,2	-0,0	-2,4
160	160		44	Q1			+0,0	+0,4	-0,0	-0,2	-0,0	-2,4
		87	Q1				+0,0	+1,4	+0,0	-0,2	-0,0	-2,4
		0	W2				+0,0	+0,1	+0,0	+0,0	+0,1	-0,4
			44	W2			+0,0	+0,2	+0,0	+0,0	+0,1	-0,4
		87	W2				+0,0	+0,4	-0,0	+0,1	+0,0	-0,6
159	159	54	0	G			+0,0	+0,0	+0,0	-1,2	+0,0	+0,0
			44	G			+0,0	-0,0	+0,0	-1,3	+0,0	+0,0
		108	87	G			+0,0	-0,0	+0,0	-1,3	+0,0	+0,0
		0	Q1				+0,0	+0,2	+0,0	+0,2	+0,0	-0,4
			44	Q1			+0,0	+0,4	+0,0	+0,2	+0,0	-0,4
161	161	87	Q1				+0,0	+0,6	-0,0	+0,2	+0,0	-0,4
		0	W2				+0,0	+0,0	+0,0	+0,1	+0,0	-0,3
			44	W2			+0,0	+0,2	+0,0	+0,1	+0,0	-0,4
		87	W2				+0,0	+0,4	-0,0	+0,1	+0,0	-0,6
		54	0	M+	D		+0,0	+0,3	+0,0	+0,0	+0,0	+0,0
160	160		44	M+	D		+0,0	+0,7	+0,0	+0,0	+0,0	+0,0
		108	87	M+	D		+0,0	+1,2	+0,0	+0,0	+0,0	+0,0
		54	0	M-	D		+0,0	+0,0	+0,0	-1,6	+0,0	-0,9
			44	M-	D		+0,0	-0,0	+0,0	-1,7	+0,0	-1,1
		108	87	M-	D		+0,0	-0,0	-0,0	-1,7	+0,0	-1,3
161	161	53	0	G			+0,0	+0,0	+0,0	-1,3	-0,0	+0,0
			44	G			+0,0	-0,0	+0,0	-1,4	-0,0	+0,0

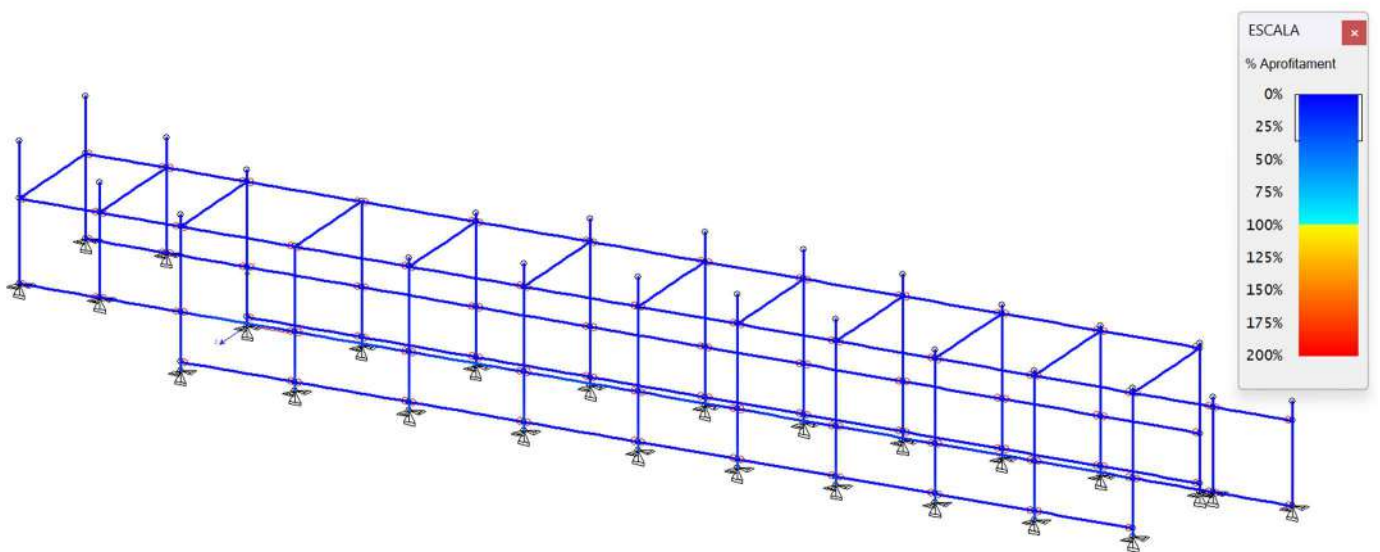
BARRA		NN	X(cm)	HIP	Id	Comb.	Mx kNm	My	Mz	Fx kN	Vy	Vz
		44	M-	D			+0,0	-0,0	+0,0	-1,8	-0,0	-1,1
	109	87	M-	D			+0,0	-0,0	+0,0	-1,9	-0,0	-1,3
162		52	0	G			+0,0	+0,0	+0,0	-1,4	-0,0	+0,0
		44	G				+0,0	-0,0	+0,0	-1,4	-0,0	+0,0
		110	87	G			+0,0	-0,0	+0,0	-1,4	-0,0	+0,0
		0	Q1				+0,0	+0,2	+0,0	+0,2	+0,0	-0,4
		44	Q1				+0,0	+0,4	+0,0	+0,2	+0,0	-0,4
		87	Q1				+0,0	+0,6	-0,0	+0,2	+0,0	-0,4
		0	W2				+0,0	+0,0	+0,0	+0,1	+0,0	-0,3
		44	W2				+0,0	+0,2	+0,0	+0,1	+0,0	-0,4
		87	W2				+0,0	+0,4	-0,0	+0,1	+0,0	-0,6
		52	0	M+	D		+0,0	+0,3	+0,0	+0,0	+0,0	+0,0
		44	M+	D			+0,0	+0,7	+0,0	+0,0	+0,0	+0,0
		110	87	M+	D		+0,0	+1,2	+0,0	+0,0	+0,0	+0,0
		52	0	M-	D		+0,0	+0,0	+0,0	-1,8	-0,0	-0,9
		44	M-	D			+0,0	-0,0	+0,0	-1,9	-0,0	-1,1
		110	87	M-	D		+0,0	-0,0	+0,0	-2,0	-0,0	-1,3
163		46	0	G			+0,0	+0,0	-0,0	-0,7	-0,0	+0,0
		44	G				+0,0	-0,0	+0,0	-0,7	-0,0	+0,0
		116	87	G			+0,0	-0,0	+0,0	-0,8	-0,0	+0,0
		0	Q1				+0,0	+0,1	+0,0	+0,1	+0,0	-0,2
		44	Q1				+0,0	+0,2	+0,0	+0,1	+0,0	-0,2
		87	Q1				+0,0	+0,2	+0,0	+0,1	+0,0	-0,2
		0	W2				+0,0	+0,0	+0,0	+0,1	+0,0	-0,2
		44	W2				+0,0	+0,1	+0,0	+0,1	+0,0	-0,2
		87	W2				+0,0	+0,2	-0,0	+0,1	+0,0	-0,3
		46	0	M+	D		+0,0	+0,2	+0,0	+0,0	+0,0	+0,0
		44	M+	D			+0,0	+0,3	+0,0	+0,0	+0,0	+0,0
		116	87	M+	D		+0,0	+0,5	+0,0	+0,0	+0,0	+0,0
		46	0	M-	D		+0,0	+0,0	-0,0	-0,9	-0,0	-0,4
		44	M-	D			+0,0	-0,0	+0,0	-1,0	-0,0	-0,5
		116	87	M-	D		+0,0	-0,0	+0,0	-1,0	-0,0	-0,6
164		47	0	G			+0,0	+0,0	-0,0	-1,1	-0,0	+0,0
		44	G				+0,0	-0,0	+0,0	-1,1	-0,0	+0,0
		115	87	G			+0,0	-0,0	+0,0	-1,1	-0,0	+0,0
		0	Q1				+0,0	+0,2	+0,0	+0,2	+0,0	-0,4
		44	Q1				+0,0	+0,3	+0,0	+0,2	+0,0	-0,4
		87	Q1				+0,0	+0,5	+0,0	+0,2	+0,0	-0,4
		0	W2				+0,0	+0,0	+0,0	+0,1	+0,0	-0,3
		44	W2				+0,0	+0,2	+0,0	+0,1	+0,0	-0,4
		87	W2				+0,0	+0,4	-0,0	+0,1	+0,0	-0,5
		47	0	M+	D		+0,0	+0,3	+0,0	+0,0	+0,0	+0,0
		44	M+	D			+0,0	+0,7	+0,0	+0,0	+0,0	+0,0
		115	87	M+	D		+0,0	+1,1	+0,0	+0,0	+0,0	+0,0
		47	0	M-	D		+0,0	+0,0	-0,0	-1,4	-0,0	-0,8
		44	M-	D			+0,0	-0,0	+0,0	-1,5	-0,0	-1,0
		115	87	M-	D		+0,0	-0,0	+0,0	-1,5	-0,0	-1,1
165		48	0	G			+0,0	+0,0	-0,0	-1,1	-0,0	+0,0
		44	G				+0,0	-0,0	+0,0	-1,1	-0,0	+0,0
		114	87	G			+0,0	-0,0	+0,0	-1,2	-0,0	+0,0
		0	Q1				+0,0	+0,2	+0,0	+0,2	+0,0	-0,4
		44	Q1				+0,0	+0,3	+0,0	+0,2	+0,0	-0,4
		87	Q1				+0,0	+0,5	-0,0	+0,2	+0,0	-0,4

BARRA		NN	X(cm)	HIP	Id	Comb.	Mx kNm	My	Mz	Fx kN	Vy	Vz
166		0	W2				+0,0	+0,0	+0,0	+0,1	+0,0	-0,3
		44	W2				+0,0	+0,2	+0,0	+0,1	+0,0	-0,4
		87	W2				+0,0	+0,4	-0,0	+0,1	+0,0	-0,5
		48	0	M+	D		+0,0	+0,3	+0,0	+0,0	+0,0	+0,0
		44	M+	D			+0,0	+0,7	+0,0	+0,0	+0,0	+0,0
		114	87	M+	D		+0,0	+1,1	+0,0	+0,0	+0,0	+0,0
		48	0	M-	D		+0,0	+0,0	-0,0	-1,5	-0,0	-0,8
		44	M-	D			+0,0	-0,0	-0,0	-1,5	-0,0	-1,0
		114	87	M-	D		+0,0	-0,0	-0,0	-1,6	-0,0	-1,1
		49	0	G			+0,0	+0,0	+0,0	-1,2	-0,0	+0,0
		44	G				+0,0	-0,0	-0,0	-1,3	-0,0	+0,0
		113	87	G			+0,0	-0,0	-0,0	-1,3	-0,0	+0,0
		0	Q1				-0,0	+0,2	-0,0	+0,2	+0,0	-0,4
		44	Q1				-0,0	+0,3	-0,0	+0,2	+0,0	-0,4
167		87	Q1				-0,0	+0,5	+0,0	+0,0	+0,0	-0,4
		0	W2				-0,0	+0,0	-0,0	-0,0	+0,2	-0,3
		44	W2				-0,0	+0,2	+0,0	+0,0	+0,0	-0,4
		49	0	M+	D		+0,0	+0,3	+0,0	+0,0	+0,0	+0,0
		44	M+	D			+0,0	+0,7	-0,0	+0,0	+0,0	+0,0
		113	87	M+	D		+0,0	+1,1	-0,0	+0,0	+0,0	+0,0
		49	0	M-	D		-0,0	+0,0	-0,0	-1,7	-0,0	-0,8
		44	M-	D								

BARRA	NN	X(cm)	HIP	Id	Comb.	Mx kNm	My	Mz	Fx kN	Vy	Vz
	111	87	M-	D		+0,0	-0,0	+0,0	-1,8	-0,0	-1,2

6.2.5 Verificació de l'Estat Límit Últim (ELU)

El gràfic d'aprofitament dels diferents perfils per les combinacions d'accions més desfavorables es mostra en la següent figura:



El grau màxim d'aprofitament dels perfils està per sota del 100% de la seva capacitat màxima.

La verificació particular de cada barra es mostra en la següent llista de verificació:

BIGUES

BIGA 1 (SHSH-60x3.2) 210,0 cm 3,6%
 BIGA 2 (SHSH-60x3.2) 210,0 cm 3,6%
 BIGA 3 (SHSH-60x3.2) 210,0 cm 4,3%
 BIGA 4 (SHSH-60x3.2) 210,0 cm 5,0%
 BIGA 5 (SHSH-60x3.2) 210,0 cm 3,6%
 BIGA 6 (SHSH-60x3.2) 210,0 cm 3,5%
 BIGA 7 (SHSH-60x3.2) 210,0 cm 4,3%
 BIGA 8 (SHSH-60x3.2) 210,0 cm 5,0%
 BIGA 9 (SHSH-80x4) 240,0 cm 5,5%
 BIGA 10 (SHSH-80x4) 240,0 cm 7,8%
 BIGA 11 (SHSH-80x4) 240,0 cm 8,1%
 BIGA 12 (SHSH-80x4) 240,0 cm 7,8%
 BIGA 13 (SHSH-80x4) 240,0 cm 8,0%
 BIGA 24 (SHSH-60x3.2) 210,0 cm 29,2%
 BIGA 26 (SHSH-60x3.2) 181,6 cm 3,9%
 BIGA 27 (SHSH-60x3.2) 181,6 cm 3,9%
 BIGA 28 (SHSH-80x4) 240,0 cm 7,5%
 BIGA 31 (SHSH-60x3.2) 181,6 cm 3,0%
 BIGA 32 (SHSH-60x3.2) 181,6 cm 3,7%
 BIGA 33 (SHSH-60x3.2) 181,6 cm 3,5%
 BIGA 34 (SHSH-60x3.2) 181,6 cm 3,4%
 BIGA 35 (SHSH-80x4) 240,0 cm 7,0%
 BIGA 38 (SHSH-80x4) 240,0 cm 7,0%
 BIGA 42 (SHSH-60x3.2) 210,0 cm 29,2%
 BIGA 43 (SHSH-60x3.2) 181,6 cm 2,6%
 BIGA 44 (SHSH-60x3.2) 181,6 cm 2,6%

BIGA 45 (SHSH-80x4) 240,0 cm 7,0%
 BIGA 49 (SHSH-60x3.2) 210,0 cm 29,2%
 BIGA 50 (SHSH-60x3.2) 181,6 cm 2,7%
 BIGA 51 (SHSH-60x3.2) 181,6 cm 2,7%
 BIGA 52 (SHSH-80x4) 240,0 cm 3,4%
 BIGA 56 (SHSH-60x3.2) 210,0 cm 4,5%
 BIGA 58 (SHSH-60x3.2) 181,6 cm 3,5%
 BIGA 60 (SHSH-60x3.2) 181,6 cm 3,5%
 BIGA 62 (SHSH-60x3.2) 181,6 cm 3,2%
 BIGA 64 (SHSH-60x3.2) 181,6 cm 3,2%
 BIGA 66 (SHSH-60x3.2) 181,6 cm 3,3%
 BIGA 68 (SHSH-60x3.2) 210,0 cm 4,5%
 BIGA 70 (SHSH-60x3.2) 210,0 cm 4,5%
 BIGA 72 (SHSH-60x3.2) 210,0 cm 4,6%
 BIGA 74 (SHSH-60x3.2) 181,6 cm 21,8%
 BIGA 76 (SHSH-60x3.2) 210,0 cm 29,2%
 BIGA 78 (SHSH-60x3.2) 181,6 cm 21,8%
 BIGA 80 (SHSH-60x3.2) 181,6 cm 21,8%
 BIGA 82 (SHSH-60x3.2) 181,6 cm 21,8%
 BIGA 84 (SHSH-60x3.2) 181,6 cm 21,8%
 BIGA 86 (SHSH-60x3.2) 148,0 cm 2,2%
 BIGA 87 (SHSH-60x3.2) 148,0 cm 2,3%
 BIGA 88 (SHSH-60x3.2) 148,0 cm 1,6%
 BIGA 89 (SHSH-60x3.2) 148,0 cm 1,6%
 BIGA 90 (SHSH-80x4) 240,0 cm 2,3%
 BIGA 92 (SHSH-60x3.2) 148,0 cm 3,3%
 BIGA 93 (SHSH-60x3.2) 148,0 cm 3,1%
 BIGA 94 (SHSH-60x3.2) 148,0 cm 1,3%
 BIGA 95 (SHSH-60x3.2) 148,0 cm 1,4%
 BIGA 96 (SHSH-80x4) 240,0 cm 1,6%
 BIGA 101 (SHSH-60x3.2) 146,0 cm 1,8%
 BIGA 102 (SHSH-60x3.2) 146,0 cm 1,6%
 BIGA 104 (SHSH-60x3.2) 146,0 cm 2,0%
 BIGA 105 (SHSH-60x3.2) 146,0 cm 1,6%
 BIGA 132 (SHSH-60x3.2) 210,0 cm 2,9%
 BIGA 134 (SHSH-60x3.2) 181,6 cm 2,1%
 BIGA 136 (SHSH-60x3.2) 210,0 cm 2,9%
 BIGA 138 (SHSH-60x3.2) 210,0 cm 2,9%
 BIGA 140 (SHSH-60x3.2) 210,0 cm 2,9%
 BIGA 142 (SHSH-60x3.2) 181,6 cm 2,1%
 BIGA 144 (SHSH-60x3.2) 181,6 cm 2,1%
 BIGA 146 (SHSH-60x3.2) 181,6 cm 2,1%
 BIGA 148 (SHSH-60x3.2) 181,6 cm 2,1%
 BIGA 150 (SHSH-60x3.2) 181,6 cm 2,1%
 BIGA 151 (SHSH-60x3.2) 181,6 cm 2,1%
 BIGA 152 (SHSH-60x3.2) 181,6 cm 2,1%
 BIGA 153 (SHSH-60x3.2) 181,6 cm 2,1%
 BIGA 154 (SHSH-60x3.2) 181,6 cm 2,1%
 BIGA 155 (SHSH-60x3.2) 210,0 cm 2,9%
 BIGA 156 (SHSH-60x3.2) 210,0 cm 2,9%
 BIGA 157 (SHSH-60x3.2) 210,0 cm 2,9%
 BIGA 158 (SHSH-60x3.2) 210,0 cm 2,9%

PILARS

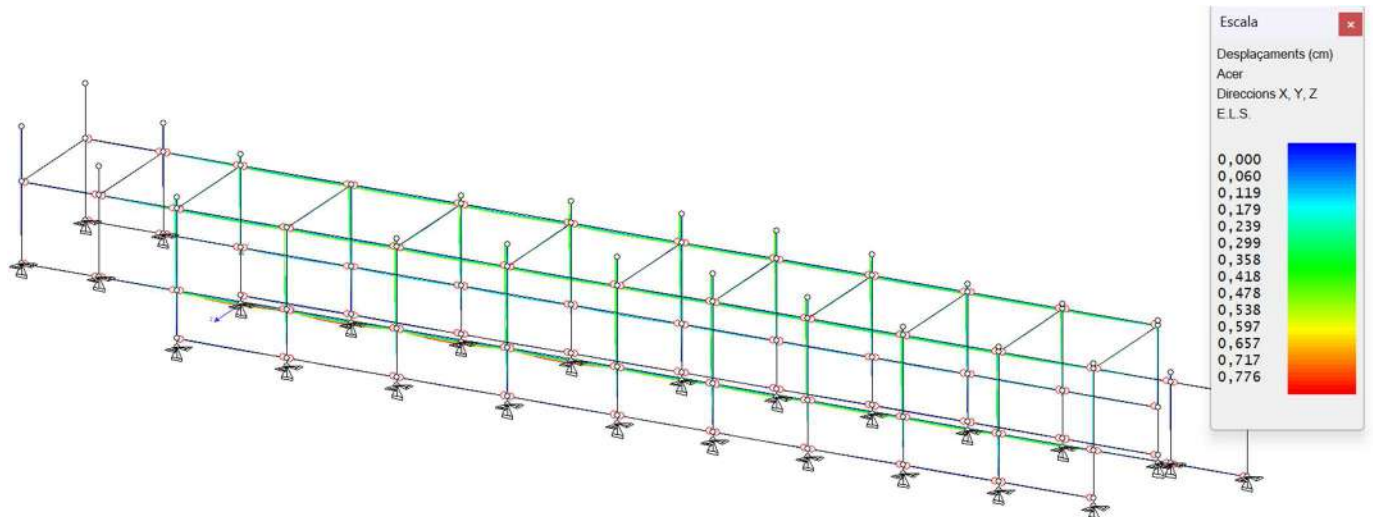
PILAR 14 (SHSH-80x4) 15,0 cm 11,0%
 PILAR 15 (SHSH-80x4) 15,0 cm 14,4%
 PILAR 16 (SHSH-80x4) 15,0 cm 15,1%
 PILAR 17 (SHSH-80x4) 15,0 cm 14,4%
 PILAR 18 (SHSH-80x4) 15,0 cm 14,6%
 PILAR 19 (SHSH-80x4) 15,0 cm 20,0%
 PILAR 20 (SHSH-80x4) 15,0 cm 35,5%
 PILAR 21 (SHSH-80x4) 15,0 cm 35,9%
 PILAR 22 (SHSH-80x4) 15,0 cm 35,5%
 PILAR 23 (SHSH-80x4) 15,0 cm 33,9%
 PILAR 25 (SHSH-80x4) 148,0 cm 12,2%
 PILAR 29 (SHSH-80x4) 15,0 cm 13,7%
 PILAR 30 (SHSH-80x4) 15,0 cm 31,5%
 PILAR 36 (SHSH-80x4) 15,0 cm 13,0%
 PILAR 37 (SHSH-80x4) 15,0 cm 31,1%
 PILAR 39 (SHSH-80x4) 15,0 cm 13,0%

PILAR 40 (SHSH-80x4) 15,0 cm 31,1%
 PILAR 41 (SHSH-80x4) 148,0 cm 12,2%
 PILAR 46 (SHSH-80x4) 15,0 cm 13,0%
 PILAR 47 (SHSH-80x4) 15,0 cm 31,1%
 PILAR 48 (SHSH-80x4) 148,0 cm 5,3%
 PILAR 53 (SHSH-80x4) 15,0 cm 6,6%
 PILAR 54 (SHSH-80x4) 15,0 cm 15,9%
 PILAR 55 (SHSH-80x4) 148,0 cm 6,1%
 PILAR 57 (SHSH-80x4) 148,0 cm 3,4%
 PILAR 59 (SHSH-80x4) 148,0 cm 7,0%
 PILAR 61 (SHSH-80x4) 148,0 cm 7,0%
 PILAR 63 (SHSH-80x4) 148,0 cm 7,0%
 PILAR 65 (SHSH-80x4) 148,0 cm 7,2%
 PILAR 67 (SHSH-80x4) 148,0 cm 7,7%
 PILAR 69 (SHSH-80x4) 148,0 cm 7,8%
 PILAR 71 (SHSH-80x4) 148,0 cm 8,1%
 PILAR 73 (SHSH-80x4) 148,0 cm 7,8%
 PILAR 75 (SHSH-80x4) 148,0 cm 12,2%
 PILAR 77 (SHSH-80x4) 148,0 cm 11,4%
 PILAR 79 (SHSH-80x4) 148,0 cm 10,6%
 PILAR 81 (SHSH-80x4) 148,0 cm 10,6%
 PILAR 83 (SHSH-80x4) 148,0 cm 10,6%
 PILAR 85 (SHSH-80x4) 148,0 cm 10,6%
 PILAR 91 (SHSH-80x4) 148,0 cm 3,3%
 PILAR 97 (SHSH-80x4) 148,0 cm 2,0%
 PILAR 98 (SHSH-80x4) 148,0 cm 5,5%
 PILAR 99 (SHSH-80x4) 148,0 cm 3,3%
 PILAR 100 (SHSH-80x4) 148,0 cm 1,6%
 PILAR 103 (SHSH-80x4) 148,0 cm 2,2%
 PILAR 106 (SHSH-80x4) 148,0 cm 1,1%
 PILAR 107 (SHSH-80x4) 100,0 cm 0,2%
 PILAR 108 (SHSH-80x4) 100,0 cm 0,8%
 PILAR 109 (SHSH-80x4) 52,0 cm 0,2%
 PILAR 110 (SHSH-80x4) 52,0 cm 0,4%
 PILAR 111 (SHSH-80x4) 20,0 cm 0,0%
 PILAR 112 (SHSH-80x4) 20,0 cm 0,0%
 PILAR 113 (SHSH-80x4) 15,0 cm 0,0%
 PILAR 114 (SHSH-80x4) 15,0 cm 0,0%
 PILAR 115 (SHSH-80x4) 40,0 cm 0,0%
 PILAR 116 (SHSH-80x4) 40,0 cm 0,0%
 PILAR 117 (SHSH-80x4) 51,0 cm 0,2%
 PILAR 118 (SHSH-80x4) 51,0 cm 0,6%
 PILAR 119 (SHSH-80x4) 51,0 cm 0,3%
 PILAR 120 (SHSH-80x4) 51,0 cm 0,5%
 PILAR 121 (SHSH-80x4) 38,0 cm 0,0%
 PILAR 122 (SHSH-80x4) 38,0 cm 0,0%
 PILAR 123 (SHSH-80x4) 15,0 cm 0,0%
 PILAR 124 (SHSH-80x4) 15,0 cm 0,0%
 PILAR 125 (SHSH-80x4) 8,0 cm 0,0%
 PILAR 126 (SHSH-80x4) 8,0 cm 0,0%
 PILAR 127 (SHSH-80x4) 8,0 cm 0,0%
 PILAR 128 (SHSH-80x4) 8,0 cm 0,0%
 PILAR 129 (SHSH-80x4) 17,0 cm 0,0%
 PILAR 130 (SHSH-80x4) 34,0 cm 0,0%
 PILAR 131 (SHSH-80x4) 87,0 cm 16,2%
 PILAR 133 (SHSH-80x4) 87,0 cm 12,8%
 PILAR 135 (SHSH-80x4) 87,0 cm 28,5%
 PILAR 137 (SHSH-80x4) 87,0 cm 28,9%
 PILAR 139 (SHSH-80x4) 87,0 cm 28,6%
 PILAR 141 (SHSH-80x4) 87,0 cm 27,3%
 PILAR 143 (SHSH-80x4) 87,0 cm 25,4%
 PILAR 145 (SHSH-80x4) 87,0 cm 25,0%
 PILAR 147 (SHSH-80x4) 87,0 cm 25,0%
 PILAR 149 (SHSH-80x4) 87,0 cm 25,0%
 PILAR 159 (SHSH-80x4) 87,0 cm 9,6%
 PILAR 160 (SHSH-80x4) 87,0 cm 12,7%
 PILAR 161 (SHSH-80x4) 87,0 cm 13,0%
 PILAR 162 (SHSH-80x4) 87,0 cm 12,7%
 PILAR 163 (SHSH-80x4) 87,0 cm 5,7%
 PILAR 164 (SHSH-80x4) 87,0 cm 11,2%
 PILAR 165 (SHSH-80x4) 87,0 cm 11,2%

PILAR 166 (SHSH-80x4) 87,0 cm 11,2%
 PILAR 167 (SHSH-80x4) 87,0 cm 11,8%
 PILAR 168 (SHSH-80x4) 87,0 cm 12,6%

6.2.6 Verificació de l'Estat Límit de Servei (ELS)

El desplaçament màxim de l'estructura és de 7,76 mm.



La deformació màxima es produeix en el travesser lateral quan hi ha el màxim recolzament de personal, i correspon aproximadament a:

$$2.100 \text{ mm} / 7,75 \text{ mm} = L / 270$$

La deformació és compatible amb l'ús al que està destinada l'estructura.

6.2.6.1 Llistat de deformacions

Desplaçaments. Eixos generals, Acer, E.L.S.
 sense majorar

NN	Tipus	Hip	Id	Comb.	Dx(cm)	Dy	Dz	Gx(1E-5 rad)	Gy	Gz
1	xyzxyz	M+	A		+0,000	+0,000	+0,000	+0,0	+0,0	+0,0
		M-	A		+0,000	+0,000	+0,000	+0,0	+0,0	+0,0
2	xyzxyz	M+	A		+0,000	+0,000	+0,000	+0,0	+0,0	+0,0
		M-	A		+0,000	+0,000	+0,000	+0,0	+0,0	+0,0
3	xyzxyz	M+	A		+0,000	+0,000	+0,000	+0,0	+0,0	+0,0
		M-	A		+0,000	+0,000	+0,000	+0,0	+0,0	+0,0
4	xyzxyz	M+	A		+0,000	+0,000	+0,000	+0,0	+0,0	+0,0
		M-	A		+0,000	+0,000	+0,000	+0,0	+0,0	+0,0
5	xyzxyz	M+	A		+0,000	+0,000	+0,000	+0,0	+0,0	+0,0

NN	Tipus	Hip	Id	Comb.	Dx(cm)	Dy	Dz	Gx(1E-5 rad)	Gy	Gz
6	xyzxyz	M-	A		+0,000	+0,000	+0,000	+0,0	+0,0	+0,0
		M+	A		+0,000	+0,000	+0,000	+0,0	+0,0	+0,0
		M-	A		+0,000	+0,000	+0,000	+0,0	+0,0	+0,0
7	xyzxyz	M+	A		+0,000	+0,000	+0,000	+0,0	+0,0	+0,0
		M-	A		+0,000	+0,000	+0,000	+0,0	+0,0	+0,0
8	xyzxyz	M+	A		+0,000	+0,000	+0,000	+0,0	+0,0	+0,0
		M-	A		+0,000	+0,000	+0,000	+0,0	+0,0	+0,0
9	xyzxyz	M+	A		+0,000	+0,000	+0,000	+0,0	+0,0	+0,0
		M-	A		+0,000	+0,000	+0,000	+0,0	+0,0	+0,0
10	xyzxyz	M+	A		+0,000	+0,000	+0,000	+0,0	+0,0	+0,0
		M-	A		+0,000	+0,000	+0,000	+0,0	+0,0	+0,0
11		G			-0,000	-0,001	+0,000	+8,0	+0,0	+0,0
		Q1			-0,000	+0,000	+0,194	+59,6	+0,0	+0,0
		W2			-0,000	+0,000	+0,207	+34,2	+0,0	+0,0
		M+	A		+0,000	+0,000	+0,343	+88,1	+0,0	+0,0
		M-	A		-0,000	-0,001	+0,000	+0,0	+0,0	+0,0
		G			-0,000	-0,001	+0,000	+8,0	+0,0	+0,0
12		Q1			-0,000	+0,000	+0,387	+119,1	+0,0	+0,0
		W2			-0,000	+0,000	+0,173	+22,4	+0,0	+0,0
		M+	A		+0,000	+0,000	+0,491	+140,5	+0,0	+0,0
		M-	A		-0,000	-0,001	+0,000	+0,0	+0,0	+0,0
		G			-0,000	-0,001	+0,000	+8,0	+0,0	+0,0
13		Q1			-0,000	+0,000	+0,387	+119,1	+0,0	+0,0
		W2			-0,000	+0,000	+0,195	+27,5	+0,0	+0,0
		M+	A		+0,000	+0,000	+0,504	+143,6	+0,0	+0,0
		M-	A		-0,000	-0,001	+0,000	+0,0	+0,0	+0,0
		G			-0,000	-0,001	+0,000	+8,0	+0,0	+0,0
14		Q1			-0,000	+0,000	+0,387	+119,1	+0,0	+0,0
		W2			-0,000	+0,000	+0,173	+22,4	+0,0	+0,0
		M+	A		+0,000	+0,000	+0,491	+140,5	+0,0	+0,0
		M-	A		-0,000	-0,001	+0,000	+0,0	+0,0	+0,0
		G			-0,000	-0,001	+0,000	+8,0	+0,0	+0,0
15		Q1			-0,000	+0,000	+0,387	+119,1	+0,0	+0,0
		W2			-0,000	+0,000	+0,195	+27,5	+0,0	+0,0
		M+	A		+0,000	+0,000	+0,504	+143,6	+0,0	+0,0
		M-	A		-0,000	-0,001	+0,000	+0,0	+0,0	+0,0
		G			-0,000	-0,001	+0,000	+8,0	+0,0	+0,0
16		Q1			-0,000	+0,000	+0,361	+111,1	+0,0	+0,0
		W2			-0,000	+0,000	+0,206	+36,0	+0,0	+0,0
		M+	A		+0,000	+0,000	+0,485	+140,6	+0,0	+0,0
		M-	A		-0,000	-0,001	+0,000	+0,0	+0,0	+0,0
		G			-0,000	-0,001	+0,000	-7,9	+0,0	+0,0
17		Q1			+0,000	-0,000	+0,194	-10,0	+0,0	-0,0
		W2			+0,000	-0,000	+0,207	+46,2	+0,0	-0,0
		M+	A		+0,000	+0,000	+0,343	+38,3	+0,0	+0,0
		M-	A		-0,000	-0,001	+0,000	-18,0	+0,0	-0,0
		G			-0,000	-0,001	-0,000	-8,0	+0,0	+0,0
18		Q1			+0,000	-0,000	+0,388	-20,0	+0,0	-0,0
		W2			+0,000	-0,000	+0,173	+37,6	+0,0	-0,0
		M+	A		+0,000	+0,000	+0,492	+29,7	+0,0	+0,0
		M-	A		-0,000	-0,001	-0,000	-28,0	+0,0	-0,0
		G			-0,000	-0,001	-0,000	-8,0	+0,0	+0,0
19		Q1			+0,000	-0,000	+0,388	-20,0	+0,0	-0,0
		W2			+0,000	-0,000	+0,195	+42,8	+0,0	-0,0
		M+	A		+0,000	+0,000	+0,505	+34,8	+0,0	+0,0
		M-	A		-0,000	-0,001	-0,000	-28,0	+0,0	-0,0
		G			-0,000	-0,001	-0,000	-8,0	+0,0	+0,0

NN	Tipus	Hip	Id	Comb.	Dx(cm)	Dy	Dz	Gx(1E-5 rad)	Gy	Gz
20		W2			+0,000	-0,000	+0,173	+37,6	+0,0	-0,0
		M+	A		+0,000	+0,000	+0,492	+29,7	+0,0	+0,0
		M-	A		-0,000	-0,001	-0,000	-28,0	+0,0	-0,0
21	xyzxyz	G			-0,000	-0,001	-0,000	-8,0	+0,0	+0,0
		Q1			+0,000	-0,000	+0,362	-18,7	+0,0	-0,0
22	xyzxyz	W2			+0,000	-0,000	+0,206	+46,2	+0,0	-0,0
		M+	A		+0,000	+0,000	+0,485	+38,2	+0,0	+0,0
23		M-	A		-0,000	-0,001	-0,000	-26,6	+0,0	-0,0
		G			-0,000	-0,001	-0,000	-8,0	+0,0	+0,0
24		Q1			-0,000	+0,000	+0,335	+103,0	-0,0	+0,0
		W2			-0,000	+0,000	+0,196	+34,5	+0,0	+0,0
25	xyzxyz	M+	A		+0,000	+0,000	+0,453	+131,7	+0,0	+0,0
		M-	A		-0,000	-0,001	-0,000	+0,0	-0,0	+0,0
26	xyzxyz	G			-0,000	-0,001	-0,000	-7,9	+0,0	-0,0
		Q1			-0,000	+0,000	+0,335	+103,0	-0,0	+0,0
27		W2			-0,000	+0,000	+0,169			

NN	Tipus	Hip	Id	Comb.	Dx(cm)	Dy	Dz	Gx(1E-5 rad)	Gy	Gz
35		M-	A		+0,000	+0,000	+0,000	+0,0	+0,0	+0,0
		G			-0,000	-0,001	+0,000	+8,0	+0,0	+0,0
		Q1			-0,000	+0,000	+0,335	+103,0	+0,0	+0,0
		W2			-0,000	+0,000	+0,169	+23,8	+0,0	+0,0
		M+	A		+0,000	+0,000	+0,436	+125,3	+0,0	+0,0
		M-	A		-0,000	-0,001	+0,000	+0,0	+0,0	+0,0
36		G			-0,000	-0,001	+0,000	-7,9	+0,0	+0,0
		Q1			+0,000	-0,000	+0,335	-17,3	+0,0	-0,0
		W2			+0,000	-0,000	+0,169	+37,0	+0,0	-0,0
		M+	A		+0,000	+0,000	+0,437	+29,1	+0,0	+0,0
		M-	A		-0,000	-0,001	+0,000	-25,3	+0,0	-0,0
		M+	A		+0,000	+0,000	+0,000	+0,0	+0,0	+0,0
37	xyzxyz	M-	A		+0,000	+0,000	+0,000	+0,0	+0,0	+0,0
		M+	A		+0,000	+0,000	+0,000	+0,0	+0,0	+0,0
38	xyzxyz	M-	A		+0,000	+0,000	+0,000	+0,0	+0,0	+0,0
		G			-0,000	-0,001	+0,000	+8,0	+0,0	+0,0
39		Q1			-0,000	+0,000	+0,168	+51,5	+0,0	+0,0
		W2			-0,000	+0,000	+0,090	+13,9	+0,0	+0,0
		M+	A		+0,000	+0,000	+0,222	+67,9	+0,0	+0,0
		M-	A		-0,000	-0,001	+0,000	+0,0	+0,0	+0,0
		G			-0,000	-0,001	+0,000	-7,9	+0,0	+0,0
40		Q1			+0,000	-0,000	+0,168	-8,7	+0,0	-0,0
		W2			+0,000	-0,000	+0,090	+17,6	+0,0	-0,0
		M+	A		+0,000	+0,000	+0,222	+9,7	+0,0	+0,0
		M-	A		-0,000	-0,001	+0,000	-16,6	+0,0	-0,0
		G			-0,000	-0,001	+0,002	+2,5	+0,0	+0,0
41		Q1			+0,000	-0,000	+0,247	+277,3	+0,0	-0,0
		W2			+0,000	-0,000	+0,058	+91,1	+0,0	-0,0
		M+	A		+0,000	+0,000	+0,284	+334,5	+0,0	+0,0
		M-	A		-0,000	-0,001	+0,000	+0,0	+0,0	-0,0
		G			-0,000	-0,001	+0,002	+2,5	+0,0	+0,0
42		Q1			+0,000	-0,000	+0,247	+277,3	+0,0	-0,0
		W2			-0,000	-0,000	+0,065	+102,2	+0,0	-0,0
		M+	A		+0,000	+0,000	+0,288	+341,2	+0,0	+0,0
		M-	A		-0,000	-0,001	+0,000	+0,0	+0,0	-0,0
		G			-0,000	-0,000	+0,002	+2,5	+0,0	+0,0
43		Q1			+0,000	-0,000	+0,107	+119,9	+0,0	-0,0
		W2			-0,000	-0,000	+0,031	+48,9	+0,0	-0,0
		M+	A		+0,000	+0,000	+0,128	+151,8	+0,0	+0,0
		M-	A		-0,000	-0,000	+0,000	+0,0	+0,0	-0,0
		G			-0,000	-0,001	+0,002	+2,5	+0,0	+0,0
44		Q1			+0,000	-0,000	+0,123	+138,7	+0,0	-0,0
		W2			+0,000	-0,000	+0,067	+107,6	+0,0	-0,0
		M+	A		+0,000	+0,000	+0,166	+207,1	+0,0	+0,0
		M-	A		-0,000	-0,001	+0,000	+0,0	+0,0	-0,0
		G			-0,000	-0,001	+0,002	+2,5	+0,0	+0,0
45		Q1			+0,000	-0,000	+0,056	+93,4	+0,0	+0,0
		W2			-0,000	+0,000	+0,075	+114,9	+0,0	+0,0
		M+	A		+0,000	+0,000	+0,112	+177,8	+0,0	+0,0
		M-	A		-0,000	-0,001	-0,002	-2,5	+0,0	+0,0
		G			-0,000	-0,000	-0,002	-2,5	+0,0	+0,0
46		Q1			-0,000	-0,000	+0,048	+80,8	+0,0	+0,0
		W2			+0,000	+0,000	+0,034	+50,9	+0,0	+0,0

NN	Tipus	Hip	Id	Comb.	Dx(cm)	Dy	Dz	Gx(1E-5 rad)	Gy	Gz
47		M+	A		+0,000	+0,000	+0,067	+108,9	+0,0	+0,0
		M-	A		-0,000	-0,000	-0,002	-2,5	+0,0	+0,0
		G			-0,000	-0,000	-0,002	-2,5	+0,0	+0,0
		Q1			-0,000	+0,000	+0,096	+161,6	+0,0	+0,0
		W2			+0,000	+0,000	+0,065	+96,2	+0,0	+0,0
		M+	A		+0,000	+0,000	+0,134	+216,8	+0,0	+0,0
48		M-	A		-0,000	-0,000	-0,002	-2,5	+0,0	+0,0
		G			-0,000	-0,001	-0,002	-2,5	+0,0	+0,0
		Q1			-0,000	+0,000	+0,096	+161,6	+0,0	+0,0
		W2			+0,000	+0,000	+0,065	+96,2	+0,0	+0,0
		M+	A		+0,000	+0,000	+0,134	+216,8	+0,0	+0,0
		M-	A		-0,000	-0,001	-0,002	-2,5	+0,0	+0,0
49		G			-0,000	-0,001	-0,002	-2,5	-0,0	+0,0
		Q1			-0,000	+0,000	+0,096	+161,6	+0,0	+0,0
		W2			+0,000	+0,000	+0,065	+96,2	+0,0	-0,0
		M+	A		+0,000	+0,000	+0,134	+216,8	+0,0	+0,0
		M-	A		-0,000	-0,001	-0,002	-2,5	-0,0	+0,0
		G			-0,000	-0,001	-0,002	-2,5	-0,0	+0,0
50		Q1			-0,000	+0,000	+0,096	+161,6	+0,0	+0,0
		W2			+0,000	+0,000	+0,073	+108,9	+0,0	-0,0
		M+	A		+0,000	+0,000	+0,134	+224,4	+0	

NN	Tipus	Hip	Id	Comb.	Dx(cm)	Dy	Dz	Gx(1E-5 rad)	Gy	Gz		
					Q1	+0,000	-0,000	+0,214	+239,8	+0,0	-0,0	
					W2	-0,000	-0,000	+0,064	+102,0	+0,0	+0,0	
					M+	A	+0,000	+0,000	+0,254	+303,5	+0,0	+0,0
					M-	A	-0,000	-0,001	+0,000	+0,0	+0,0	+0,0
58					G	-0,000	-0,000	+0,002	+2,5	+0,0	+0,0	
					Q1	+0,000	-0,000	+0,214	+239,8	+0,0	-0,0	
					W2	-0,000	-0,000	+0,056	+88,4	+0,0	+0,0	
					M+	A	+0,000	+0,000	+0,249	+295,4	+0,0	+0,0
					M-	A	-0,000	-0,001	+0,000	+0,0	+0,0	+0,0
59					G	-0,000	-0,001	+0,002	+2,5	+0,0	+0,0	
					Q1	+0,000	-0,000	+0,214	+239,8	+0,0	-0,0	
					W2	-0,000	-0,000	+0,056	+88,4	+0,0	-0,0	
					M+	A	+0,000	+0,000	+0,249	+295,4	+0,0	+0,0
					M-	A	-0,000	-0,001	+0,000	+0,0	+0,0	+0,0
60					G	-0,000	-0,001	+0,002	+2,5	+0,0	+0,0	
					Q1	+0,000	-0,000	+0,214	+239,8	+0,0	-0,0	
					W2	-0,000	-0,000	+0,056	+88,4	+0,0	-0,0	
					M+	A	+0,000	+0,000	+0,249	+295,4	+0,0	+0,0
					M-	A	-0,000	-0,001	+0,000	+0,0	+0,0	-0,0
61					W2	-0,000	+0,000	+0,039	+19,8	+0,0	+0,0	
					M+	A	+0,000	+0,000	+0,039	+25,3	+0,0	+0,0
					M-	A	-0,000	-0,000	+0,000	+0,0	+0,0	+0,0
62					W2	+0,000	-0,000	+0,039	+20,4	+0,0	-0,0	
					M+	A	+0,000	+0,000	+0,039	+14,9	+0,0	+0,0
					M-	A	-0,000	-0,000	-0,000	-5,5	+0,0	-0,0
63	xyzxyz				M+	A	+0,000	+0,000	+0,000	+0,0	+0,0	+0,0
					M-	A	+0,000	+0,000	+0,000	+0,0	+0,0	+0,0
64	xyzxyz				M+	A	+0,000	+0,000	+0,000	+0,0	+0,0	+0,0
					M-	A	+0,000	+0,000	+0,000	+0,0	+0,0	+0,0
65					W2	-0,000	+0,000	+0,022	+15,0	+0,0	+0,0	
					M+	A	+0,000	+0,000	+0,022	+20,5	+0,0	+0,0
					M-	A	-0,000	-0,000	+0,000	+0,0	+0,0	+0,0
66					W2	+0,000	-0,000	+0,022	+11,5	+0,0	-0,0	
					M+	A	+0,000	+0,000	+0,022	+6,0	+0,0	+0,0
					M-	A	-0,000	-0,000	-0,000	-5,5	+0,0	-0,0
67	xyzxyz				M+	A	+0,000	+0,000	+0,000	+0,0	+0,0	+0,0
					M-	A	+0,000	+0,000	+0,000	+0,0	+0,0	+0,0
68	xyzxyz				M+	A	+0,000	+0,000	+0,000	+0,0	+0,0	+0,0
					M-	A	+0,000	+0,000	+0,000	+0,0	+0,0	+0,0
69					W2	+0,000	+0,000	+0,038	+36,0	+0,0	-0,0	
					M+	A	+0,000	+0,000	+0,038	+36,0	+0,0	+0,0
					M-	A	-0,000	-0,000	+0,000	+0,0	+0,0	-0,0
70	xyzxyz				M+	A	+0,000	+0,000	+0,000	+0,0	+0,0	+0,0
					M-	A	+0,000	+0,000	+0,000	+0,0	+0,0	+0,0
71					W2	+0,000	+0,000	+0,019	+18,0	+0,0	-0,0	
					M+	A	+0,000	+0,000	+0,019	+18,0	+0,0	+0,0
					M-	A	-0,000	-0,000	+0,000	+0,0	+0,0	-0,0
72	xyzxyz				M+	A	+0,000	+0,000	+0,000	+0,0	+0,0	+0,0
					M-	A	+0,000	+0,000	+0,000	+0,0	+0,0	+0,0
73					G	-0,000	-0,000	-0,005	-5,5	+0,0	+0,0	
					W2	+0,000	-0,000	+0,035	+12,5	+0,0	-0,0	
					M+	A	+0,000	+0,000	+0,029	+7,0	+0,0	+0,0
					M-	A	-0,000	-0,000	-0,005	-5,5	+0,0	-0,0

NN	Tipus	Hip	Id	Comb.	Dx(cm)	Dy	Dz	Gx(1E-5 rad)	Gy	Gz		
74					G	-0,000	-0,000	+0,006	+5,5	+0,0	+0,0	
					W2	-0,000	+0,000	+0,043	+22,0	+0,0	+0,0	
					M+	A	+0,000	+0,000	+0,048	+27,4	+0,0	+0,0
					M-	A	-0,000	-0,000	+0,000	+0,0	+0,0	+0,0
75					G	-0,000	-0,000	-0,003</				

NN	Tipus	Hip	Id	Comb.	Dx(cm)	Dy	Dz	Gx(1E-5 rad)	Gy	Gz
86		Q1			+0,000	-0,000	+0,327	-17,3	+0,0	-0,0
					+0,000	-0,000	+0,220	+46,9	+0,0	-0,0
			A		+0,000	+0,000	+0,454	+38,9	+0,0	+0,0
			A		-0,000	-0,001	-0,004	-25,3	+0,0	-0,0
		G			-0,000	-0,001	+0,004	+8,0	+0,0	+0,0
		Q1			-0,000	+0,000	+0,388	+103,0	-0,0	+0,0
		W2			-0,000	+0,000	+0,215	+38,2	+0,0	+0,0
		M+	A		+0,000	+0,000	+0,521	+133,9	+0,0	+0,0
		M-	A		-0,000	-0,001	+0,000	+0,0	-0,0	+0,0
		G			-0,000	-0,001	-0,003	-8,0	+0,0	-0,0
		Q1			+0,000	-0,000	+0,329	-17,3	+0,0	-0,0
		W2			+0,000	-0,000	+0,183	+37,0	+0,0	-0,0
		M+	A		+0,000	+0,000	+0,435	+29,0	+0,0	+0,0
		M-	A		-0,000	-0,001	-0,003	-25,3	+0,0	-0,0
		G			-0,000	-0,001	+0,003	+7,9	+0,0	-0,0
		Q1			-0,000	+0,000	+0,374	+103,0	-0,0	+0,0
		W2			-0,000	+0,000	+0,178	+23,8	+0,0	+0,0
		M+	A		+0,000	+0,000	+0,484	+125,2	+0,0	+0,0
		M-	A		-0,000	-0,001	+0,000	+0,0	-0,0	-0,0
		G			-0,000	-0,001	-0,003	-7,9	+0,0	+0,0
		Q1			+0,000	-0,000	+0,333	-17,3	+0,0	-0,0
		W2			+0,000	-0,000	+0,174	+37,0	+0,0	-0,0
		M+	A		+0,000	+0,000	+0,436	+29,1	+0,0	+0,0
		M-	A		-0,000	-0,001	-0,001	-25,2	+0,0	-0,0
		G			-0,000	-0,001	-0,001	+8,0	+0,0	+0,0
		Q1			+0,000	-0,000	+0,333	-17,3	+0,0	-0,0
		W2			+0,000	-0,000	+0,174	+37,0	+0,0	-0,0
		M+	A		+0,000	+0,000	+0,484	+125,2	+0,0	+0,0
		M-	A		-0,000	-0,001	+0,000	+0,0	-0,0	-0,0
		G			-0,000	-0,001	-0,001	-7,9	+0,0	+0,0
		Q1			+0,000	-0,000	+0,333	-17,3	+0,0	-0,0
		W2			+0,000	-0,000	+0,174	+37,0	+0,0	-0,0
		M+	A		+0,000	+0,000	+0,436	+29,1	+0,0	+0,0
		M-	A		-0,000	-0,001	-0,001	-25,2	+0,0	-0,0
		G			-0,000	-0,001	-0,001	+8,0	+0,0	+0,0
		Q1			-0,000	+0,000	+0,350	+103,0	+0,0	+0,0
		W2			-0,000	+0,000	+0,172	+23,8	+0,0	+0,0
		M+	A		+0,000	+0,000	+0,455	+125,3	+0,0	+0,0
		M-	A		-0,000	-0,001	+0,000	+0,0	+0,0	+0,0
		G			-0,000	-0,001	-0,001	-7,9	+0,0	+0,0
		Q1			+0,000	-0,000	+0,334	-17,3	+0,0	-0,0
		W2			+0,000	-0,000	+0,172	+37,0	+0,0	-0,0
		M+	A		+0,000	+0,000	+0,436	+29,1	+0,0	+0,0
		M-	A		-0,000	-0,001	-0,001	-25,3	+0,0	-0,0
		G			-0,000	-0,001	-0,001	-7,9	+0,0	+0,0
		Q1			+0,000	-0,000	+0,334	-17,3	+0,0	-0,0
		W2			+0,000	-0,000	+0,172	+37,0	+0,0	-0,0
		M+	A		+0,000	+0,000	+0,436	+29,1	+0,0	+0,0
		M-	A		-0,000	-0,001	-0,001	-25,3	+0,0	-0,0
		G			-0,000	-0,001	-0,001	-7,9	+0,0	+0,0
		Q1			-0,000	+0,000	+0,343	+103,0	+0,0	+0,0
		W2			-0,000	+0,000	+0,171	+23,8	+0,0	+0,0
		M+	A		+0,000	+0,000	+0,446	+125,3	+0,0	+0,0
		M-	A		-0,000	-0,001	+0,000	+0,0	+0,0	+0,0
		G			-0,000	-0,001	-0,001	-7,9	+0,0	+0,0
		Q1			+0,000	-0,000	+0,167	-8,7	+0,0	-0,0
		W2			+0,000	-0,000	+0,092	+17,6	+0,0	-0,0
		M+	A		+0,000	+0,000	+0,221	+9,7	+0,0	+0,0
		M-	A		-0,000	-0,001	-0,001	-16,6	+0,0	-0,0
		G			-0,000	-0,001	-0,001	-7,9	+0,0	+0,0
		Q1			+0,000	-0,000	+0,167	-8,7	+0,0	-0,0
		W2			+0,000	-0,000	+0,092	+17,6	+0,0	-0,0
		M+	A		+0,000	+0,000	+0,221	+9,7	+0,0	+0,0
		M-	A		-0,000	-0,001	-0,001	-16,6	+0,0	-0,0
		G			-0,000	-0,001	-0,001	-7,9	+0,0	+0,0
		Q1			-0,000	+0,000	+0,172	+51,5	+0,0	+0,0
		W2			-0,000	+0,000	+0,091	+13,9	+0,0	+0,0
		M+	A		+0,000	+0,000	+0,227	+67,9	+0,0	+0,0
		M-	A		-0,000	-0,001	+0,000	+0,0	+0,0	+0,0
		G			-0,000	-0,001	-0,001	-7,9	+0,0	+0,0
		Q1			-0,000	+0,000	+0,044	+36,0	+0,0	-0,0
		W2			+0,000	+0,000	+0,044	+36,0	+0,0	+0,0
		M+	A		+0,000	+0,000	+0,044	+36,0	+0,0	+0,0
		M-	A		-0,000	-0,000	+0,000	+0,0	+0,0	-0,0
96		W2			+0,000	+0,000	+0,025	+18,0	+0,0	-0,0

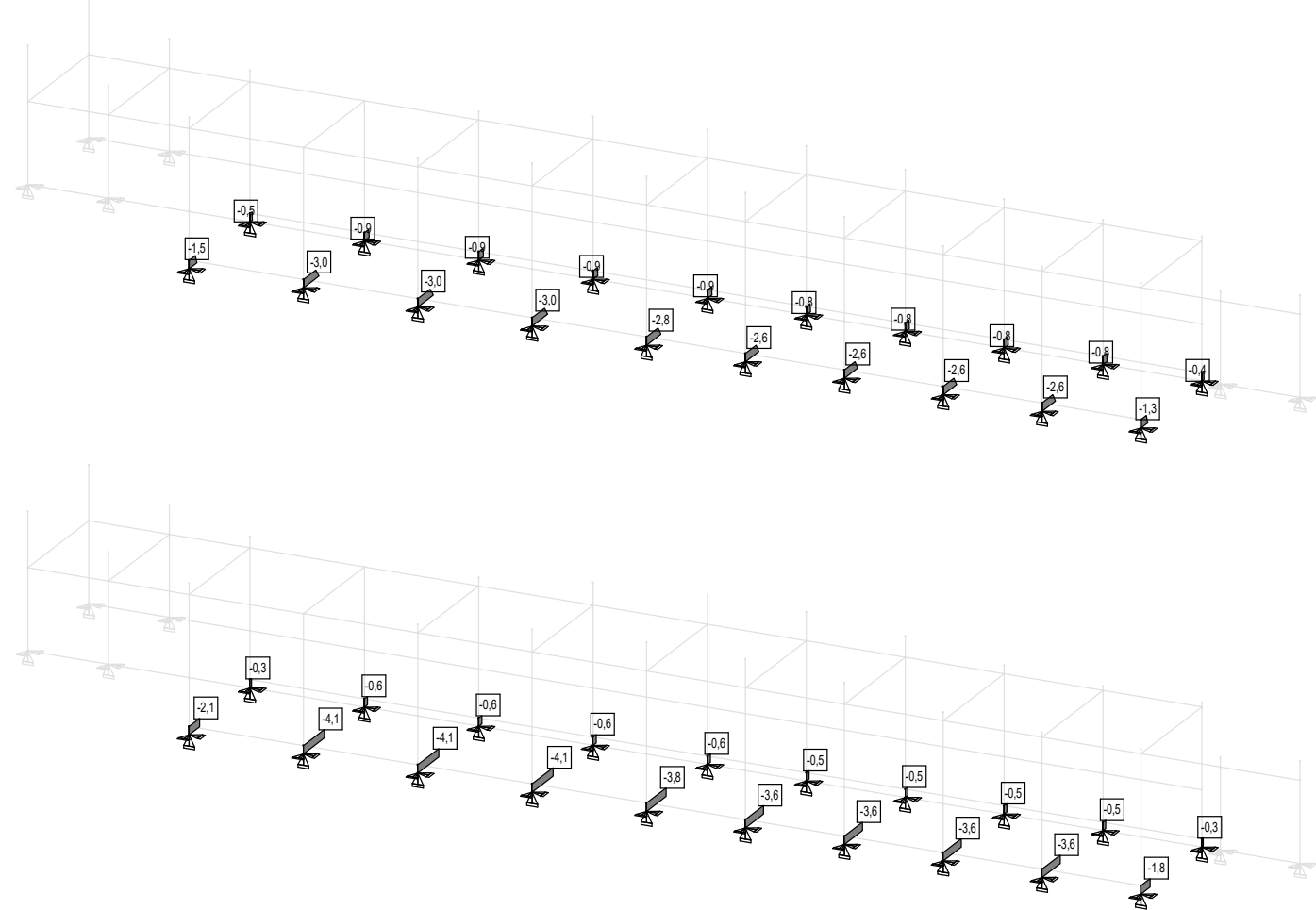
NN	Tipus	Hip	Id	Comb.	Dx(cm)	Dy	Dz	Gx(1E-5 rad)	Gy	Gz
97		M+	A		+0,000	+0,000	+0,025	+18,0	+0,0	+0,0

NN	Tipus	Hip	Id	Comb.	Dx(cm)	Dy	Dz	Gx(1E-5 rad)	Gy	Gz
109	____	Q1			+0,000	+0,000	+0,003	+39,4	+0,0	-0,0
		W2			+0,000	+0,000	+0,002	+31,0	+0,0	-0,0
		M+	A		+0,000	+0,000	+0,004	+57,8	+0,0	+0,0
		M-	A		-0,000	-0,000	-0,000	-0,9	+0,0	+0,0
110	____	Q1			+0,000	+0,000	+0,003	+39,4	+0,0	-0,0
		W2			+0,000	+0,000	+0,002	+28,6	+0,0	-0,0
		M+	A		+0,000	+0,000	+0,004	+55,7	+0,0	+0,0
		M-	A		-0,000	-0,000	-0,000	-0,9	+0,0	+0,0
111	____	Q1			-0,000	+0,000	+0,003	+36,8	+0,0	+0,0
		W2			-0,000	+0,000	+0,002	+31,1	+0,0	+0,0
		M+	A		+0,000	+0,000	+0,004	+55,9	+0,0	+0,0
		M-	A		+0,000	-0,000	-0,000	-0,9	+0,0	+0,0
112	____	Q1			-0,000	+0,000	+0,003	+34,1	+0,0	+0,0
		W2			-0,000	+0,000	+0,002	+29,4	+0,0	+0,0
		M+	A		+0,000	+0,000	+0,004	+52,4	+0,0	+0,0
		M-	A		+0,000	-0,000	-0,000	-0,9	-0,0	-0,0
113	____	Q1			-0,000	+0,000	+0,003	+34,1	+0,0	+0,0
		W2			-0,000	+0,000	+0,002	+26,8	+0,0	+0,0
		M+	A		+0,000	+0,000	+0,004	+49,8	+0,0	+0,0
		M-	A		+0,000	-0,000	-0,000	-0,9	-0,0	-0,0
114	____	Q1			-0,000	+0,000	+0,003	+34,1	+0,0	+0,0
		W2			-0,000	+0,000	+0,002	+26,8	+0,0	+0,0
		M+	A		+0,000	+0,000	+0,004	+49,8	+0,0	+0,0
		M-	A		+0,000	-0,000	-0,000	-0,9	+0,0	-0,0
115	____	Q1			-0,000	+0,000	+0,003	+34,1	+0,0	+0,0
		W2			+0,000	+0,000	+0,002	+26,8	+0,0	-0,0
		M+	A		+0,000	+0,000	+0,004	+49,8	+0,0	+0,0
		M-	A		-0,000	-0,000	-0,000	-0,9	+0,0	+0,0
116	____	Q1			-0,000	+0,000	+0,001	+17,1	+0,0	+0,0
		W2			+0,000	+0,000	+0,001	+14,0	+0,0	-0,0
		M+	A		+0,000	+0,000	+0,002	+25,1	+0,0	+0,0
		M-	A		-0,000	-0,000	-0,000	-0,9	+0,0	+0,0

6.3 Càlcul fixació de l'estructura

6.3.1 Fixació muntants a tauler

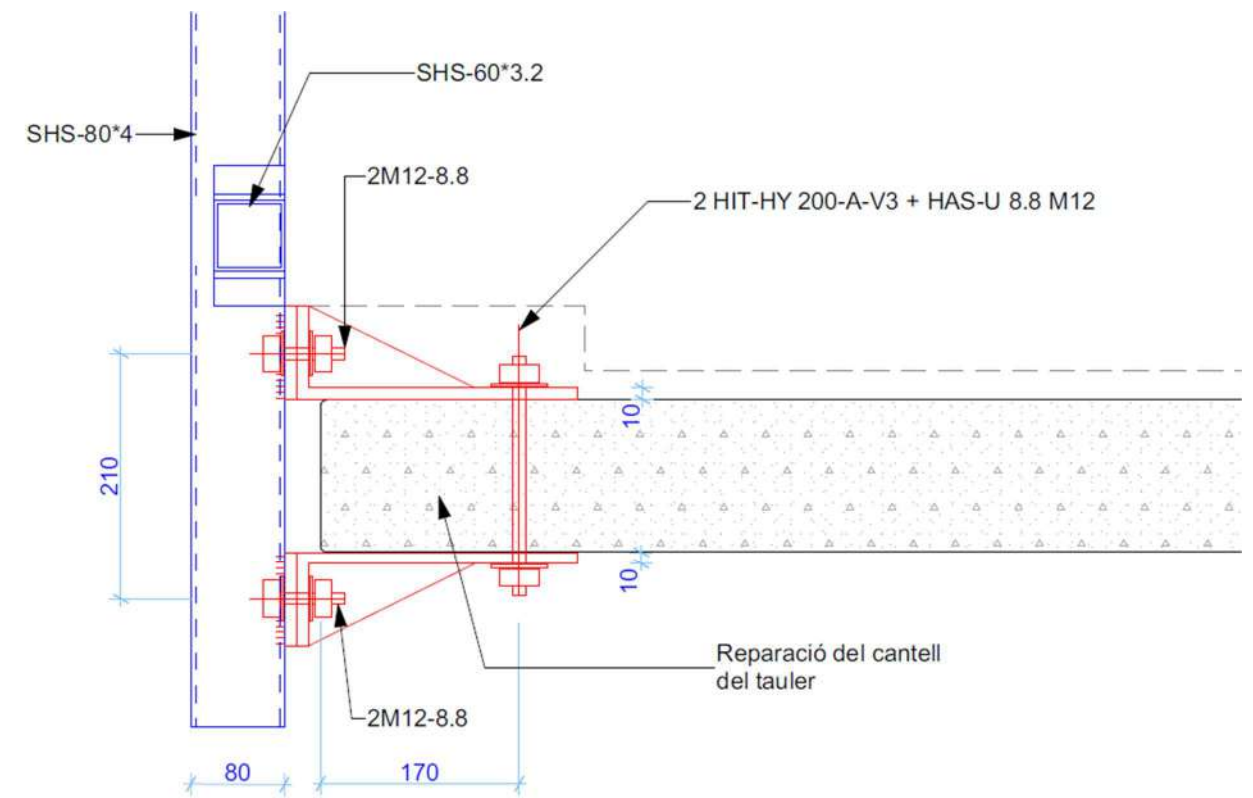
Esforços en la base del muntant:



$$M_{Sd} = 3,00 \text{ kN.m}$$

$$V_{Sd} = 4,10 \text{ kN}$$

El moment a la base es descomposa en un parell de forces que actuaran a la peça d'unió superior e inferior del taulell:



El braç de palanca és de 130 mm i correspon al gruix del taulell.

La obtenció de les forces i el càlcul dels cargols que subjecten el muntant es mostren a continuació:

Separació muntants =	2,1 m
Altura barana =	1,15 m
Càrrega CTE-AE-3.2	1,5 kN/ml
Coef. majorac =	1,5
Càrrega puntual =	4,725 kN/ml
Moment flector a la base =	5,434 kN.m
Moment real =	3 kN.m
Braç palanca sobre llosa =	0,13 m
Parell de forces =	23,08 kN
Cargols a tracció - compressió:	
nº cargols =	2
Ft,Rk M12-8,8=	60,70 kN
Ft,Rd =	48,56 kN
Tracció actuant per cargol =	11,54 kN
Verificació =	23,76% CORRECTE
Ancoratges a tallant :	
nº cargols =	2
Fv,Rk M12-8,8=	40,50 kN
Fv,Rd =	32,40 kN
Tallant actuant per cargol =	11,54 kN
Verificació =	35,61% CORRECTE
Ancoratges a aixafament:	
nº cargols =	2
Fb,Rk M12-8,8 (t=10 mm) =	99,20 kN Separacions recomanades
Fb,Rd =	79,36 kN
Tallant actuant per cargol =	11,54 kN
Verificació =	14,54% CORRECTE

La força horitzontal aplicada a cada ancoratge sobre el taulell serà de

$$F_t = 23,08 \text{ kN} + 4,1 \text{ kN}/2 = 25,13 \text{ kN}$$

S'adjunta el llistat de càlcul amb la solució escollida:

Hilti HAS-U 8.8 or HAS varilla roscada con HIT-HY 200-A V3 resina de inyección con 70 mm embedment h_{ef} , M12, Acero Galvanizado, Taladro a percusión instalación per ETA 19/0601, con relleno de taladro mediante Set dinámico Hilti u otra solución adecuada

HILTI Hilti PROFIS Engineering 3.1.10

www.hilti.es

Empresa:	ABM / ENGia	Página:	1
Dirección:		Proyectista:	
Teléfono / Fax:		Correo electrónico:	
Diseño:	Borrador, hormigón - 17 de oct. de 2024 (1)	Fecha:	13/2/2025
Sub Proyecto / Pos. No.:	ADIF TAULELL		

Comentarios del especificador:

1 Insertar datos

Tipo y tamaño de anclaje: HIT-HY 200-A V3 + HAS-U 8.8 M12  

Periodo de retorno (años de servicio): 50

Número de artículo: 2237084 HAS-U 8.8 M12x120 (Insertar) / 2378171
HIT-HY 200-A V3 (Resina)

Insert item # alternativa: 2390232 HAS 8.8 M12x120

Set dinámico/relleno, o cualquier solución adecuada para llenar un espacio anular

Profundidad efectiva de anclaje: $h_{et,act} = 70,0 \text{ mm}$ ($h_{et,limit} = - \text{ mm}$)

Material: 8.8

Informe de Evaluación: ETA 19/0601

Establecidos / Válidos: 29/1/2024 | -

Prueba: SOFA based on EN 1992-4 and fib bulletin 58, Chemical

Fijación a distancia: $e_b = 0,0 \text{ mm}$ (enrasado); $t = 12,0 \text{ mm}$

Placa de anclaje^R: $l_x \times l_y \times t = 260,0 \text{ mm} \times 220,0 \text{ mm} \times 12,0 \text{ mm}$; (Espesor de placa recomendado: no calculado)

Perfil: sin perfil

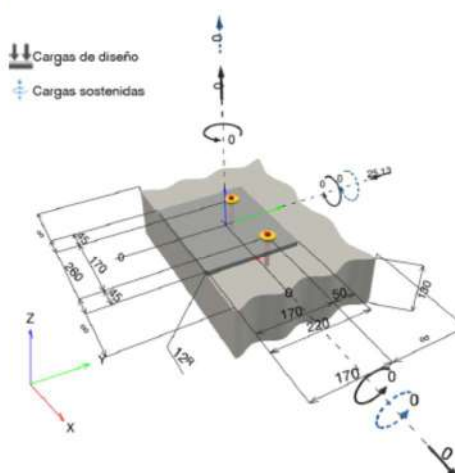
Material Base: no fisurado hormigón, C25/30, $f_{c,oy} = 25,00 \text{ N/mm}^2$; $h = 130,0 \text{ mm}$, Temp. corto/largo: 0/0 °C, Factor de seguridad parcial del material definido por el usuario $\gamma_c = 1,500$

Instalación: Hammer drilled hole, Condición de instalación: seco

Armadura: sin armadura o con armadura separada $\geq 150 \text{ mm}$ (cualquier Ø) o $\geq 100 \text{ mm}$ (para Ø $\leq 10 \text{ mm}$)
sin armadura de borde longitudinal

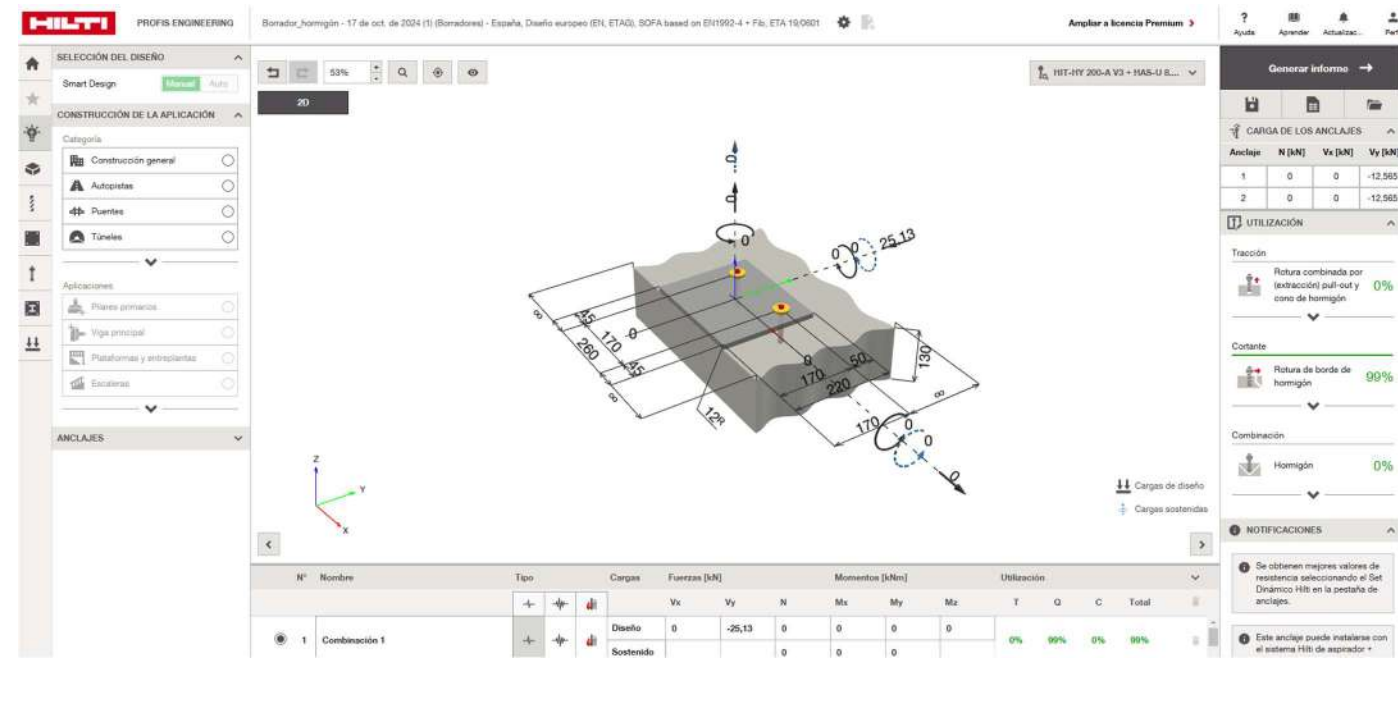
^R - El cálculo del anclaje se basa en una hipótesis de la placa de anclaje rígida.

Geometría [mm] & Carga [kN, kNm]



La introducción de datos y resultados deben verificarse, asegurando su correspondencia con las condiciones existentes y asegurando su verosimilitud.
PROFIS Engineering (c) 2003-2025. Hilti AG, FL-9494 Schaan. Hilti es una marca registrada de Hilti AG, Schaan.

PROJECTE PISTA COBERTA FORNELLS



HILTI
Hilti PROFIS Engineering 3.1.10

www.hilti.es

Empresa: ABM / ENGia
Dirección:
Teléfono I Fax:
Diseño: Borrador_hormigón - 17 de oct. de 2024 (1)
Sub Proyecto I Pos. No.: ADIF TAULELL

Página: 3
Proyectista:
Correo electrónico:
Fecha: 13/2/2025

3 Carga a tracción EN 1992-4, sección 7.2.1

Carga [kN]	Capacidad [kN]	Utilización β_N [%]	Estado
Fallo por Acero*	N/A	N/A	N/A
Rotura por cono de hormigón**	N/A	N/A	N/A
Fallo por fisuración (Splitting)**	N/A	N/A	N/A

* anclaje más solicitado **grupo de anclajes (anclajes en tracción)

HILTI

Hilti PROFIS Engineering 3.1.10

www.hilti.es
Empresa: ABM / ENGia
Dirección:
Teléfono I Fax:
Diseño: Borrador_hormigón - 17 de oct. de 2024 (1)
Sub Proyecto I Pos. No.: ADIF TAULELL

2

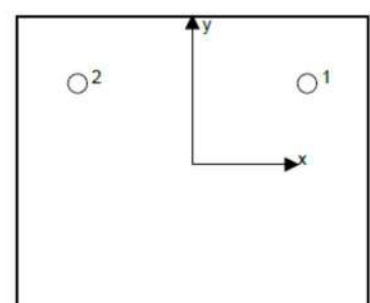
1.1 Combinación de cargas

Caso	Descripción	Fuerzas [kN] / Momentos [kNm]	Sismo	Fuego	Max. Útil. Anclaje [%]
1	Combinación 1	$N = 0,000; V_x = 0,000; V_y = -25,130;$ $M_x = 0,000; M_y = 0,000; M_z = 0,000;$ $N_{sus} = 0,000; M_{x,sus} = 0,000; M_{y,sus} = 0,000;$	no	no	99

2 Caso de carga/Resultante de cargas en los anclajes

Reacciones en el anclaje [kN]				
Carga a tracción: (+Tracción, -Compresión)				
Anclaje	Carga a tracción	Fuerza de cortante	Cortante en x	Cortante en y
1	0,000	12,565	0,000	-12,565
2	0,000	12,565	0,000	-12,565

Max. concrete compressive strain: - [%]
Max. concrete compressive stress: - [N/mm²]
Resulting tension force in (x/y)=(-/-): 0,000 [kN]
Resulting compression force in (x/y)=(-/-): 0,000 [kN]



Las fuerzas del anclaje se calculan suponiendo que la placa base ofrece la rigidez correcta.



Hilti PROFIS Engineering 3.1.10

www.hilti.es	ABM / ENGia	Página:	4
Empresa:		Proyectista:	
Dirección:		Correo electrónico:	
Teléfono / Fax:			
Diseño:	Borrador_hormigón - 17 de oct. de 2024 (1)	Fecha:	13/2/2025
Sub Proyecto / Pos. No.:	ADIF TAÜELL		

4 Carga de cortante EN 1992-4, Sección 7.2.2

Carga [kN]	Capacidad [kN]	Utilización β_V [%]	Estado
Fallo por Acero (sin brazo de palanca)*	12,565	26,976	47 OK
Fallo por Acero (con brazo de palanca)*	N/A	N/A	N/A
Fallo por desconchamiento**	25,130	77,716	33 OK
Rotura de borde de hormigón en dirección y-**	25,130	25,424	99 OK
V _{Ed} ≤ V _{Rd,s}			EN 1992-4, Tabla 7.2
V _{Rd,s} = k _t · V _{Rd,c}			EN 1992-4, Eq. (7.35)
V _{Rd,c} [kN]	k _t	V _{Rd,c} [kN]	γ_{Ms}
33,720	1,000	33,720	1,250
			V _{Rd,s} [kN]
			26,976
			V _{Ed} [kN]
			12,565

4.1 Fallo por Acero (sin brazo de palanca)

$$V_{Ed} \leq V_{Rd,s} = \frac{V_{Rd,c}}{\gamma_{Ms}}$$

EN 1992-4, Tabla 7.2

$$V_{Rd,s} = k_t \cdot V_{Rd,c}$$

EN 1992-4, Eq. (7.35)

$$V_{Rd,c}^0 [kN] \quad k_t \quad V_{Rd,c} [kN] \quad \gamma_{Ms} \quad V_{Rd,s} [kN] \quad V_{Ed} [kN]$$

4.2 Fallo por desconchamiento (control resistencia por cono de hormigón)

$$V_{Ed} \leq V_{Rd,op} = \frac{V_{Rd,c}}{\gamma_{Mc,p}}$$

EN 1992-4, Tabla 7.2

$$V_{Rd,op} = k_s \cdot \min\{N_{Rd,c}, N_{Rd,p}\}$$

EN 1992-4, Eq. (7.39c)

$$N_{Rd,c} = N_{Rd,0}^0 \cdot \frac{A_{c,N}^0}{A_{c,N}^0} \cdot \psi_{s,N} \cdot \psi_{re,N} \cdot \psi_{ec1,N} \cdot \psi_{ec2,N} \cdot \psi_{M,N}$$

EN 1992-4, Eq. (7.1)

$$N_{Rd,p}^0 = k_1 \cdot \sqrt{f_{ck}} \cdot h_{ef}^{1,5}$$

EN 1992-4, Eq. (7.2)

$$A_{c,N}^0 = s_{cr,N} \cdot s_{ct,N}$$

EN 1992-4, Eq. (7.3)

$$\psi_{s,N} = 0,7 + 0,3 \cdot \frac{c}{c_{cr,N}} \leq 1,00$$

EN 1992-4, Eq. (7.4)

$$\psi_{ec1,N} = \frac{1}{1 + \left(\frac{2 \cdot e_{v,1}}{s_{cr,N}} \right)} \leq 1,00$$

EN 1992-4, Eq. (7.6)

$$\psi_{ec2,N} = \frac{1}{1 + \left(\frac{2 \cdot e_{v,2}}{s_{cr,N}} \right)} \leq 1,00$$

EN 1992-4, Eq. (7.6)

$$\psi_{M,N} = 1$$

EN 1992-4, Eq. (7.7)

A _{c,N} [mm ²]	A _{c,N} ⁰ [mm ²]	c _{cr,N} [mm]	s _{cr,N} [mm]	k _s	f _{ck,sy} [N/mm ²]
79,800	44,100	105,0	210,0	2,000	25,00
e _{cv} [mm]	$\psi_{ec1,N}$	e _{cv} [mm]	$\psi_{ec2,N}$	$\psi_{s,N}$	$\psi_{re,N}$
0,0	1,000	0,0	1,000	1,000	1,000
k _t	N _{Rd,c} ⁰ [kN]	$\gamma_{Mc,p}$	V _{Rd,op} [kN]	V _{Ed} [kN]	
11,000	32,211	1,500	77,716	25,130	

ID grupo de anclajes

1, 2



Hilti PROFIS Engineering 3.1.10

www.hilti.es	ABM / ENGia	Página:	5
Empresa:		Proyectista:	
Dirección:		Correo electrónico:	
Teléfono / Fax:			
Diseño:	Borrador_hormigón - 17 de oct. de 2024 (1)	Fecha:	13/2/2025
Sub Proyecto / Pos. No.:	ADIF TAÜELL		

4.3 Rotura de borde de hormigón en dirección y-

$$V_{Ed} \leq V_{Rd,c} = \frac{V_{Rd,c}}{\gamma_{Mc}}$$

EN 1992-4, Tabla 7.2

$$V_{Rd,c} = k_t \cdot V_{Rd,c}^0 \cdot \frac{A_{c,V}^0}{A_{c,V}^0} \cdot \psi_{s,V} \cdot \psi_{h,V} \cdot \psi_{s,V} \cdot \psi_{ec,V} \cdot \psi_{re,V}$$

EN 1992-4, Eq. (7.40)

$$V_{Rd,c}^0 = k_g \cdot d_{nom}^0 \cdot \frac{l}{l_f} \cdot \sqrt{f_{ck}} \cdot c_1^{1,5}$$

EN 1992-4, Eq. (7.41)

$$\alpha = 0,1 \cdot \left(\frac{l}{c_1} \right)^{0,5}$$

EN 1992-4, Eq. (7.42)

$$\beta = 0,1 \cdot \left(\frac{d_{nom}}{c_1} \right)^{0,2}$$

EN 1992-4, Eq. (7.43)

$$A_{c,V}^0 = 4,5 \cdot c_1^2$$

EN 1992-4, Eq. (7.44)

$$\psi_{s,V} = 0,7 + 0,3 \cdot \frac{c_2}{1,5 \cdot c_1} \leq 1,00$$

EN 1992-4, Eq. (7.45)

$$\psi_{h,V} = \left(\frac{1,5 \cdot c_1}{h} \right)^{0,5} \geq 1,00$$

EN 1992-4, Eq. (7.46)

$$\psi_{ec,V} = \frac{1}{1 + \left(\frac{2 \cdot e_{cv}}{3 \cdot c_1} \right)} \leq 1,00$$

EN 1992-4, Eq. (7.47)

$$\psi_{re,V} = 4,0 \cdot k_4 \cdot \left(\frac{n_2 \cdot d_{nom}^2 \cdot f_{ck}}{V_{Rd,c,0}} \right)^{0,5} \leq 4,00$$

Boletín fib 58, Ec. (10.2-5f)

$$\psi_{s,V} = \sqrt{\frac{1}{(\cos \alpha_V)^2 + (\frac{\sin \alpha_V}{\psi_{re,V}})^2}} \geq 1,00$$

Boletín fib 58, Ec. (10.2-5f)

l [mm]	d _{nom} [mm]	k _s	α	β	f _{ck,sy} [N/mm ²]	c ₁ [mm]
70,0	12,00	2,400	0,064	0,059	25,00	170,0
88,400	130,050	1,000	1,401	0,0	1,000	
1,0	2	38,135	1,738	0,00	1,000	1,000
V _{Rd,c} ⁰ [kN]	k _t	γ_{Mc}	V _{Rd,c} [kN]	V _{Ed} [kN]		
40,058	1,0	1,500	25,424	25,130		

ID grupo de anclajes

1, 2

When the input edge distance is set to "infinity", edge breakout verification is not performed in that direction



Hilti PROFIS Engineering 3.1.10

www.hilti.es	ABM / ENGia	Página:	6
Empresa:		Proyectista:	
Dirección:		Correo electrónico:	
Teléfono I Fax:		Fecha:	
Diseño:	Borrador hormigón - 17 de oct. de 2024 (1)		
Sub Proyecto I Pos. No.:	ADIF TAÜLELL		13/2/2025

5 Desplazamientos (anclaje más solicitado)

Cargas de corto plazo:		
N_{sk} = 0,000 [kN]	δ_N = 0,0000 [mm]	
V_{sk} = 9,307 [kN]	δ_V = 0,4654 [mm]	
	δ_{NV} = 0,4654 [mm]	
Carga de largo plazo:		
N_{sk} = 0,000 [kN]	δ_N = 0,0000 [mm]	
V_{sk} = 9,307 [kN]	δ_V = 0,7446 [mm]	
	δ_{NV} = 0,7446 [mm]	

Comentarios: Desplazamientos a tracción son válidos con la mitad del par de apriete requerido no fisurado ¡Hormigón! Los desplazamientos son válidos sin rozamiento entre el hormigón y la placa de anclaje! La holgura entre el taladro en el hormigón y en la placa no son considerados en este cálculo.

¡Los desplazamientos aceptables en los anclajes dependen del tipo de construcción de la fijación y deben ser definidos por el proyectista!

6 Avisos

- No se considera la redistribución de carga entre los anclajes debido a deformaciones elásticas de la placa. ¡Se asume que la placa es suficientemente rígida, para evitar que se deforme cuando se somete a cargas! ¡Los datos de entrada y resultados deben ser comprobados para verificar que se encuentran conformes con las condiciones existentes y que sean admisibles!
- The equations presented in this report are based on metric units. When inputs are displayed in imperial units, the user should be aware that the equations remain in their metric format.
- ¡Verificación de la transferencia de cargas al material base es necesaria según fiEN 1992-4, Anexo A!
- ¡El diseño solo es válido si la holgura en la instalación no es mayor que los valores dados en la Tabla 6.1 de la EN 1992-4! Para holguras mayores ver sección 6.2.2 de la EN 1992-4!
- La lista de accesorios en este informe es sólo para información del usuario. En cualquier caso, las instrucciones para el uso, mostradas en el producto, deben ser seguidas para asegurar una correcta instalación.
- Para la determinación del $\psi_{n,v}$ (fallo del borde del hormigón) se utiliza el recubrimiento mínimo de hormigón definido en los ajustes de diseño como recubrimiento de hormigón de la armadura de borde.
- Please note that this design utilizes user defined material safety factor values that differ from the default values recommended in EN1992-4. Partial Safety factor value: $\gamma_c = 1,500$
- El taladro debe limpiarse de acuerdo con la homologación (soplar 4 veces con el bombín de limpieza, cepillar 4 veces y volver a soplar 4 veces con el bombín).
- La tensión de adherencia característica depende de las temperaturas de corto y largo plazo
- No se requiere armadura de borde para evitar rotura por splitting
- El diseño sólo es válido si el agujero se rellena para eliminar el espacio libre, espacio libre según EN 1992-4 Tabla 6.1
- Las resistencias de adherencia características dependen del periodo de retorno (vida útil en años): 50

¡La fijación cumple los criterios de diseño!



Hilti PROFIS Engineering 3.1.10

www.hilti.es

Empresa:	ABM / ENGia	Página:	7
Dirección:		Proyectista:	
Teléfono I Fax:		Correo electrónico:	
Diseño:	Borrador hormigón - 17 de oct. de 2024 (1)	Fecha:	13/2/2025
Sub Proyecto I Pos. No.:	ADIF TAÜLELL		

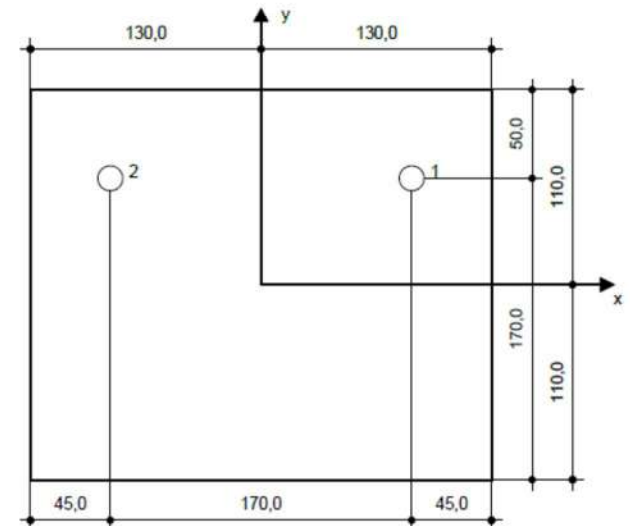
7 Datos de instalación

Placa de anclaje, acero: S 235; E = 210.000,00 N/mm ² , f _{ck} = 235,00 N/mm ²	Tipo y tamaño de anclaje: HIT-HY 200-A V3 + HAS-U 8.8 M12
Perfil: sin perfil	Número de artículo: 2237084 HAS-U 8.8 M12x120 (Insertar) / 2378171 HIT-HY 200-A V3 (Resina)
Diámetro de taladro en chapa: d _t = 14,0 mm	Insert item # alternativa: 2390232 HAS 8.8 M12x120
Espesor de placa (introducir): 12,0 mm	Par de apriete máximo: 40 Nm
Espesor de placa recomendado: no calculado	Diámetro de taladro en material base: 14,0 mm
Método de perforación: Taladro a rotopercisión	Profundidad de taladro (min/max): 70,0 mm
Limpieza: Se requiere limpieza manual del taladro de acuerdo a las instrucciones del fabricante	Mínimo espesor del material base: 100,0 mm

Hilti HAS-U 8.8 or HAS varilla roscada with HIT-HY 200-A V3 resina de inyección with 70 mm embedment hef, M12, Acero Galvanizado, Taladro a percusión installation per ETA 19/0601, con relleno de taladro mediante Set dinámico Hilti u otra solución adecuada

7.1 Accesorios recomendados

Taladro	Limpieza	Instalación
<ul style="list-style-type: none"> Taladro a rotopercisión adecuado Tamaño adecuado de broca 	<ul style="list-style-type: none"> Bombín de limpieza Diámetro adecuado de cepillo de alambre 	<ul style="list-style-type: none"> El sistema de inyección incluye el mezclador y porta-cartuchos Para longitudes de empotramiento elevadas se requiere de un pistón de inyección Llave dinamométrica

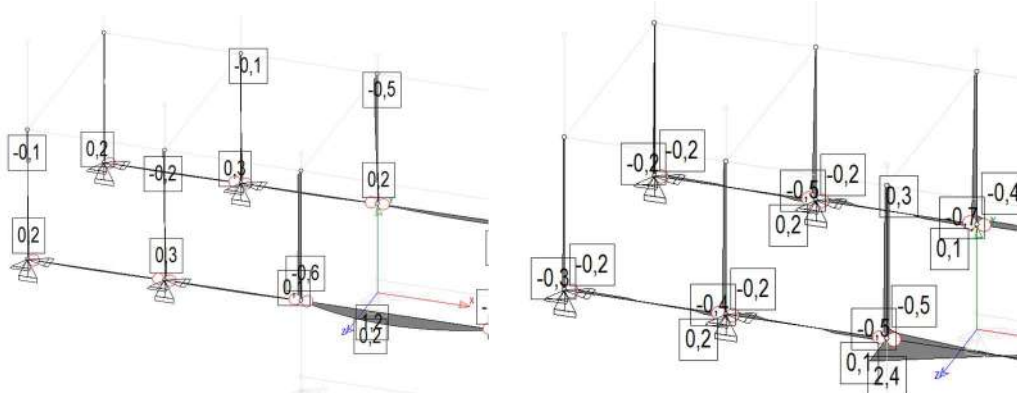


Coordenadas del anclaje [mm]

Anclaje	x	y	c _x	c _{-x}	c _y	c _{-y}
1	85,0	60,0	-	-	170,0	-
2	-85,0	60,0	-	-	170,0	-

6.3.2 Fixació muntants a mur de formigó

Esforsos:



$$M_{Sd} = 0,3 \text{ kN.m}$$

$$V_{Sd} = 0,4 \text{ kN}$$

Es realitza el càlcul de l'ancoratge amb els esforços mínim de:

$$M_{Sd} = 1,0 \text{ kN.m}$$

$$V_{Sd} = 2,0 \text{ kN}$$

S'adjunta el llistat de càlcul amb la solució escollida:

Hilti HUS anclaje de atornillado con 60 mm de empotramiento, 12 h_nom1, Acero Galvanizado, instalado según ETA-20/0867



Hilti PROFIS Engineering 3.1.10

www.hilti.es

Empresa: ABM / ENGIa
Dirección:
Teléfono / Fax:
Diseño:
Sub Proyecto I Pos. No.: hormigón - 26 de jun. de 2020
ADIF

Página:
Proyectista:
Correo electrónico:
Fecha:

1
13/2/2025

Comentarios del especificador: ANCORATGE SOBRE MUR

1 Insertar datos

Tipo y tamaño de anclaje: HUS4-H 12 h_nom1



Período de retorno (años de servicio): 50

Número de artículo: 2293565 HUS4-H 12x70 10/-

Specification text: Hilti HUS anclaje de atornillado con 60 mm de empotramiento, 12 h_nom1, Acero Galvanizado, instalado según ETA-20/0867

Profundidad efectiva de anclaje:

$h_{ef} = 45,9 \text{ mm}$ ($h_{ef,ETA} = 45,9 \text{ mm}$), $h_{nom} = 60,0 \text{ mm}$

Material: Carbon Steel

Informe de Evaluación: ETA-20/0867

Establecidos I Válidos: 25/4/2024 | -

Prueba: método de cálculo ETAG (Nº 001 Anejo C(2010))

$e_b = 0,0 \text{ mm}$ (enrasado); $t = 10,0 \text{ mm}$

Placa de anclaje^R: $l_x \times l_y \times t = 180,0 \text{ mm} \times 200,0 \text{ mm} \times 10,0 \text{ mm}$; (Espesor de placa recomendado: no calculado)

Perfil: Perfil Cuadrado, 80 x 80 x 8,0; ($L \times W \times T$) = 80,0 mm x 80,0 mm x 8,0 mm

Material Base: no fisurado hormigón, C35/45, $f_{c,cubo} = 45,00 \text{ N/mm}^2$; $h = 800,0 \text{ mm}$

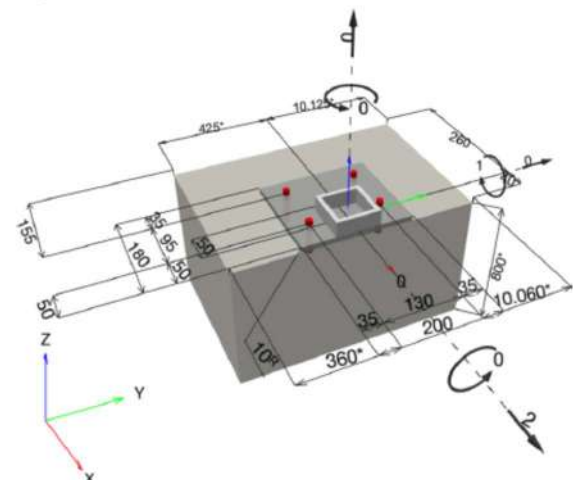
Instalación: Hammer drilled hole, Condición de instalación: seco

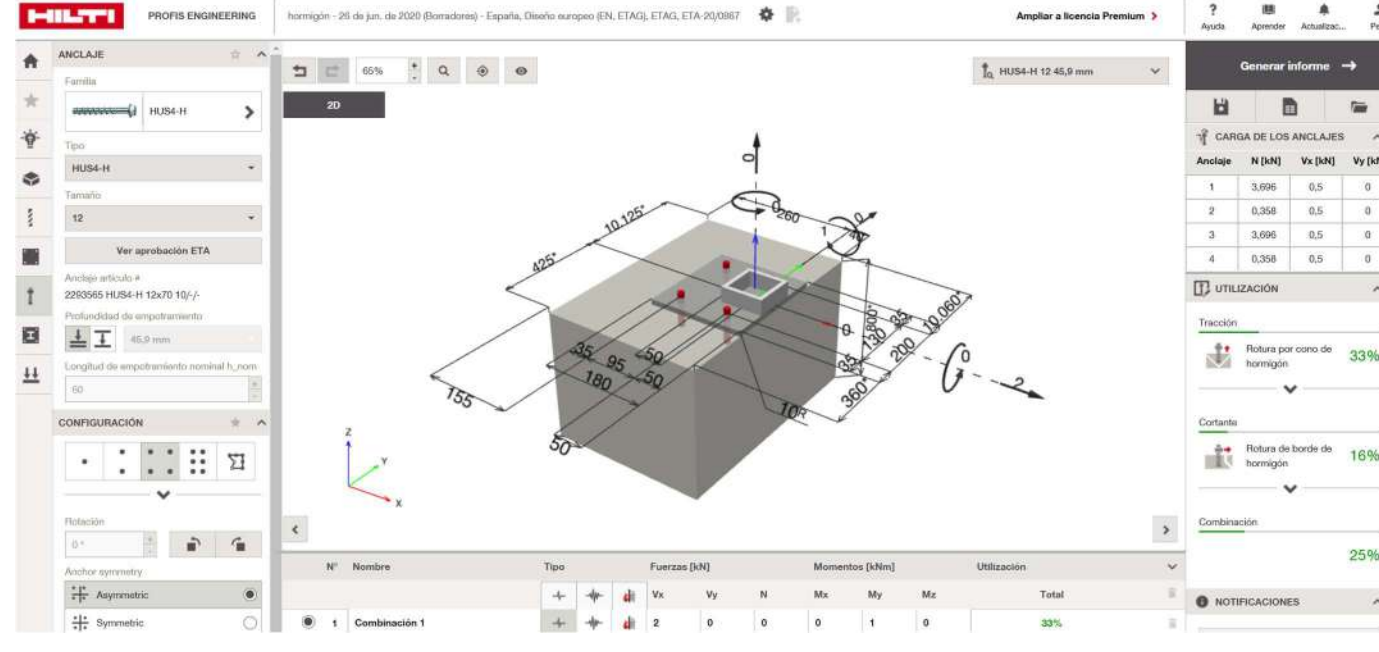
Armadura: sin armadura o con armadura separada $\geq 150 \text{ mm}$ (cualquier Ø) o $\geq 100 \text{ mm}$ (para Ø $\leq 10 \text{ mm}$)

sin armadura de borde longitudinal

^R - El cálculo del anclaje se basa en una hipótesis de la placa de anclaje rígida.

Geometría [mm] & Carga [kN, kNm]





www.hilti.es		Página: 2	
Empresa:	ABM / ENGia	Proyectista:	
Dirección:		Correo electrónico:	
Teléfono I Fax:		Fecha:	13/2/2025
Diseño:	hormigón - 26 de jun. de 2020	Sub Proyecto I Pos. No.:	ADIF

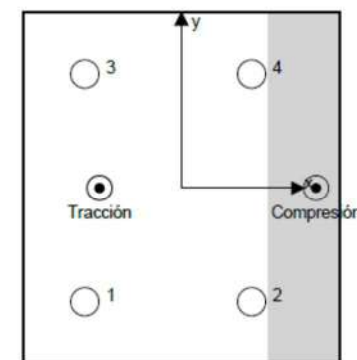
1.1 Combinación de cargas

Caso	Descripción	Fuerzas [kN] / Momentos [kNm]	Sismo	Fuego	Max. Útil. Anclaje [%]
1	Combinación 1	N = 0,000; V _x = 2,000; V _y = 0,000; M _x = 0,000; M _y = 1,000; M _z = 0,000;	no	no	33

2 Caso de carga/Resultante de cargas en los anclajes

Reacciones en el anclaje [kN]				
Carga a tracción: (+Tracción, -Compresión)				
Anclaje	Carga a tracción	fuerza de cortante en x	Cortante en y	
1	3,696	0,500	0,500	0,000
2	0,358	0,500	0,500	0,000
3	3,696	0,500	0,500	0,000
4	0,358	0,500	0,500	0,000

Max. concrete compressive strain: 0,07 [%]
 Max. concrete compressive stress: 2,04 [N/mm²]
 Resulting tension force in (x/y)=(-46,6/0,0): 8,108 [kN]
 Resulting compression force in (x/y)=(76,7/0,0): 8,108 [kN]



Las fuerzas del anclaje se calculan suponiendo que la placa base ofrece la rigidez correcta.



Hilti PROFIS Engineering 3.1.10

www.hilti.es

Empresa:	ABM / ENGia	Página:	3
Dirección:		Proyectista:	
Teléfono I Fax:		Correo electrónico:	
Diseño:	hormigón - 26 de jun. de 2020	Fecha:	13/2/2025
Sub Proyecto I Pos. No.:	ADIF		

3 Carga a tracción (ETAG, Anejo C, Sección 5.2.2)

Carga [kN]	Capacidad [kN]	Utilización β_h [%]	Estado
Fallo por Acero*	3,696	52,667	OK
Fallo por extracción*	3,696	14,046	OK
Rotura por cono de hormigón**	8,108	24,823	OK
Fallo por fisuración (Splitting)**	8,108	33,789	OK

* anclaje más solicitado **grupo de anclajes (anclajes en tracción)

3.1 Fallo por Acero

$$N_{sd} \leq N_{Rd,s} = \frac{N_{Rk,s}}{\gamma_{Ms}}$$

ETAG 001 Anexo C, Tabla 5.2.2.1

$N_{Rk,s}$ [kN]	γ_{Ms}	$N_{Rd,s}$ [kN]	N_{sd} [kN]
79,000	1,500	52,667	3,696

3.2 Fallo por extracción

$$N_{sd} \leq N_{Rd,p} = \frac{\psi_c \cdot N_{Rk,p}}{\gamma_{Mp}}$$

ETAG 001 Anexo C, Tabla 5.2.2.1

$N_{Rk,p}$ [kN]	ψ_c	γ_{Mp}	$N_{Rd,p}$ [kN]	N_{sd} [kN]
15,704	1,342	1,500	14,046	3,696



Hilti PROFIS Engineering 3.1.10

www.hilti.es		Página:		4
Empresa:	ABM / ENGia	Proyectista:		
Dirección:		Correo electrónico:		
Teléfono I Fax:		Fecha:		
Diseño:	hormigón - 26 de jun. de 2020			
Sub Proyecto I Pos. No.:	ADIF			

3.3 Rotura por cono de hormigón

$$\begin{aligned} N_{sg} &\leq N_{Rd,c} = \frac{N_{Rk,c}}{\gamma_{Mc}} && \text{ETAG 001 Anexo C, Tabla 5.2.2.1} \\ N_{Rk,c} &= N_{Rk,c}^0 \cdot \frac{A_{c,N}^0}{A_{c,N}} \cdot \psi_{s,N} \cdot \psi_{re,N} \cdot \psi_{ec1,N} \cdot \psi_{ec2,N} && \text{ETAG 001 Anexo C, Eq. (5.2)} \\ N_{Rk,c}^0 &= k_1 \cdot \sqrt{f_{ck,cube}} \cdot h_{ef}^{1.5} && \text{ETAG 001 Anexo C, Eq. (5.2a)} \\ A_{c,N}^0 &= s_{cr,N} \cdot s_{cr,sp} && \text{ETAG 001 Anexo C, Eq. (5.2b)} \\ \psi_{s,N} &= 0,7 + 0,3 \cdot \frac{c}{c_{cr,N}} \leq 1,00 && \text{ETAG 001 Anexo C, Eq. (5.2c)} \\ \psi_{re,N} &= 0,5 + \frac{h_{ef}}{200} \leq 1,00 && \text{ETAG 001 Anexo C, Eq. (5.2d)} \\ \psi_{ec1,N} &= \frac{1}{1 + 2 \cdot e_{c1,N}} \leq 1,00 && \text{ETAG 001 Anexo C, Eq. (5.2e)} \\ \psi_{ec2,N} &= \frac{1}{1 + 2 \cdot e_{c2,N}} \leq 1,00 && \text{ETAG 001 Anexo C, Eq. (5.2e)} \end{aligned}$$

A _{c,N} [mm ²]	A _{c,N} ⁰ [mm ²]	c _{cr,N} [mm]	s _{cr,N} [mm]		
57.248	18.961	68,8	137,7		
e _{c1,N} [mm]	ψ _{ec1,N}	e _{c2,N} [mm]	ψ _{ec2,N}	ψ _{s,N}	ψ _{re,N}
39,1	0,638	0,0	1,000	0,918	1,000

k ₁	N _{Rk,c} ⁰ [kN]	γ _{Mc}	N _{Rd,c} [kN]	N _{sg} [kN]
10,100	21,069	1,500	24,823	8,108

ID grupo de anclajes
1-4

Hilti PROFIS Engineering 3.1.10

www.hilti.es		Página:		5
Empresa:	ABM / ENGia	Proyectista:		
Dirección:		Correo electrónico:		
Teléfono I Fax:		Fecha:		

3.4 Fallo por fisuración (Splitting)

$$\begin{aligned} N_{sg} &\leq N_{Rd,sp} = \frac{N_{Rk,sp}}{\gamma_{Msp}} && \text{ETAG 001 Anexo C, Tabla 5.2.2.1} \\ N_{Rk,sp} &= N_{Rk,c}^0 \cdot \frac{A_{c,N}^0}{A_{c,N}} \cdot \psi_{s,N} \cdot \psi_{re,N} \cdot \psi_{ec1,N} \cdot \psi_{ec2,N} \cdot \psi_{h,sp} && \text{ETAG 001 Anexo C, Eq. (5.3)} \\ N_{Rk,c}^0 &= k_1 \cdot \sqrt{f_{ck,cube}} \cdot h_{ef}^{1.5} && \text{ETAG 001 Anexo C, Eq. (5.2a)} \\ A_{c,N}^0 &= s_{cr,sp} \cdot s_{cr,sp} && \text{ETAG 001 Anexo C, Eq. (5.2b)} \\ \psi_{s,N} &= 0,7 + 0,3 \cdot \frac{c}{c_{cr,sp}} \leq 1,00 && \text{ETAG 001 Anexo C, Eq. (5.2c)} \\ \psi_{re,N} &= \frac{1}{1 + \left(\frac{2 \cdot e_{c1,N}}{s_{cr,sp}} \right)} \leq 1,00 && \text{ETAG 001 Anexo C, Eq. (5.2d)} \\ \psi_{ec1,N} &= \frac{1}{1 + \left(\frac{2 \cdot e_{c2,N}}{s_{cr,sp}} \right)} \leq 1,00 && \text{ETAG 001 Anexo C, Eq. (5.2e)} \\ \psi_{ec2,N} &= \left(\frac{h}{h_{min}} \right)^{2/3} \leq 1,5 && \text{ETAG 001 Anexo C, Eq. (5.3a)} \end{aligned}$$

A _{c,N} [mm ²]	A _{c,N} ⁰ [mm ²]	c _{cr,sp} [mm]	s _{cr,sp} [mm]	h _{min} [mm]	ψ _{h,sp}
62.130	22.943	75,7	151,5	0,0	1,500
e _{c1,N} [mm]	ψ _{ec1,N}	e _{c2,N} [mm]	ψ _{ec2,N}	ψ _{s,N}	ψ _{re,N}
39,1	0,659	0,0	1,000	0,898	1,000

ID grupo de anclajes
1-4



Hilti PROFIS Engineering 3.1.10

www.hilti.es		Página:	6
Empresa:	ABM / ENGiA	Proyectista:	
Dirección:		Correo electrónico:	
Teléfono I Fax:		Fecha:	
Diseño:	hormigón - 26 de jun. de 2020		13/2/2025
Sub Proyecto I Pos. No.:	ADIF		

4 Carga de cortante (ETAG, Anejo C, Sección 5.2.3)

Carga [kN]	Capacidad [kN]	Utilización β_v [%]	Estado
Fallo por Acero (sin brazo de palanca)*	0,500	24,896	OK
Fallo por Acero (con brazo de palanca)*	N/A	N/A	N/A
Fallo por desconchamiento**	2,000	38,925	6
Rotura de borde de hormigón en dirección x+**	2,000	12,651	16
			OK

* anclaje más solicitado **grupo de anclajes (anclajes relevantes)

4.1 Fallo por Acero (sin brazo de palanca)

$$V_{sd} \leq V_{Rd,s} = \frac{V_{Rd,s}}{\gamma_{Mc}} \quad \text{ETAG 001 Anexo C, Tabla 5.2.3.1}$$

$V_{Rd,s}$ [kN]	γ_{Mc}	$V_{Rd,s}$ [kN]	V_{sd} [kN]
31,120	1,250	24,896	0,500

4.2 Fallo por desconchamiento

$$V_{sd} \leq V_{Rd,sp} = \frac{V_{Rd,sp}}{\gamma_{Mc,p}} \quad \text{ETAG 001 Anexo C, Tabla 5.2.3.1}$$

$$\psi_{Rd,sp} = k \cdot N_{Rd,c} \quad \text{ETAG 001 Anexo C, Eq. (5.6)}$$

$$N_{Rd,c} = N_{Rd,c}^0 \cdot \frac{A_{c,N}}{A_{c,N}^0} \cdot \psi_{s,N} \cdot \psi_{re,N} \cdot \psi_{ec1,N} \cdot \psi_{ec2,N} \quad \text{ETAG 001 Anexo C, Eq. (5.2)}$$

$$N_{Rd,c}^0 = k_1 \cdot d_{nom}^{0.5} \cdot h_{ef}^{1.5} \quad \text{ETAG 001 Anexo C, Eq. (5.2a)}$$

$$A_{c,N}^0 = s_{cr,N} \cdot s_{cr,N} \quad \text{ETAG 001 Anexo C, Eq. (5.2b)}$$

$$\psi_{s,N} = 0,7 + 0,3 \cdot \frac{c}{c_{cr,N}} \leq 1,00 \quad \text{ETAG 001 Anexo C, Eq. (5.2c)}$$

$$\psi_{re,N} = 0,5 + \frac{h_{ef}}{200} \leq 1,00 \quad \text{ETAG 001 Anexo C, Eq. (5.2d)}$$

$$\psi_{ec1,N} = \frac{1}{1 + 2 \cdot e_{c1,V}} \leq 1,00 \quad \text{ETAG 001 Anexo C, Eq. (5.2e)}$$

$$\psi_{ec2,N} = \frac{1}{1 + 2 \cdot e_{c2,V}} \leq 1,00 \quad \text{ETAG 001 Anexo C, Eq. (5.2e)}$$

$A_{c,N}$ [mm ²]	$A_{c,N}^0$ [mm ²]	$c_{cr,N}$ [mm]	$s_{cr,N}$ [mm]	k-factor
57.248	18.961	68,8	137,7	1,000
$e_{c1,V}$ [mm]	$\psi_{ec1,N}$	$e_{c2,V}$ [mm]	$\psi_{ec2,N}$	$\psi_{s,N}$
0,0	1,000	0,0	1,000	0,918

$N_{Rd,c}^0$ [kN]	$\gamma_{Mc,p}$	$V_{Rd,sp}$ [kN]	V_{sd} [kN]
21,069	1,500	38,925	2,000

ID grupo de anclajes

1-4



Hilti PROFIS Engineering 3.1.10

www.hilti.es		Página:	7
Empresa:	ABM / ENGiA	Proyectista:	
Dirección:		Correo electrónico:	
Teléfono I Fax:		Fecha:	
Diseño:	hormigón - 26 de jun. de 2020		13/2/2025
Sub Proyecto I Pos. No.:	ADIF		

4.3 Rotura de borde de hormigón en dirección x+

$$V_{sd} \leq V_{Rd,c} = \frac{V_{Rd,c}}{\gamma_{Mc}} \quad \text{ETAG 001 Anexo C, Tabla 5.2.3.1}$$

$$V_{Rd,c} = \sqrt{V_{Rd,c}^0 \cdot \frac{A_{c,V}}{A_{c,V}^0} \cdot \psi_{s,V} \cdot \psi_{n,V} \cdot \psi_{s,V} \cdot \psi_{ec,V} \cdot \psi_{re,V}} \quad \text{ETAG 001 Anexo C, Eq. (5.7)}$$

$$V_{Rd,c}^0 = k_1 \cdot d_{nom}^{0.5} \cdot l_f^{0.5} \cdot \sqrt{\alpha_{Rd,c} \cdot c_1^{1.5}} \quad \text{ETAG 001 Anexo C, Eq. (5.7a)}$$

$$\alpha = 0,1 \left(\frac{l_f}{c_1} \right)^{0.5} \quad \text{ETAG 001 Anexo C, Eq. (5.7b)}$$

$$\beta = 0,1 \cdot \left(\frac{d_{nom}}{c_1} \right)^{0.2} \quad \text{ETAG 001 Anexo C, Eq. (5.7c)}$$

$$A_{c,V}^0 = 4,5 \cdot c_1^2 \quad \text{ETAG 001 Anexo C, Eq. (5.7d)}$$

$$\psi_{s,V} = 0,7 + 0,3 \cdot \frac{c_2}{l_f \cdot c_1} \leq 1,00 \quad \text{ETAG 001 Anexo C, Eq. (5.7e)}$$

$$\psi_{n,V} = \left(\frac{1,5 \cdot c_1}{h} \right)^{0.5} \geq 1,00 \quad \text{ETAG 001 Anexo C, Eq. (5.7f)}$$

$$\psi_{s,V} = \sqrt{\frac{1}{(\cos \alpha_V)^2 + (\frac{\sin \alpha_V}{2,5})^2}} \geq 1,00 \quad \text{ETAG 001 Anexo C, Eq. (5.7g)}$$

$$\psi_{ec,V} = \frac{1}{1 + 2 \cdot e_{c,V}} \leq 1,00 \quad \text{ETAG 001 Anexo C, Eq. (5.7h)}$$

l_f [mm]	d_{nom} [mm]	k_1	α	β	c_1 [mm]
60,0	12,00	2,400	0,110	0,075	50,0

$A_{c,V}$ [mm ²]	$A_{c,V}^0$ [mm ²]	$\psi_{s,V}$	$\psi_{n,V}$	$e_{c,V}$ [mm]	$\psi_{ec,V}$
21.000	11.250	1,000	1,000	0,0	1,000

α_V [°]	$\psi_{s,V}$	$\psi_{n,V}$
0,00	1,000	1,000

$V_{Rd,c}$ [kN]	γ_{Mc}	$V_{Rd,c}$ [kN]	V_{sd} [kN]
10,166	1,500	12,651	2,000



Hilti PROFIS Engineering 3.1.10

www.hilti.es		Página:	8
Empresa:	ABM / ENGia	Proyectista:	
Dirección:		Correo electrónico:	
Teléfono I Fax:		Fecha:	
Diseño:	hormigón - 26 de jun. de 2020	Sub Proyecto I Pos. No.:	13/2/2025
Sub Proyecto I Pos. No.:	ADIF		

5 Cargas combinadas de tracción y cortante (ETAG, Anejo C, Sección 5.2.4)

β_N	β_V	α	Utilización $\beta_{N,V}$ [%]	Estado
0,327	0,158	1,500	25	OK

$$\beta_N + \beta_V \leq 1,0$$

6 Desplazamientos (anclaje más solicitado)

Cargas de corto plazo:

$$\begin{aligned} N_{sk} &= 2,738 \text{ [kN]} & \delta_N &= 0,0805 \text{ [mm]} \\ V_{sk} &= 0,370 \text{ [kN]} & \delta_V &= 0,0267 \text{ [mm]} \\ & & \delta_{NV} &= 0,0848 \text{ [mm]} \end{aligned}$$

Carga de largo plazo:

$$\begin{aligned} N_{sk} &= 2,738 \text{ [kN]} & \delta_N &= 0,3623 \text{ [mm]} \\ V_{sk} &= 0,370 \text{ [kN]} & \delta_V &= 0,0384 \text{ [mm]} \\ & & \delta_{NV} &= 0,3644 \text{ [mm]} \end{aligned}$$

Comentarios: Desplazamientos a tracción son válidos con la mitad del par de apriete requerido no fisurado ¡Hormigón! Los desplazamientos son válidos sin rozamiento entre el hormigón y la placa de anclaje! La holgura entre el taladro en el hormigón y en la placa no son considerados en este cálculo.

¡Los desplazamientos aceptables en los anclajes dependen del tipo de construcción de la fijación y deben ser definidos por el proyectista!

7 Avisos

- No se considera la redistribución de carga entre los anclajes debido a deformaciones elásticas de la placa. ¡Se asume que la placa es suficientemente rígida, para evitar que se deforme cuando se somete a cargas! ¡Los datos de entrada y resultados deben ser comprobados para verificar que se encuentran conformes con las condiciones existentes y que sean admisibles!
- The equations presented in this report are based on metric units. When inputs are displayed in imperial units, the user should be aware that the equations remain in their metric format.
- En general, las condiciones dadas en la ETAG 001, Anejo C, sección 4.2.2.1 y 4.2.2.3 b) no se cumplen por el diámetro del taladro en la fijación, de acuerdo con el Anejo 3, Tabla 3 es mayor que los valores dados en el Anejo C, Tabla 4.1 para el diámetro de anclaje correspondiente. Por tanto la resistencia del grupo de anclajes se encuentra limitado por dos veces la resistencia del acero (de un anclaje) según la homologación.
- La verificación de la transferencia de cargas al material base debe ser verificada de acuerdo con ETAG(2010) Anexo C (2010) Sección 7! El programa considera que el mortero se instala bajo la placa de anclaje sin formar burbujas de aire y antes de la aplicación de las cargas.
- El diseño es válido sólo en los casos en que el espacio libre de la perforación no sea mayor al dado en la tabla 4.1. de la ETAG 001, Anexo C. Para mayores diámetros, de espacio libre de perforación, ver el capítulo 1.1. de la ETAG 001, Anexo C.
- La lista de accesorios en este informe es sólo para información del usuario. En cualquier caso, las instrucciones para el uso, mostradas en el producto, deben ser seguidas para asegurar una correcta instalación.
- Las resistencias de adherencia características dependen del período de retorno (vida útil en años): 50

¡La fijación cumple los criterios de diseño!



Hilti PROFIS Engineering 3.1.10

www.hilti.es

www.hilti.es	Página:	9
Empresa:	ABM / ENGia	Página:
Dirección:		Proyectista:
Teléfono I Fax:		Correo electrónico:
Diseño:	hormigón - 26 de jun. de 2020	Fecha:
Sub Proyecto I Pos. No.:	ADIF	13/2/2025

8 Datos de instalación

Placa de anclaje, acero: S 275; E = 210.000,00 N/mm²; f_y = 275,00 N/mm²
 Perfil: Perfil Cuadrado, 80 x 80 x 8,0; (L x W x T) = 80,0 mm x 80,0 mm x 8,0 mm

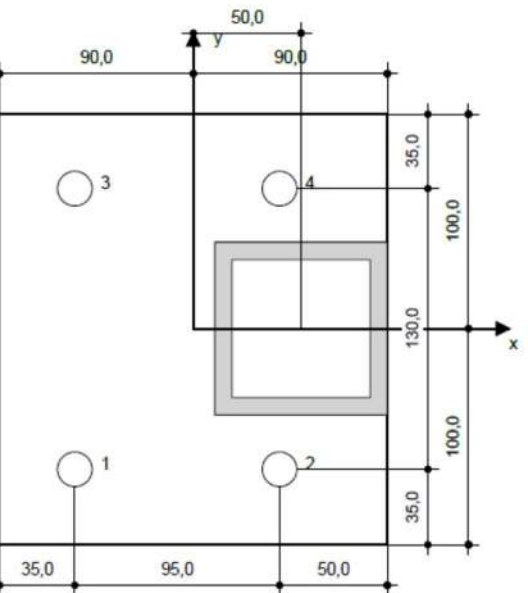
Diámetro de taladro en chapa: d_t = 16,0 mm
 Espesor de placa (introducir): 10,0 mm

Espesor de placa recomendado: no calculado
 Método de perforación: Taladro a rotopercusión
 Limpieza: Clean the drill hole. Under the conditions - according to fastener size and drilling direction - given in the Assessment document and MPII (IFU), the cleaning of the drill hole may be omitted.

Hilti HUS anclaje de atornillado con 60 mm de empotramiento, 12 hnom1, Acero Galvanizado, instalado según ETA-20/0867

8.1 Accesorios recomendados

Taladro	Limpieza	Instalación
<ul style="list-style-type: none"> Taladro a rotopercusión adecuado Tamaño adecuado de broca 	<ul style="list-style-type: none"> Bombín de limpieza 	<ul style="list-style-type: none"> Hilti SIW 22T-A atornilladora de impacto



Coordinadas del anclaje [mm]

Anclaje	x	y	c _x	c _x	c _y	c _y
1	-55,0	-65,0	155,0	145,0	360,0	10.190,0
2	40,0	-65,0	250,0	50,0	360,0	10.190,0
3	-55,0	65,0	155,0	145,0	490,0	10.060,0
4	40,0	65,0	250,0	50,0	490,0	10.060,0

7. AUTOR DEL CÀLCUL ESTRUCTURAL

Com a responsable dels càlculs de les estructures que apareixen en aquest annex de càlcul es procedeix al visat de tota la documentació aportada.

Sills, a 14 de Febrer de 2025

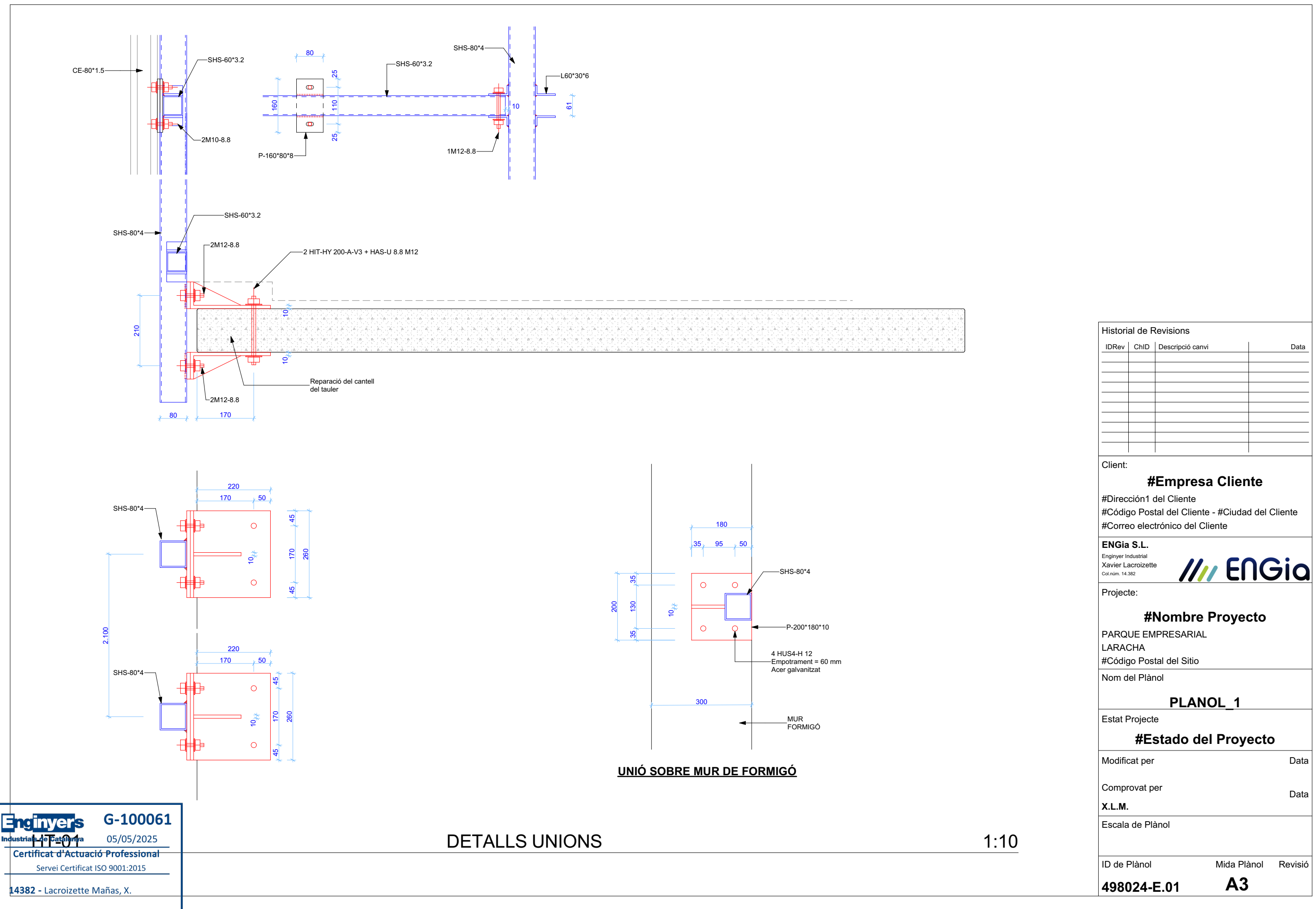


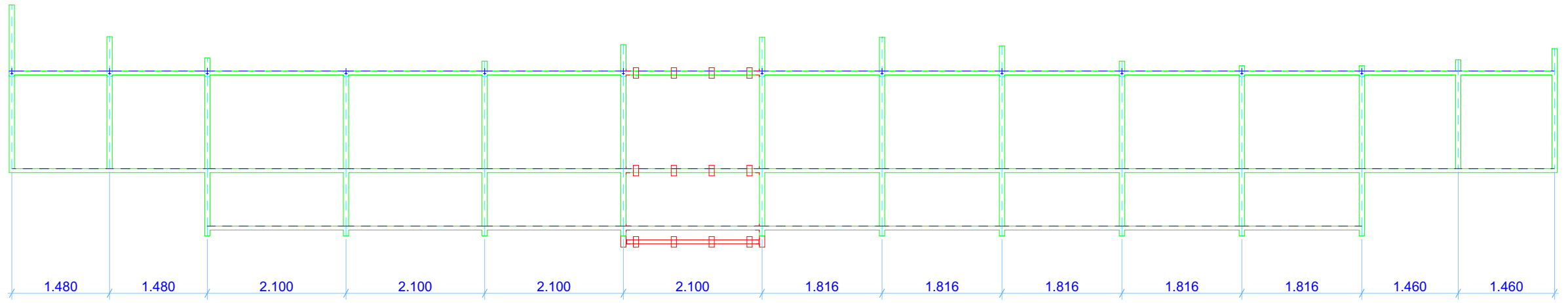
Xavier Lacroizette i Mañas

Enginyer industrial

Col. Núm. 14.382







HT-04

ESTRUCTURA

1:75

Client:

#Empresa Cliente

ENGia S.L.
Enginyer Industrial
Xavier Lacroizette
Col. núm. 14-382

#Nombre Proyecto

PARQUE EMPRESARIAL
ALARACHA

#Código Postal del Sitio

PLANOL_2

#Estat Projecte

Modificat per Data

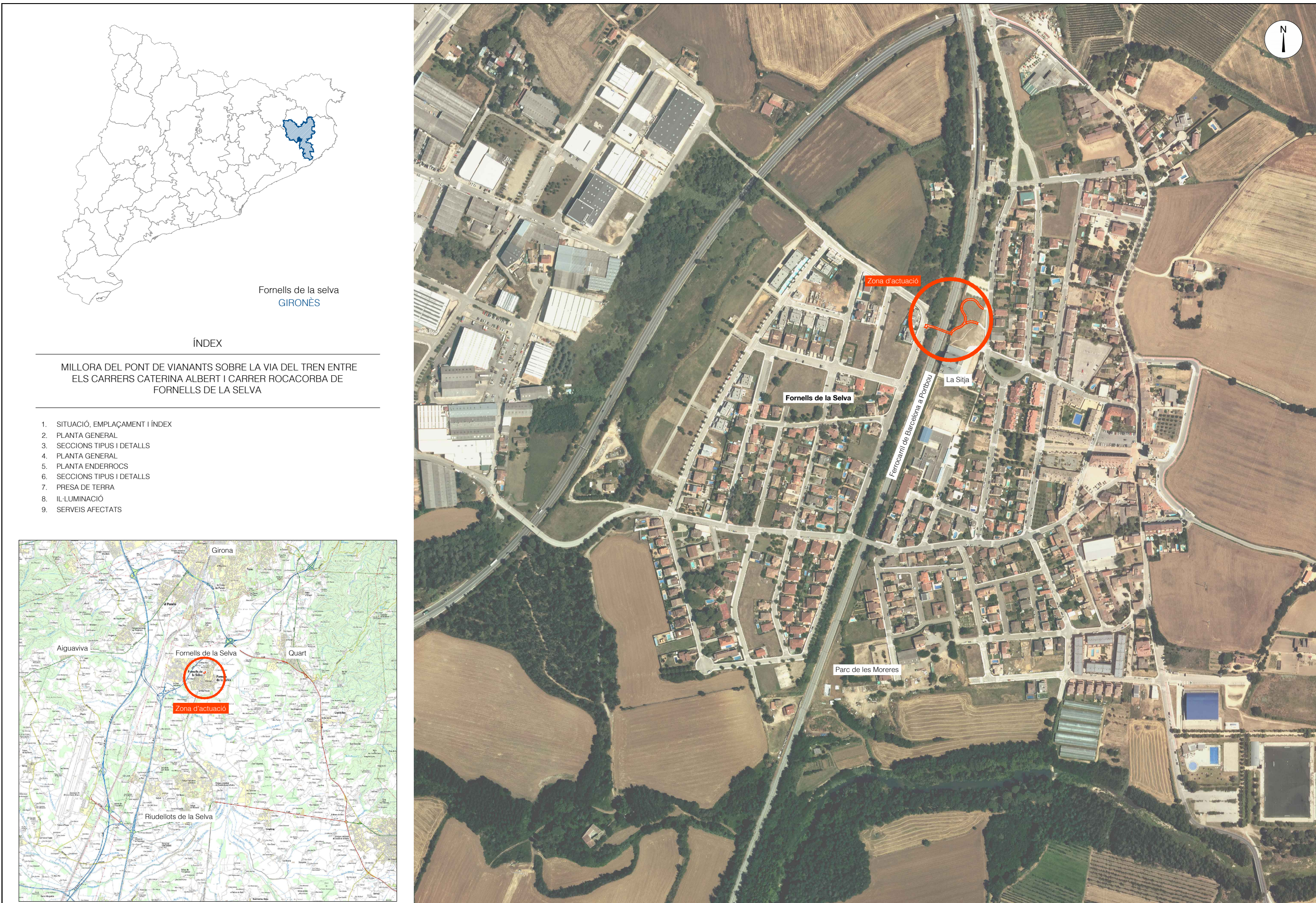
Comprovat per Data
X.L.M.

Escala de Plàtol

D de Plàtol Mida Plàtol Revisió



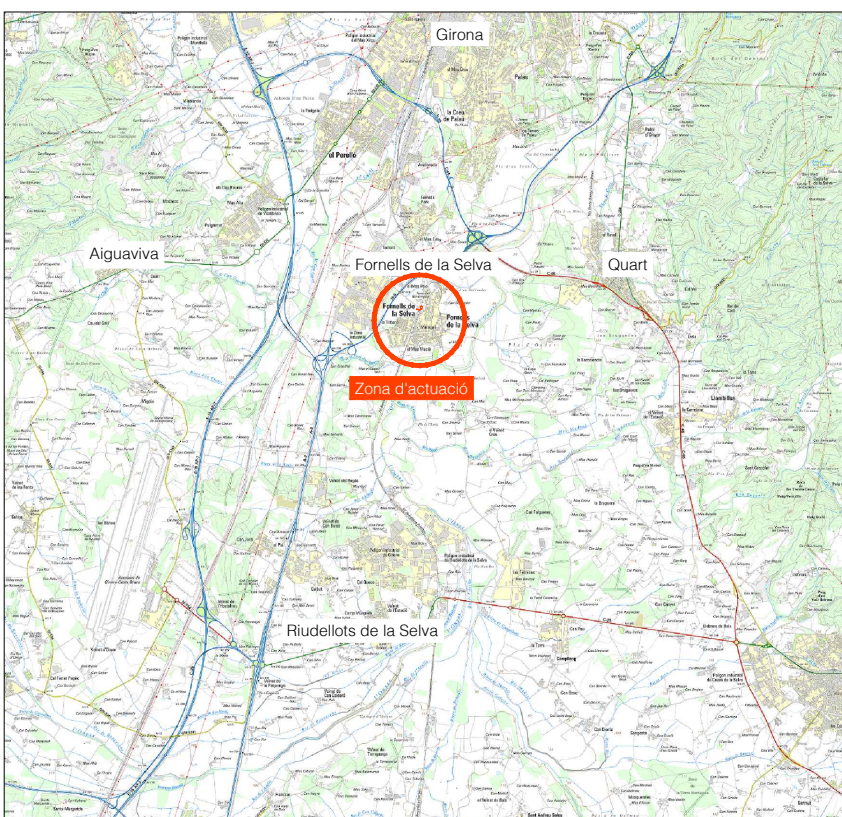
DOCUMENT NÚM. 2: PLÀNOLS



ÍNDEX

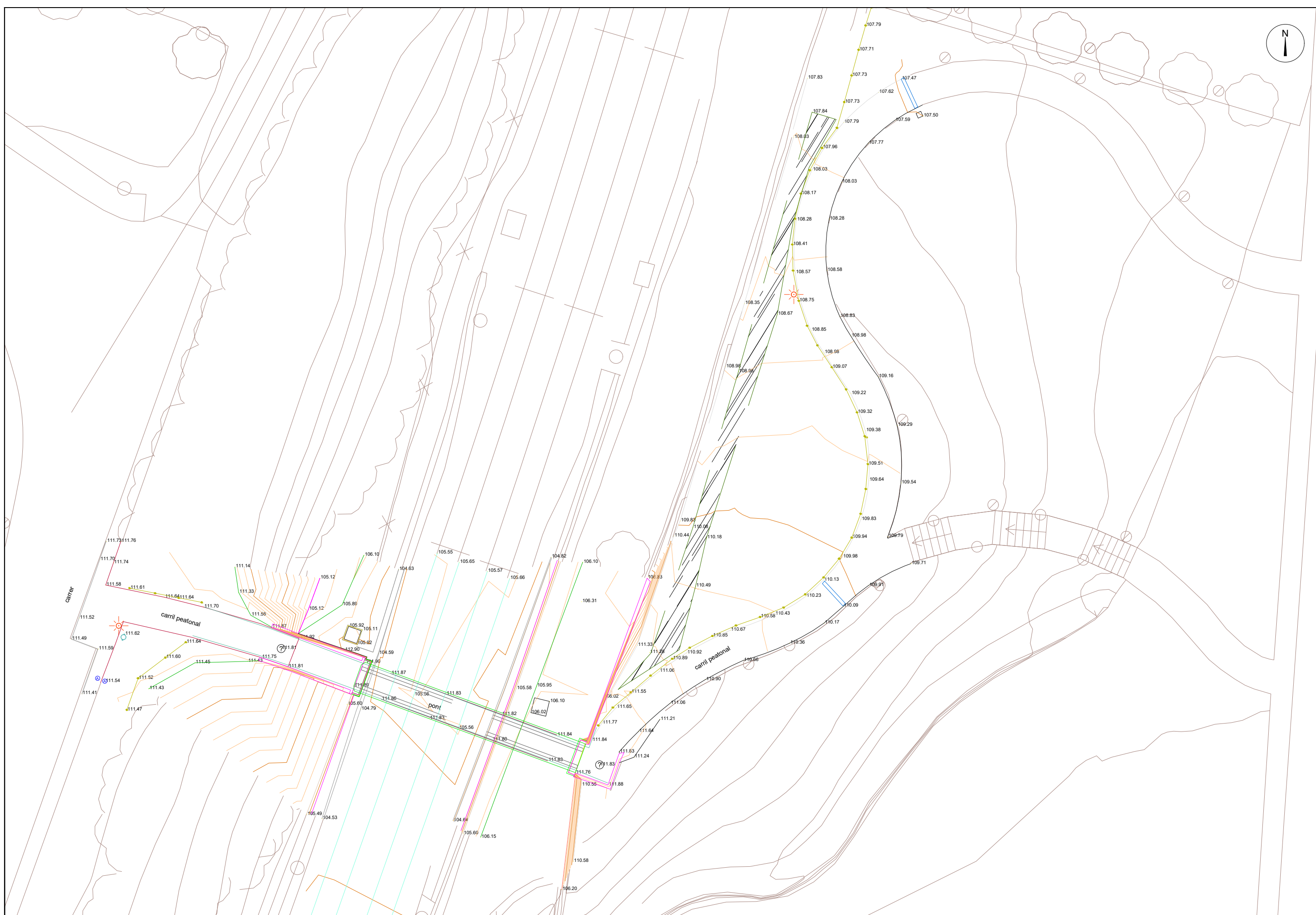
MILLORA DEL PONT DE VIANANTS SOBRE LA VIA DEL TRENT ENTRE
ELS CARRERS CATERINA ALBERT I CARRER ROCACORBA DE
FORNELL DE LA SELVA

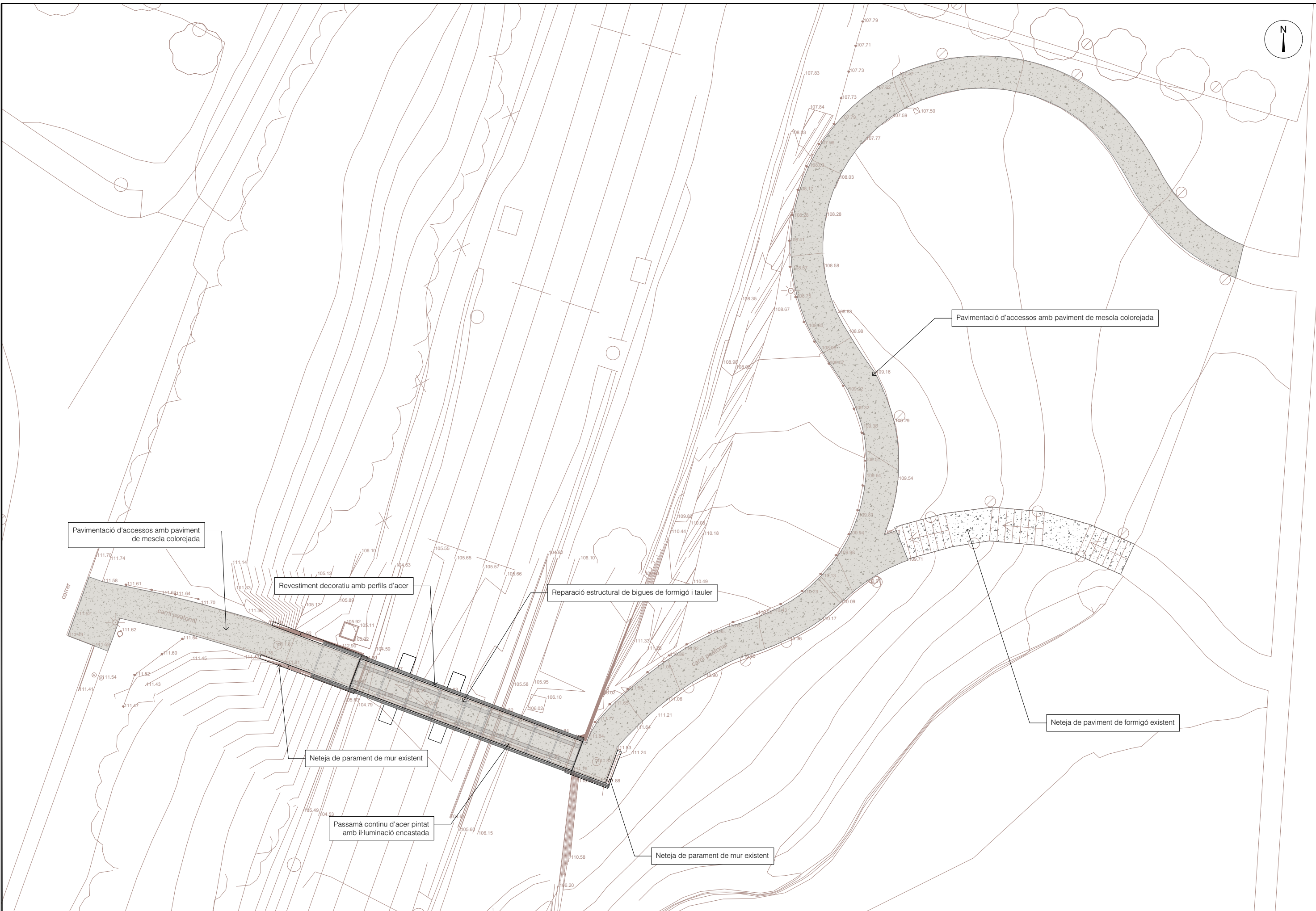
1. SITUACIÓ, EMPLAÇAMENT I ÍNDEX
2. PLANTA GENERAL
3. SECCIONS TIPUS I DETALLS
4. PLANTA GENERAL
5. PLANTA ENDERROCS
6. SECCIONS TIPUS I DETALLS
7. PRESA DE TERRA
8. IL·LUMINACIÓ
9. SERVEIS AFECTATS





Llegenda
— Àmbit d'actuació



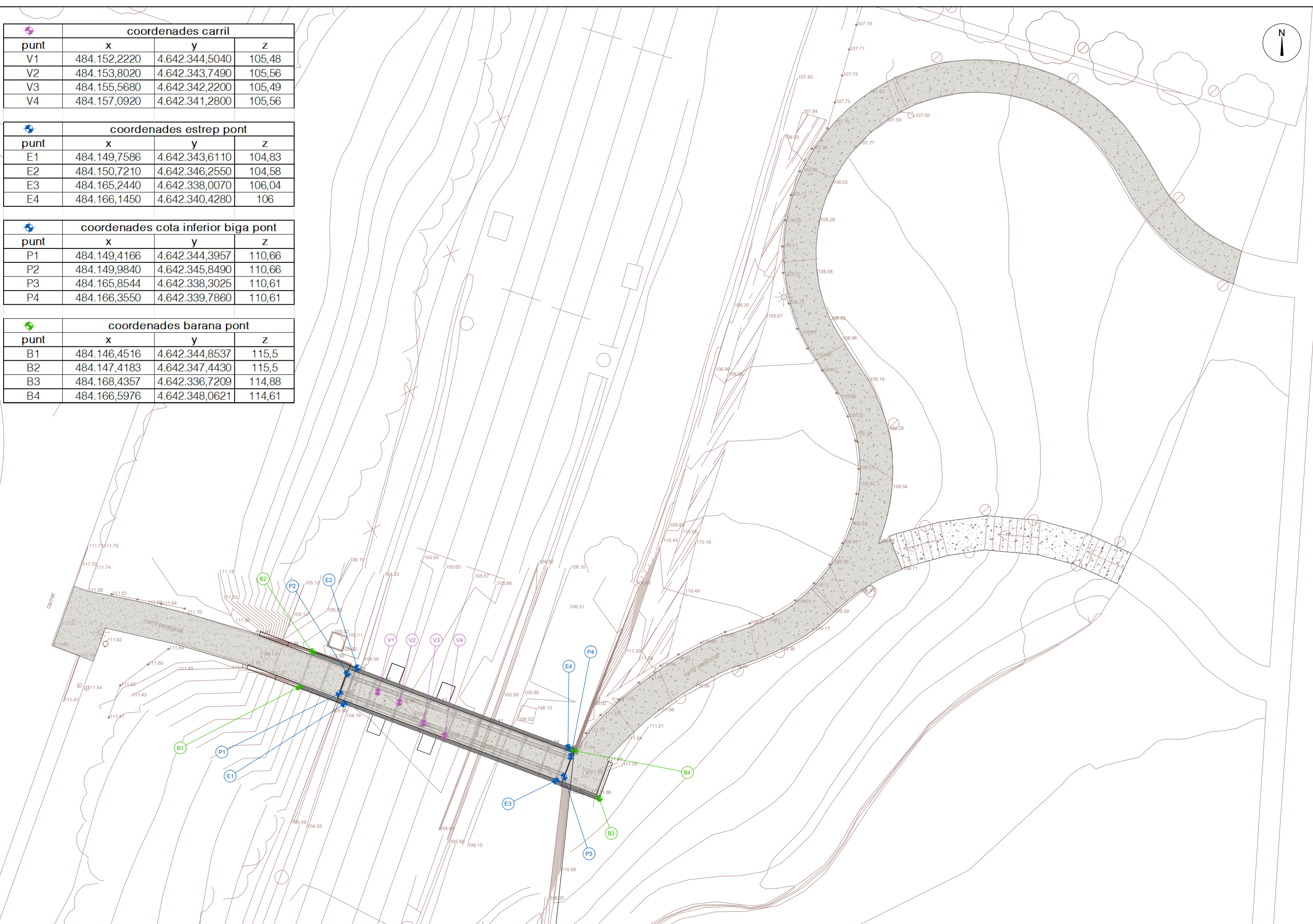


coordenades carril			
punt	x	y	z
V1	484.152,2220	4.642.344,5040	105,48
V2	484.153,8020	4.642.343,7490	105,56
V3	484.155,5680	4.642.342,2200	105,49
V4	484.157,0920	4.642.341,2800	105,56

coordenades estrep pont			
punt	x	y	z
E1	484.149,7586	4.642.343,6110	104,83
E2	484.150,7210	4.642.346,2550	104,58
E3	484.165,2440	4.642.338,0070	106,04
E4	484.166,1450	4.642.340,4280	106

coordenades cota inferior biga pont			
punt	x	y	z
P1	484.149,4166	4.642.344,3957	110,66
P2	484.149,9840	4.642.345,8490	110,66
P3	484.165,8544	4.642.338,3025	110,61
P4	484.166,3550	4.642.339,7860	110,61

coordenades barana pont			
punt	x	y	z
B1	484.146,4516	4.642.344,8537	115,5
B2	484.147,4183	4.642.347,4430	115,5
B3	484.168,4357	4.642.336,7209	114,88
B4	484.166,5976	4.642.348,0621	114,61



TÍTOL DEL PROJECTE:

ANNEX AL PROJECTE DE MILLORA
DEL PONT DE VIANANTS SOBRE LA VIA DEL TRENT ENTRE ELS CARRERS
CATERINA ALBERT I CARRER ROCACORBA DE FORNELL DE LA SELVA

L'ENGINYER AUTOR DEL PROJECTE:

JOAN MACARRO I ORTEGA
ECP Col·legiat núm. 20.306

DATA:

MAIG 2025

TÍTOL DEL PLÀNOL:

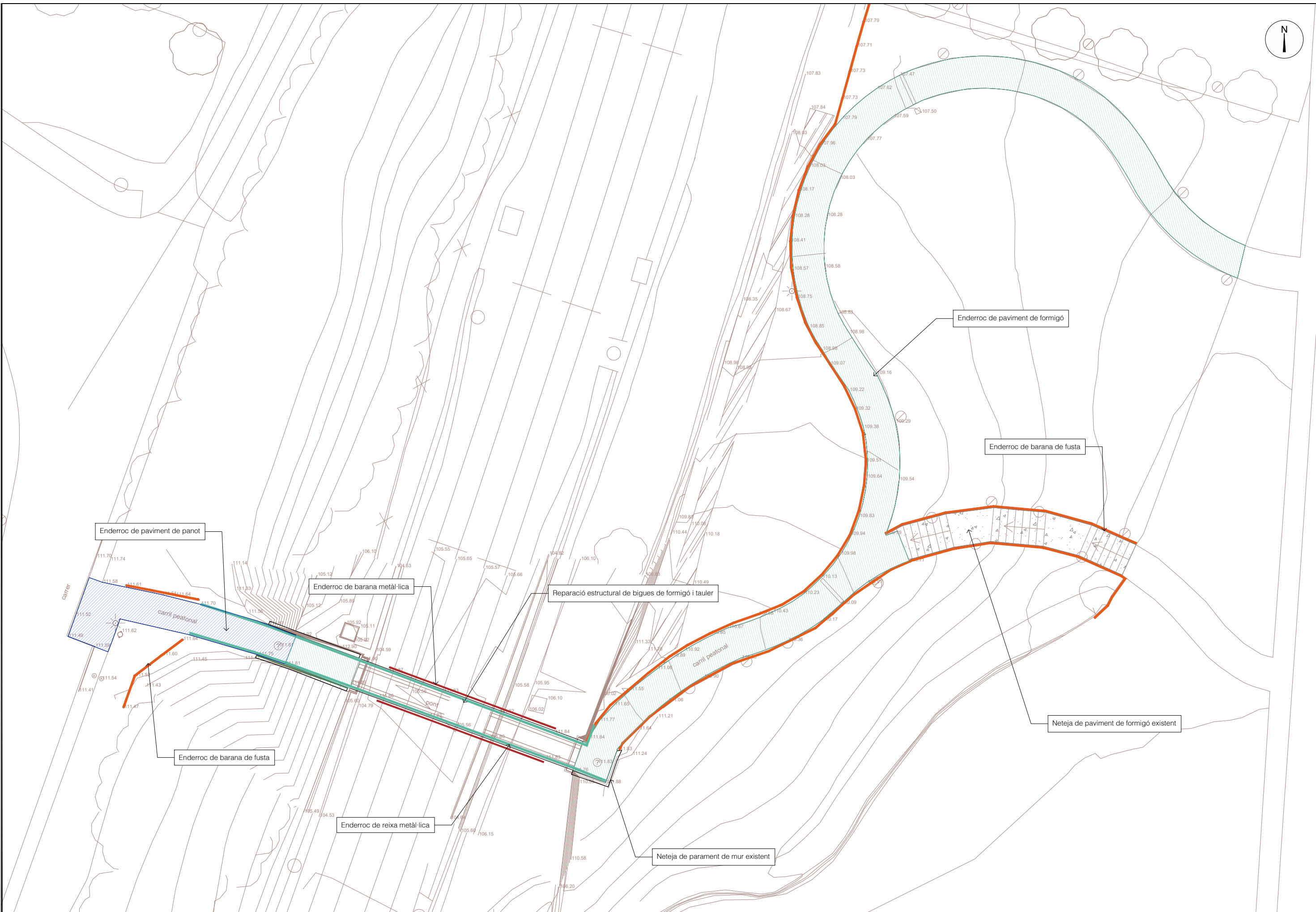
PLANTA GENERAL. COORDENADES

ESCALA:

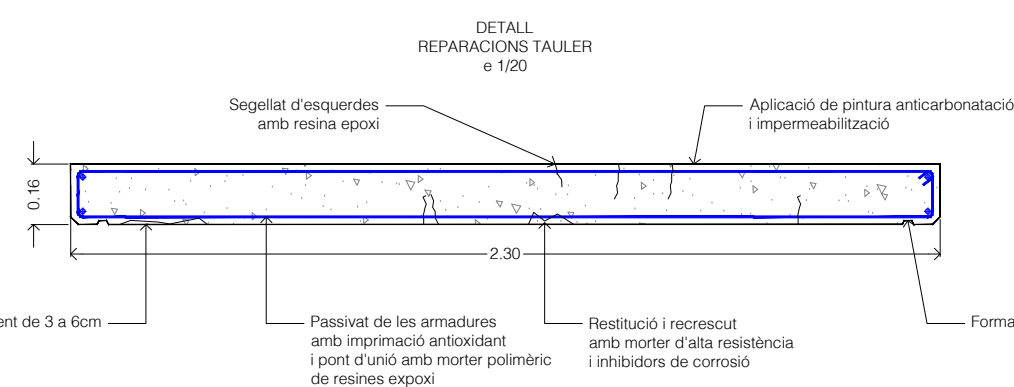
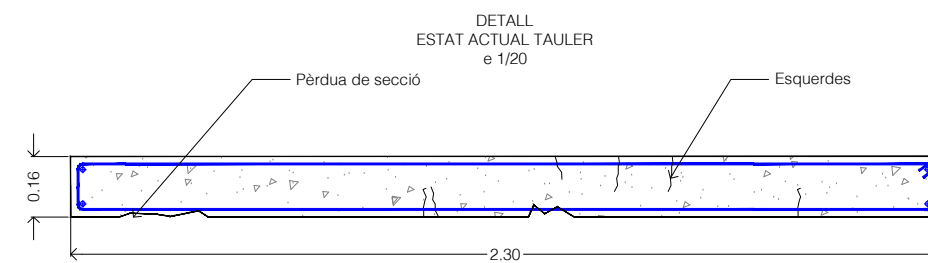
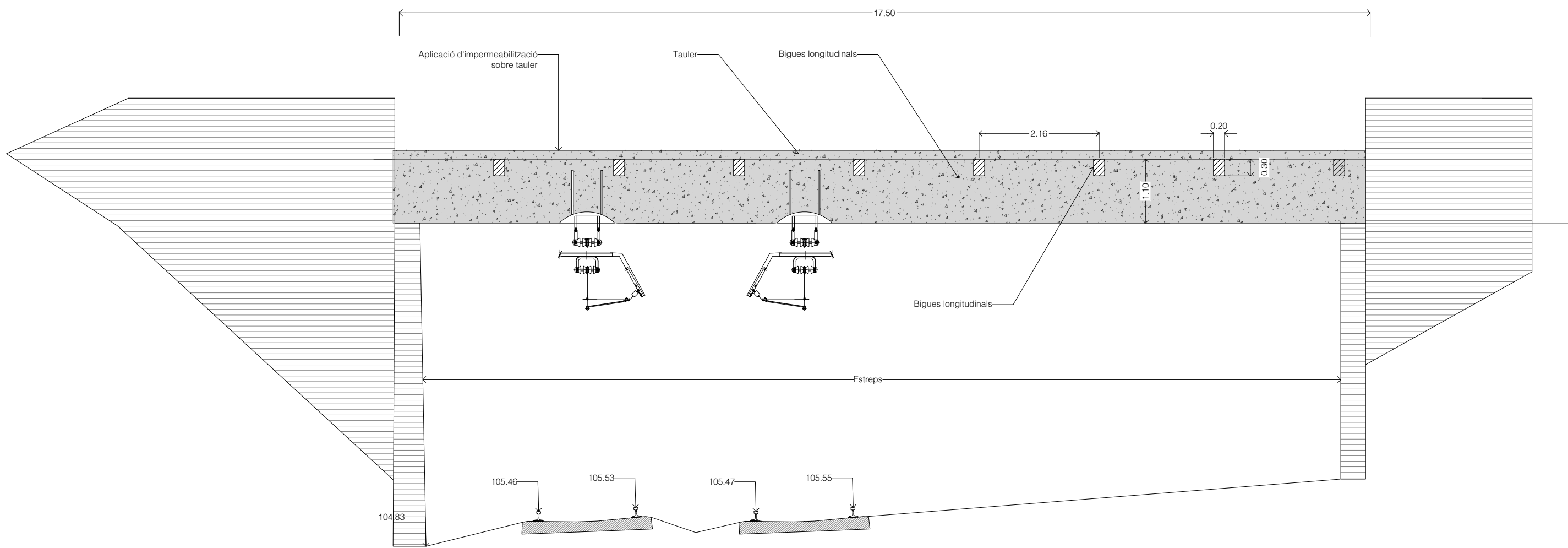
1/250

PLANOL NUM.:

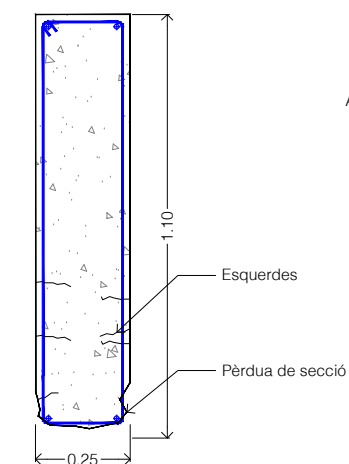
4



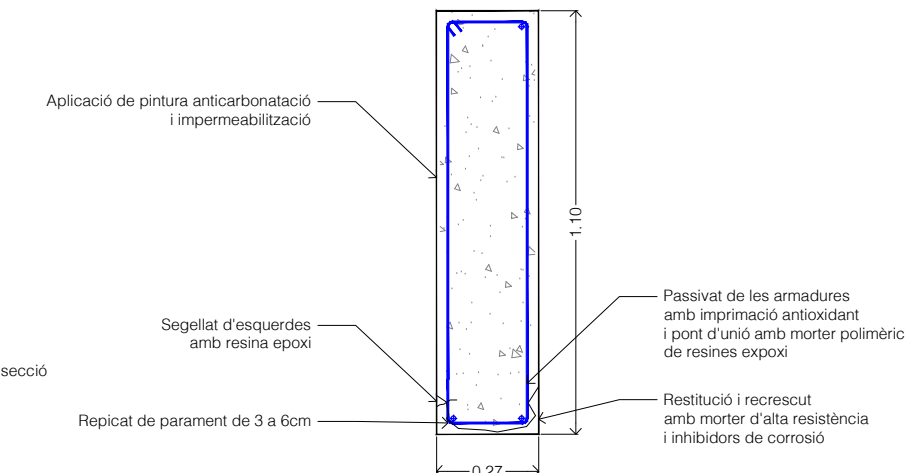
ESQUEMA ACTUACIONS DE REPARACIÓ ESTRUCTURAL
ALÇAT PONT
e 1/75

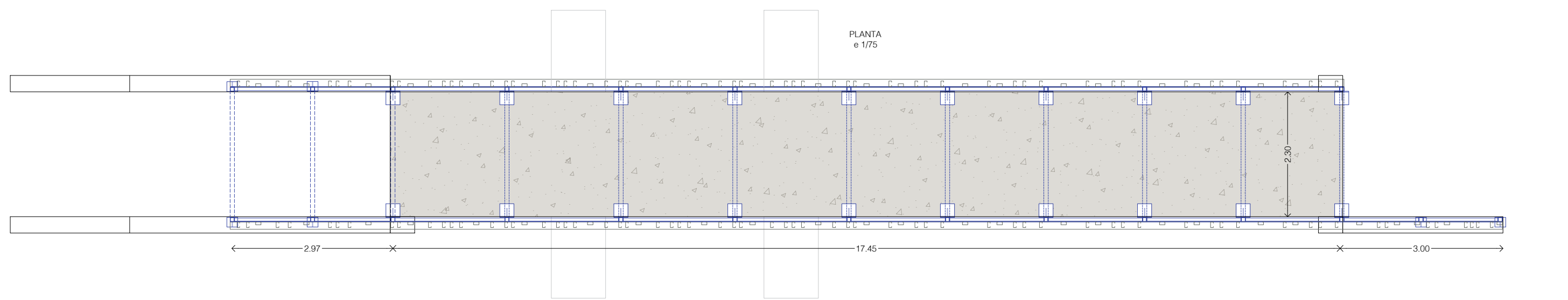
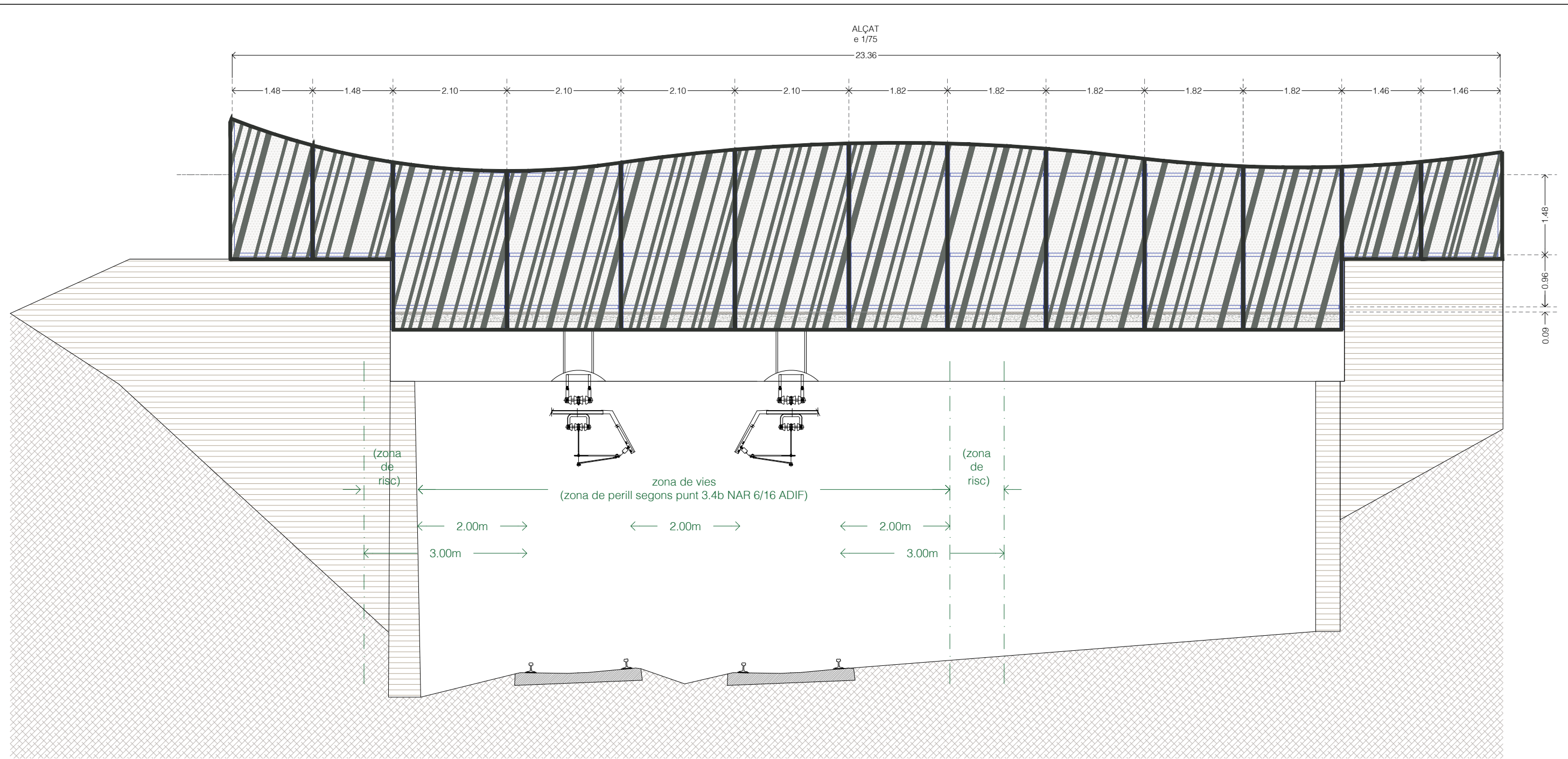


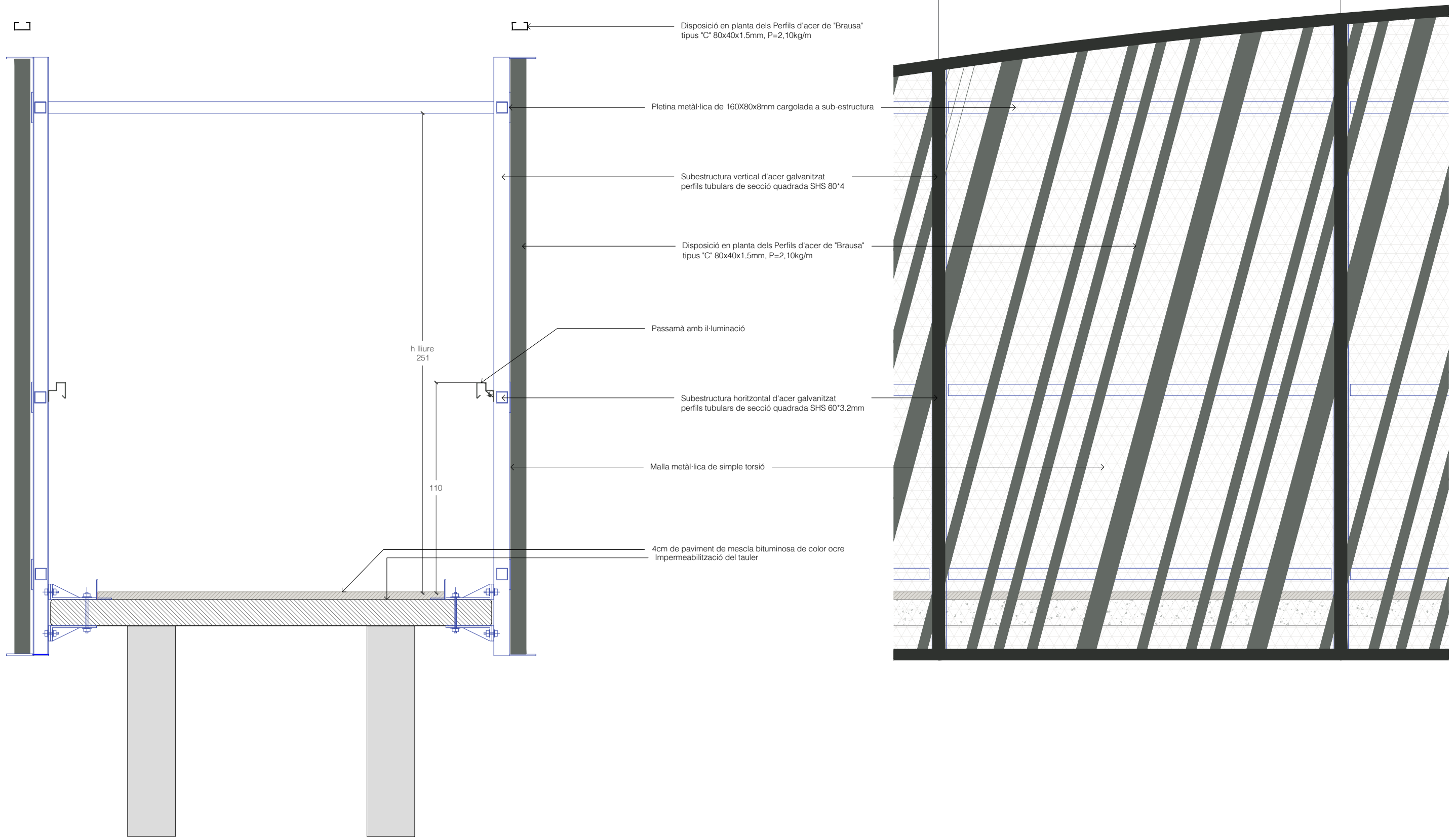
DETALL
ESTAT ACTUAL BIGUES
e 1/20

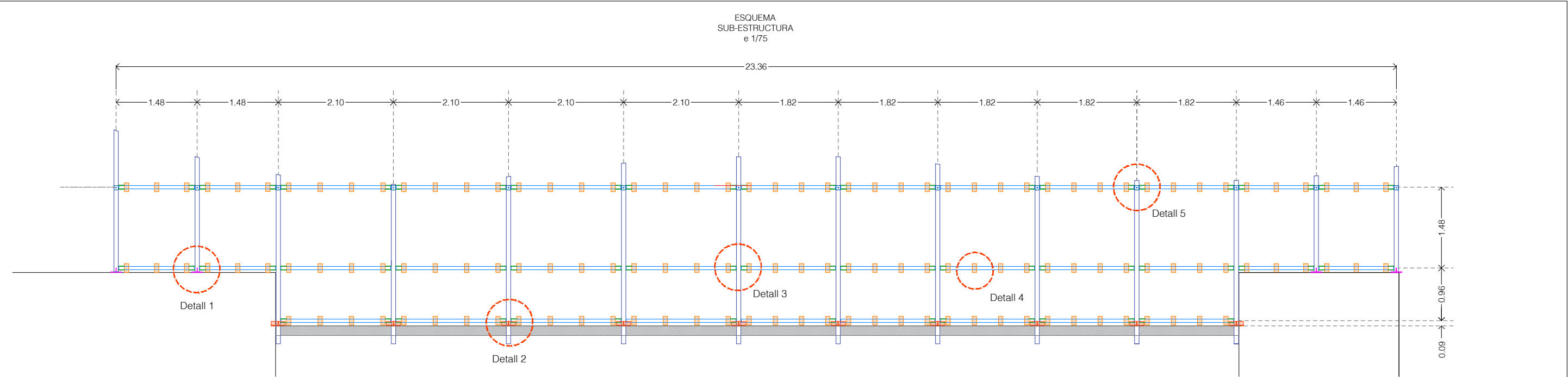


DETALL
REPARACIONS BIGUES
e 1/20

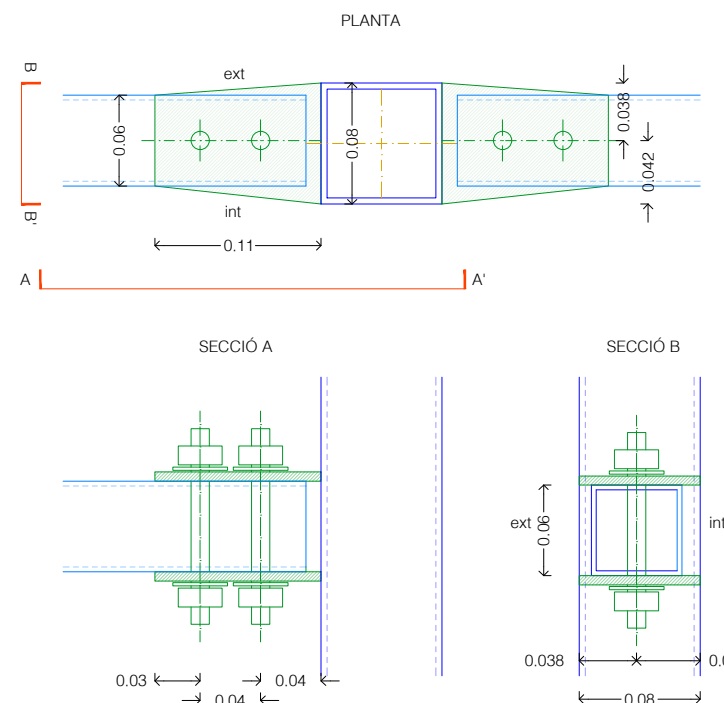




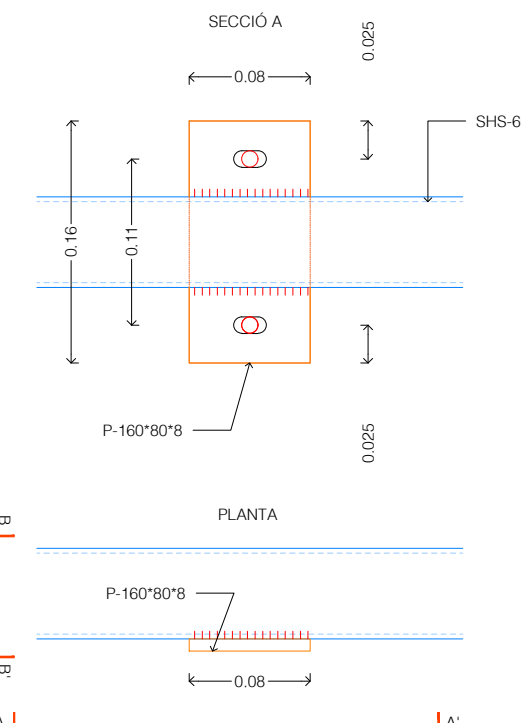




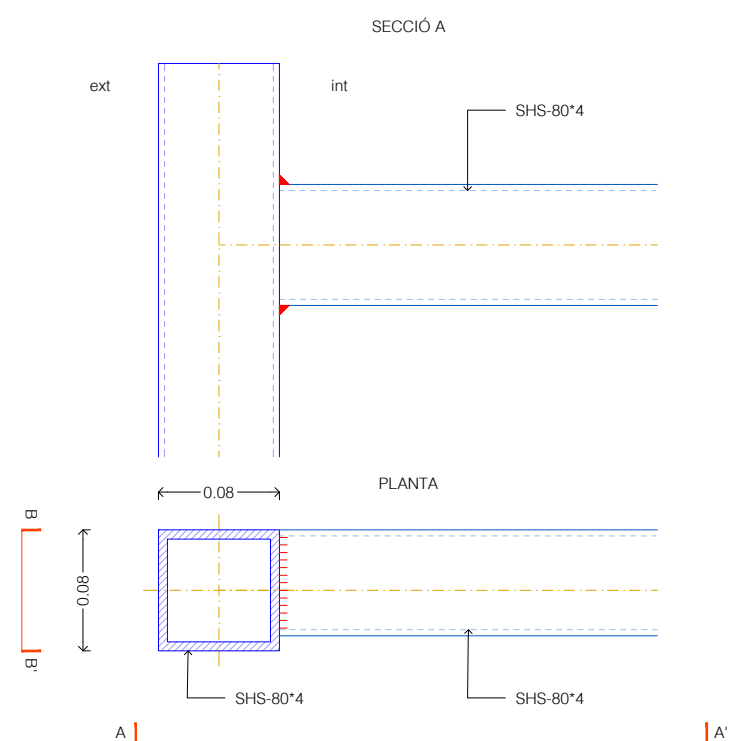
DETALL UNIÓ TIPUS 3
UNIÓ ESTRUCTURA VERTICAL I HORIZONTAL
e 1/5



DETALL UNIÓ TIPUS 4
UNIÓ ESTRUCTURA HORIZONTAL I PLETINA PER REBRE PLAFONS
e 1/5



DETALL UNIÓ TIPUS 5
UNIÓ ESTRUCTURA VERTICAL I TRAVESSER SUPERIOR HORIZONTAL
e 1/5



UNIONS SOLDADES ENTRE PERFILS TUBULARS

NORMA:

CTE DB SE-A: Codi Tècnic de l'Edificació. Seguretat estructural. Acer. Apartat 8.9. Unions de perfils buits en les bigues de gelosia.

MATERIALS:

- Perfil (Material base): S275.
- Material d'aportació (soldadura): Les característiques mecàniques dels materials d'aportació seran en tots els casos superiors a les del material base. (4.4.1 CTE DB SE-A)

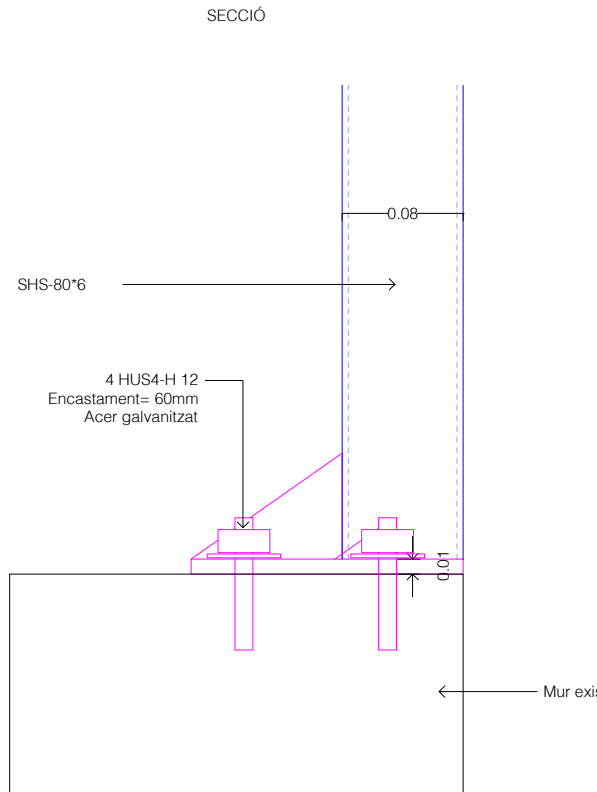
COMPROVACIONS:

- Cordons de soldadura a topall amb penetració total:
En aquest cas, no és necessària cap comprovació. La resistència de la unió serà igual a la de la més feble de les peces unides.
- Cordons de soldadura en angle:
Es dimensionen amb un valor de gruix de gorja tal que la seva resistència sigui igual a la menor de les peces que uneix.

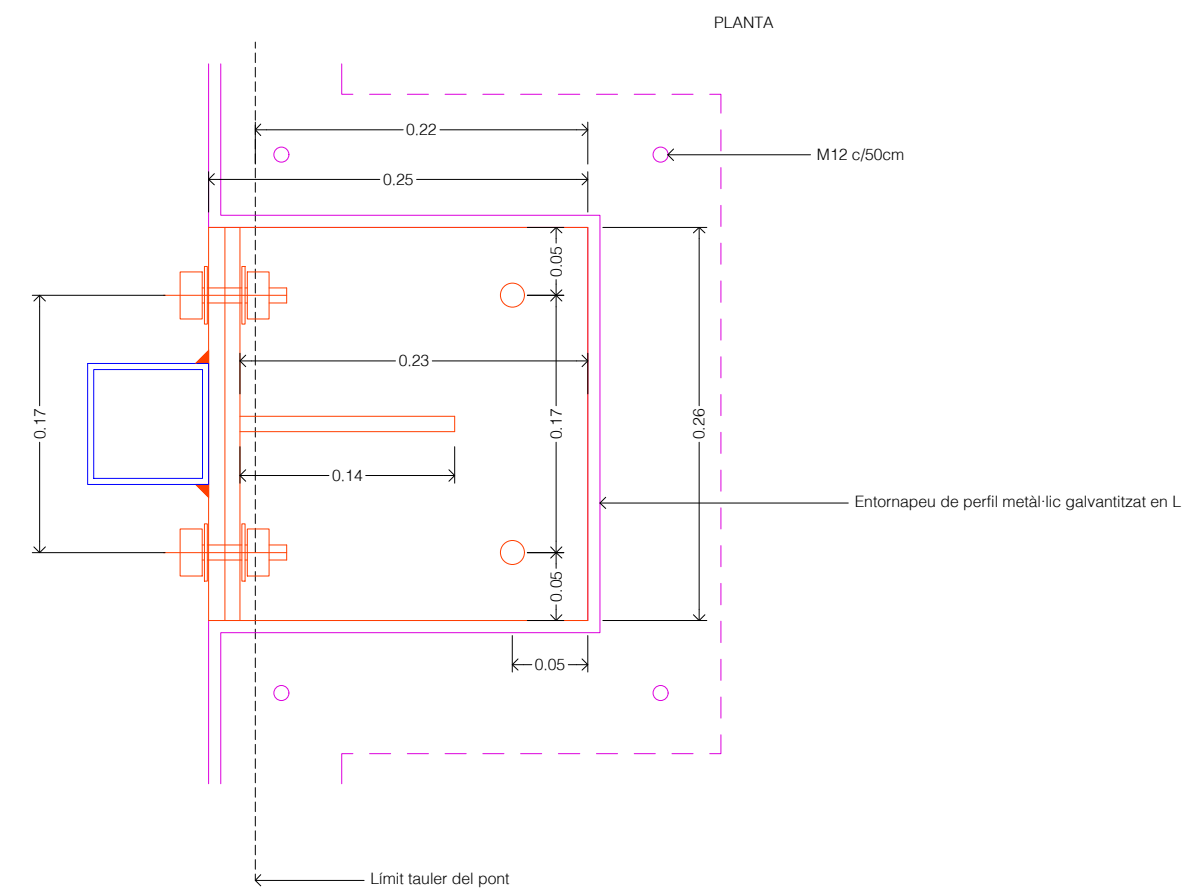
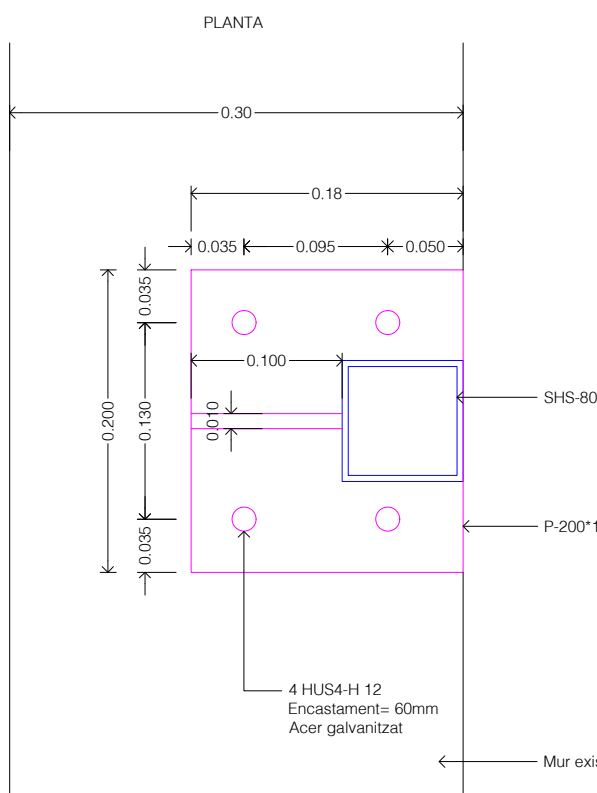
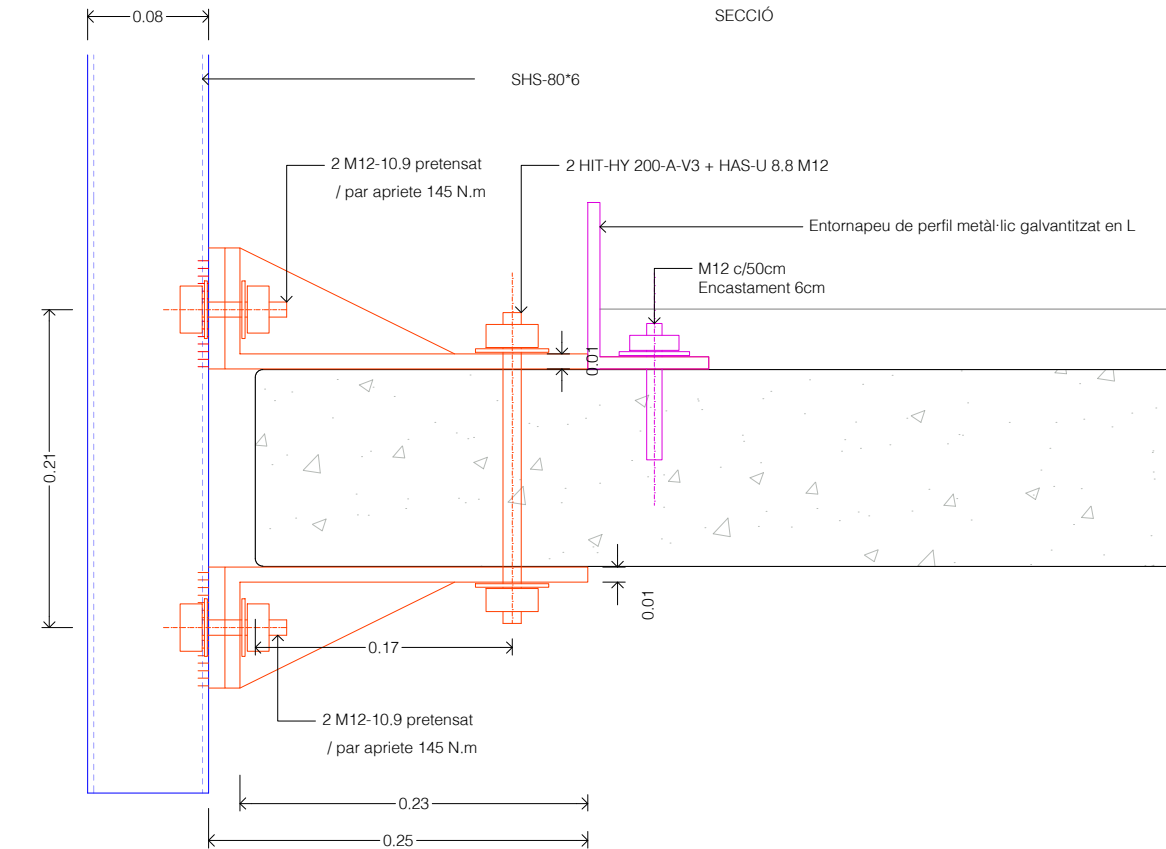
DISPOSICIONS CONSTRUCTIVES:

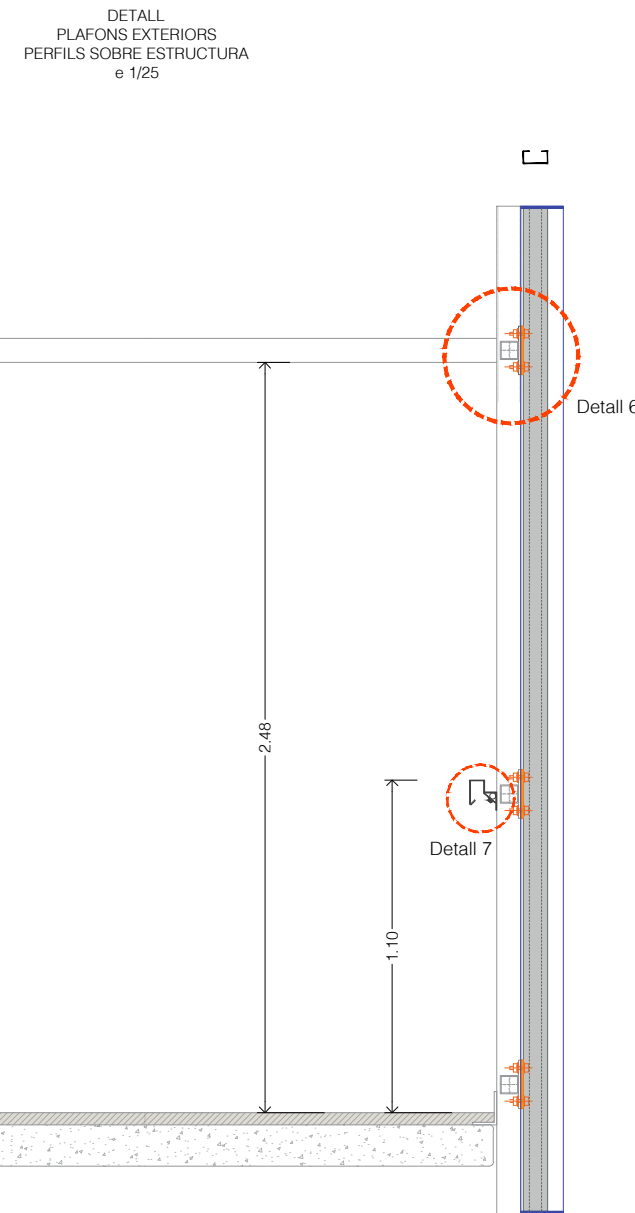
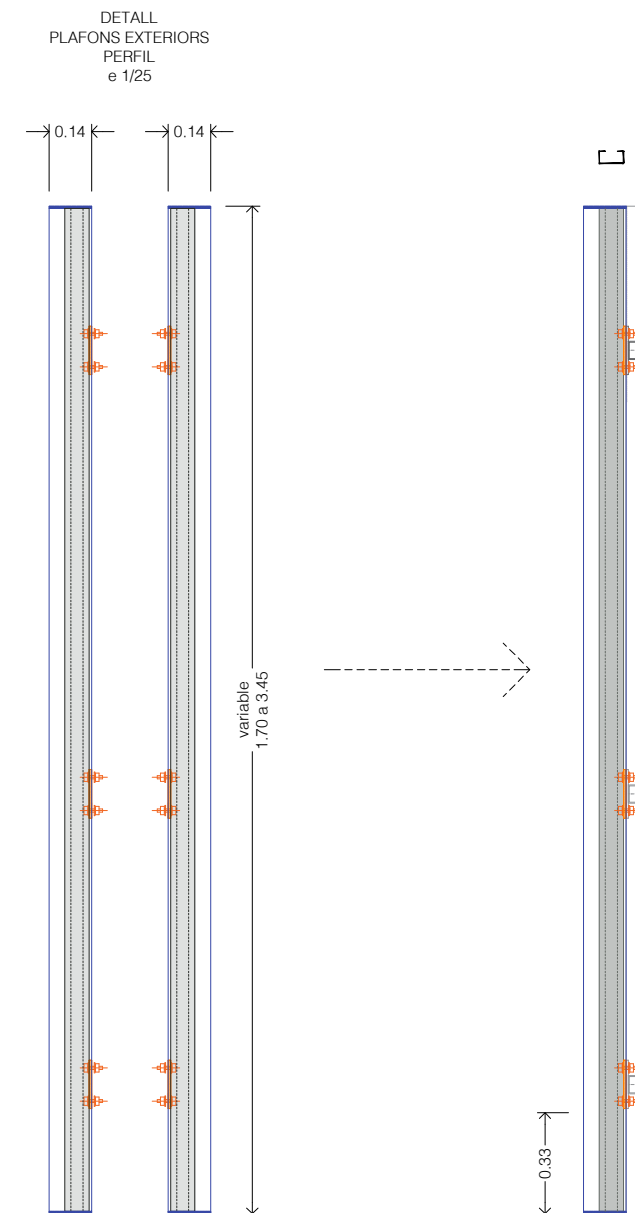
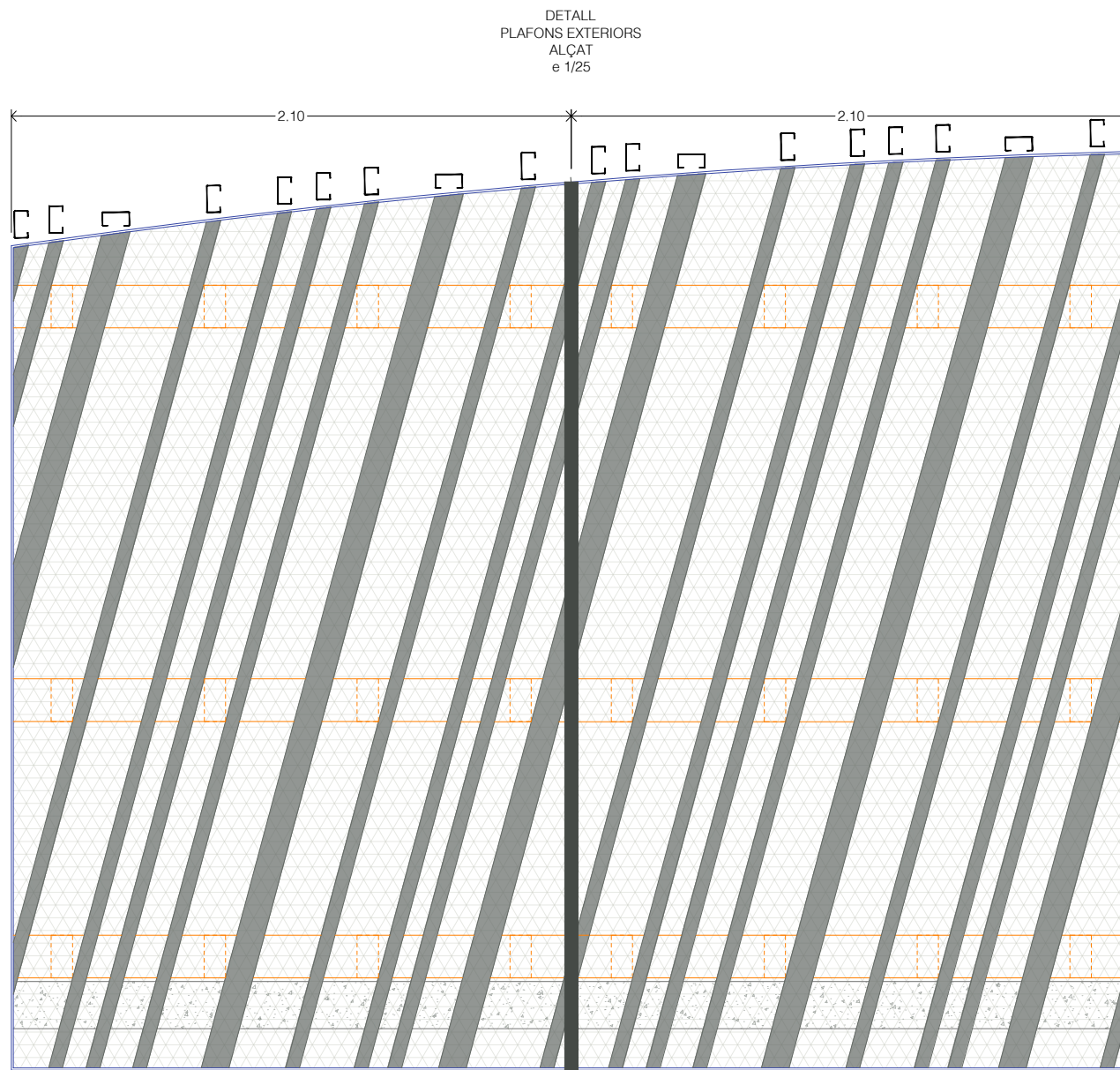
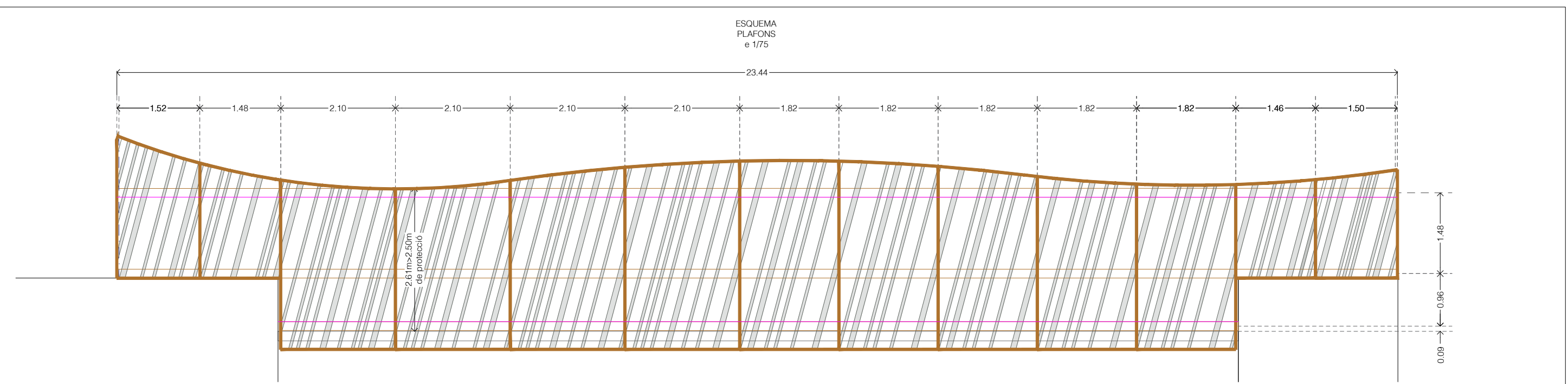
- 1) Cada tub es soldarà en tot el seu perímetre de contacte amb els altres tubs.
- 2) Es defineix com a angle dièdre l'angle mesurat en el pla perpendicular a la línia de soldadura, format per les tangents a les superfícies externes dels tubs que es solden entre si.
- 3) Per a angles dièdres majors que 100 graus s'ha de realitzar soldadura a topall, independentment del gruix del tub que es solda.
- 4) Els tubs de gruix igual o superior a 8 mm es soldaran a topall, excepte en les zones en què l'angle dièdre és agut i pugui realitzar-se correctament la soldadura en angle.
- 5) Els tubs de gruix inferior a 8 mm es poden soldar amb cordons de soldadura en angle.
- 6) En soldadures a topall, l'angle del bisell mínim és de 45 graus.
- 7) En els detalls s'indiquen els diferents tipus de cordons necessaris en el perímetre de soldadura dels tubs.

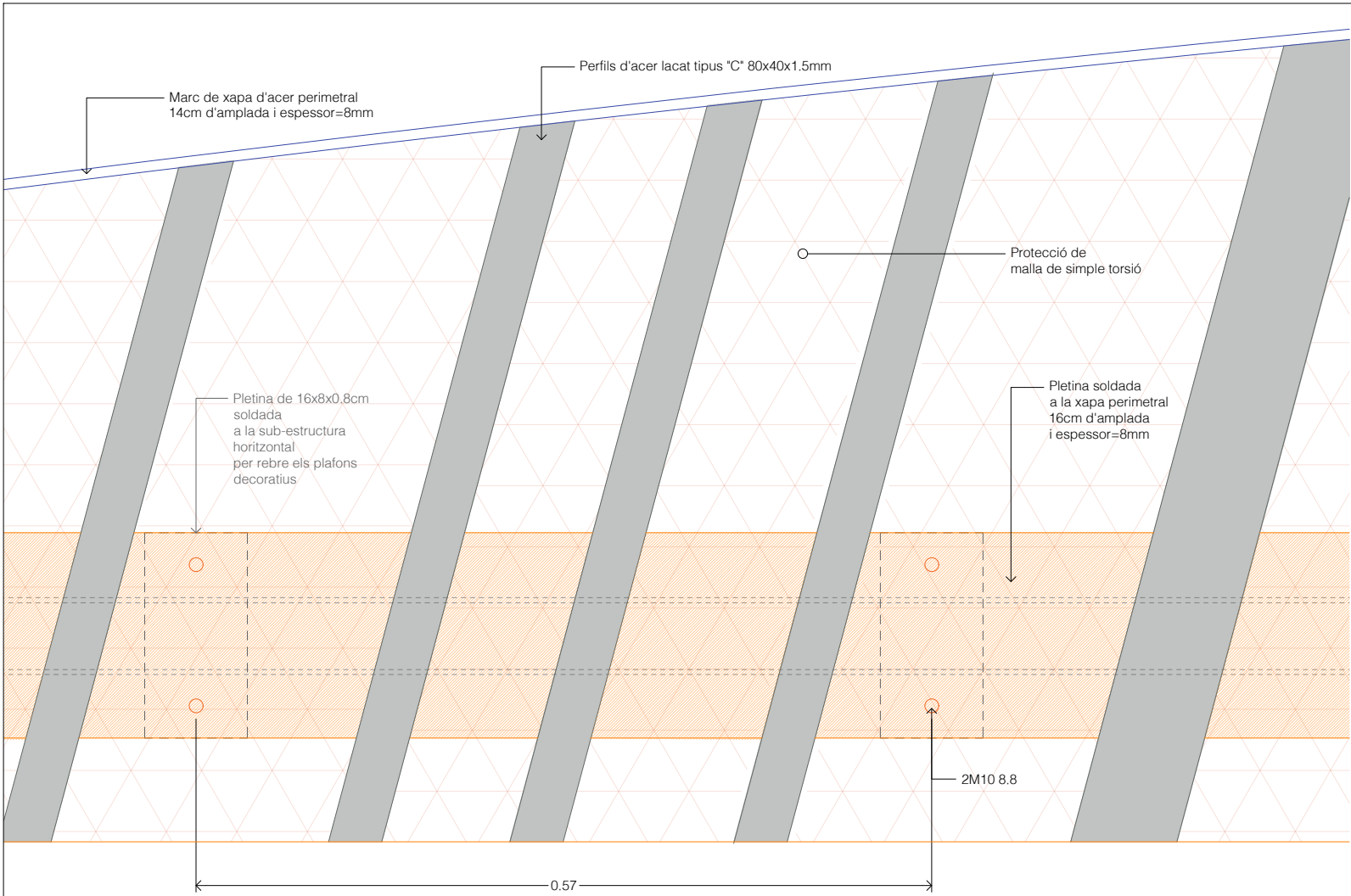
DETALL UNIÓ TIPUS 1
UNIÓ ESTRUCTURA VERTICAL I MUR DEL PONT
e 1/5



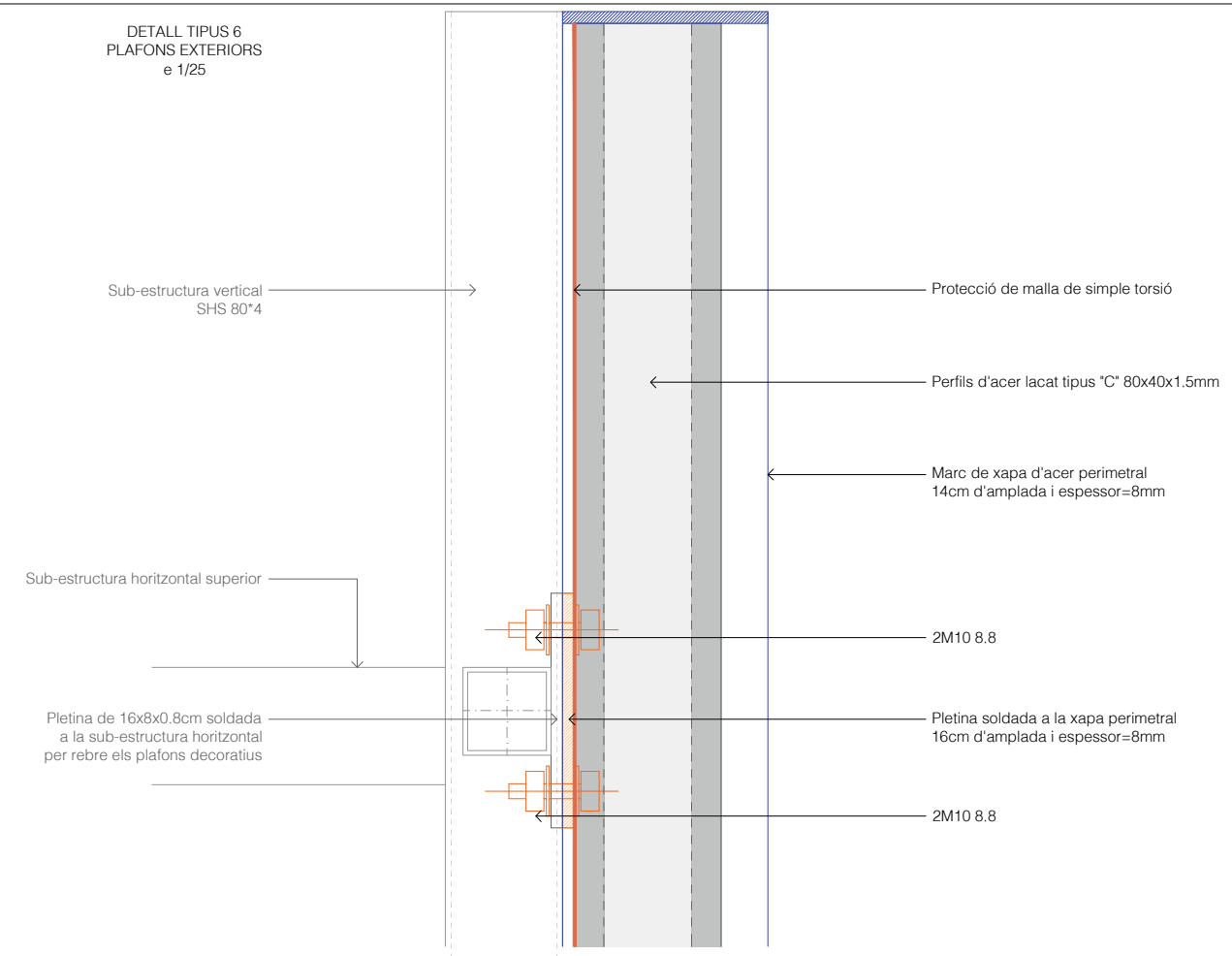
DETALL UNIÓ TIPUS 2
UNIÓ ESTRUCTURA VERTICAL I TAUER DEL PONT
e 1/5



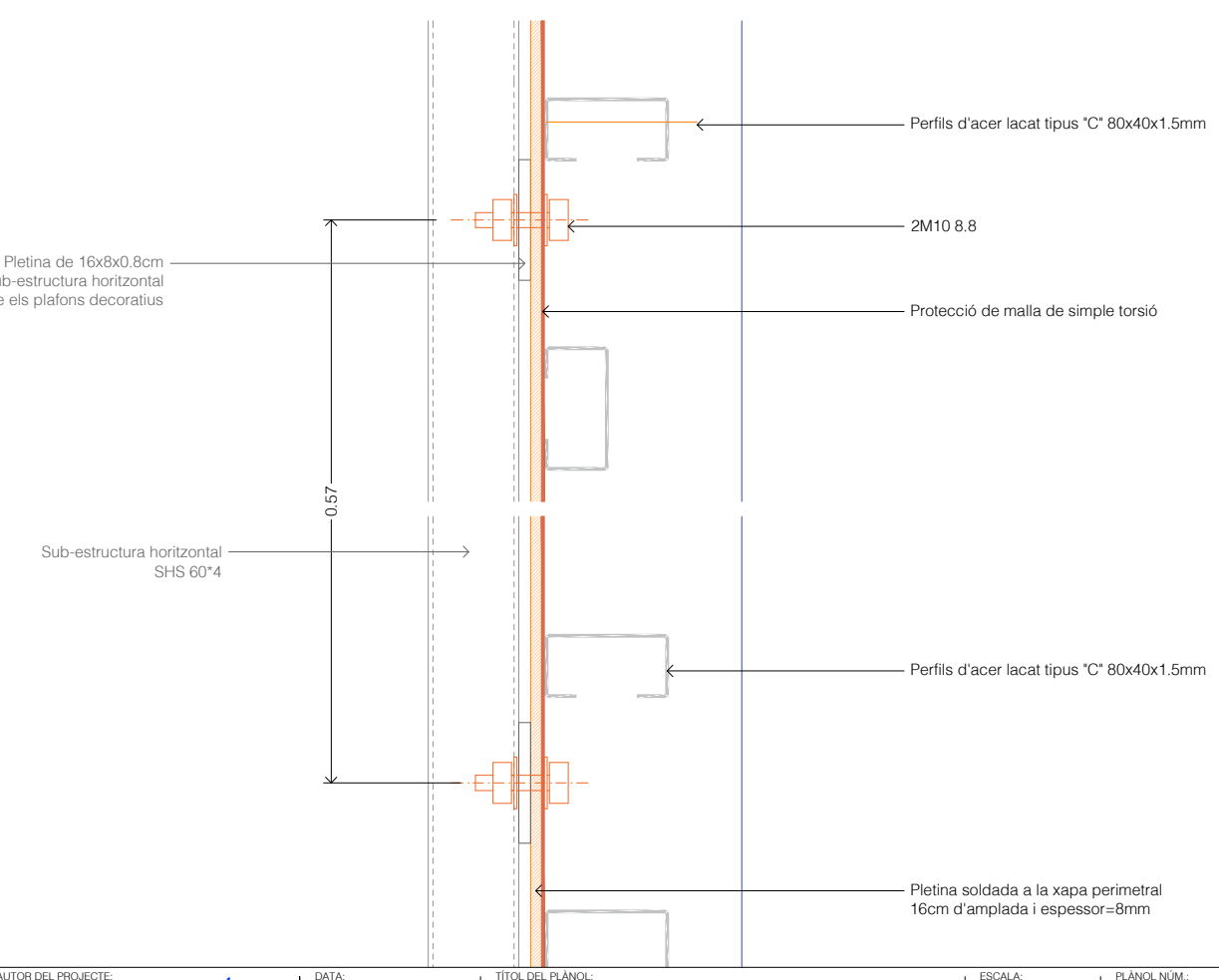
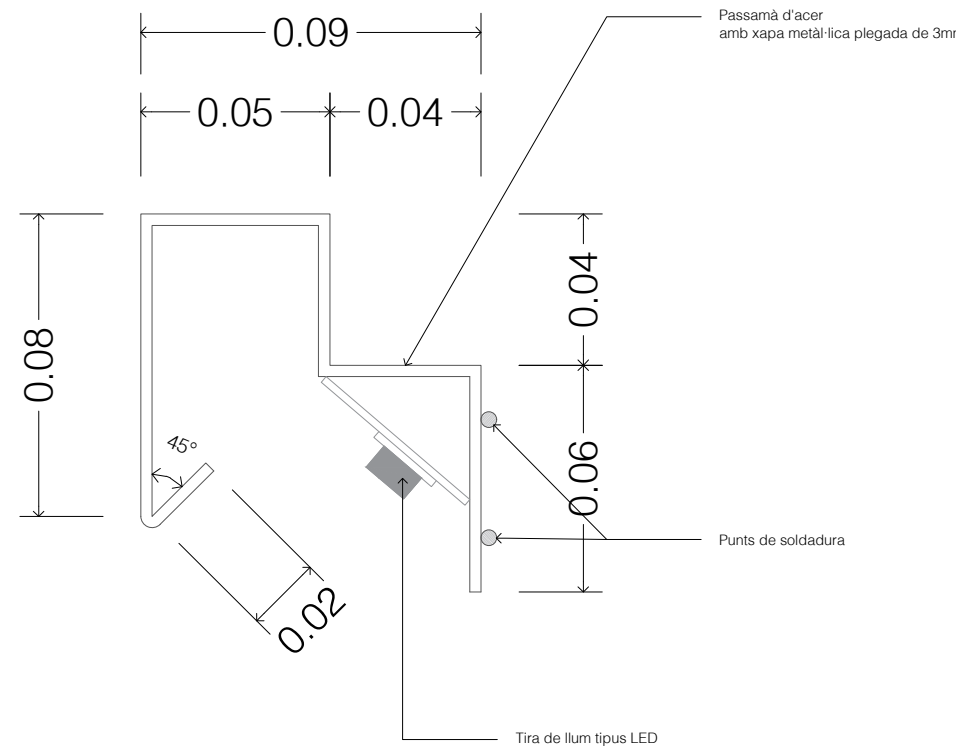




DETALL TIPUS 6
PLAFONS EXTERIORS
e 1/25



DETALL 7
PASSAMÀ METÀ-LIC AMB LLUMINÀRIA LED
e 1/2

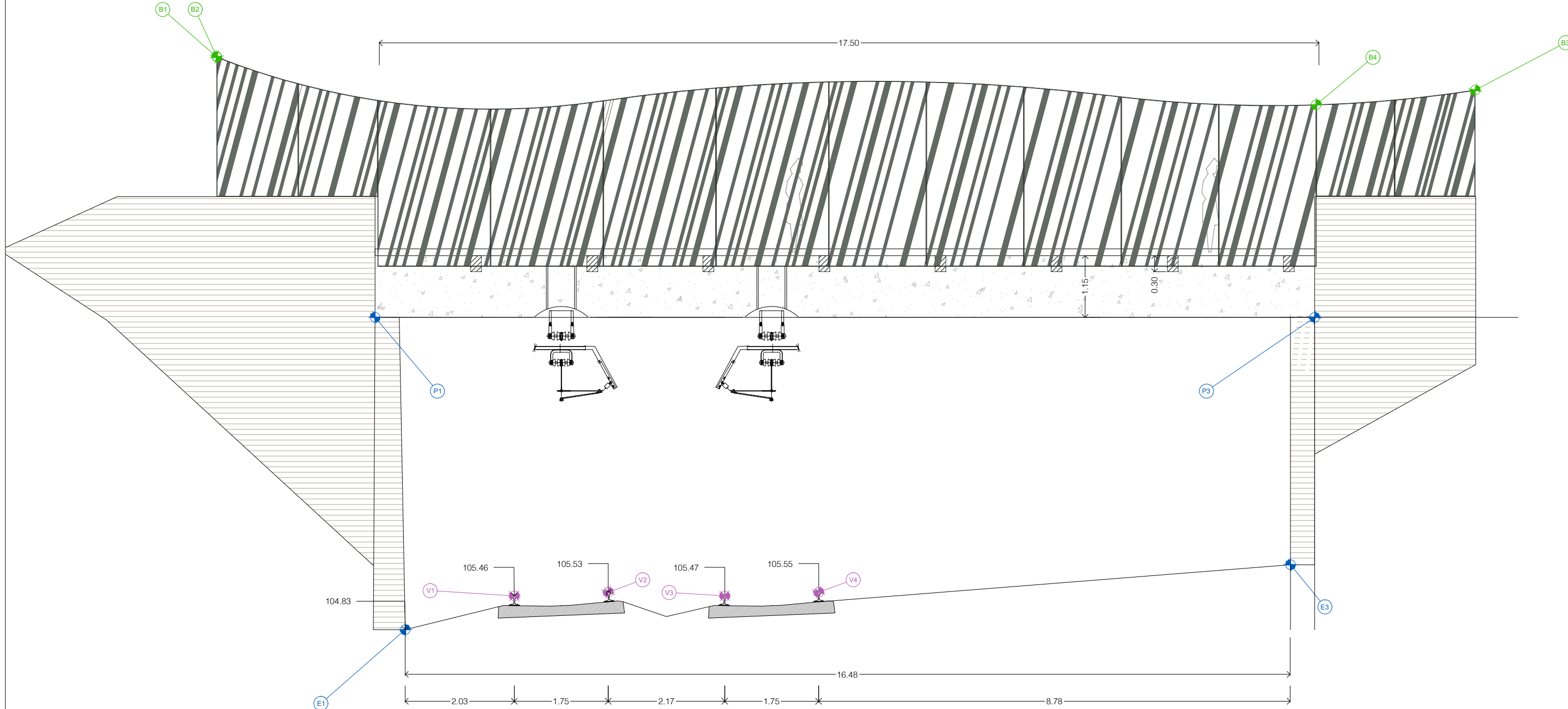


coordenades carril			
punt	x	y	z
V1	484.152,2220	4.642.344,5040	105,48
V2	484.153,8020	4.642.343,7490	105,56
V3	484.155,5680	4.642.342,2200	105,49
V4	484.157,0920	4.642.341,2800	105,56

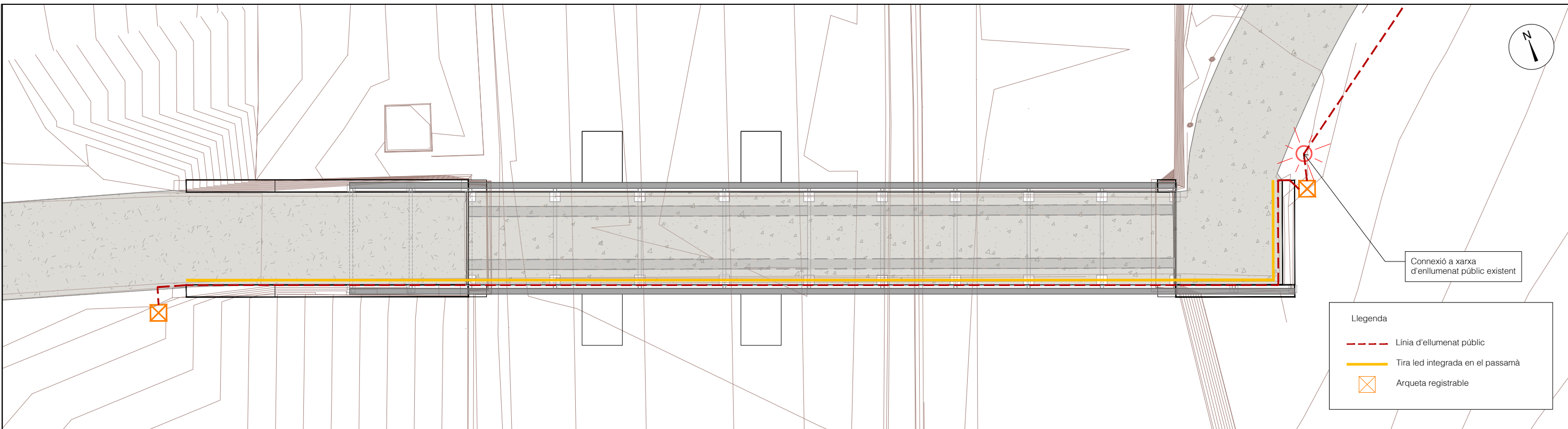
coordenades estrep pont			
punt	x	y	z
E1	484.149,7586	4.642.343,6110	104,83
E2	484.150,7210	4.642.346,2550	104,58
E3	484.165,2440	4.642.338,0070	106,04
E4	484.166,1450	4.642.340,4280	106,00

coordenades inferiors biga pont			
punt	x	y	z
P1	484.149,4166	4.642.344,3957	110,66
P2	484.149,9840	4.642.345,849	110,66
P3	484.165,8544	4.642.338,3025	110,61
P4	484.166,3550	4.642.339,786	110,61

coordenades barana pont			
punt	x	y	z
B1	484.146,4516	4.642.344,8537	115,5
B2	484.147,4183	4.642.347,4430	115,5
B3	484.168,4357	4.642.336,7209	114,88
B4	484.166,5976	4.642.348,0621	114,61



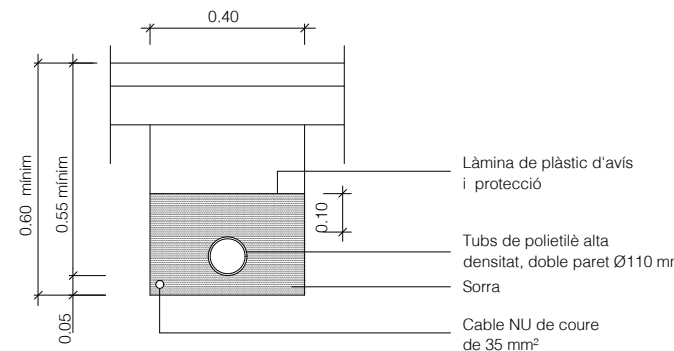




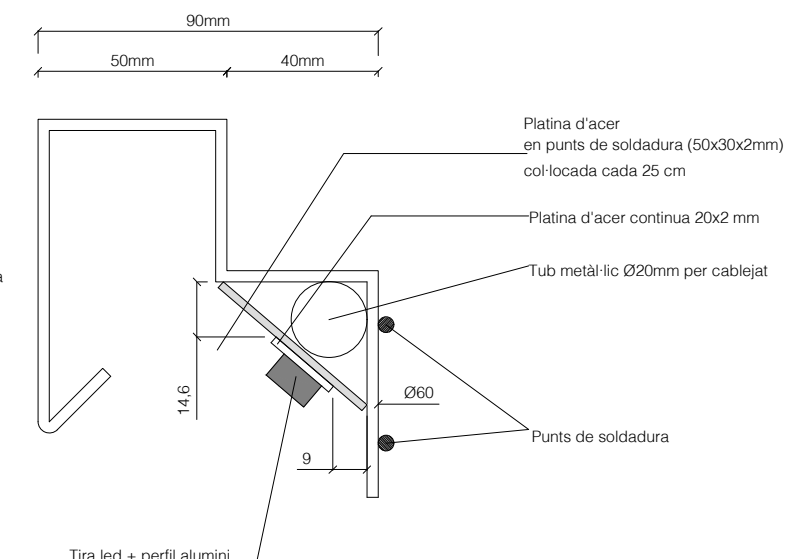
PLANTA
Escala: 1/100

RASA TIPUS PER A ENTUBAR CABLES
A ZONA DE VORERES

Escala: 1/20

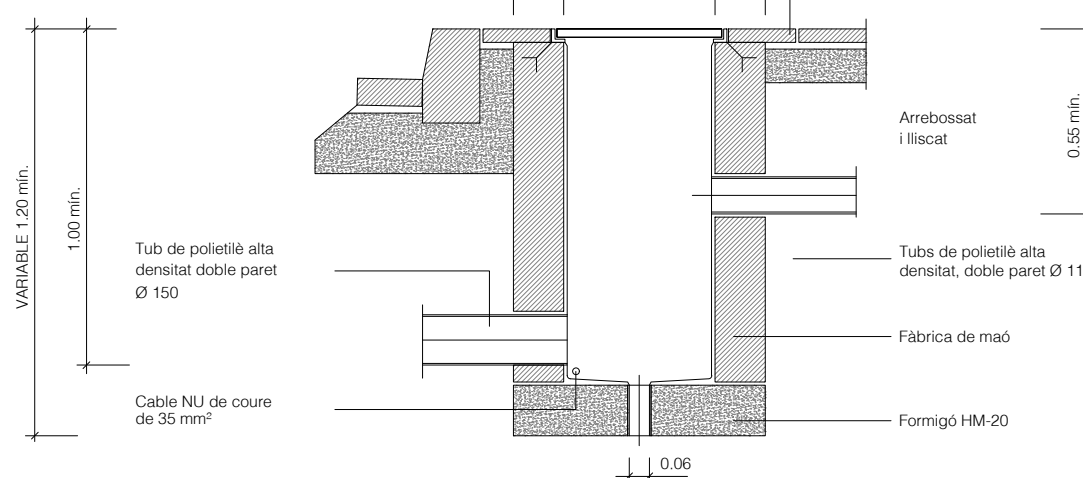


DETALL LLUMINÀRIA LED



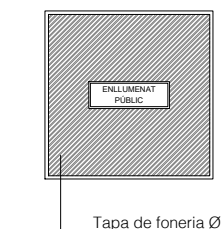
ARQUETA TIPUS I TAPA

Escala: 1/20



TAPA

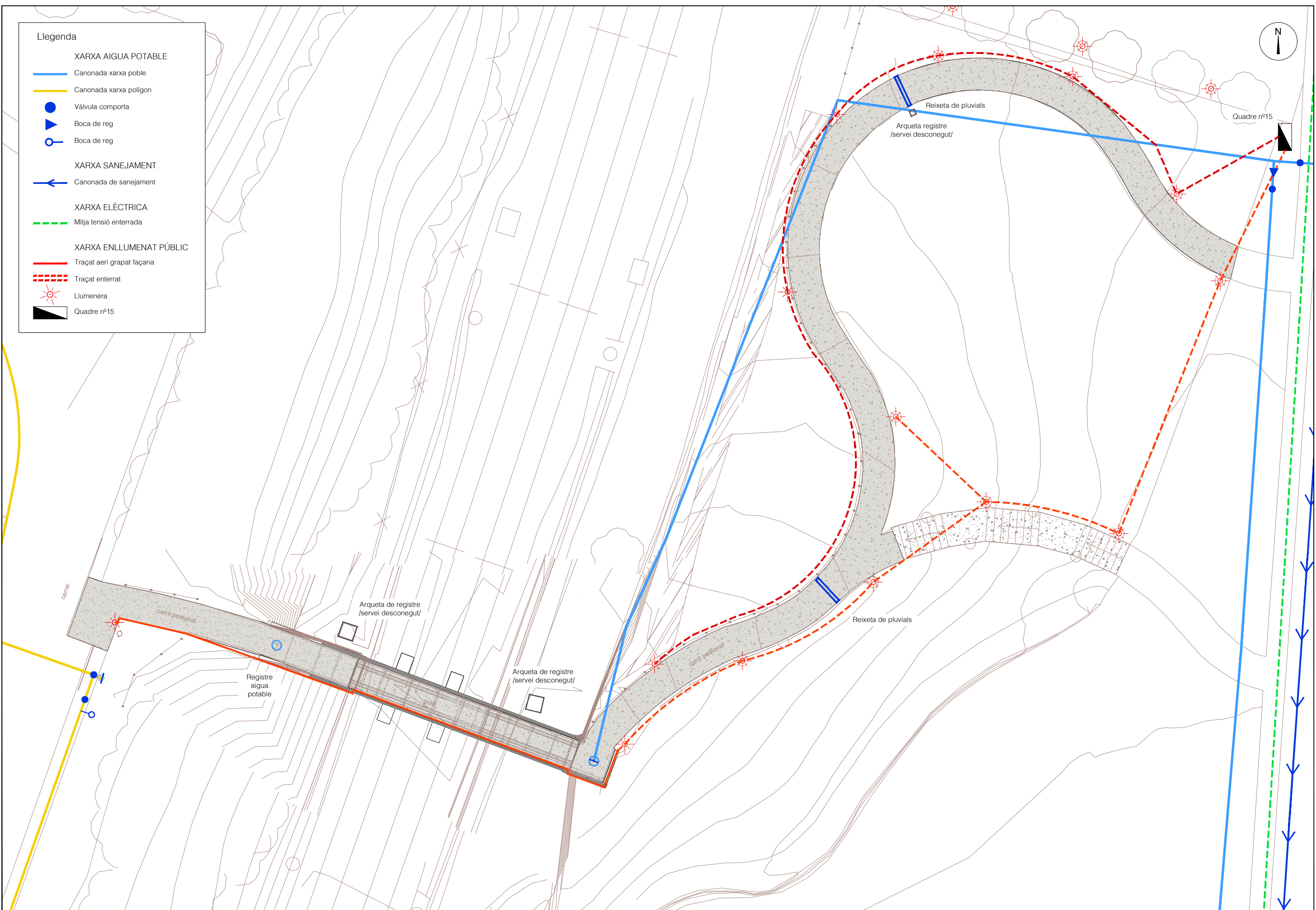
Escala: 1/20



TIRA DE LLUMINÀRIA LED

Escala: 1/2





DOCUMENT NÚM. 3: PRESSUPOST

AMIDAMENTS

Millora del pont de vianants sobre la via del tren entre els carrers Caterina Albert i carrer Rocacorba de Fornells de la Selva.
MAIG 2025

AMIDAMENTS

Pàg.: 1

Obra	01	PRESSUPOST 24081																																													
Capítol	01	TREBALLS PREVIS																																													
DESCRIPCIÓ																																															
1	G214Z001	u																																													
Implantació i retirada dels equips a obra. Inclou tots els mitjans auxiliars necessaris (bastides, elements elevadors, plataforma encarrilada, proteccions, etc.). Inclou també les despeses d'homologació de maquinària i formacions dels conductors.																																															
<table border="1"> <thead> <tr> <th>Num.</th><th>Text</th><th>Tipus</th><th>[C]</th><th>[D]</th><th>[E]</th><th>[F]</th><th>TOTAL</th><th>Fórmula</th></tr> </thead> <tbody> <tr> <td>1</td><td></td><td>T</td><td>Unitats</td><td></td><td></td><td></td><td></td><td></td></tr> <tr> <td>2</td><td></td><td></td><td></td><td>1,000</td><td></td><td></td><td>1,000</td><td>C#*D#*E#*F#</td></tr> <tr> <td colspan="6" style="text-align: right;">TOTAL AMIDAMENT</td><td></td><td>1,000</td><td></td></tr> </tbody> </table>			Num.	Text	Tipus	[C]	[D]	[E]	[F]	TOTAL	Fórmula	1		T	Unitats						2				1,000			1,000	C#*D#*E#*F#	TOTAL AMIDAMENT							1,000										
Num.	Text	Tipus	[C]	[D]	[E]	[F]	TOTAL	Fórmula																																							
1		T	Unitats																																												
2				1,000			1,000	C#*D#*E#*F#																																							
TOTAL AMIDAMENT							1,000																																								
2	PPALU001	pa																																													
Partida alçada d'abonament íntegre de tramitació, gestió i seguiment de les obres per part d'ADIF, incloent els costos de tramitació, els costos de gestió patrimonial i els costos de seguiment per part d'un agent durant el termini d'execució dels treballs d'ampliació de la vorera., que afectin a la infraestructura del ferrocarril.																																															
<table border="1"> <thead> <tr> <th>Num.</th><th>Text</th><th>Tipus</th><th>[C]</th><th>[D]</th><th>[E]</th><th>[F]</th><th>TOTAL</th><th>Fórmula</th></tr> </thead> <tbody> <tr> <td>1</td><td></td><td>T</td><td>Unitats</td><td></td><td></td><td></td><td></td><td></td></tr> <tr> <td>2</td><td></td><td></td><td></td><td>1,000</td><td></td><td></td><td>1,000</td><td>C#*D#*E#*F#</td></tr> <tr> <td colspan="6" style="text-align: right;">TOTAL AMIDAMENT</td><td></td><td>1,000</td><td></td></tr> </tbody> </table>			Num.	Text	Tipus	[C]	[D]	[E]	[F]	TOTAL	Fórmula	1		T	Unitats						2				1,000			1,000	C#*D#*E#*F#	TOTAL AMIDAMENT							1,000										
Num.	Text	Tipus	[C]	[D]	[E]	[F]	TOTAL	Fórmula																																							
1		T	Unitats																																												
2				1,000			1,000	C#*D#*E#*F#																																							
TOTAL AMIDAMENT							1,000																																								
3	G22D1011	m2																																													
Esbrossada del terreny de menys de 0,6 m, amb mitjans mecànics i càrrega mecànica sobre camió																																															
<table border="1"> <thead> <tr> <th>Num.</th><th>Text</th><th>Tipus</th><th>[C]</th><th>[D]</th><th>[E]</th><th>[F]</th><th>TOTAL</th><th>Fórmula</th></tr> </thead> <tbody> <tr> <td>1</td><td></td><td>C</td><td>Unitats</td><td>Longitud</td><td>Ample</td><td>Alçada</td><td></td><td></td></tr> <tr> <td>2</td><td>Esbrossada en l'entorn dels accessos</td><td></td><td>1,000</td><td>140,000</td><td>0,600</td><td></td><td>84,000</td><td>C#*D#*E#*F#</td></tr> <tr> <td colspan="6" style="text-align: right;">TOTAL AMIDAMENT</td><td></td><td>84,000</td><td></td></tr> </tbody> </table>			Num.	Text	Tipus	[C]	[D]	[E]	[F]	TOTAL	Fórmula	1		C	Unitats	Longitud	Ample	Alçada			2	Esbrossada en l'entorn dels accessos		1,000	140,000	0,600		84,000	C#*D#*E#*F#	TOTAL AMIDAMENT							84,000										
Num.	Text	Tipus	[C]	[D]	[E]	[F]	TOTAL	Fórmula																																							
1		C	Unitats	Longitud	Ample	Alçada																																									
2	Esbrossada en l'entorn dels accessos		1,000	140,000	0,600		84,000	C#*D#*E#*F#																																							
TOTAL AMIDAMENT							84,000																																								
<hr/>																																															
Obra	01	PRESSUPOST 24081																																													
Capítol	02	ENDERROCS																																													
DESCRIPCIÓ																																															
1	G21BZ001	m																																													
Enderroc de barana o tanca de qualsevol tipus, amb mitjans manuals i equip de oxitall i càrrega manual sobre camió o contenidor																																															
<table border="1"> <thead> <tr> <th>Num.</th><th>Text</th><th>Tipus</th><th>[C]</th><th>[D]</th><th>[E]</th><th>[F]</th><th>TOTAL</th><th>Fórmula</th></tr> </thead> <tbody> <tr> <td>1</td><td>Amidaments s/ plànols</td><td>T</td><td>Longitud</td><td></td><td></td><td></td><td></td><td></td></tr> <tr> <td>2</td><td>Barana metàl·lica</td><td></td><td></td><td>64,700</td><td></td><td></td><td>64,700</td><td>C#*D#*E#*F#</td></tr> <tr> <td>3</td><td>Reixa</td><td></td><td></td><td>26,400</td><td></td><td></td><td>26,400</td><td>C#*D#*E#*F#</td></tr> <tr> <td colspan="6" style="text-align: right;">TOTAL AMIDAMENT</td><td></td><td>91,100</td><td></td></tr> </tbody> </table>			Num.	Text	Tipus	[C]	[D]	[E]	[F]	TOTAL	Fórmula	1	Amidaments s/ plànols	T	Longitud						2	Barana metàl·lica			64,700			64,700	C#*D#*E#*F#	3	Reixa			26,400			26,400	C#*D#*E#*F#	TOTAL AMIDAMENT							91,100	
Num.	Text	Tipus	[C]	[D]	[E]	[F]	TOTAL	Fórmula																																							
1	Amidaments s/ plànols	T	Longitud																																												
2	Barana metàl·lica			64,700			64,700	C#*D#*E#*F#																																							
3	Reixa			26,400			26,400	C#*D#*E#*F#																																							
TOTAL AMIDAMENT							91,100																																								
2	G219U030	m2																																													
Demolició de voreres amb base de formigó o paviment de formigó, amb un gruix de 20 cm de cota mitja, incloses càrrega i transport a l'abocador, cànon d'abocament i manteniment de l'abocador																																															
<table border="1"> <thead> <tr> <th>Num.</th><th>Text</th><th>Tipus</th><th>[C]</th><th>[D]</th><th>[E]</th><th>[F]</th><th>TOTAL</th><th>Fórmula</th></tr> </thead> <tbody> <tr> <td>1</td><td>Amidaments s/ plànols</td><td>T</td><td>Superficie (m2</td><td></td><td></td><td></td><td></td><td></td></tr> <tr> <td>2</td><td>Paviment formigó</td><td></td><td></td><td>247,500</td><td></td><td></td><td>247,500</td><td>C#*D#*E#*F#</td></tr> <tr> <td>3</td><td>Paviment nanop</td><td></td><td></td><td>45.500</td><td></td><td></td><td>45.500</td><td>C#*D#*E#*F#</td></tr> <tr> <td colspan="6" style="text-align: right;">TOTAL AMIDAMENT</td><td></td><td>293,000</td><td></td></tr> </tbody> </table>			Num.	Text	Tipus	[C]	[D]	[E]	[F]	TOTAL	Fórmula	1	Amidaments s/ plànols	T	Superficie (m2						2	Paviment formigó			247,500			247,500	C#*D#*E#*F#	3	Paviment nanop			45.500			45.500	C#*D#*E#*F#	TOTAL AMIDAMENT							293,000	
Num.	Text	Tipus	[C]	[D]	[E]	[F]	TOTAL	Fórmula																																							
1	Amidaments s/ plànols	T	Superficie (m2																																												
2	Paviment formigó			247,500			247,500	C#*D#*E#*F#																																							
3	Paviment nanop			45.500			45.500	C#*D#*E#*F#																																							
TOTAL AMIDAMENT							293,000																																								

Millora del pont de vianants sobre la via del tren entre els carrers
Caterina Albert i carrer Rocacorba de Fornells de la Selva.
MAIG 2025

AMIDAMENTS

Pàg.: 2

3 G219U100		m	Tall amb serra de disc de paviment de mescles bituminoses o formigó, de 20 cm a 30 cm de fondària					TOTAL AMIDAMENT	293,000
Num.	Text		Tipus	[C]	[D]	[E]	[F]	TOTAL	Fórmula
1			T	Longitud					
2				216,000				216,000	C#*D#*E#*F#
					TOTAL AMIDAMENT			216,000	
Obra		01	PRESSUPOST 24081						
Capítol		03	REPARACIÓ ESTRUCTURAL						
NUM.	CODI	UA	DESCRIPCIÓ						
1	K45RU500	m2	Neteja de superfícies de formigó amb raig de sorra de silice de granulometria 1-2 mm						
Num.	Text		Tipus	[C]	[D]	[E]	[F]	TOTAL	Fórmula
1			C	Unitats	Longitud	Amplada			
2	Tauler			2,000	17,500	0,160		5,600	C#*D#*E#*F#
3				1,000	17,500	2,300		40,250	C#*D#*E#*F#
4	Estampidors			9,000	1,100	0,200		1,980	C#*D#*E#*F#
5				18,000	1,100	0,300		5,940	C#*D#*E#*F#
6	Bigues			2,000	17,500	0,250		8,750	C#*D#*E#*F#
7				4,000	17,500	1,100		77,000	C#*D#*E#*F#
					TOTAL AMIDAMENT			139,520	
2	K45RU520	m2	Reparació de superfícies escorstonades, amb segregacions, escantellades, erosions o zones am desprendiments en paraments de formigó, amb morter tixotòpic de dos components de ciment, resines sintètiques, fum de silice i reforçat amb fibres, inclòs sanejat manual, ripatcat fins a 2 cm darrera l'armadura principal i amb un ripatcat màxim de 6 cm, amb aplicació de pont d'unió i passivat d'armadures						
Num.	Text		Tipus	[C]	[D]	[E]	[F]	TOTAL	Fórmula
1			C	Unitats	Longitud	Amplada	%		
2	Canell del tauler			2,000	17,500	0,160	0,500	2,800	C#*D#*E#*F#
3	Estampidors			9,000	1,100	0,200	0,500	0,990	C#*D#*E#*F#
4				18,000	1,100	0,300	0,500	2,970	C#*D#*E#*F#
5	Bigues			2,000	17,500	0,250	1,000	8,750	C#*D#*E#*F#
6				4,000	17,500	1,100	0,300	23,100	C#*D#*E#*F#
					TOTAL AMIDAMENT			38,610	
3	K8B2U002	m2	Revestiment anticarbonatació de formigó vist, amb tres capes de pintura de resines acríliques en dispersió aquosa de color blanc o gris, aplicades manualment o per projecció						
Num.	Text		Tipus	[C]	[D]	[E]	[F]	TOTAL	Fórmula
1			C	Unitats	Longitud	Amplada			
2	Tauler			2,000	17,500	0,160		5,600	C#*D#*E#*F#
3				1,000	17,500	2,300		40,250	C#*D#*E#*F#
4	Estampidors			9,000	1,100	0,200		1,980	C#*D#*E#*F#
5				18,000	1,100	0,300		5,940	C#*D#*E#*F#
6	Bigues			2,000	17,500	0,250		8,750	C#*D#*E#*F#
7				4,000	17,500	1,100		77,000	C#*D#*E#*F#
					TOTAL AMIDAMENT			139,520	

AMIDAMENTS

Pàg.: 3

Obra 01 PRESSUPOST 24081
Capitol 04 PAVIMENTOS

NUM.	CODI	UA	DESCRIPCIÓ
------	------	----	------------

1	G921U020	m3	Base de tot-u artificial, estesa, humectació i compactació, mesurat sobre perfil teòric					
Num.	Text	Tipus	[C]	[D]	[E]	[F]	TOTAL	Fórmula
1	Amidaments s/ plànols	T	Superfície	Gruix				
2	Base		295,000	0,150			44,250	C#*D#*E#*F#
					TOTAL AMIDAMENT		44,250	
2	F9H3Z002	m2	Suministre, estesa i compactació de mescla bituminosa amb calent tipus FIRCOLOR SAULÓ, de Sorigué equivalent, amb capa de 4cm de gruix.					
Num.	Text	Tipus	[C]	[D]	[E]	[F]	TOTAL	Fórmula
1	Amidaments s/ plànols	T	Superfície					
2	Fircolor		334,000				334,000	C#*D#*E#*F#
					TOTAL AMIDAMENT		334,000	
3	G9H1U020	t	Mescla bituminosa en calent AC 22 bin B 50/70 S, inclòs filler, estesa i compactada, sense incloure betum					
Num.	Text	Tipus	[C]	[D]	[E]	[F]	TOTAL	Fórmula
1	Amidaments s/ plànols	T	Superfície	Gruix	Densitat			
2	AC22		334,000	0,040	2,400		32,064	C#*D#*E#*F#
					TOTAL AMIDAMENT		32,064	
4	G9HA0010	t	Betum asfàltic tipus B 50/70, per a mescles bituminoses					
Num.	Text	Tipus	[C]	[D]	[E]	[F]	TOTAL	Fórmula
1	Amidaments s/ plànols	T	Mescla	Dosificació				
2	AC22		32,064	0,050			1,603	C#*D#*E#*F#
					TOTAL AMIDAMENT		1,603	

5 G9J1U020 m2 Reg d'adherència amb emulsió catiònica, tipus C60B4 ADH o C60B3 ADH

AMIDAMENTS

Pàg.: 4

Num.	Text	Tipus	[C]	[D]	[E]	[F]	TOTAL	Fórmula
1	Amidaments s/ plànols	T	Superfície					
2	Fircolor		334,000				334,000	C#*D#*E#*F#
TOTAL AMIDAMENT							334,000	
6 G9J1U010 m2 Reg emprimació amb emulsió catiónica, tipus C50BF5 IMP								
Num.	Text	Tipus	[C]	[D]	[E]	[F]	TOTAL	Fórmula
1	Amidaments s/ plànols	T	Superfície					
2	Fircolor		295,000				295,000	C#*D#*E#*F#
TOTAL AMIDAMENT							295,000	
7 E878C652 m2 Neteja de parament de morter amb raig d'aigua desionitzada a pressió, fins a 2 bar								
Num.	Text	Tipus	[C]	[D]	[E]	[F]	TOTAL	Fórmula
1		T	Longitud	Amplada				
2	Escales		20,000	2,500			50,000	C#*D#*E#*F#
TOTAL AMIDAMENT							50,000	
<hr/>								
Obra	01	PRESSUPOST 24081						
Capítol	05	PROTECCIONS						
NUM.	CODI	UA	DESCRIPCIÓ					
1	EB14ZA01	kg	Passamà. Acer UNE-EN 10162 S235JRC, en corretges metàl·liques formades per peces simples de perfils conformats en fred amb 5 plecs, acabat galvanitzat, fixades a la subestructura amb unions soldades.					
Num.	Text	Tipus	[C]	[D]	[E]	[F]	TOTAL	Fórmula
1		T	Longitud	Pes/ml				
2			24,500	5,000			122,500	C#*D#*E#*F#
3			29,500	5,000			147,500	C#*D#*E#*F#
TOTAL AMIDAMENT							270,000	
2	EB14ZA02	kg	Perfils tipus C. Acer UNE-EN 10162 S235JRC, en corretges metàl·liques formades per peces simples de perfils conformats en fred de les sèries C, fixades a la subestructura amb unions cargolades. Granellades i amb tractament antioxidant.					
Num.	Text	Tipus	[C]	[D]	[E]	[F]	TOTAL	Fórmula
1		T	longitud total	kg/m				
2	Costat llarg		261,000	2,100			548,100	C#*D#*E#*F#
3	Costat curt		238,000	2,100			499,800	C#*D#*E#*F#
TOTAL AMIDAMENT							1.047,900	
3	EB14ZA03	kg	Subestructura. Acer UNE-EN 10025 S275JR, en biguetes formades por peces simples de perfils laminats en calent de secció quadrada, acabat galvanitzat en calent, amb unions soldades en obra.					
Num.	Text	Tipus	[C]	[D]	[E]	[F]	TOTAL	Fórmula
1		T	longitud	kg/m				
2	Perfil vertical 80x80x4mm Costat llarg		40,000	9,220			368,800	C#*D#*E#*F#
3	Perfil vertical 80x80x4mm Costat curt		37,000	9,220			341,140	C#*D#*E#*F#
4	Perfil horizontal 80x80x4mm		29,000	9,220			265,160	C#*D#*E#*F#

AMIDAMENTS

Pàg.: 5

5	Perfil horizontal 60x604mm Costat llarg	61,000	6,710	409,310	C#*D#*E#*F#
6	Perfil horizontal 60x60x4mm Costat curt	56,000	6,710	375,760	C#*D#*E#*F#
7					C#*D#*E#*F#
8	Previsió per passamà sobre mur	17,000	6,710	114,070	C#*D#*E#*F#
					TOTAL AMIDAMENT 1.867,240

4 E444Z001 kg Acer UNE-EN 10025 S275JR, en biguetes formades por peces simples de perfils laminats en calent tipus UPN-160, i pletina de 40x6mm, acabat amb emprimació antioxidant, amb pern d'unió a suport de formigó.

Num.	Text	Tipus	[C]	[D]	[E]	[F]	TOTAL	Fórmula
1		T	Unitats	Pes unitari	Longitud	kg/m		
2	Pletines 160x80x8mm (Costat llarg)		132,000	0,800			105,600	C#*D#*E#*F#
3	Pletines 160x80x8mm (Costat curt)		120,000	0,800			96,000	C#*D#*E#*F#
5	Pletines h plafó (Costat llarg)				65,000	10,050	653,250	C#*D#*E#*F#
6	Pletines h plafó (Costat curt)				59,000	10,050	592,950	C#*D#*E#*F#
8	Pletines estructura vertical- taulell		20,000	8,350			167,000	C#*D#*E#*F#
9	Pletines estructura vertical - mur		6,000	3,100			18,600	C#*D#*E#*F#
11	Pletines estructura vertical-horizontal		134,000	0,360			48,240	C#*D#*E#*F#
13	Entornapeu		2,000		21,870	8,570	374,852	C#*D#*E#*F#
15	Pletines plafons		7.850,000	120,710	0,140	0,008	1.061,282	C#*D#*E#*F#
								TOTAL AMIDAMENT 3.117,774

5 E894Z002 m2 Aplicació manual de dues mans d'esmalt sintètic d'assecat ràpid, a base de resines alquídiques, color RAL 7016, acabat brillant, (rendiment: 0,077 l/m² cada mà); prèvia aplicació d'una mà d'emprimació sintètica antioxidant d'assecat ràpid, a base de resines alquídiques, color gris, acabat mat (rendiment: 0,125 l/m²), sobre biga formada per peces simples de perfils laminats d'acer.

Num.	Text	Tipus	[C]	[D]	[E]	[F]	TOTAL	Fórmula
1		T	Desplegament	Longitud				
2	Costat llarg		0,480	261,000			125,280	C#*D#*E#*F#
3	Costat curt		0,480	238,000			114,240	C#*D#*E#*F#
								TOTAL AMIDAMENT 239,520

6 F6A1Z100 m Clos de parcel·la format per malla de simple torsió, de 50 mm de passada de malla i 1,8 mm de diàmetre, acabat galvanitzat i pals d'acer galvanitzat de 48 mm de diàmetre i 3 m d'alçada, encastats en daus de formigó, en pous excavats en el terreny. Inclús accessoris per a la fixació de la malla de simple torsió als pals metà·l·ics.

Num.	Text	Tipus	[C]	[D]	[E]	[F]	TOTAL	Fórmula
1		T	unitats	longitud				
2			2,000	25,000			50,000	C#*D#*E#*F#
								TOTAL AMIDAMENT 50,000

7 K4BP1112 u Ancoratge amb acer en barres corrugades de 12 mm de diàmetre, amb perforació i injectat continu d'adhesiu d'aplicació unilateral de resines epoxi sense dissolvents, de dos components i baixa viscositat

Num.	Text	Tipus	[C]	[D]	[E]	[F]	TOTAL	Fórmula
1		T	nº pletines	nº ancoratges				
2	Ancoratges a mur		6,000	4,000			24,000	C#*D#*E#*F#
3	Ancoratges a llosa del pont		20,000	4,000			80,000	C#*D#*E#*F#
								TOTAL AMIDAMENT 104,000

8 E878C652 m2 Neteja de parament de morter amb raig d'aigua desionitzada a pressió, fins a 2 bar

AMIDAMENTS

Pàg.: 6

Num.	Text	Tipus	[C]	[D]	[E]	[F]	TOTAL	Fórmula
1		T		Longitud				
2	Muret				20,000	1,200	24,000	C#*D#*E#*F#
								TOTAL AMIDAMENT 24,000

9 GGD1222U u Piqueta de connexió a terra d'acer, amb recobriment de coure 300 µm de gruix, de 1500 mm llargària de 14,6 mm de diàmetre, clavada a terra

Num.	Text	Tipus	[C]	[D]	[E]	[F]	TOTAL	Fórmula
1		T		Unitats				
2	Marge dret				3,000		3,000	C#*D#*E#*F#
3	Marge esquerre				3,000		3,000	C#*D#*E#*F#
								TOTAL AMIDAMENT 6,000

10 GG31Z007 m Conductor de coure 0,6/11 kV de secció 2x6 mm². Subministrament i instal·lació a rasa entubat.

Num.	Text	Tipus	[C]	[D]	[E]	[F]	TOTAL	Fórmula
1		T		m				
2	Marge dret				38,000		38,000	C#*D#*E#*F#
3	Marge esquerre				38,000		38,000	C#*D#*E#*F#
								TOTAL AMIDAMENT 76,000

11 FG380020 m Cable nu de coure de 35 mm² de secció per a xarxa d'enllumenat. Inclou connexions i proves, subministrament i col·locació. Tot inclòs.

Num.	Text	Tipus	[C]	[D]	[E]	[F]	TOTAL	Fórmula
1		T						
2	Marge dret				8,000		8,000	C#*D#*E#*F#
3	Marge esquerre				8,000		8,000	C#*D#*E#*F#
								TOTAL AMIDAMENT 16,000

Obra 01 PRESSUPOST 24081
 Capítol 06 IL·LUMINACIÓ

NUM.	CODI	UA	DESCRIPCIÓ
1	GG31Z006	u	Adaptació de quadre per línia addicional. Inclou material elèctric (Diferencial 40A/2P/300mA, PIA 10A/2P i petit material)

<table border

AMIDAMENTS

Pàg.: 7

						TOTAL AMIDAMENT	5,000
3	GG31Z007	m	Conductor de coure 0.6/11 kV de secció 2x6 mm2. Subministrament i instal·lació a rasa entubat.				
	Num.	Text	Tipus	[C]	[D]	[E]	[F]
	1			35,000			35,000 C#*D##E##F#
					TOTAL AMIDAMENT	35,000	
4	GG31Z003	m	Subministrament conductor de coure color groc-verd de 1x16 mm2 per connexió de terra				
	Num.	Text	Tipus	[C]	[D]	[E]	[F]
	1			35,000			35,000 C#*D##E##F#
					TOTAL AMIDAMENT	35,000	
5	GG22U010	u	Tub metàl·lic galvanitzat endollable de D 40mm, inclòs P.P fixacions d'acer galvanitzat a parament i elements de cautxú superior i interior per la protecció de la humitat, completament muntat i adaptat per la connexió amb la tira led. Inclou connexió del cable de terra i cablejat intern.				
					AMIDAMENT DIRECTE	1,000	
6	GDK2Z032	u	Subministrament i instal·lació de caixa de connexions estanca per connexió amb tira de led. Inclou portafusibles fusibles i petit material				
					AMIDAMENT DIRECTE	1,000	
7	GDK2Z034	m	Subministrament de tira LED de 14,4W al metre lineal amb IP65 a 24V. Instal·lació i muntatge a baranes de passera. Inclou tira led, perfil d'alumini, connectors, fonts d'alimentació IP65 (4 unitats), cablejat i petit material d'enclavatge.				
	Num.	Text	Tipus	[C]	[D]	[E]	[F]
	1			30,000			30,000 C#*D##E##F#
					TOTAL AMIDAMENT	30,000	
8	GG230700	m	Tub d'acer galvanitzat per a pas de cables, de 20 mm de diàmetre nominal exterior, roscat, per a instal·lació sobre superfície, amb part proporcional de suports i accessoris inclòs transport a obra				
	Num.	Text	Tipus	[C]	[D]	[E]	[F]
	1			30,000			30,000 C#*D##E##F#
					TOTAL AMIDAMENT	30,000	
9	GG15Z040	u	Subministrament i col·locació de caixa de protecció amb xapa d'acer, per la col·locació de les caixes de connexions estanques de la instal·lació d'enllument, de 350x300x150 mm de dimensions mínimes interiors, fixada en estructura metàl·lica o mur de formigó, inclosos material auxiliar de fixació i ancoratge.				
					AMIDAMENT DIRECTE	1,000	
10	GDK2U030	u	Pericó per a canalització de serveis de 40x40x60 cm de secció interior, amb parets de 15 cm de gruix i solera de 10 cm de gruix de formigó HM-20, inclòs excavació, transport a l'abocador, cànon d'abocament i manteniment de l'abocador				
					AMIDAMENT DIRECTE	2,000	
11	GDKZU040	u	Marc i tapa de 40x40 cm, de fosa dúctil, classe B-125, segons UNE-EN 124, totalment col·locat				

AMIDAMENTS

Pàg.: 8

QUADRE DE PREUS NÚM. 1

Millora del pont de vianants sobre la via del tren entre els carrers
 Caterina Albert i carrer Rocacorba de Fornells de la Selva.
 MAIG 2025

Millora del pont de vianants sobre la via del tren entre els carrers
 Caterina Albert i carrer Rocacorba de Fornells de la Selva.
 MAIG 2025

QUADRE DE PREUS NÚMERO 1

Pàg.: 1

NÚMERO	CODI	UA	DESCRIPCIÓ	PREU
P-1	E444Z001	kg	Acer UNE-EN 10025 S275JR, en biguetes formades per peces simples de perfils laminats en calent tipus UPN-160, i plateria de 40x6mm, acabat amb emprimació antioxidant, amb pern d'unió a suport de formigó. (DOS EUROS AMB NORANTA-UN CÈNTIMS)	2,91 €
P-2	E878C652	m2	Neteja de parament de morter amb raig d'aigua desionitzada a pressió, fins a 2 bar (DEU EUROS AMB TRENTA CÈNTIMS)	10,30 €
P-3	E894Z002	m2	Aplicació manual de dues mans d'esmalta sintètic d'assecat ràpid, a base de resines alquídiques, color RAL 7016, acabat brillant, (rendiment: 0,077 l/m ² cada mà); prèvia aplicació d'una mà d'emprimació sintètica antioxidant d'assecat ràpid, a base de resines alquídiques, color gris, acabat mat (rendiment: 0,125 l/m ²), sobre biga formada per peces simples de perfils laminats d'acer. (VINT-I-CINC EUROS AMB QUARANTA-QUATRE CÈNTIMS)	25,44 €
P-4	EB14ZA01	kg	Passamà. Acer UNE-EN 10162 S235JRC, en correguts metàl·liques formades per peces simples de perfils conformats en fred amb 5 plecs, acabat galvanitzat, fixades a la subestructura amb unions soldades. (NOU EUROS AMB CINQUANTA CÈNTIMS)	9,50 €
P-5	EB14ZA02	kg	Perfils tipus C. Acer UNE-EN 10162 S235JRC, en correguts metàl·liques formades per peces simples de perfils conformats en fred de les sèries C, fixades a la subestructura amb unions cargolades. Granellades i amb tractament antioxidant. (QUATRE EUROS AMB SET CÈNTIMS)	4,07 €
P-6	EB14ZA03	kg	Subestructura. Acer UNE-EN 10025 S275JR, en biguetes formades per peces simples de perfils laminats en calent de secció quadrada, acabat galvanitzat en calent, amb unions soldades en obra. (QUATRE EUROS AMB SET CÈNTIMS)	4,07 €
P-7	F6A1Z100	m	Clos de parcel·la format per malla de simple torsió, de 50 mm de passada de malla i 1,8 mm de diàmetre, acabat galvanitzat i pals d'acer galvanitzat de 48 mm de diàmetre i 3 m d'alçada, encastats en daus de formigó, en pous excavats en el terreny. Inclús accessoris per a la fixació de la malla de simple torsió als pals metàl·lics. (DISSET EUROS AMB SETANTA-SIS CÈNTIMS)	17,76 €
P-8	F9H3Z002	m2	Suministre, estesa i compactació de mescla bituminosa amb calent tipus FIRCOLOR SAULÓ, de Sorigué o equivalent, amb capa de 4cm de gruix. (VINT-I-CINC EUROS AMB DINOU CÈNTIMS)	25,19 €
P-9	FDG3I030	m	Canalització superficial per a enllumenat públic amb protecció de formigó HM-20/B/20/I, inclosa excavació, subministrament i col·locació de tubs de PVC de 80/100 mm, protecció amb formigó HM-20/B/20/I. Tot inclòs completament acabat. (DISSET EUROS AMB SETANTA-TRES CÈNTIMS)	17,73 €
P-10	FG380020	m	Cable nu de cuire de 35 mm ² de secció per a xarxa d'enllumenat. Inclou connexions i proves, subministrament i col·locació. Tot inclòs. (SIS EUROS AMB TRENTA-SIS CÈNTIMS)	6,36 €
P-11	FGZZI070	u	Redacció del projecte de legalització elèctrica d'enllumenat, per a un armari de potència a legalitzar inferior o igual a 5 kW; visat per un col·legi professional incloent el certificat final d'obra; presentació a ICICT o ECA de tota la documentació necessària; llurament de l'acta d'aprovació del projecte i de les instal·lacions. Tot inclòs. (MIL SIS-CENTS VUITANTA-TRES EUROS AMB VUITANTA-QUATRE CÈNTIMS)	1.683,84 €
P-12	G214Z001	u	Implantació i retirada dels equips a obra. Inclou tots els mitjans auxiliars necessaris (bastides, elements elevadors, plataforma encarrilada, proteccions, etc.). Inclou també les despeses d'homologació de maquinària i formacions dels conductors. (ONZE MIL SET-CENTS SEIXANTA-TRES EUROS AMB VINT-I-QUATRE CÈNTIMS)	11.763,24 €

QUADRE DE PREUS NÚMERO 1

Pàg.: 2

NÚMERO	CODI	UA	DESCRIPCIÓ	PREU
P-13	G219U030	m2	Demolició de voreres amb base de formigó o paviment de formigó, amb un gruix de 20 cm de cota mitja, incloses càrrega i transport a l'abocador, canon d'abocament i manteniment de l'abocador (SET EUROS AMB SEIXANTA-VUIT CÈNTIMS)	7,68 €
P-14	G219U100	m	Tall amb serra de disc de paviment de mesgles bituminoses o formigó, de 20 cm a 30 cm de fondària (SIS EUROS AMB NORANTA-QUATRE CÈNTIMS)	6,94 €
P-15	G21BZ001	m	Enderroc de barana o tanca de qualsevol tipus, amb mitjans manuals i equip de oxitall i càrrega manual sobre camió o contenidor (DIVUIT EUROS AMB SEIXANTA-DOS CÈNTIMS)	18,62 €
P-16	G22D1011	m2	Esbrossada del terreny de menys de 0,6 m, amb mitjans mecànics i càrrega mecànica sobre camió (UN EUROS AMB TRENTA-UN CÈNTIMS)	1,31 €
P-17	G921U020	m3	Base de tot-u artificial, estesa, humectació i compactació, mesurat sobre perfil teòric (TRENTA-UN EUROS AMB SETANTA-QUATRE CÈNTIMS)	31,74 €
P-18	G9H1U020	t	Mescla bituminosa en calent AC 22 bin B 50/70 S, inclòs filler, estesa i compactada, sense incloure betum (SEIXANTA-VUIT EUROS AMB TRENTA-SET CÈNTIMS)	68,37 €
P-19	G9HA0010	t	Betum asfàltic tipus B 50/70, per a mesgles bituminoses (CINC-CENTS SETANTA-QUATRE EUROS AMB VINT-I-VUIT CÈNTIMS)	574,28 €
P-20	G9J1U010	m2	Reg d'emprimació amb emulsió catiònica, tipus C50BF5 IMP (ZERO EUROS AMB SEIXANTA-SET CÈNTIMS)	0,67 €
P-21	G9J1U020	m2	Reg d'adherència amb emulsió catiònica, tipus C60B4 ADH o C60B3 ADH (ZERO EUROS AMB QUARANTA-UN CÈNTIMS)	0,41 €
P-22	GDK2U030	u	Pericó per a canalització de serveis de 40x40x60 cm de secció interior, amb parets de 15 cm de gruix i solera de 10 cm de gruix de formigó HM-20, inclòs excavació, transport a l'abocador, canon d'abocament i manteniment de l'abocador (DOS-CENTS UN EUROS AMB QUARANTA-DOS CÈNTIMS)	201,42 €
P-23	GDK2Z032	u	Subministrament i instal·lació de caixa de connexions estanca per connexió amb tira de led. Inclou portafusibles, fusibles i petit material (QUARANTA-SIS EUROS AMB SETANTA-VUIT CÈNTIMS)	46,78 €
P-24	GDK2Z034	m	Subministrament de tira LED de 14,4W al metre lineal amb IP65 a 24V. Instal·lació i muntatge a baranes de la passera. Inclou tira led, perfil d'alumini, connectors, fonts d'alimentació IP65 (4 unitats), cablejat i petit material d'enclavatge. (QUARANTA-VUIT EUROS AMB QUARANTA-TRES CÈNTIMS)	48,43 €
P-25	GDKZU040	u	Marc i tapa de 40x40 cm, de fosa dúctil, classe B-125, segons UNE-EN 124, totalment col·locat (NORANTA-SIS EUROS AMB TRETZE CÈNTIMS)	96,13 €
P-26	GG15Z040	u	Subministrament i col·locació de caixa de protecció amb xapa d'acer, per la col·locació de les caixes de connexions estanques de la instal·lació d'enllumenat, de 350x300x150 mm de dimensions mínimes interiors, fixada en estructura metàl·lica o mur de formigó, inclosos material auxiliar de fixació i ancoratge. (CENT SETANTA-QUATRE EUROS AMB SETANTA CÈNTIMS)	174,70 €

QUADRE DE PREUS NÚMERO 1

Pàg.: 3

NÚMERO	CODI	UA	DESCRIPCIÓ	PREU
P-27	GG22U010	u	Tub metàl·lic galvanitzat endollable de D 40mm, inclòs P.P fixacions d'acer galvanitzat a parament i elements de cautxú superior i interior per la protecció de la humitat, completament muntat i adaptat per la connexió amb la tira led. Inclou connexió del cable de terra i cablejat intern. (QUARANTA-CINC EUROS AMB QUARANTA-NOU CÈNTIMS)	45,49 €
P-28	GG230700	m	Tub d'acer galvanitzat per a pas de cables, de 20 mm de diàmetre nominal exterior, roscat, per a instal·lació de superfície, amb part proporcional de suports i accessoris inclòs transport a obra (SETZE EUROS AMB VINT-I-NOU CÈNTIMS)	16,29 €
P-29	GG31Z003	m	Subministrament conductor de coure color groc-verd de 1x16 mm ² per connexió de terra (DOS EUROS AMB TRENTA-TRES CÈNTIMS)	2,33 €
P-30	GG31Z006	u	Adaptació de quadre per línia addicional. Inclou material elèctric (Diferencial 40A/2P/300mA, PIA 10A/2P i petit material) (CENT DEU EUROS AMB NORANTA-UN CÈNTIMS)	110,91 €
P-31	GG31Z007	m	Conductor de coure 0,6/11 kV de secció 2x6 mm ² . Subministrament i instal·lació a rasa entubat. (DOS EUROS AMB VINT-I-VUIT CÈNTIMS)	2,28 €
P-32	GGD1222U	u	Piqueta de connexió a terra d'acer, amb recobriment de coure 300 µm de gruix, de 1500 mm llargària de 14,6 mm de diàmetre, clavada a terra (TRENTA-CINC EUROS AMB VUIT CÈNTIMS)	35,08 €
P-33	K45RU500	m2	Neteja de superfícies de formigó amb raig de sorra de silice de granulometria 1-2 mm (SET EUROS AMB VUITANTA CÈNTIMS)	7,80 €
P-34	K45RU520	m2	Reparació de superfícies escorstonades, amb segregacions, escantellades, erosions o zones amb desprendiments en paraments de formigó, amb morter tixotòpic de dos components de ciment, resines sintètiques, fum de silice i reforç amb fibres, inclòs sanejat manual, repicat fins a 2 cm darrera l'armadura principal i amb un repicat màxim de 6 cm, amb aplicació de pont d'unió i passivat d'armadures (DOS-CENTS VUITANTA-TRES EUROS AMB QUARANTA-TRES CÈNTIMS)	283,43 €
P-35	K45RUZ10	m2	Impermeabilització, realitzada mitjançant el sistema Mapelastic "MAPEI SPAIN" o equivalent, format per dues capes de morter de ciment impermeabilitzant flexible bicomponent, color gris, malla de fibra de vidre antiàlcalis, de 4x5 mm de llum de malla i de 150 g/m ² de massa superficial, color blau; i banda de reforç de 120 mm d'amplada, composta per una pel·lícula de polietilè laminat sobre una banda de feltre, en punts singulars, amb un rendiment de 1,1 m ² /m ² ; prèvia aplicació d'adhesiu de ciment millorat, tipus C2 F, segons UNE-EN 12004, amb enduriment ràpid, sobre superfície suport. Totalment acabat, tot inclòs. (CINQUANTA-VUIT EUROS AMB QUARANTA-QUATRE CÈNTIMS)	58,44 €
P-36	K4BP1112	u	Ancoratge amb acer en barres corrugades de 12 mm de diàmetre, amb perforació i injectat continu d'adhesiu d'aplicació unilateral de resines epoxi sense dissolvents, de dos components i baixa viscositat (ONZE EUROS AMB SETANTA-SET CÈNTIMS)	11,77 €
P-37	K8B2U002	m2	Revestiment anticarbonatació de formigó vist, amb tres capes de pintura de resines acríliques en dispersió aquosa de color blanc o gris, aplicades manualment o per projecció (DOTZE EUROS AMB VUITANTA-UN CÈNTIMS)	12,81 €
P-38	M9RZU010	u	Desmontatge i col·locació per situar a nova rasant de marc i tapa de pous de clavegueres o altres serveis, en obres de recobriment asfàltic, amb morter de ciment (CENT DISSET EUROS AMB TRENTA-DOS CÈNTIMS)	117,32 €

QUADRE DE PREUS NÚMERO 1

Pàg.: 4

NÚMERO	CODI	UA	DESCRIPCIÓ	PREU
P-39	M9RZU020	u	Desmontatge i col·locació per a situar a nova rasant de reixes de desguàs en obres de recobriment asfàltic (TRENTA-TRES EUROS AMB SETANTA-QUATRE CÈNTIMS)	33,74 €
P-40	PPALU001	pa	Partida alçada d'abonament íntegre de tramitació, gestió i seguiment de les obres per part d'ADIF, incloent els costos de tramitació, els costos de gestió patrimonial i els costos de seguiment per part d'un agent durant el termini d'execució dels treballs d'ampliació de la vorera., que afectin a la infraestructura del ferrocarril. (SIS MIL SIS-CENTS SETANTA-UN EUROS AMB DINOU CÈNTIMS)	6.671,19 €

Fornells de la Selva, maig de 2025

L'autor del projecte,

Joan Macarro Ortega
 Enginyer de camins, canals i ports
 Col·legiat núm. 20.306
 ABM, Serveis d'enginyeria i consulting, SL

QUADRE DE PREUS NÚM. 2

QUADRE DE PREUS NÚMERO 2

Pàg.: 1

NÚMERO	CODI	UA	DESCRIPCIÓ	PREU
P-1	E444Z001	kg	Acer UNE-EN 10025 S275JR, en biguetes formades per peces simples de perfils laminats en calent tipus UPN-160, i pletina de 40x6mm, acabat amb emprimació antioxidant, amb pern d'unió a suport de formigó.	2,91 €
	B44Z50A5	kg	Acer S275JR segons UNE-EN 10025-2, format per peça composta, en perfils laminats en calent sèrie IPN, IPE, HEB, HEA, HEM i UPN, treballat al taller per a col·locar amb cargols i amb una capa d'imprimació antioxidant	1,89000 €
			Altres conceptes	1,02000 €
P-2	E878C652	m2	Neteja de parament de morter amb raig d'aigua desionitzada a pressió, fins a 2 bar	10,30 €
	B0111100	l	Aigua desionitzada no polaritzada	0,33600 €
			Altres conceptes	9,96400 €
P-3	E894Z002	m2	Aplicació manual de dues mans d'esmalta sintètic d'assecat ràpid, a base de resines alquídiques, color RAL 7016, acabat brillant, (rendiment: 0,077 l/m ² cada mà); prèvia aplicació d'una mà d'imprimació sintètica antioxidant d'assecat ràpid, a base de resines alquídiques, color gris, acabat mat (rendiment: 0,125 l/m ²), sobre biga formada per peces simples de perfils laminats d'acer.	25,44 €
	B89ZB000	kg	Esmalt sintètic	4,16925 €
	B8ZAA000	kg	Imprimació antioxidant	3,08448 €
			Altres conceptes	18,18627 €
P-4	EB14ZA01	kg	Passanà. Acer UNE-EN 10162 S235JRC, en corretges metàl·liques formades per peces simples de perfils conformats en fred amb 5 plecs, acabat galvanitzat, fixades a la subestructura amb unions soldades.	9,50 €
	B5ZZJTNT	u	Vis d'acer galvanitzat de 5,5x110 mm, amb junts de plom i ferro i tac de niló de diàmetre 8/10 mm	0,60000 €
	B44ZU001	kg	Acer S235JR en perfils laminats o planxa, tallat a mida i treballat a taller i una capa d'emprimació antioxidant	1,98450 €
			Altres conceptes	6,91550 €
P-5	EB14ZA02	kg	Perfils tipus C. Acer UNE-EN 10162 S235JRC, en corretges metàl·liques formades per peces simples de perfils conformats en fred de les sèries C, fixades a la subestructura amb unions cargolades. Granellades i amb tractament antioxidant.	4,07 €
	B5ZZJTNT	u	Vis d'acer galvanitzat de 5,5x110 mm, amb junts de plom i ferro i tac de niló de diàmetre 8/10 mm	0,60000 €
	B44ZU001	kg	Acer S235JR en perfils laminats o planxa, tallat a mida i treballat a taller i una capa d'emprimació antioxidant	1,98450 €
			Altres conceptes	1,48550 €
P-6	EB14ZA03	kg	Subestructura. Acer UNE-EN 10025 S275JR, en biguetes formades per peces simples de perfils laminats en calent de secció quadrada, acabat galvanitzat en calent, amb unions soldades en obra.	4,07 €
	B5ZZJTNT	u	Vis d'acer galvanitzat de 5,5x110 mm, amb junts de plom i ferro i tac de niló de diàmetre 8/10 mm	0,60000 €
	B44ZU011	kg	Acer S275JR en perfils laminats o planxa, tallat a mida i treballat a taller i una capa d'emprimació antioxidant	1,98450 €
			Altres conceptes	1,48550 €
P-7	F6A1Z100	m	Clos de parcel·la format per malla de simple torsió, de 50 mm de passada de malla i 1,8 mm de diàmetre, acabat galvanitzat i pals d'acer galvanitzat de 48 mm de diàmetre i 3 m d'alçada, encastats en daus de formigó, en pous excavats en el terreny. Inclús accessoris per a la fixació de la malla de simple torsió als pals metàl·lics.	17,76 €
	B0A216SG	m2	Tela metàl·lica de simple torsió de filferro galvanitzat de 50 mm de pas de malla i de D 2,7 mm	9,00000 €
			Altres conceptes	8,76000 €
P-8	F9H3Z002	m2	Suministre, estesa i compactació de mescla bituminosa amb calent tipus FIRCOLOR SAULÓ, de Sorigué o equivalent, amb capa de 4cm de gruix.	25,19 €

QUADRE DE PREUS NÚMERO 2

Pàg.: 2

NÚMERO	CODI	UA	DESCRIPCIÓ	PREU
	B9H3Z002	m ²	Mescla bituminosa amb calent tipus FIRCOLOR SAULÓ, de Sorigué o equivalent, amb capa de 4cm de gruix.	23,66700 €
			Altres conceptes	1,52300 €
P-9	FDG3I030	m	Canalització superficial per a enllumenat públic amb protecció de formigó HM-20/B/20/I, inclosa excavació, subministrament i col·locació de tubs de PVC de 80/100 mm, protecció amb formigó HM-20/B/20/I. Tot inclòs completament acabat.	17,73 €
	BG21RH10	m	Tub rígid de PVC, de 90 mm de diàmetre nominal, aïllant i no propagador de la flama, amb una resistència a l'impacte de 6 J, resistència a compressió de 250 N, de 1.8 mm de gruix	3,26400 €
	B064300B	m ³	Formigó HM-20/B/20/I de consistència tova, grandària màxima del granulat 20 mm, amb >= 200 kg/m ³ de ciment, apte per a classe d'exposició I	5,93440 €
			Altres conceptes	8,53160 €
P-10	FG380020	m	Cable nu de coure de 35 mm ² de secció per a xarxa d'enllumenat. Inclou connexions i proves, subministrament i col·locació. Tot inclòs.	6,36 €
	BG380900	m	Conductor de coure nu, unipolar de secció 1x35 mm ²	1,79520 €
	BGY38000	u	Part proporcional d'elements especials per a conductors de coure nus	0,21000 €
			Altres conceptes	4,35480 €
P-11	FGZZI070	u	Redacció del projecte de legalització elèctrica d'enllumenat, per a un armari de potència a legalitzar inferior o igual a 5 kW; visat per un col·legi professional incloent el certificat final d'obra; presentació a ICICT o ECA de tota la documentació necessària; llurament de l'acta d'aprovació del projecte i de les instal·lacions. Tot inclòs.	1.683,84 €
	BGZZI010	u	Confecció del projecte de legalització de l'enllumenat per a un armari de potència a legalitzar inferior o igual a 5 kW; visat per un col·legi professional incloent el certificat final d'obra; presentació a ICICT o ECA de tota la documentació necessària; llurament de l'acta d'aprovació del projecte i de les instal·lacions. Tot inclòs	1.603,66000 €
			Altres conceptes	80,18000 €
P-12	G214Z001	u	Implantació i retirada dels equips a obra. Inclou tots els mitjans auxiliars necessaris (bastides, elements elevadors, plataforma encarrilada, proteccions, etc.). Inclou també les despeses d'homologació de maquinària i formacions dels conductors.	11.763,24 €
			Sense descomposició	11.763,24000 €
P-13	G219U030	m ²	Demolició de voreres amb base de formigó o paviment de formigó, amb un gruix de 20 cm de cota mitja, incloses càrrega i transport a l'abocador, canon d'abocament i manteniment de l'abocador	7,68 €
			Altres conceptes	7,68000 €
P-14	G219U100	m	Tall amb serra de disc de paviment de mesclas bituminoses o formigó, de 20 cm a 30 cm de fondària	6,94 €
			Altres conceptes	6,94000 €
P-15	G21BZ001	m	Enderroc de barana o tanca de qualsevol tipus, amb mitjans manuals i equip de oxitall i càrrega manual sobre camió o contenidor	18,62 €
			Altres conceptes	18,62000 €
P-16	G22D1011	m ²	Esbrossada del terreny de menys de 0,6 m, amb mitjans mecànics i càrrega mecànica sobre camió	1,31 €
			Altres conceptes	1,31000 €
P-17	G921U020	m ³	Base de tot-u artificial, estesa, humectació i compactació, mesurat sobre perfil teòric	31,74 €
	B0111000	m ³	Aigua	0,11000 €
	B037200U	m ³	Tot-u artificial, inclòs transport a l'obra	28,44000 €
			Altres conceptes	3,19000 €
P-18	G9H1U020	t	Mescla bituminosa en calent AC 22 bin B 50/70 S, inclòs filler, estesa i compactada, sense incloure betum	68,37 €

QUADRE DE PREUS NÚMERO 2

Pàg.: 3

NÚMERO	CODI	UA	DESCRIPCIÓ	PREU
	B9H1U020	t	Mescla bituminosa en calent AC 22 S per a capa intermitja, inclos filler, sense incloure betum, a peu de planta asfàltica	52,98000 €
			Altres conceptes	15,39000 €
P-19	G9HA0010	t	Betum asfàltic tipus B 50/70, per a mescles bituminoses	574,28 €
	B055U001	t	Betum asfàltic tipus B 50/70	546,93000 €
			Altres conceptes	27,35000 €
P-20	G9J1U010	m2	Reg emprimació amb emulsió catiònica, tipus C50BF5 IMP	0,67 €
	B055U024	kg	Emulsió bituminosa catiònica al 50% de betum, tipus C50BF5 IMP	0,49200 €
			Altres conceptes	0,17800 €
P-21	G9J1U020	m2	Reg d'adherència amb emulsió catiònica, tipus C60B4 ADH o C60B3 ADH	0,41 €
	B055U020	kg	Emulsió bituminosa catiònica al 60% de betum, tipus C60B4 ADH o C60B3 ADH	0,18600 €
			Altres conceptes	0,22400 €
P-22	GDK2U030	u	Pericó per a canalització de serveis de 40x40x60 cm de secció interior, amb parets de 15 cm de gruix i solera de 10 cm de gruix de formigó HM-20, inclos excavació, transport a l'abocador, cànon d'abocament i manteniment de l'abocador	201,42 €
	B0D21030	m	Tauló de fusta de pi per a 10 usos	2,30000 €
	B0D8U001	m2	Amortització de plafó metàl·lic pla per a 40 usos	6,16500 €
	B0DZA000	l	Desencofrant	1,22400 €
	B0DZU005	u	Materials auxiliars per a encofrar	4,58000 €
	B060U310	m3	Formigó HM-20, consistència plàstica i granulat màxim 20 mm, inclos transport a l'obra	51,78900 €
			Altres conceptes	135,36200 €
P-23	GDK2Z032	u	Subministrament i instal·lació de caixa de connexions estanca per connexió amb tira de led. Inclou portafusibles, fusibles i petit material	46,78 €
			Sense descomposició	46,78000 €
P-24	GDK2Z034	m	Subministrament de tira LED de 14,4W al metre lineal amb IP65 a 24V. Instal·lació i muntatge a baranes de la passera. Inclou tira led, perfil d'alumini, connectors, fonts d'alimentació IP65 (4 unitats), cablejat i petit material d'enclavatge.	48,43 €
			Sense descomposició	48,43000 €
P-25	GDKZU040	u	Marc i tapa de 40x40 cm, de fossa dúctil, classe B-125, segons UNE-EN 124, totalment col·locat	96,13 €
	BDKZU040	u	Marc i tapa de 40x40 cm, de fossa dúctil, classe B-125, segons UNE-EN 124	68,48000 €
	B071U005	m3	Morter de ciment de Classe M-5 (5 N/mm ²) segons la Norma UNE 998-2	1,76655 €
			Altres conceptes	25,88345 €
P-26	GG15Z040	u	Subministrament i col·locació de caixa de protecció amb xapa d'acer, per la col·locació de les caixes de connexions estanques de la instal·lació d'enllument, de 350x300x150 mm de dimensions mínimes interiors, fixada en estructura metàl·lica o mur de formigó, inclosos material auxiliar de fixació i ancoratge.	174,70 €
			Sense descomposició	174,70000 €
P-27	GG22U010	u	Tub metàl·lic galvanitzat endollable de D 40mm, inclos P.P fixacions d'acer galvanitzat a parament i elements de cautxú superior i interior per la protecció de la humitat, completament muntat i adaptat per la connexió amb la tira led. Inclou connexió del cable de terra i cablejat intern.	45,49 €
			Sense descomposició	45,49000 €
P-28	GG230700	m	Tub d'acer galvanitzat per a pas de cables, de 20 mm de diàmetre nominal exterior, roscat, per a instal·lació de superfície, amb part proporcional de suports i accessoris inclos transport a obra	16,29 €

QUADRE DE PREUS NÚMERO 2

Pàg.: 4

NÚMERO	CODI	UA	DESCRIPCIÓ	PREU
	BG230710	m	Tub d'acer galvanitzat per a pas de cables, de 20 mm de diàmetre nominal exterior, roscat, per a instal·lació de superfície	10,46000 €
	BGW23000	u	Part proporcional d'accessoris per a tubs rígids d'acer	0,09330 €
			Altres conceptes	5,73670 €
P-29	GG31Z003	m	Subministrament conductor de coure color groc-verd de 1x16 mm ² per connexió de terra	2,33 €
			Sense descomposició	2,33000 €
P-30	GG31Z006	u	Adaptació de quadre per línia addicional. Inclou material elèctric (Diferencial 40A/2P/300mA, PIA 10A/2P i petit material)	110,91 €
			Sense descomposició	110,91000 €
P-31	GG31Z007	m	Conductor de coure 0,6/11 KV de secció 2x6 mm ² . Subministrament i instal·lació a rasa entubat.	2,28 €
			Sense descomposició	2,28000 €
P-32	GGD1222U	u	Piqueta de connexió a terra d'acer, amb recobriment de coure 300 µm de gruix, de 1500 mm llargària de 14,6 mm de diàmetre, clavada a terra	35,08 €
	BGYD1000	u	Part proporcional d'elements especials per a piques de connexió a terra	5,59000 €
	BGD12220	u	Piqueta de connexió a terra d'acer i recobriment de coure, de 1500 mm de llargària, de 14,6 mm de diàmetre, de 300 µm	15,50000 €
			Altres conceptes	13,99000 €
P-33	K45RU500	m2	Neteja de superfícies de formigó amb raig de sorra de silice de granulometria 1-2 mm	7,80 €
	B0314500	t	Sorra de silice de 0 a 3,5 mm	0,66369 €
			Altres conceptes	7,13631 €
P-34	K45RU520	m2	Reparació de superfícies escorstonades, amb segregacions, escantellades, erosions o zones amb desprendiments en paraments de formigó, amb morter tixotòpic de dos components de ciment, resines sintètiques, fum de silice i reforç amb fibres, inclos sanejat manual, ripcat fins a 2 cm darrer l'armadura principal i amb un ripcat màxim de 6 cm, amb aplicació de pont d'unió i passivat d'armadures	283,43 €
	B0715100	kg	Morter polimèric de ciment amb resines sintètiques i fibres, tixotòpic i de retracció controlada per a reparació	156,60000 €
	B0717000	kg	Morter polimèric de ciment amb resines epoxi per a imprimació anticorrosiva i pont d'unió	9,32400 €
			Altres conceptes	117,50600 €
P-35	K45RUZ10	m2	Impermeabilització, realitzada mitjançant el sistema Mapelastic "MAPEI SPAIN" o equivalent, format per dues capes de morter de ciment impermeabilitzant flexible bicomponent, color gris, malla de fibra de vidre antiàcalis, de 4x5 mm de llum de malla i de 150 g/m ² de massa superficial, color blau; i banda de reforç de 120 mm d'amplada, composta per una pel·lícula de polietilè laminat sobre una banda de feltre, en punts singulars, amb un rendiment de 1,1 m ² /m ² , prèvia aplicació d'adhesiu de ciment millorat, tipus C2 F, segons UNE-EN 12004, amb enduriment ràpid, sobre superfície suport. Totalment acabat, tot inclos.	58,44 €
			Sense descomposició	58,44000 €
P-36	K4BP1112	u	Ancoratge amb acer en barres corrugades de 12 mm de diàmetre, amb perforació i injectat continu d'adhesiu d'aplicació unilateral de resines epoxi sense dissolvents, de dos components i baixa viscositat	11,77 €
	B0B2A000	kg	Acer en barres corrugades B500S de límit elàstic >= 500 N/mm ²	0,77390 €
	B0907200	kg	Adhesiu de resines epoxi sense dissolvents, de dos components i baixa viscositat, per a ús estructural per a injectar	2,48400 €
			Altres conceptes	8,51210 €
P-37	K8B2U002	m2	Revestiment anticarbonatació de formigó vist, amb tres capes de pintura de resines acríliques en dispersió aquosa de color blanc o gris, aplicades manualment o per projecció	12,81 €

QUADRE DE PREUS NÚMERO 2

Pàg.: 5

NÚMERO	CODI	UA	DESCRIPCIÓ	PREU
	B8ZAU040	kg	Pintura de resines acríliques en dispersió acuosa, anticarbonatació per a protecció de superfícies de formigó o morter	3.22800 €
			Altres conceptes	9,58200 €
P-38	M9RZU010	u	Desmontatge i col·locació per situar a nova rasant de marc i tapa de pous de clavegueres o altres serveis, en obres de recobriment asfàltic, amb morter de ciment	117,32 €
			Altres conceptes	117,32000 €
P-39	M9RZU020	u	Desmontatge i col·locació per a situar a nova rasant de reixes de desguàs en obres de recobriment asfàltic	33,74 €
			Altres conceptes	33,74000 €
P-40	PPALU001	pa	Partida alçada d'abonament íntegre de tramitació, gestió i seguiment de les obres per part d'ADIF, incloent els costos de tramitació, els costos de gestió patrimonial i els costos de seguiment per part d'un agent durant el termini d'execució dels treballs d'ampliació de la vorera., que afectin a la infraestructura del ferrocarril.	6.671,19 €
			Sense descomposició	6.671,19000 €

Fornells de la Selva, maig de 2025

L'autor del projecte,



Joan Macarro Ortega
Enginyer de camins, canals i ports
Col·legiat núm. 20.306
ABM, Serveis d'enginyeria i consulting, SL

PRESSUPOST

Millora del pont de vianants sobre la via del tren entre els carrers
Caterina Albert i carrer Rocacorba de Fornells de la Selva.
MAIG 2025

PRESSUPOST

Pàg.: 1

Obra	01	Pressupost 24081
Capitol	01	Treballs previs

NUM.	CODI	UA	DESCRIPCIÓ	PREU	AMIDAMENT	IMPORT
------	------	----	------------	------	-----------	--------

1	G214Z001	u	Implantació i retirada dels equips a obra. Inclou tots els mitjans auxiliars necessaris (bastides, elements elevadors, plataforma encarrilada, proteccions, etc.). Inclou també les despeses d'homologació de maquinària i formacions dels conductors. (P - 12)	11.763,24	1,000	11.763,24
2	PPALU001	pa	Partida alçada d'abonament íntegre de tramitació, gestió i seguiment de les obres per part d'ADIF, incloent els costos de tramitació, els costos de gestió patrimonial i els costos de seguiment per part d'un agent durant el termini d'execució dels treballs d'ampliació de la vorera., que afectin a la infraestructura del ferrocarril. (P - 40)	6.671,19	1,000	6.671,19
3	G22D1011	m2	Esbrossada del terreny de menys de 0,6 m, amb mitjans mecànics i càrrega mecànica sobre camió (P - 16)	1,31	84,000	110,04
TOTAL	Capitol		01.01			18.544,47

Obra	01	Pressupost 24081
Capitol	02	Enderrocs

NUM.	CODI	UA	DESCRIPCIÓ	PREU	AMIDAMENT	IMPORT
------	------	----	------------	------	-----------	--------

1	G21BZ001	m	Enderroc de barana o tanca de qualsevol tipus, amb mitjans manuals i equip de oxitall i càrrega manual sobre camió o contenidor (P - 15)	18,62	91,100	1.696,28
2	G219U030	m2	Demolició de voreres amb base de formigó o paviment de formigó, amb un gruix de 20 cm de cota mitja, incloses càrrega i transport a l'abocador, canon d'abocament i manteniment de l'abocador (P - 13)	7,68	293,000	2.250,24
3	G219U100	m	Tall amb serra de disc de paviment de mescles bituminoses o formigó, de 20 cm a 30 cm de fondària (P - 14)	6,94	216,000	1.499,04

TOTAL	Capitol		01.02			5.445,56
--------------	----------------	--	--------------	--	--	-----------------

Obra	01	Pressupost 24081
Capitol	03	Reparació estructural

NUM.	CODI	UA	DESCRIPCIÓ	PREU	AMIDAMENT	IMPORT
------	------	----	------------	------	-----------	--------

1	K45RU500	m2	Neteja de superfícies de formigó amb raig de sorra de silice de granulometria 1-2 mm (P - 33)	7,80	139,520	1.088,26
2	K45RU520	m2	Reparació de superfícies escorstonades, amb segregacions, escantellades, erosions o zones amb desprendiments en paraments de formigó, amb morter tioxotòpic de dos components de ciment, resines sintètiques, fum de silice i reforç amb fibres, inclos sanejat manual, repicat fins a 2 cm darrera l'armadura principal i amb un repicat màxim de 6 cm, amb aplicació de pont d'unió i passivat d'armadures (P - 34)	283,43	38,610	10.943,23
3	K8B2U002	m2	Revestiment anticarbonatació de formigó vist, amb tres capes de pintura de resines acríliques en dispersió aquosa de color blanc o gris, aplicades manualment o per projecció (P - 37)	12,81	139,520	1.787,25
4	K45RUZ10	m2	Impermeabilització, realizada mitjançant el sistema Mapelastic "MAPEI SPAIN" o equivalent, format per dues capes de morter de ciment impermeabilitzant flexible bicomponent, color gris, malla de fibra de vidre antiàcalis, de 4x5 mm de llum de malla i de 150 g/m ² de massa superficial, color blau; i banda de reforç de 120 mm d'amplada, composta per una pel·lícula de polietilè laminat sobre una banda de fletre, en punts singulars, amb un rendiment de 1,1 m/m ² ; prèvia aplicació d'adhesiu de ciment millorat, tipus C2 F, segons UNE-EN 12004, amb enduriment ràpid, sobre superfície suport. Totalment acabat, tot inclos. (P - 35)	58,44	139,520	8.153,55

Millora del pont de vianants sobre la via del tren entre els carrers
Caterina Albert i carrer Rocacorba de Fornells de la Selva.
MAIG 2025

PRESSUPOST

Pàg.: 2

TOTAL	Capitol		01.03		21.972,29
--------------	----------------	--	--------------	--	------------------

Obra	01	Pressupost 24081
Capitol	04	Paviments

NUM.	CODI	UA	DESCRIPCIÓ	PREU	AMIDAMENT	IMPORT
1	G921U020	m3	Base de tot-u artificial, estesa, humectació i compactació, mesurat sobre perfil teòric (P - 17)	31,74	44,250	1.404,50
2	F9H3Z002	m2	Suministre, estesa i compactació de mescla bituminosa amb calent tipus FIRCOLOR SAULÓ, de Sorigué o equivalent, amb capa de 4cm de gruix. (P - 8)	25,19	334,000	8.413,46
3	G9H1U020	t	Mescla bituminosa en calent AC 22 bin B 50/70 S, inclos filler, estesa i compactada, sense incloure betum (P - 18)	68,37	32,064	2.192,22
4	G9HA0010	t	Betum asfàltic tipus B 50/70, per a mescles bituminoses (P - 19)	574,28	1,603	920,57
5	G9J1U020	m2	Reg d'adherència amb emulsió catònica, tipus C60B4 ADH o C60B3 ADH (P - 21)	0,41	334,000	136,94
6	G9J1U010	m2	Reg emprimació amb emulsió catònica, tipus C50BF5 IMP (P - 20)	0,67	295,000	197,65
7	E878C652	m2	Neteja de parament de morter amb raig d'aigua desionitzada a pressió, fins a 2 bar (P - 2)	10,30	50,000	515,00

TOTAL	Capitol		01.04		13.780,34
--------------	----------------	--	--------------	--	------------------

Obra	01	Pressupost 24081
Capitol	05	Proteccions

NUM.	CODI	UA	DESCRIPCIÓ	PREU	AMIDAMENT	IMPORT
1	EB14ZA01	kg	Passamà. Acer UNE-EN 10162 S235JRC, en corretges metà-líquies formades per peces simples de perfils conformats en fred amb 5 plecs, acabat galvanitzat, fixades a la subestructura amb unions soldades. (P - 4)	9,50	270,000	2.565,00
2	EB14ZA02	kg	Perfils tipus C. Acer UNE-EN 10162 S235JRC, en corretges metà-líquies formades per peces simples de perfils conformats en fred de les sèries C, fixades a la subestructura amb unions cargolades. Granellades i amb tractament antioxidant. (P - 5)	4,07	1.047,900	4.264,95
3	EB14ZA03	kg	Subestructura. Acer UNE-EN 10025 S275JR, en biguetes formades per peces simples de perfils laminats en calent tipus UPN-160, i pletna de 40x6mm, acabat amb emprimació antioxidant, amb pern d'unió a suport de formigó. (P - 6)	4,07	1.867,240	7.599,67
4	E444Z001	kg	Acer UNE-EN 10025 S275JR, en biguetes formades per peces simples de perfils laminats en calent tipus UPN-160, i pletna de 40x6mm, acabat amb emprimació antioxidant, amb pern d'unió a suport de formigó. (P - 1)	2,91	3.117,774	9.072,72
5	E894Z002	m2	Aplicació manual de dues mans d'esmalta sintètic d'assecat ràpid, a base de resines alquíduques, color RAL 7016, acabat brillant, (rendiment: 0,077 l/m ² cada mà); prèvia aplicació d'una mà d'emprimació sintètica antioxidant d'assecat ràpid, a base de resines alquíduques, color gris, acabat mat (rendiment: 0,125 l/m ²), sobre biga formada per peces simples de perfils laminats d'acer. (P - 3)	25,44	239,520	6.093,39
6	F6A1Z100	m	Clos de parcel·la format per malla de simple torsió, de 50 mm de passada de malla i 1,8 mm de diàmetre, acabat galvanitzat i pals d'acer galvanitzat de 48 mm de diàmetre i 3 m d'alçada, encastats en daus de formigó, en pous excavats en el terreny. Inclús accessoris per a la fixació de la malla de simple torsió als pals metà-lítics. (P - 7)	17,76	50,000	888,00
7	K4BP1112	u	Ancoratge amb acer en barres corrugades de 12 mm de diàmetre, amb perforació i injectat continu d'adhesiu d'aplicació unilateral de resines epoxi sense dissolvents, de dos components i baixa viscositat (P - 36)	11,77	104,000	1.224,08
8	E878C652	m2	Neteja de parament de morter amb raig d'aigua desionitzada a pressió, fins a 2 bar (P - 2)	10,30	24,000	247,20

EUR

EUR

Millora del pont de vianants sobre la via del tren entre els carrers

Caterina Albert i carrer Rocacorba de Fornells de la Selva.

MAIG 2025

PRESSUPOST

Pàg.: 3

9	GGD1222U	u	Piqueta de connexió a terra d'acer, amb recobriment de coure 300 µm de gruix, de 1500 mm llargària de 14,6 mm de diàmetre, clavada a terra (P - 32)	35,08	6,000	210,48
10	GG31Z007	m	Conductor de coure 0,6/11 kV de secció 2x6 mm ² . Subministrament i instal·lació a rasa entubat. (P - 31)	2,28	76,000	173,28
11	FG380020	m	Cable nu de coure de 35 mm ² de secció per a xarxa d'enllumenat. Inclou connexions i proves, subministrament i col·locació. Tot inclòs. (P - 10)	6,36	16,000	101,76
TOTAL	Capítol		01.05			32.440,53
Obra		01	Pressupost 24081			
Capítol		06	Il·luminació			
NUM.	CODI	UA	DESCRIPCIÓ	PREU	AMIDAMENT	IMPORT
1	GG31Z006	u	Adaptació de quadre per línia addicional. Inclou material elèctric (Diferencial 40A/2P/300mA, PIA 10A/2P i petit material) (P - 30)	110,91	1,000	110,91
2	FDG31030	m	Canalització superficial per a enllumenat públic amb protecció de formigó HM-20/B/20/I, inclosa excavació, subministrament i col·locació de tubs de PVC de 80/100 mm, protecció amb formigó HM-20/B/20/I. Tot inclòs completament acabat. (P - 9)	17,73	5,000	88,65
3	GG31Z007	m	Conductor de coure 0,6/11 kV de secció 2x6 mm ² . Subministrament i instal·lació a rasa entubat. (P - 31)	2,28	35,000	79,80
4	GG31Z003	m	Subministrament conductor de coure color groc-verd de 1x16 mm ² per connexió de terra (P - 29)	2,33	35,000	81,55
5	GG22U010	u	Tub metàl·lic galvanitzat endollable de D 40mm, inclòs P.P fixacions d'acer galvanitzat a parament i elements de cautxú superior i interior per la protecció de la humitat, completament muntat i adaptat per la connexió amb la tira led. Inclou connexió del cable de terra i cablejat intern. (P - 27)	45,49	1,000	45,49
6	GDK2Z032	u	Subministrament i instal·lació de caixa de connexions estanca per connexió amb tira de led. Inclou portafusibles, fusibles i petit material (P - 23)	46,78	1,000	46,78
7	GDK2Z034	m	Subministrament de tira LED de 14,4W al metre lineal amb IP65 a 24V. Instal·lació i muntatge a baranes de la passera. Inclou tira led, perfil d'alumini, connectors, fonts d'alimentació IP65 (4 unitats), cablejat i petit material d'enclavatge. (P - 24)	48,43	30,000	1.452,90
8	GG230700	m	Tub d'acer galvanitzat per a pas de cables, de 20 mm de diàmetre nominal exterior, roscat, per a instal·lació de superfície, amb part proporcional de suports i accessoris inclòs transport a obra (P - 28)	16,29	30,000	488,70
9	GG15Z040	u	Subministrament i col·locació de caixa de protecció amb xapa d'acer, per la col·locació de les caixes de connexions estanques de la instal·lació d'enllumenat, de 350x300x150 mm de dimensions mínimes interiors, fixada en estructura metàl·lica o mur de formigó, inclosos material auxiliar de fixació i ancoratge. (P - 26)	174,70	1,000	174,70
10	GDK2U030	u	Pericò per a canalització de serveis de 40x40x60 cm de secció interior, amb parets de 15 cm de gruix i solera de 10 cm de gruix de formigó HM-20, inclòs excavació, transport a l'abocador, cànon d'abocament i manteniment de l'abocador (P - 22)	201,42	2,000	402,84
11	GDKZU040	u	Marc i tapa de 40x40 cm, de fosa dúctil, classe B-125, segons UNE-EN 124, totalment col·locat (P - 25)	96,13	2,000	192,26
12	FGZZI070	u	Redacció del projecte de legalització elèctrica d'enllumenat, per a un armari de potència a legalitzar inferior o igual a 5 kW; visat per un col·legi professional incloent el certificat final d'obra; presentació a ICICT o ECA de tota la documentació necessària; llustrament de l'acta d'aprovació del projecte i de les instal·lacions. Tot inclòs. (P - 11)	1.683,84	1,000	1.683,84
13	FG380020	m	Cable nu de coure de 35 mm ² de secció per a xarxa d'enllumenat. Inclou connexions i proves, subministrament i col·locació. Tot inclòs. (P - 10)	6,36	60,000	381,60
14	GGD1222U	u	Piqueta de connexió a terra d'acer, amb recobriment de coure 300 µm de gruix, de 1500 mm llargària de 14,6 mm de diàmetre, clavada a terra	35,08	4,000	140,32

Millora del pont de vianants sobre la via del tren entre els carrers

Caterina Albert i carrer Rocacorba de Fornells de la Selva.

MAIG 2025

PRESSUPOST

Pàg.: 4

(P - 32)

TOTAL	Capítol	01.06			5.370,34	
Obra		01	Pressupost 24081			
Capitol		07	Serveis afectats			
NUM.	CODI	UA	DESCRIPCIÓ	PREU	AMIDAMENT	IMPORT
1	XPAXZ010	pa	Partida alçada a justificar per a la reposició de serveis afectats (P - 0)	1.925,00	1,000	1.925,00
2	M9RZU010	u	Desmuntatge i col·locació per situar a nova rasant de marc i tapa de pous de clavegueres o altres serveis, en obres de recobriment asfàltic, amb morter de ciment (P - 38)	117,32	2,000	234,64
3	M9RZU020	u	Desmuntatge i col·locació per a situar a nova rasant de reixes de desguàs en obres de recobriment asfàltic (P - 39)	33,74	2,000	67,48
TOTAL	Capítol	01.07			2.227,12	
Obra		01	Pressupost 24081			
Capitol		08	No tramificat			
NUM.	CODI	UA	DESCRIPCIÓ	PREU	AMIDAMENT	IMPORT
1	XPA000SS	pa	Partida alçada a justificar per la Seguretat i Salut a l'obra, en base a l'Estudi i el Pla de Seguretat i Salut (P - 0)	2.750,00	1,000	2.750,00
2	XPAX0000	pa	Partida alçada a justificar per a la gestió de residus de construcció i demolició (P - 0)	1.125,00	1,000	1.125,00
TOTAL	Capítol	01.08			3.875,00	

RESUM DE PRESSUPOST

Millora del pont de vianants sobre la via del tren entre els carrers
Caterina Albert i carrer Rocacorba de Fornells de la Selva.
MAIG 2025

Pàg.: 1

RESUM DE PRESSUPOST

NIVELL 2 : Capítol		Import	
Capitol	01.01	Treballs previs	18.544,47
Capitol	01.02	Enderrocs	5.445,56
Capitol	01.03	Reparació estructural	21.972,29
Capitol	01.04	Paviments	13.780,34
Capitol	01.05	Proteccions	32.440,53
Capitol	01.06	Il·luminació	5.370,34
Capitol	01.07	Serveis afectats	2.227,12
Capitol	01.08	No tramificat	3.875,00
Obra	01	Pressupost 24081	103.655,65
		103.655,65	
NIVELL 1 : Obra		Import	
Obra	01	Pressupost 24081	103.655,65
		103.655,65	

euros

ÚLTIM FULL

Millora del pont de vianants sobre la via del tren entre els carrers
Caterina Albert i carrer Rocacorba de Fornells de la Selva.
MAIG 2025

PRESSUPOST D'EXECUCIÓ PER CONTRACTE

Pàg. 1

PRESSUPOST D'EXECUCIÓ MATERIAL.....	103.655,65
13 % DESPESES GENERALS SOBRE 103.655,65.....	13.475,23
6 % BENEFICI INDUSTRIAL SOBRE 103.655,65.....	6.219,34

Subtotal 123.350,22

21 % IVA SOBRE 123.350,22.....	25.903,55
TOTAL PRESSUPOST PER CONTRACTE	€ 149.253,77

Aquest pressupost d'execució per contracte puja a

(CENT QUARANTA-NOU MIL DOS-CENTS CINQUANTA-TRES EUROS AMB SETANTA-SET CÈNTIMS)

Fornells de la Selva, maig de 2025

L'autor del projecte,



Joan Macarro Ortega
Enginyer de camins, canals i ports
Col·legiat núm. 20.306
ABM, Serveis d'enginyeria i consulting, SL